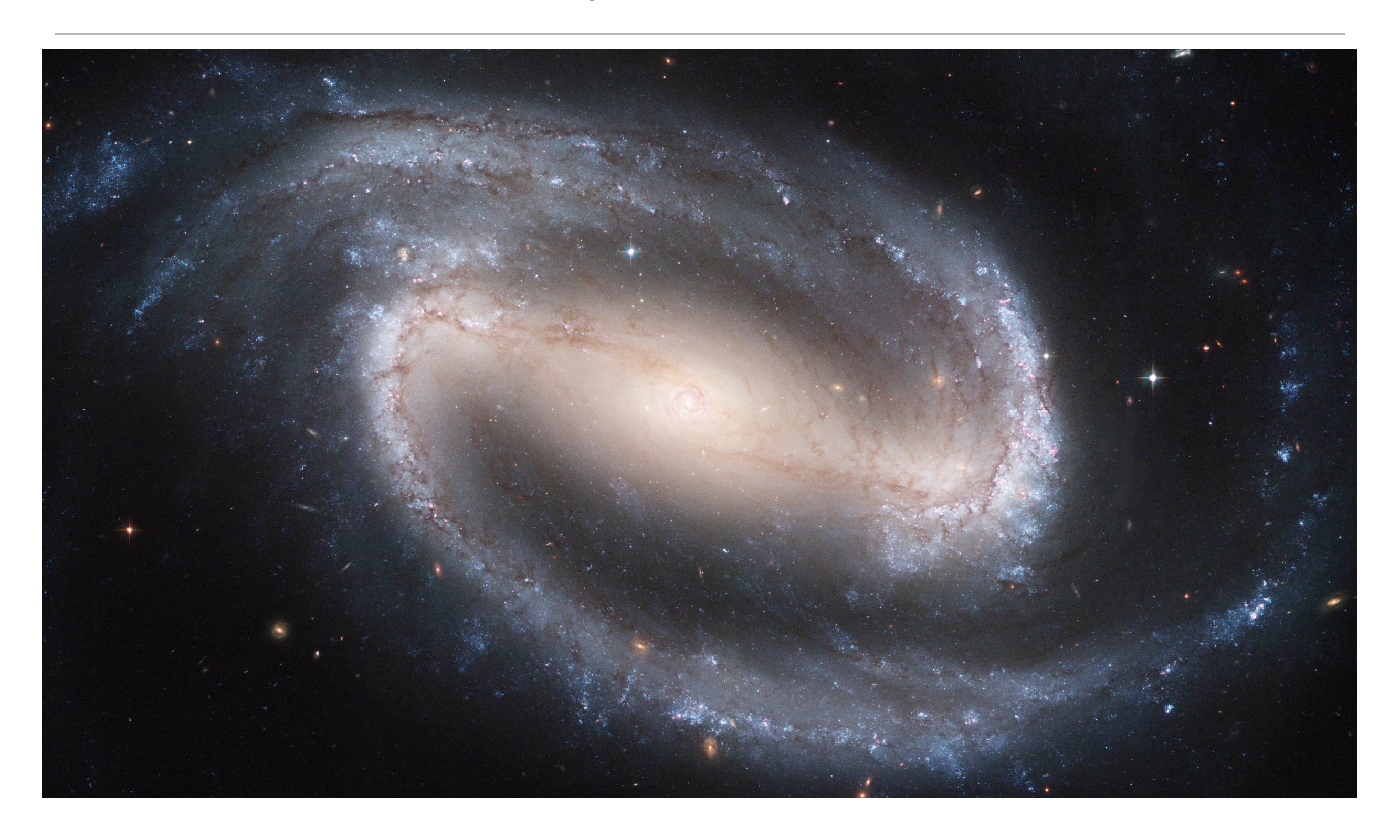
# Corso di Astronomia per FAM



• Temi trattati nel corso:

• Temi trattati nel corso:

1. Introduzione: distanze a confronto, metodo scientifico

- Temi trattati nel corso:
  - 1. Introduzione: distanze a confronto, metodo scientifico
  - 2. Stelle: formazione, evoluzione e morte. Stelle variabile.

- Temi trattati nel corso:
  - 1. Introduzione: distanze a confronto, metodo scientifico
  - 2. Stelle: formazione, evoluzione e morte. Stelle variabile.
  - 3. Galassie: Classificazione, struttura, formazione e interazioni.

Matteria oscura nelle galassie.

- Temi trattati nel corso:
  - 1. Introduzione: distanze a confronto, metodo scientifico
  - 2. Stelle: formazione, evoluzione e morte. Stelle variabile.
  - 3. Galassie: Classificazione, struttura, formazione e interazioni.

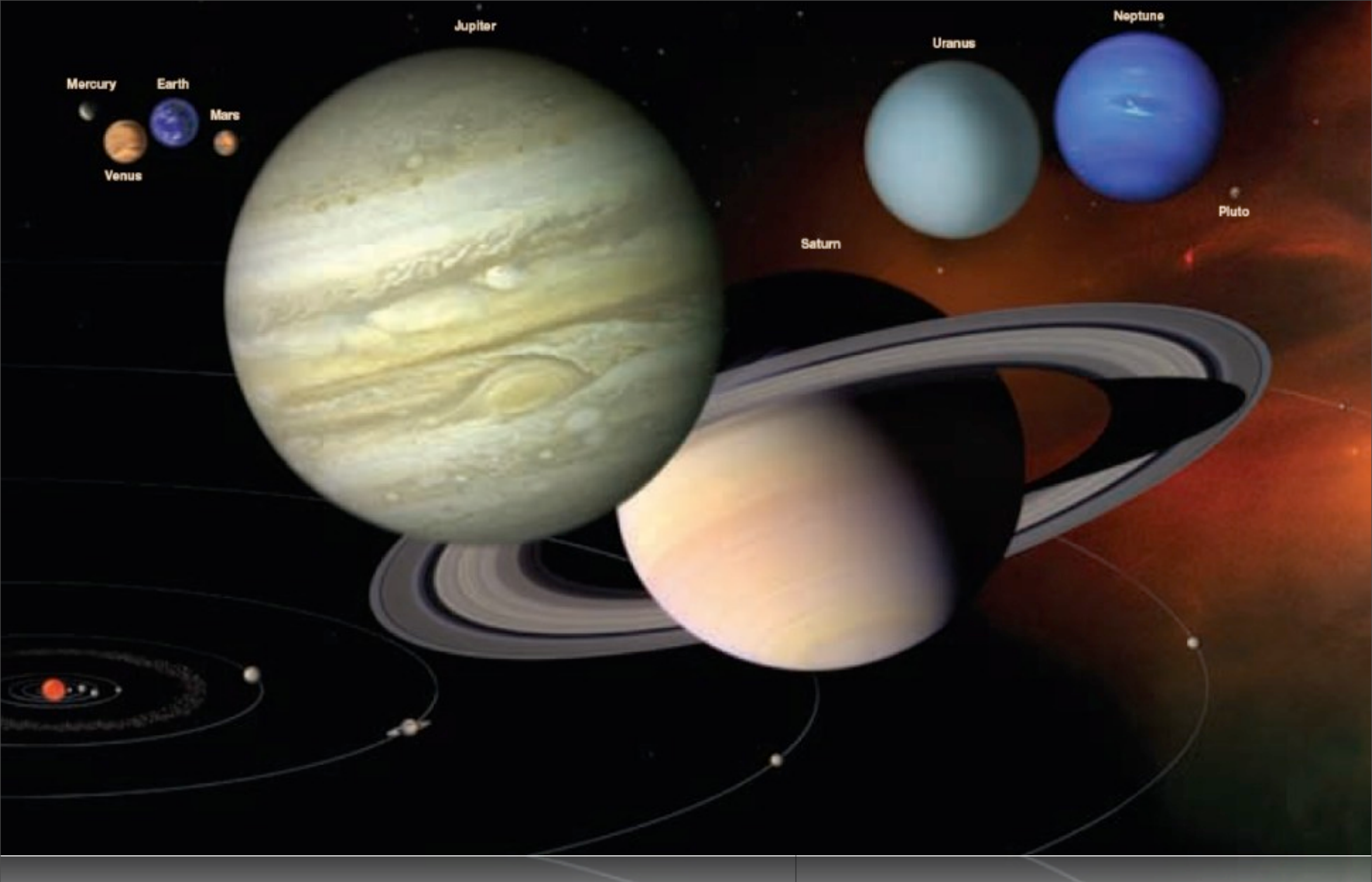
Matteria oscura nelle galassie.

4. Pianeti: Marte, pianeti extrasolari.

- Temi trattati nel corso:
  - 1. Introduzione: distanze a confronto, metodo scientifico
  - 2. Stelle: formazione, evoluzione e morte. Stelle variabile.
  - 3. Galassie: Classificazione, struttura, formazione e interazioni.

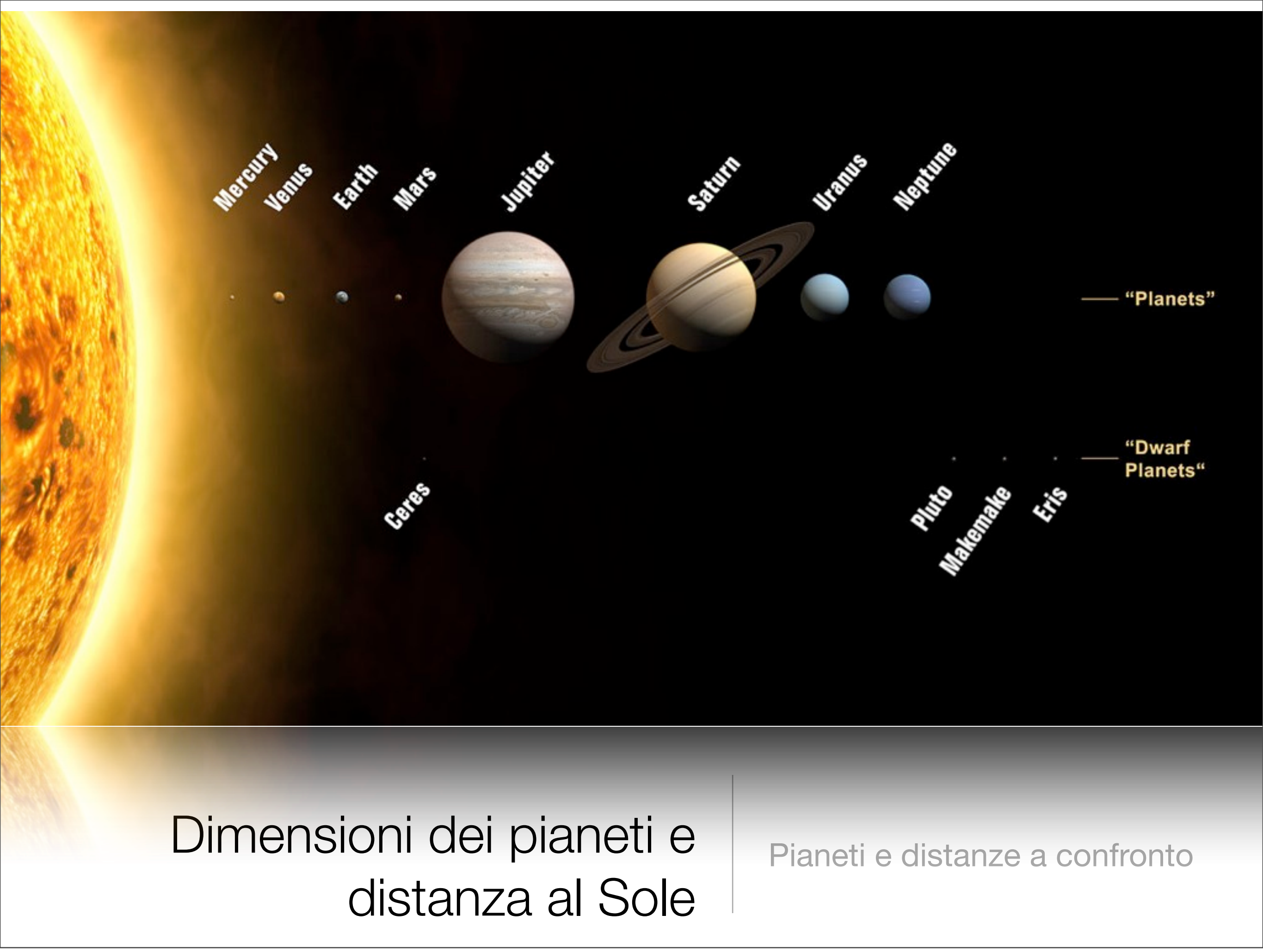
Matteria oscura nelle galassie.

- 4. Pianeti: Marte, pianeti extrasolari.
- Osservazioni al telescopio con Francesco Fumagalli

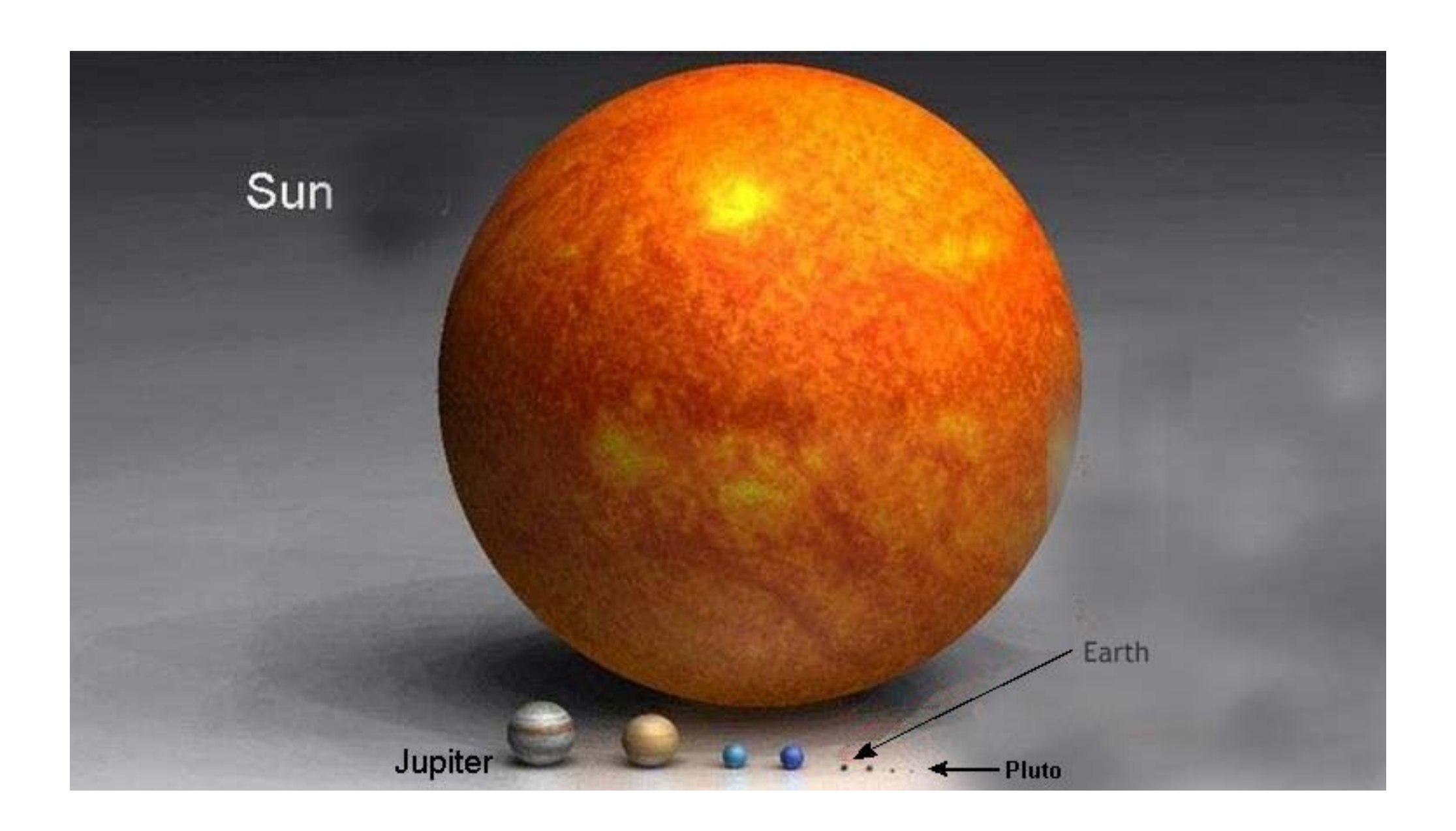


Dimensioni dei pianeti e distanza al Sole

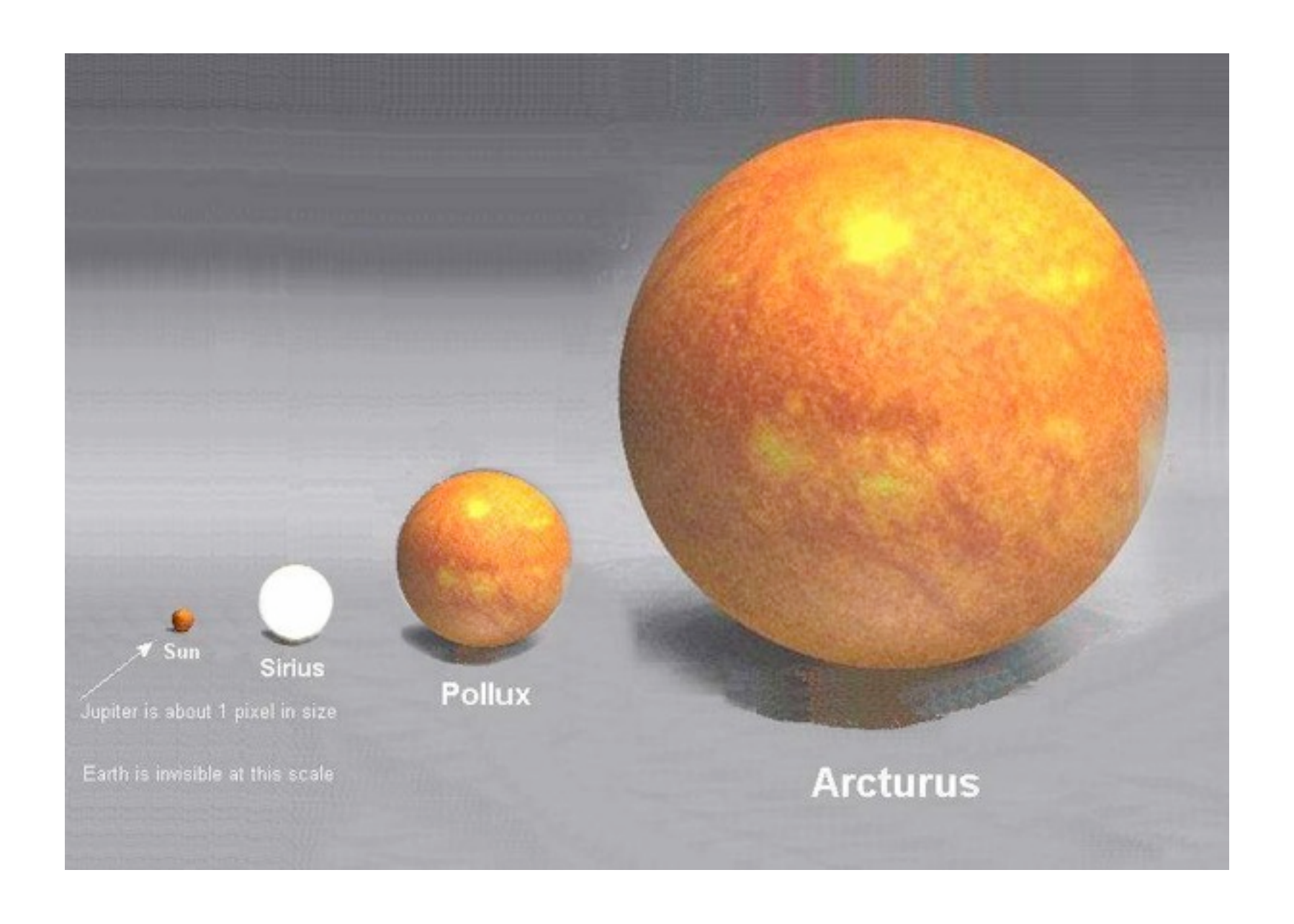
Pianeti e distanze a confronto



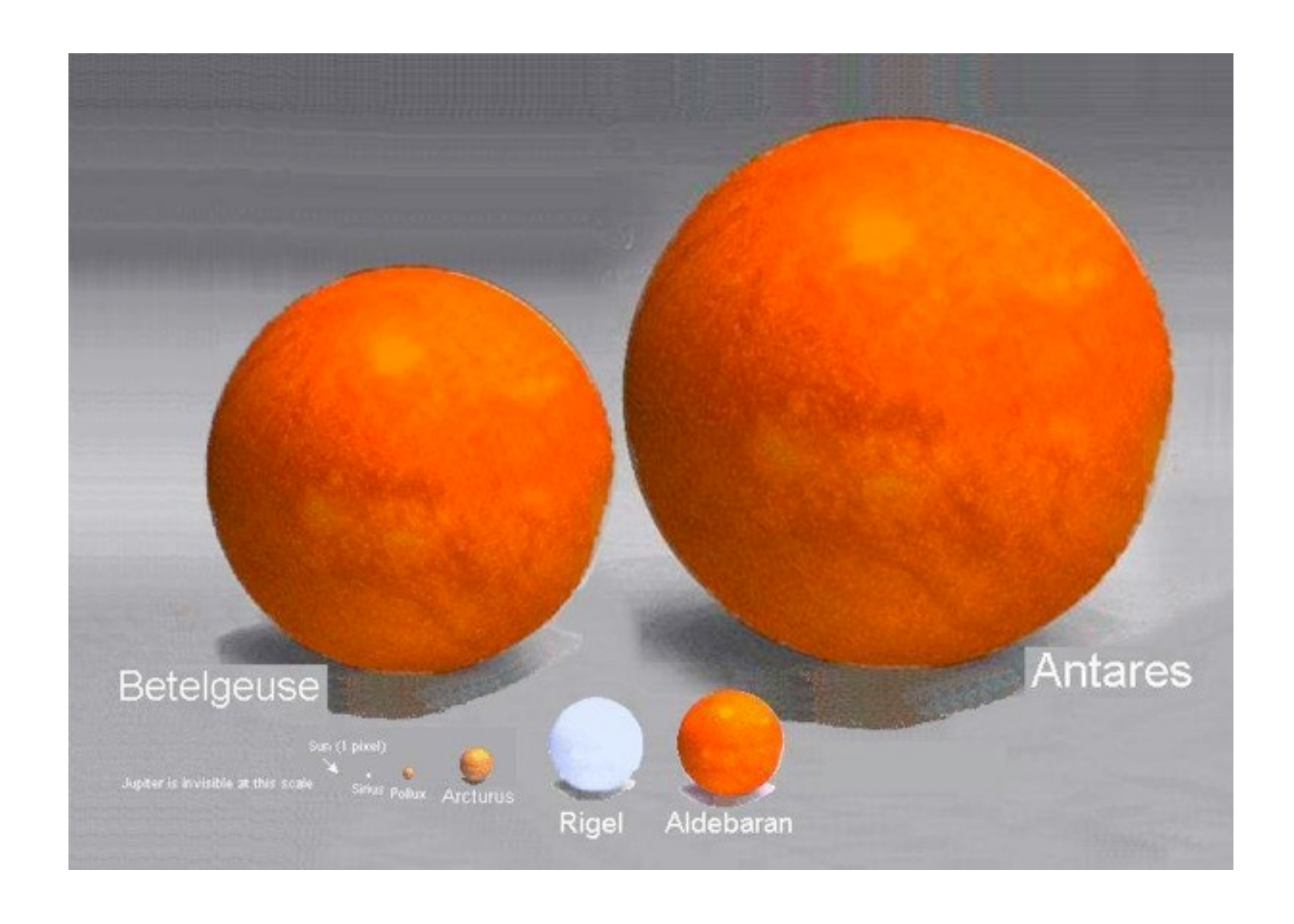
#### Stelle a confronto



#### Stelle a confronto



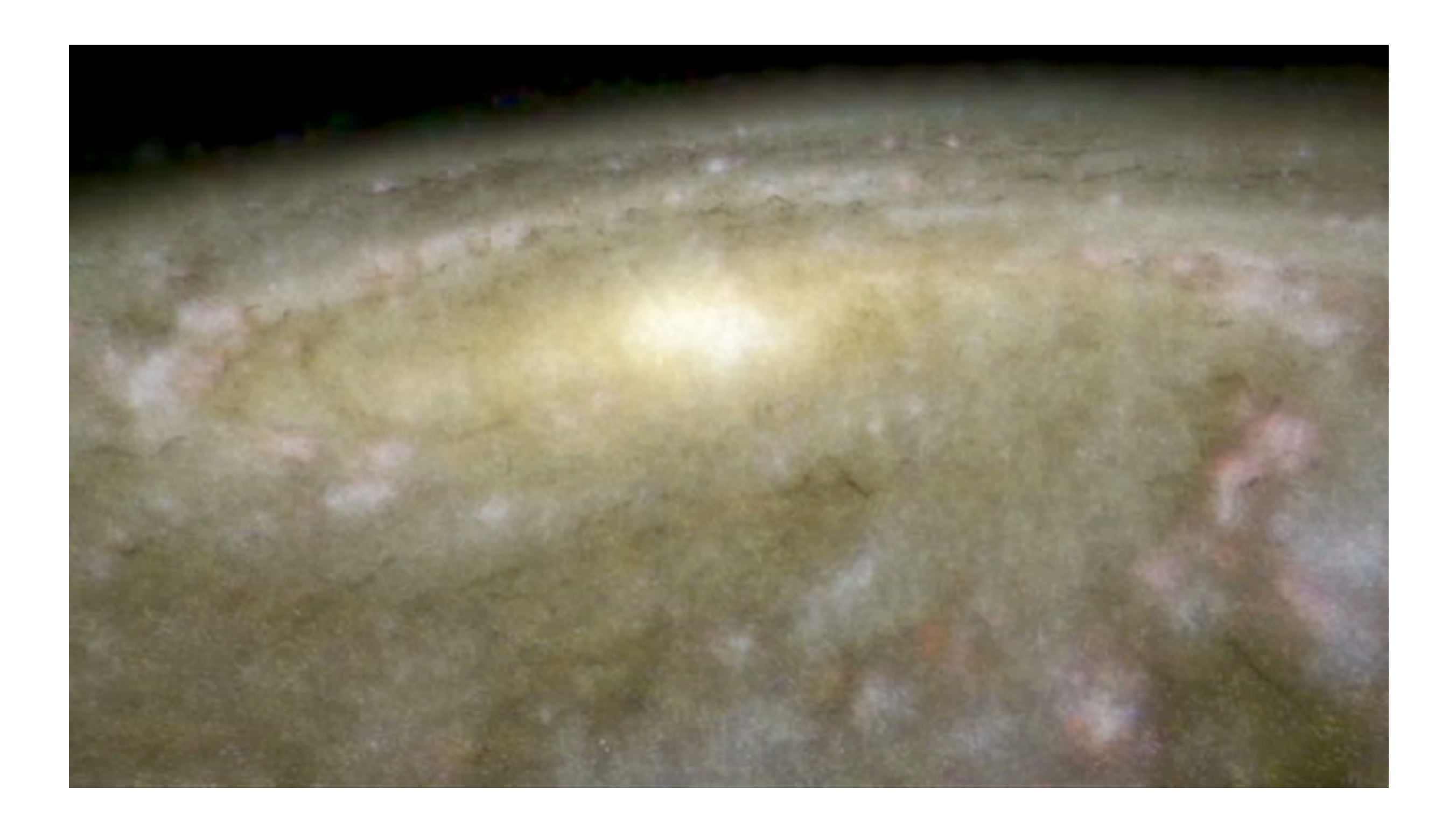
#### Stelle a confronto



## Distanze a confronto in "tempo-luce"

Luna	1 secondo-luce	
Sole	8 minuti-luce	
Saturno	1 ora-luce	
Plutone	4 ore-luce	
Stella più vicina	4 anni-luce	
Centro galattico	26'000 anni-luce	
Diametro Via Lattea	100'000 anni-luce	
Galassia Andromeda	2.6 · 10 <sup>6</sup> anni-luce	
Ammasso della Vergine	60 ⋅10 <sup>6</sup> anni-luce	
Dimensione dell'universo	10-15 · 10 <sup>9</sup> anni-luce	

#### Viaggio dalla Terra verso l'ammasso della Vergine



# Viaggio attraverso 95% dell'universo in 1 minuto: The Hubble Ultra Deep Field



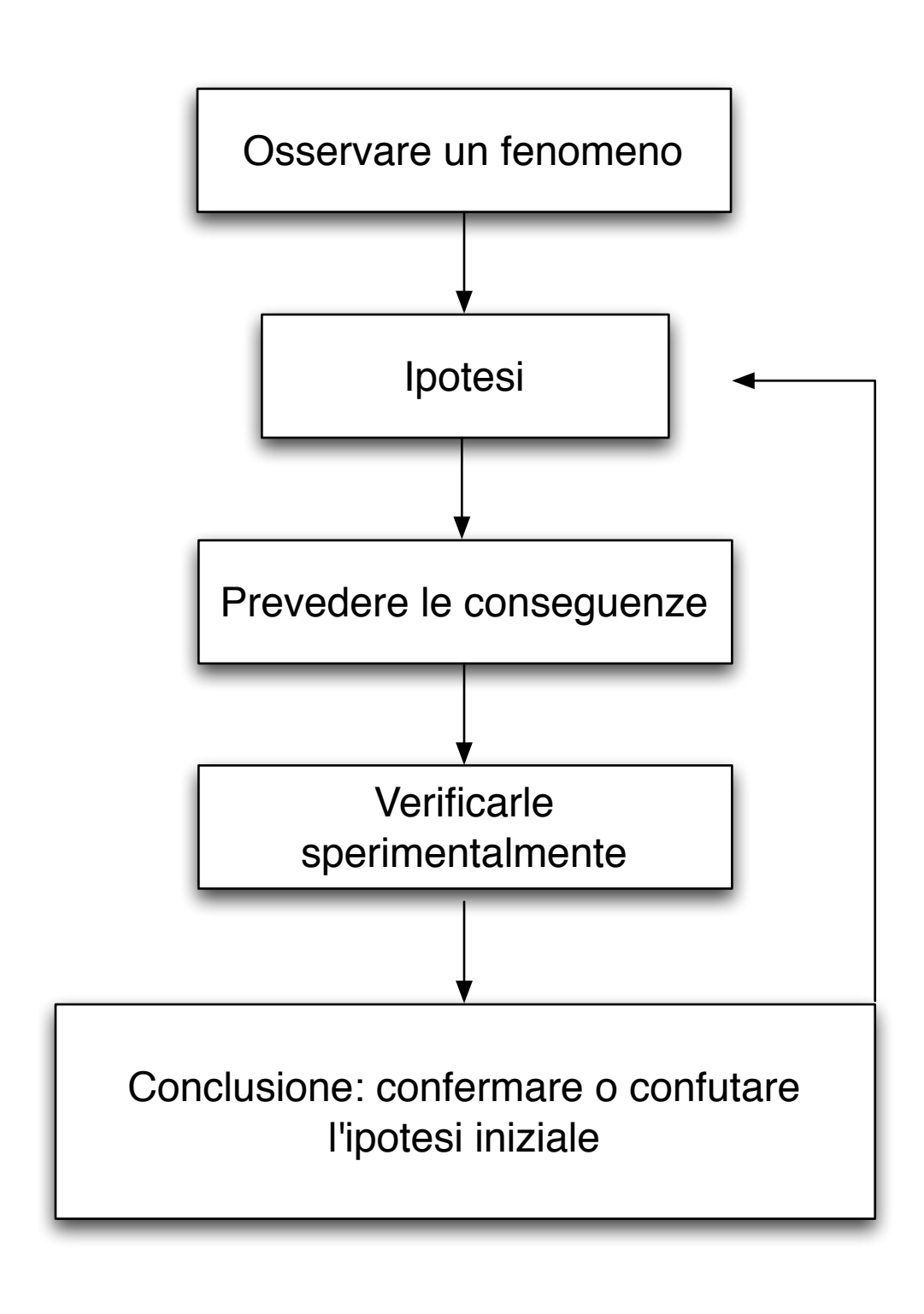
## Viaggio attraverso 95% dell'universo in 1 minuto: The Hubble Ultra Deep Field



# Viaggio attraverso 95% dell'universo in 1 minuto: The Hubble Ultra Deep Field



#### Il metodo scientifico



Difficoltà con l'astronomia

Coerenza e umiltà

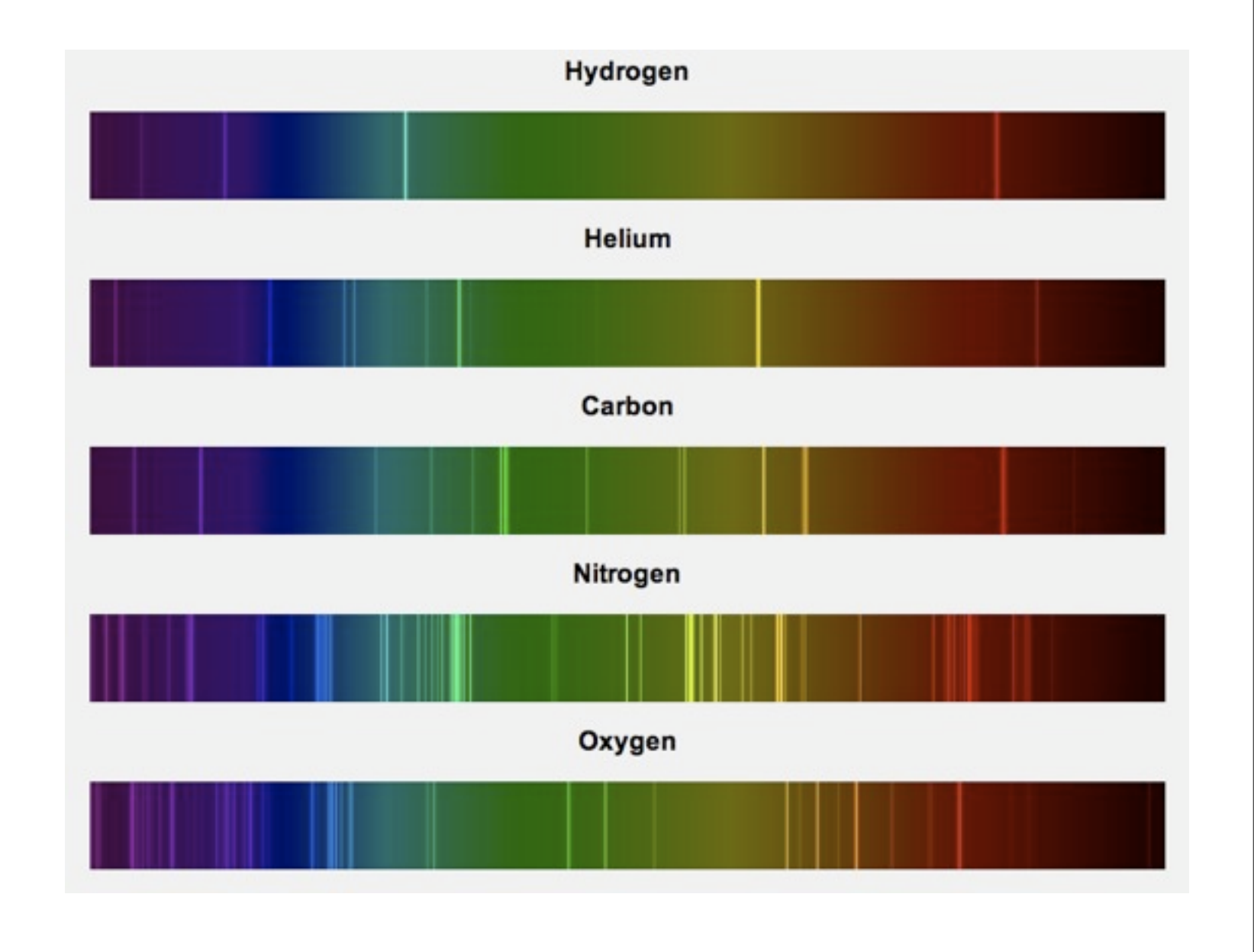
# Auguste Comte, famoso filosofo francese, scrisse in 1835, a proposito delle stelle:

"Nous ne saurons jamais étudier, par aucun moyen leur composition chimique ou leur structure minéralogique"...

# Auguste Comte, famoso filosofo francese, scrisse in 1835, a proposito delle stelle:

"Nous ne saurons jamais étudier, par aucun moyen leur composition chimique ou leur structure minéralogique"...

Eppure, alla stessa epoca, Fraunhofer cominciava ad adoperare il spettroscopio per studiare la composizione del Sole....





• Tempo di vita stellare.



- Tempo di vita stellare.
- Quantità fondamentale: la massa.



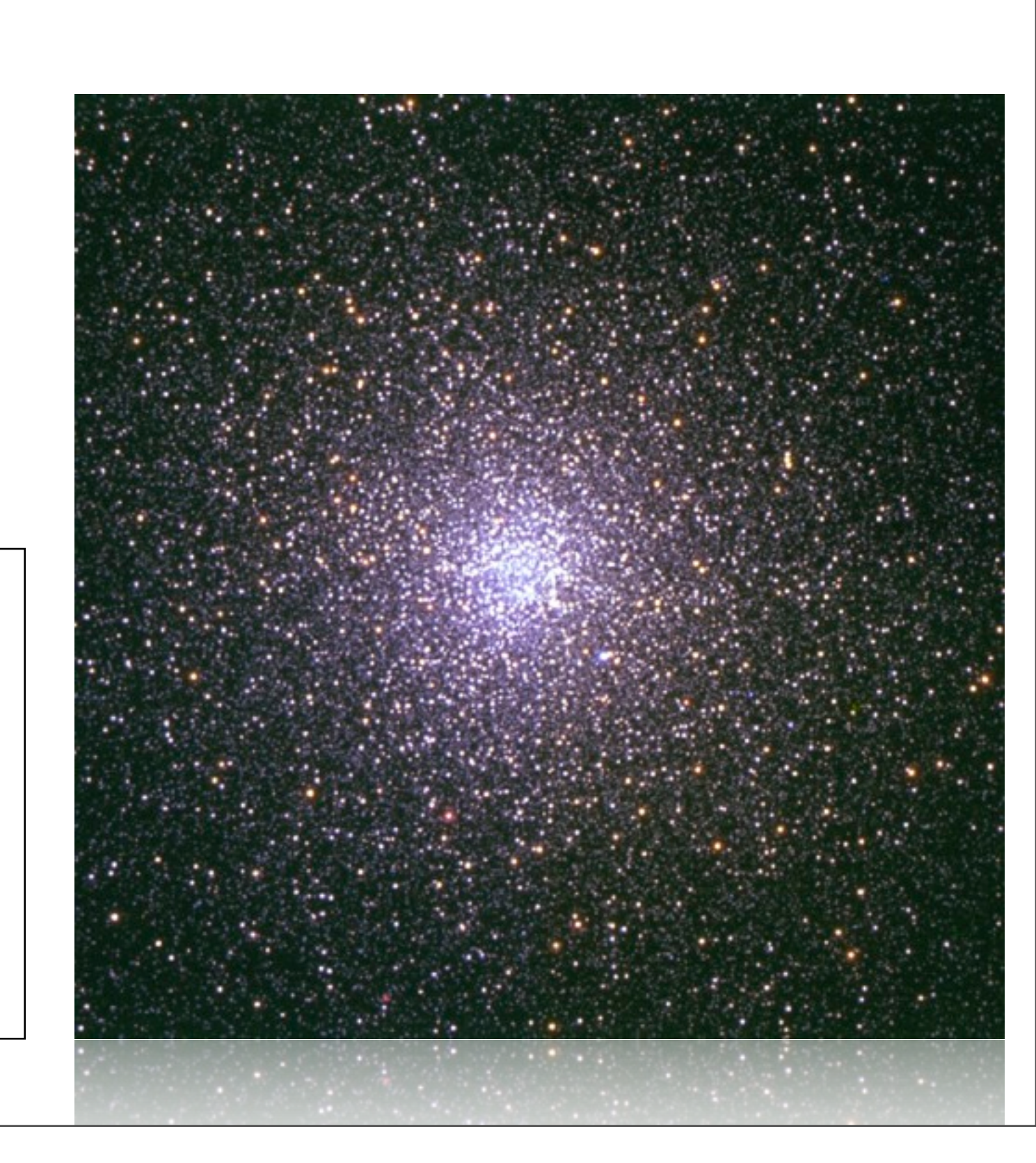
- Tempo di vita stellare.
- Quantità fondamentale: la massa.
- Analogia con il carburante di una macchina:

$$T_{viaggio} = M_{carburante} / Tasso_{consumo}$$

$$T_{vita} = M_{gas in fusione} / Luminosità$$



 $T_{vita} = 10^{10} M_{sun} / L_{sun} [anni]$ 



# Relazione Massa-Luminosità Equilibrio idrostatico

```
1. dare esempi di tempo di vita di alcune stelle:
0.01 Msun -> 10^16 anni
0.1 Msun -> 10^13 anni
1 Msun -> 10^10 anni
10 Msun -> 10^7 anni
60 Msun -> 5 10^4 anni: pochissimo!

2. per le più piccole, questo tempo supera l'età dell'universo.
```

Le stelle massicce hanno bisogno di interni molto più caldi. Il tasso reac. nucleari è molto sensibile a T, quindi molto più luminose

2. se Pressure finisce -> la stella si comprime

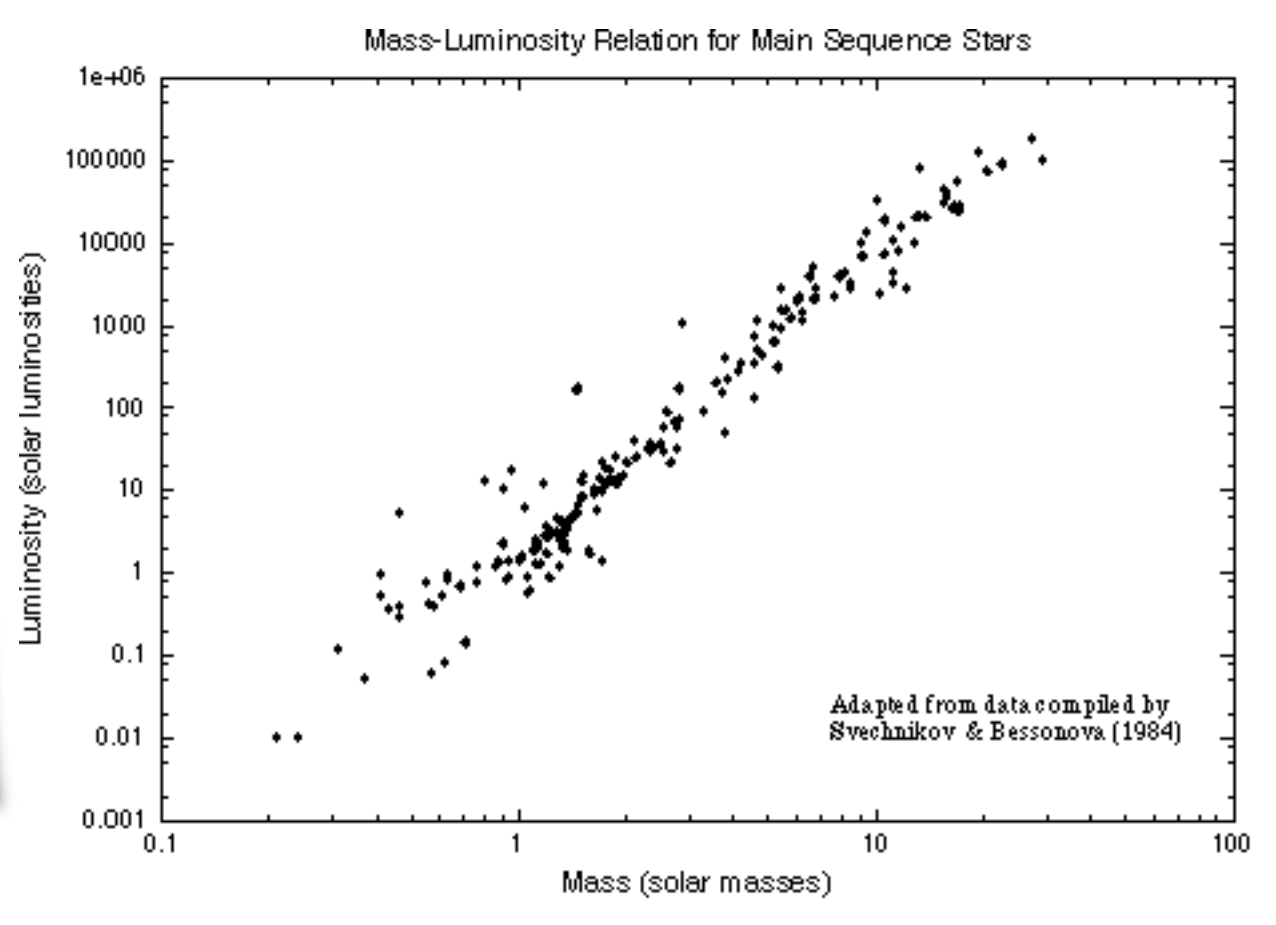
3. Se Pressure aumenta (gigante rosse) -> la stella si espande

# Relazione Massa-Luminosità Equilibrio idrostatico

•  $M/L \sim M^p$  (con p = 3 - 4)

1. dare esempi di tempo di vita di alcune stelle:
0.01 Msun -> 10^16 anni
0.1 Msun -> 10^13 anni
1 Msun -> 10^10 anni
10 Msun -> 10^7 anni
60 Msun -> 5 10^4 anni: pochissimo!

2. per le più piccole, questo tempo supera l'età dell'universo.



Le stelle massicce hanno bisogno di interni molto più caldi. Il tasso reac. nucleari è molto sensibile a T, quindi molto più luminose

- 2. se Pressure finisce -> la stella si comprime
- 3. Se Pressure aumenta (gigante rosse) -> la stella si espande

#### Relazione Massa-Luminosità Equilibrio idrostatico

•  $M/L \sim M^p$  (con p = 3 - 4)

1. dare esempi di tempo di vita di alcune stelle:
0.01 Msun -> 10^16 anni
0.1 Msun -> 10^13 anni
1 Msun -> 10^10 anni
10 Msun -> 10^7 anni
60 Msun -> 5 10^4 anni: pochissimo!

2. per le più piccole, questo tempo supera l'età dell'universo.

Mass-Luminosity Relation for Main Sequence Stars

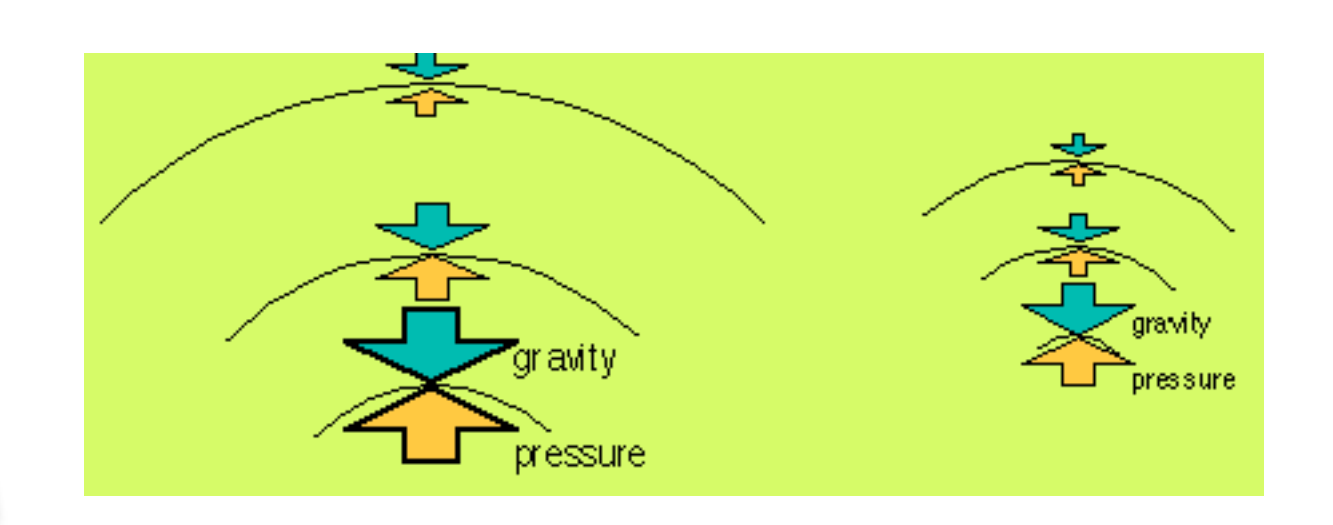
1e+06

100 000

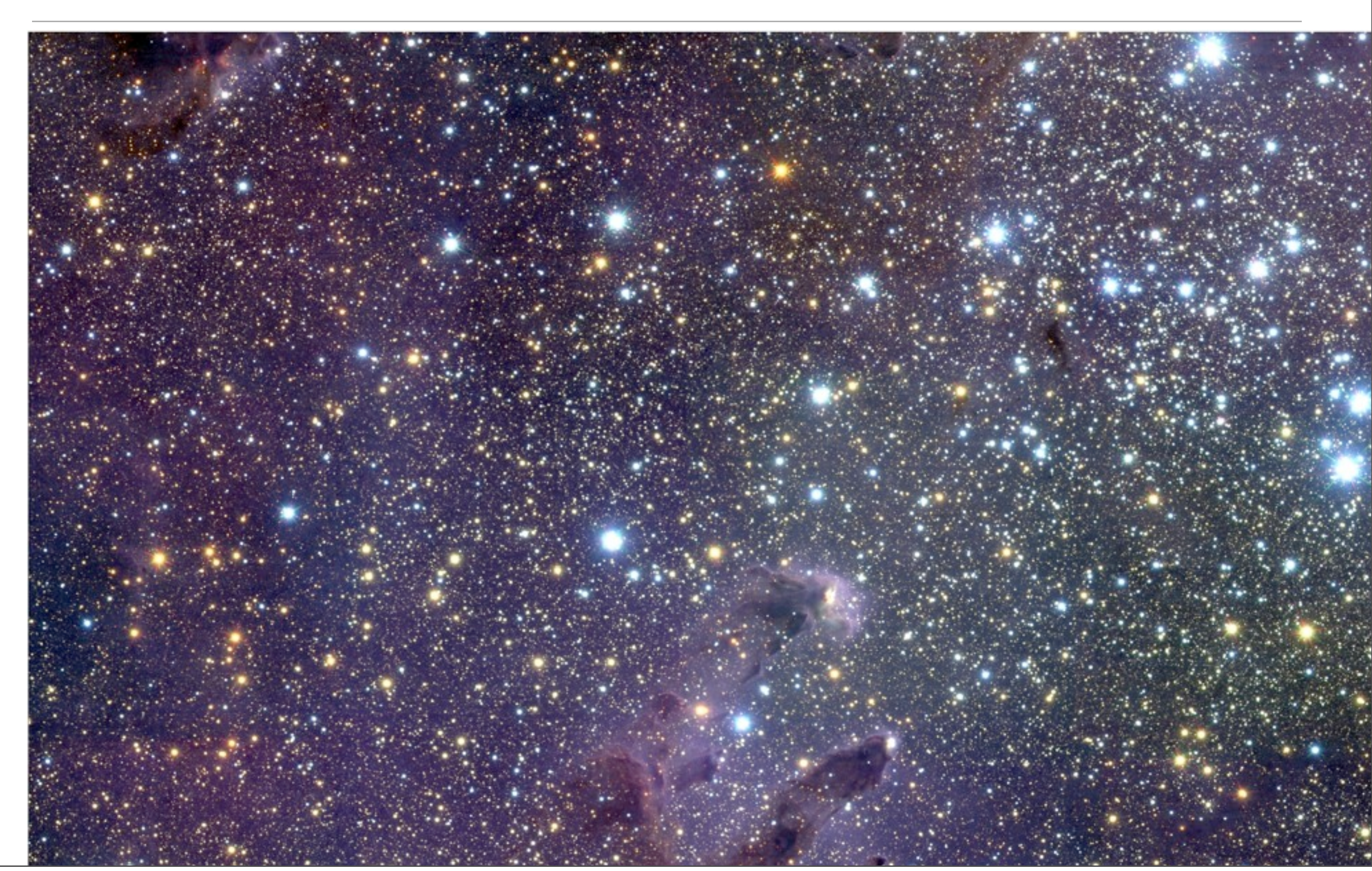
• Perché una stella è stabile?

Le stelle massicce hanno bisogno di interni molto più caldi. Il tasso reac. nucleari è molto sensibile a T, quindi molto più luminose

- 2. se Pressure finisce -> la stella si comprime
- 3. Se Pressure aumenta (gigante rosse) -> la stella si espande



Mass (solar masses)



1. Nube Molecolare gigante.



- 1. Nube Molecolare gigante.
- 2. Sequenza principale, formazione di pianeti.



- 1. Nube Molecolare gigante.
- 2. Sequenza principale, formazione di pianeti.
- 3. Gigante rossa.



- 1. Nube Molecolare gigante.
- 2. Sequenza principale, formazione di pianeti.
- 3. Gigante rossa.
- 4. Nebulosa planetaria o Supernova.

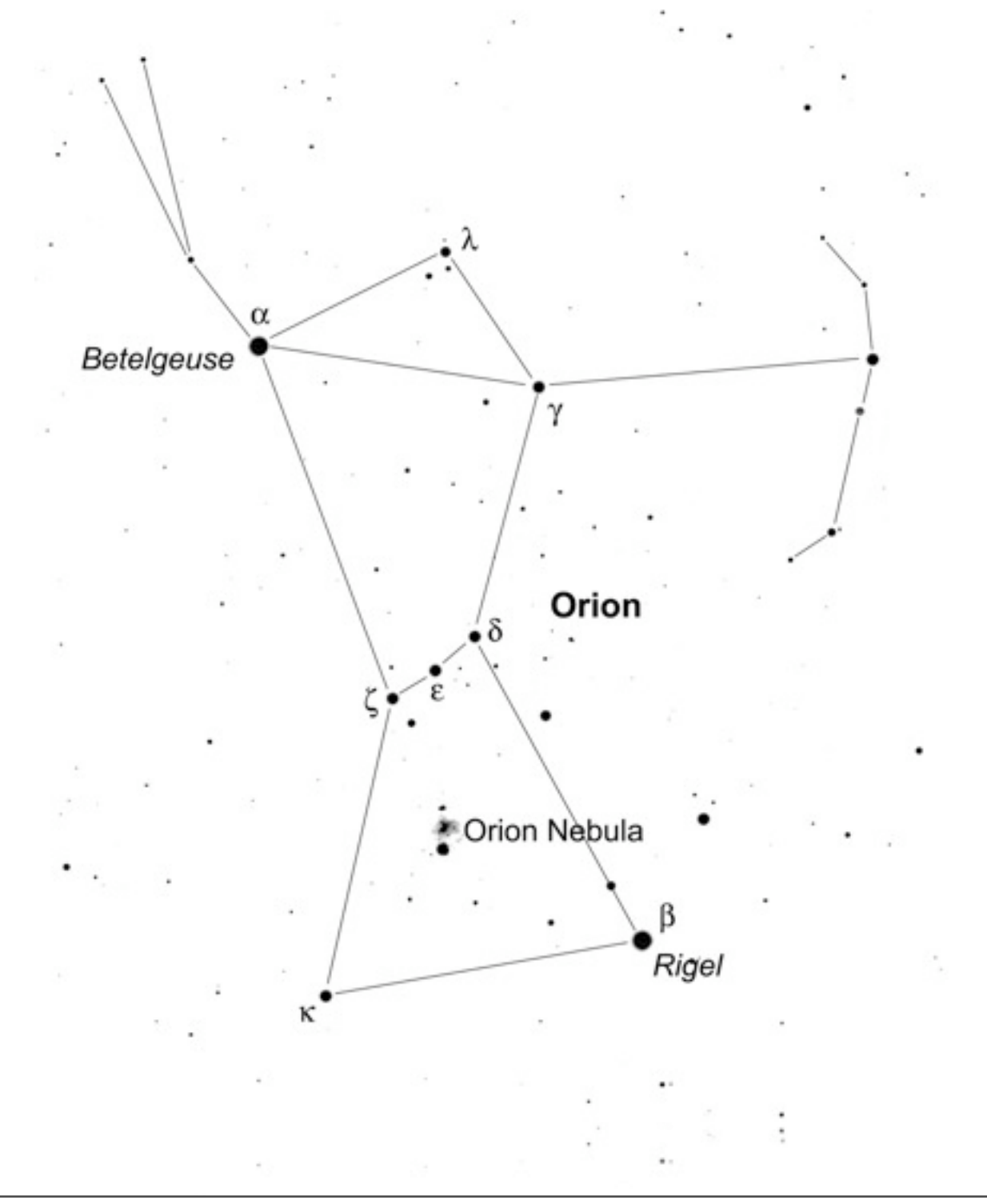


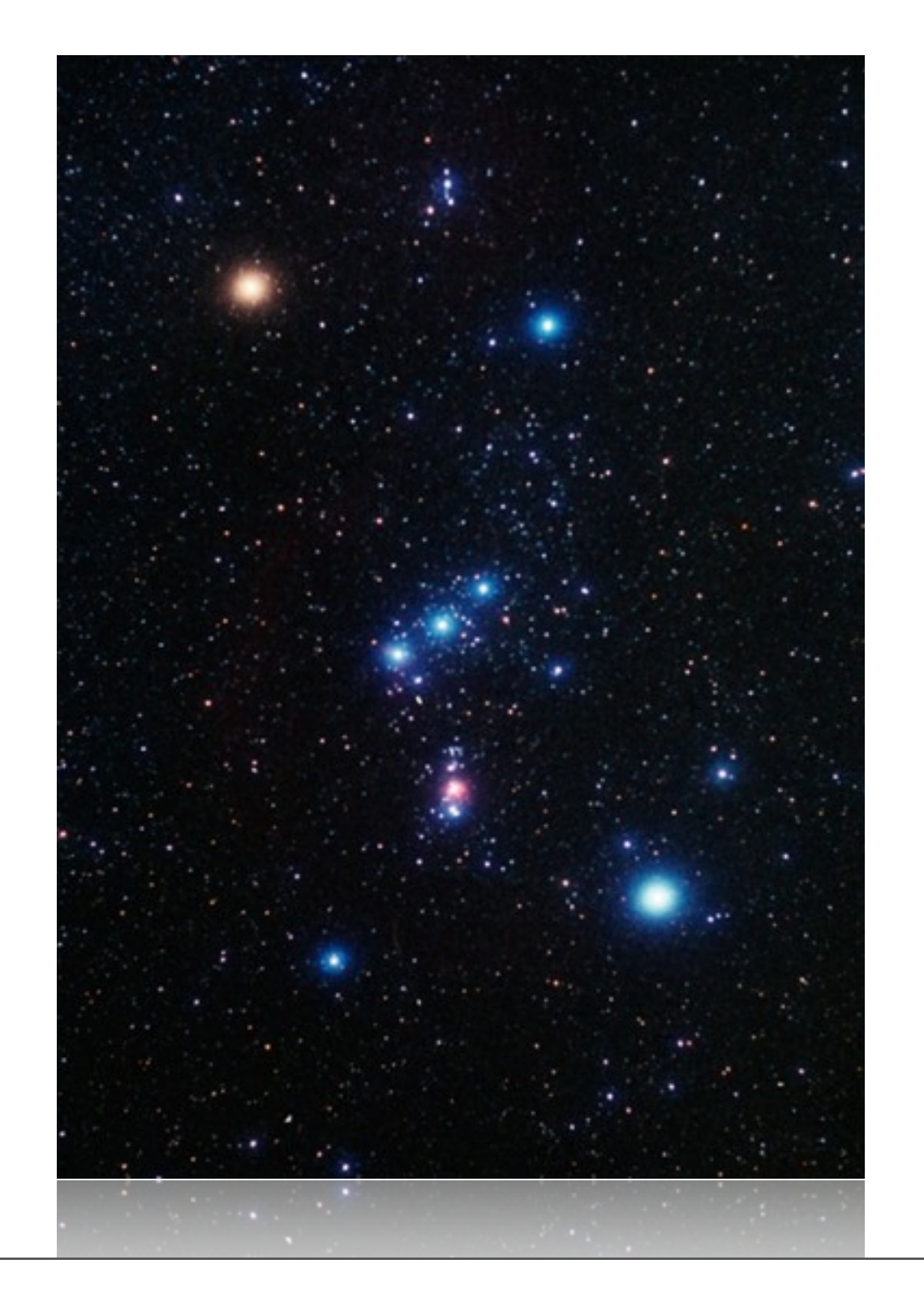
- 1. Nube Molecolare gigante.
- 2. Sequenza principale, formazione di pianeti.
- 3. Gigante rossa.
- 4. Nebulosa planetaria o Supernova.
- 5. Residuo stellare.



# Fase 1: Nube molecolare gigante

#### La costellazione di Orione





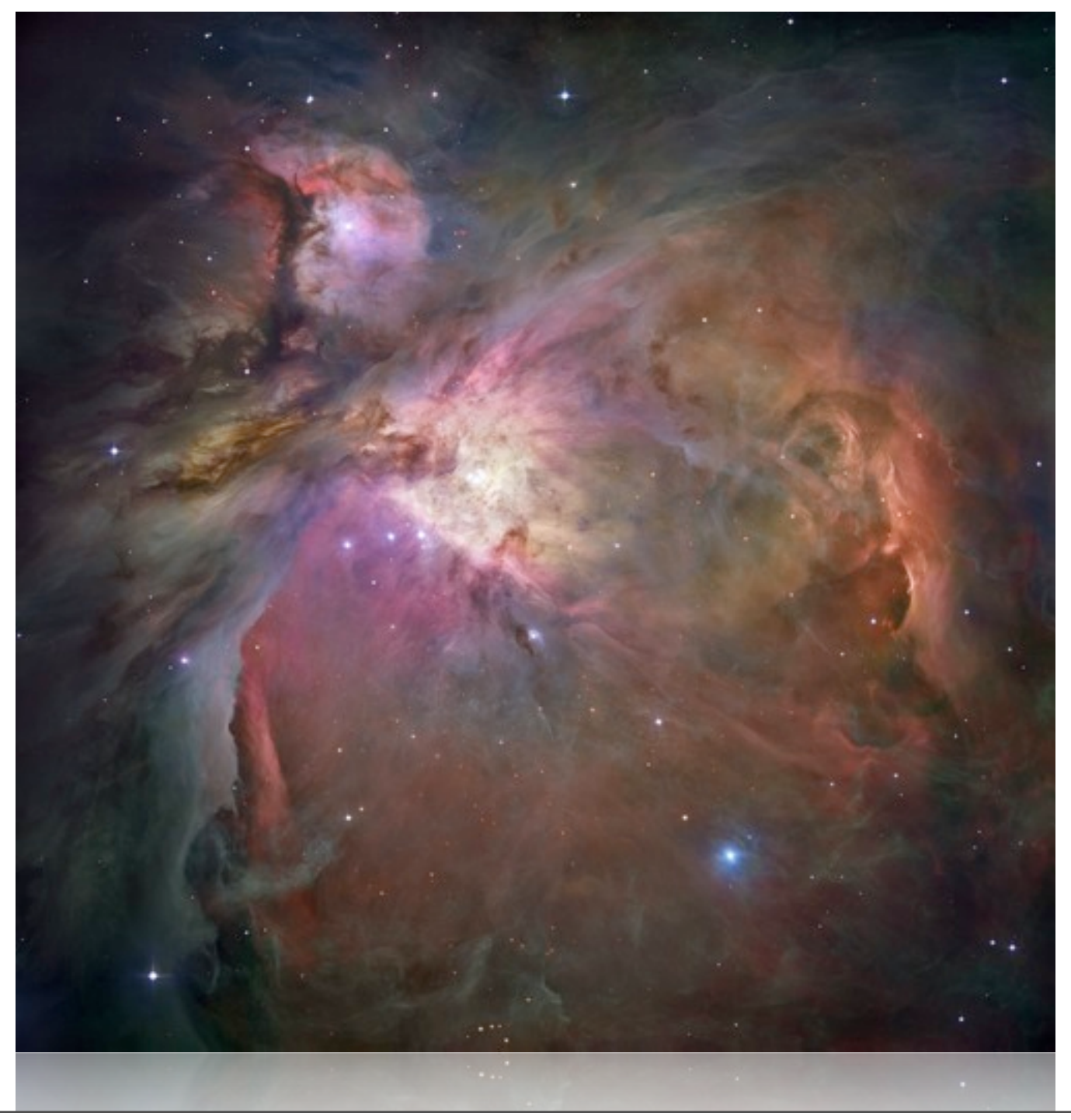
#### Fase 1: Nube molecolare gigante

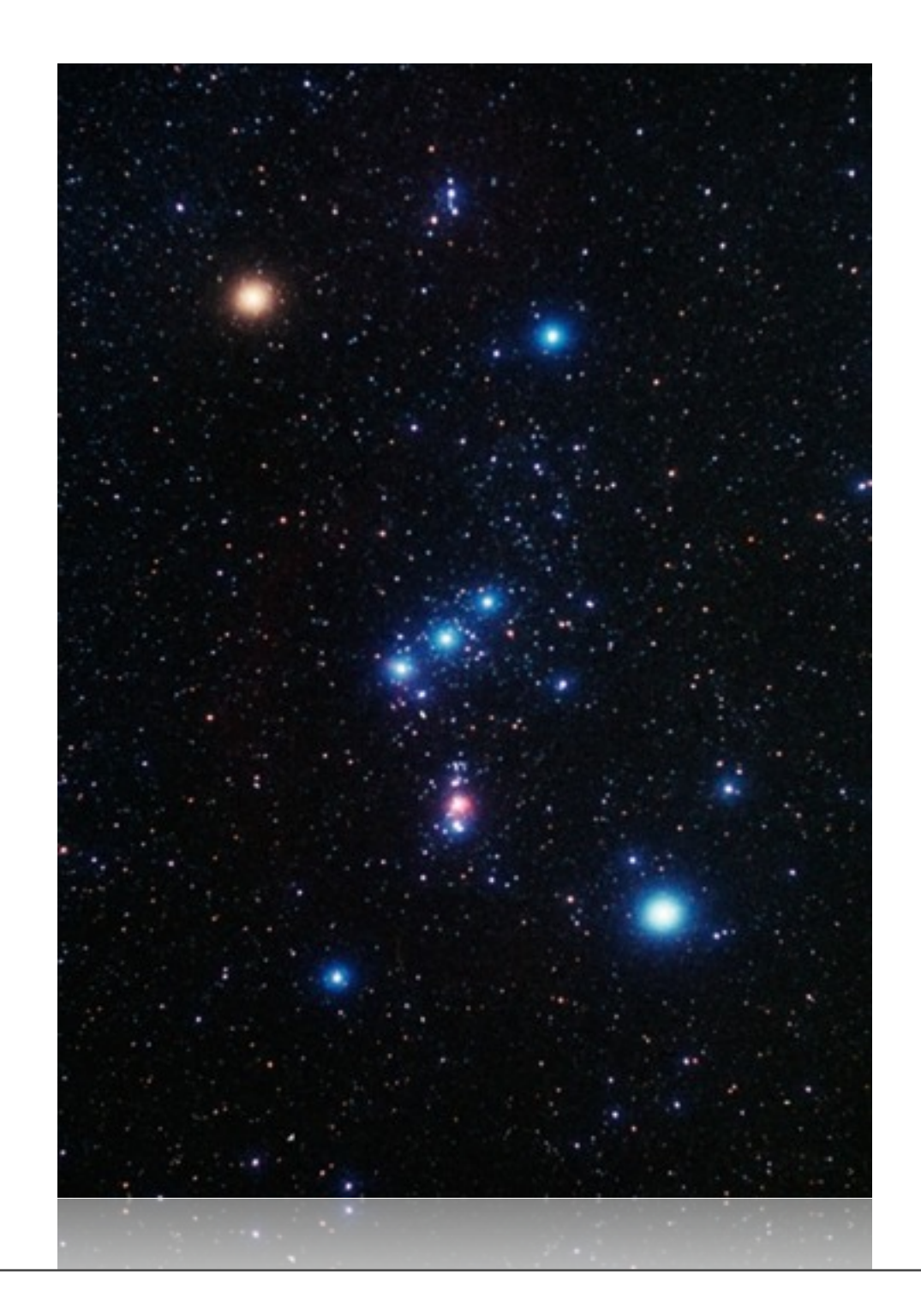
#### La costellazione di Orione



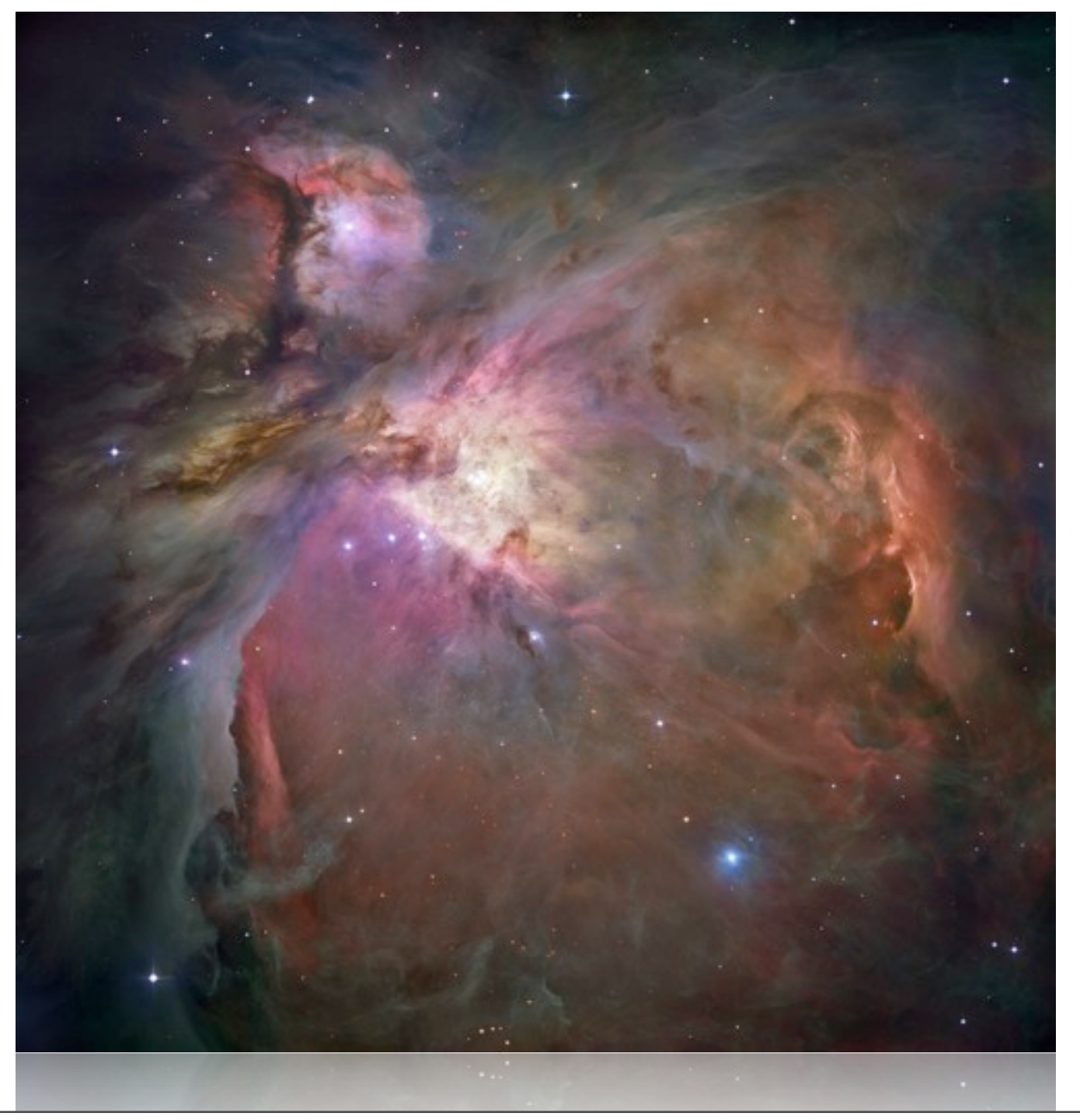


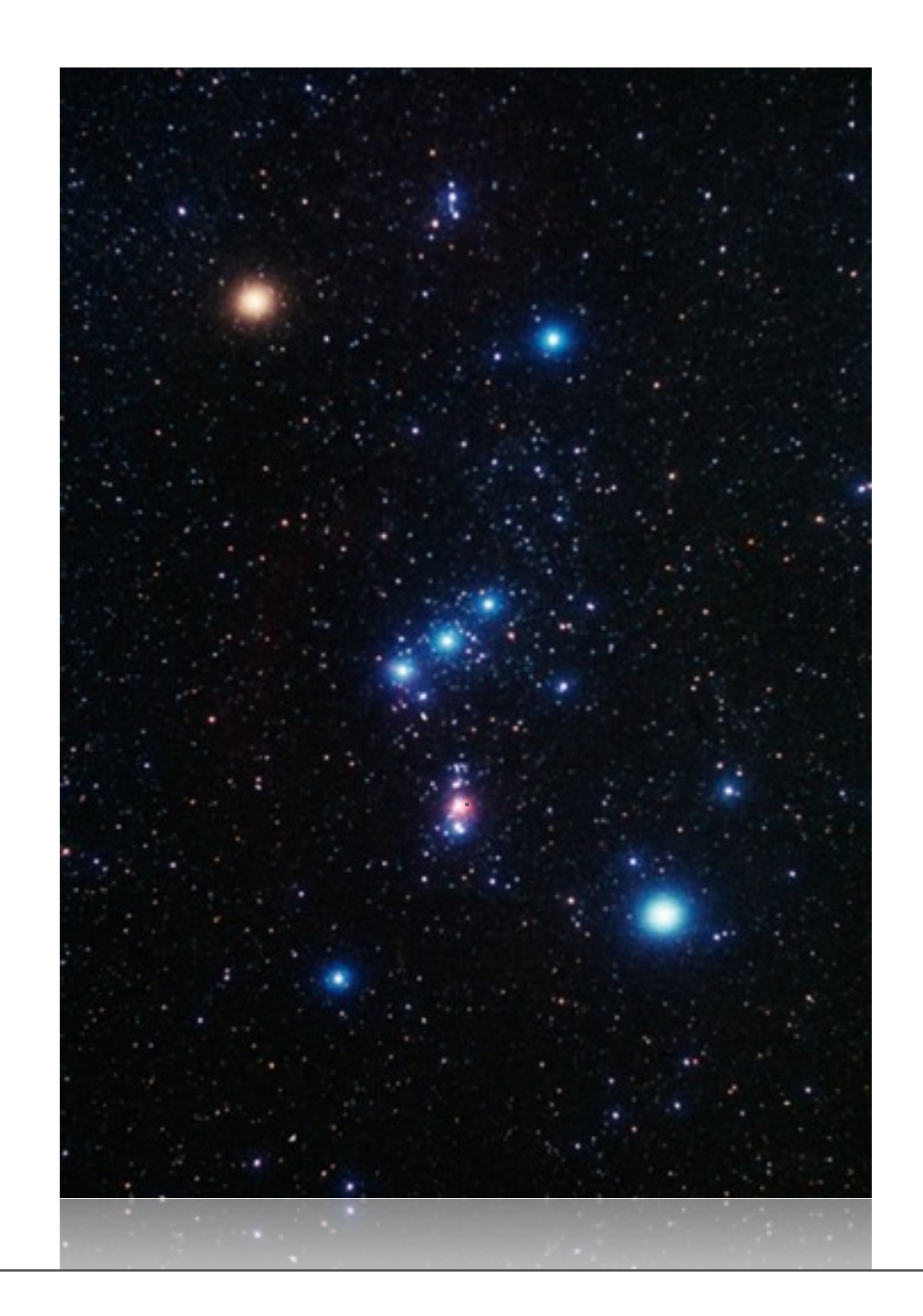
#### La nebulosa di Orione



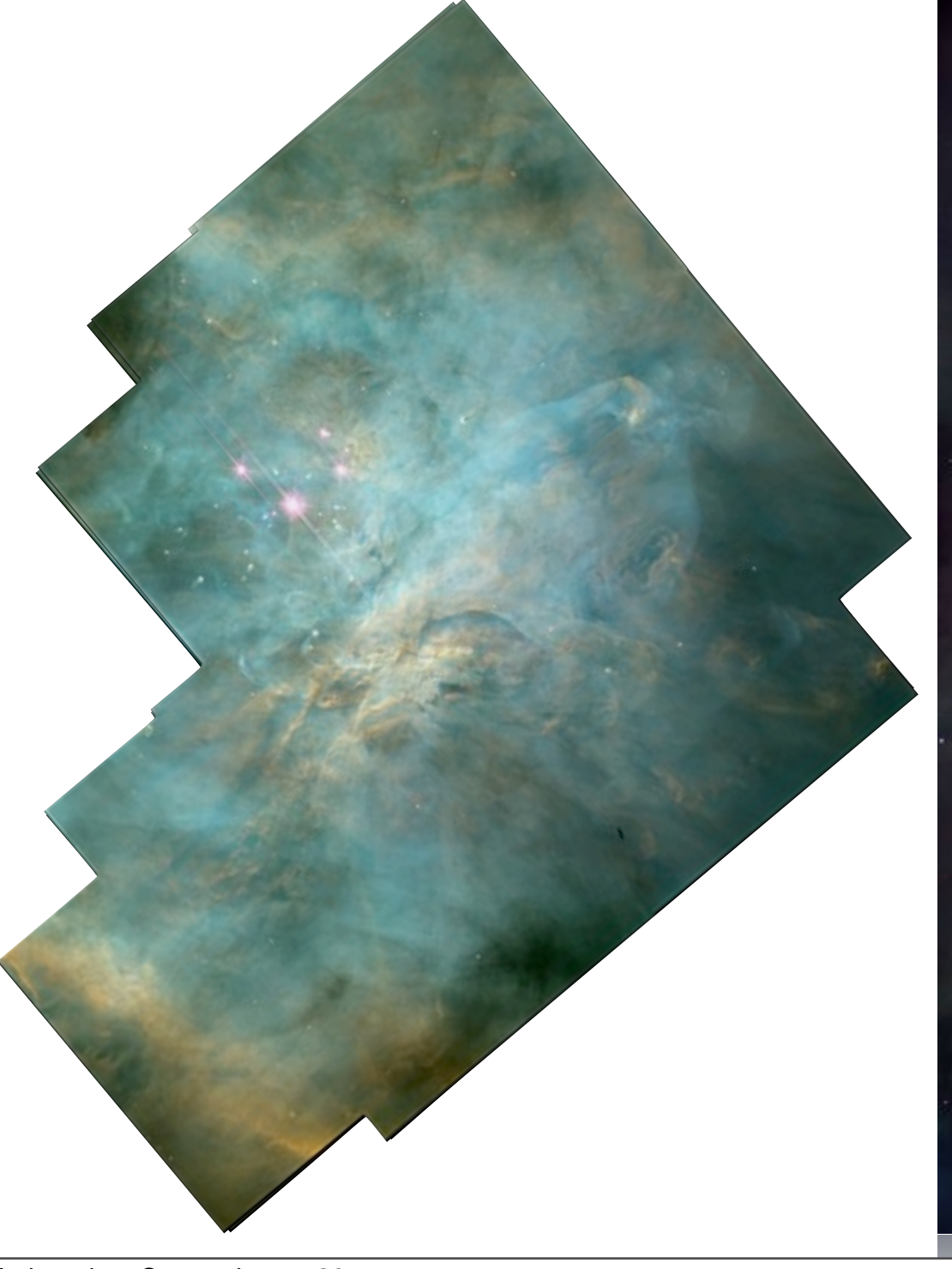


#### La nebulosa di Orione



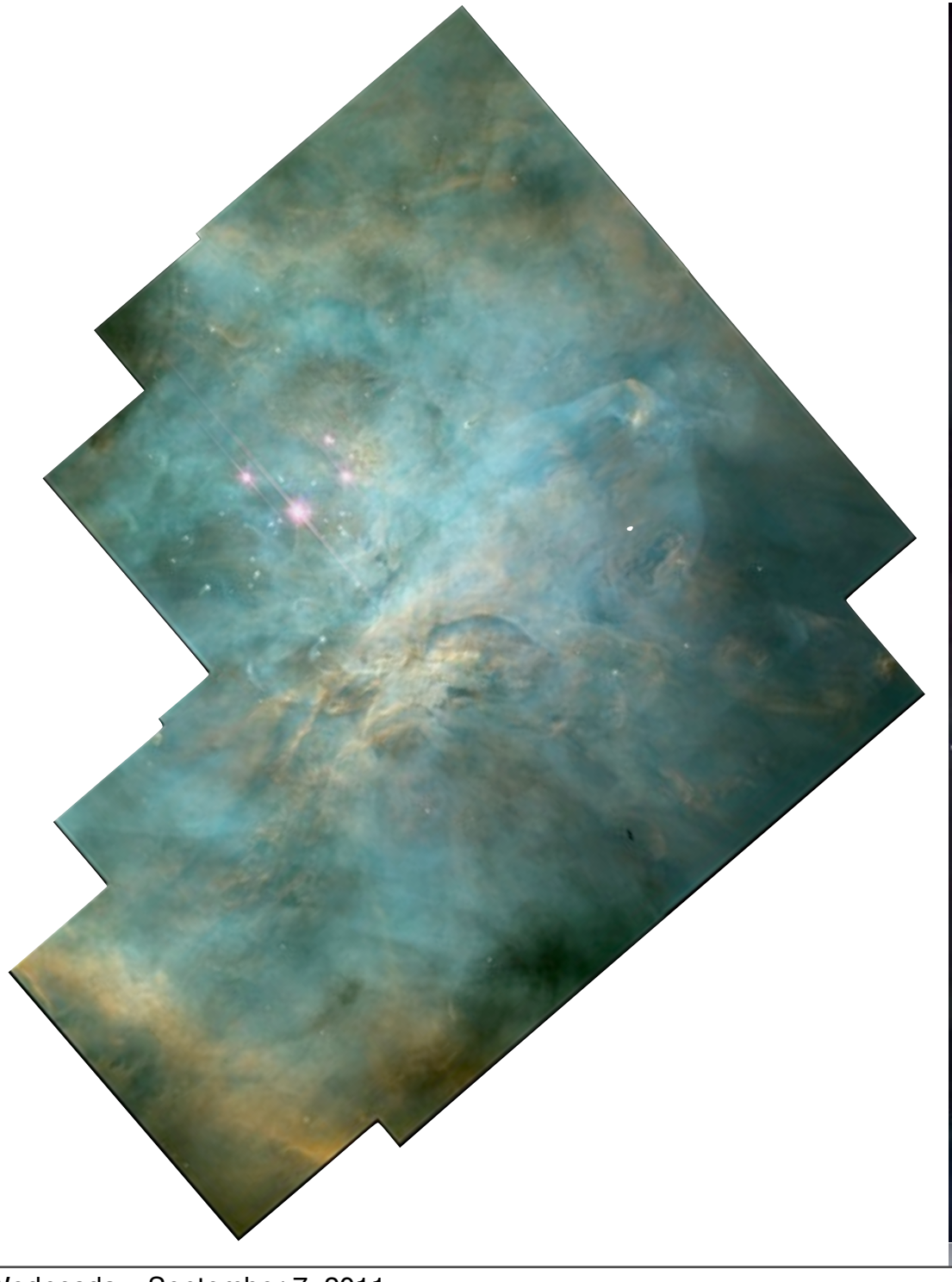


Le stelle del trapezio in Orione





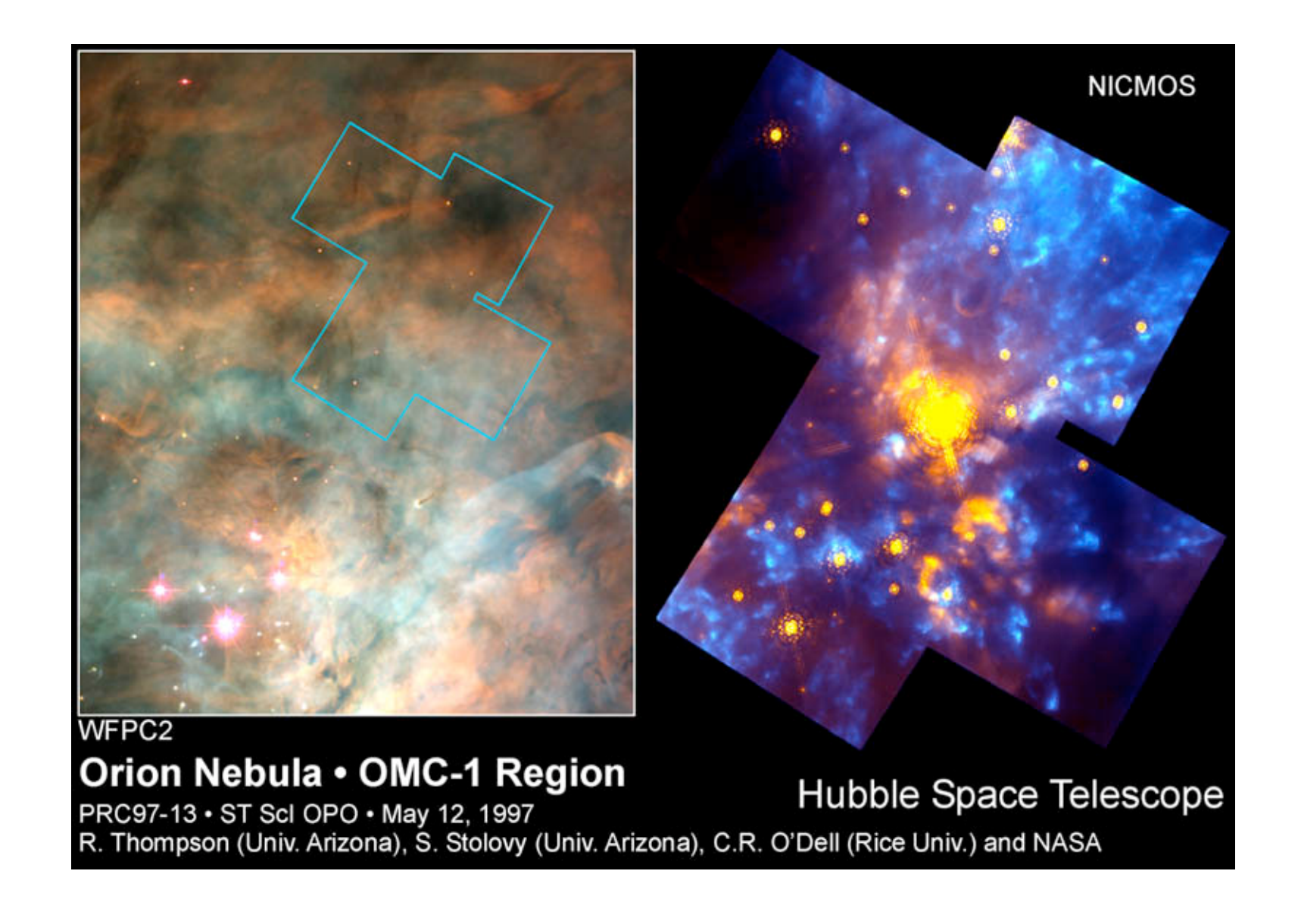
Le stelle del trapezio in Orione





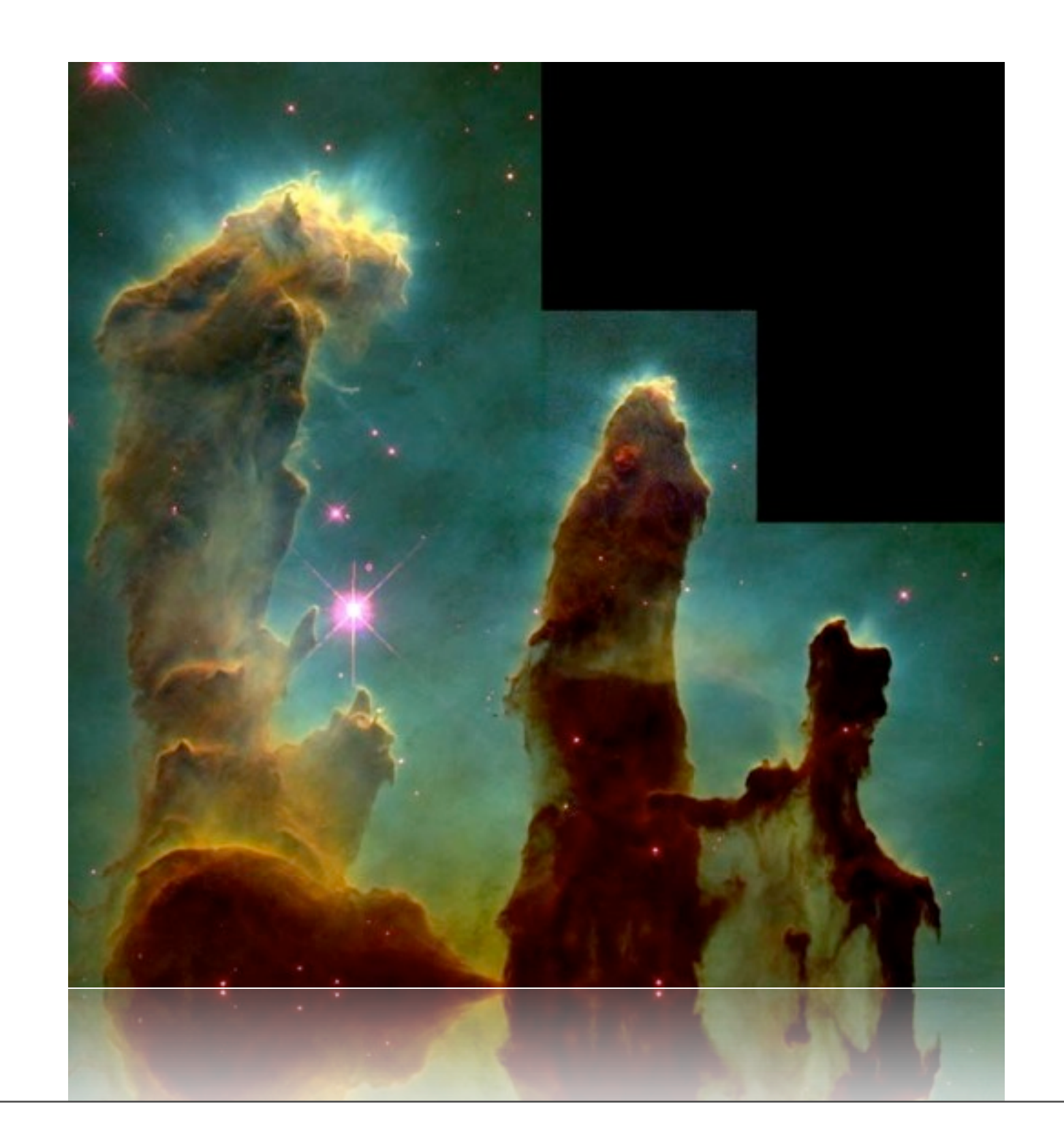
#### Fase 1-b: Proto-stelle

Immagini in luce visibile (WFPC 2) e infrarossa (NICMOS) del telescopio spaziale Hubble.



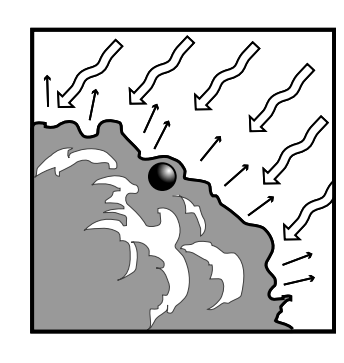
#### Pilastri della creazione in M16

Evaporazione della polvere attorno alle proto-stelle nella nebulosa dell'Aquila



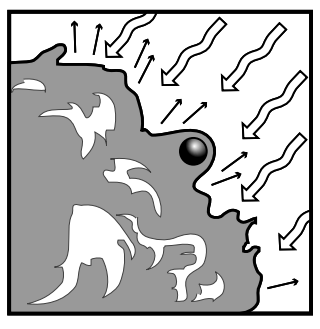
#### Pilastri della creazione in M16

Evaporazione della polvere attorno alle proto-stelle nella nebulosa dell'Aquila

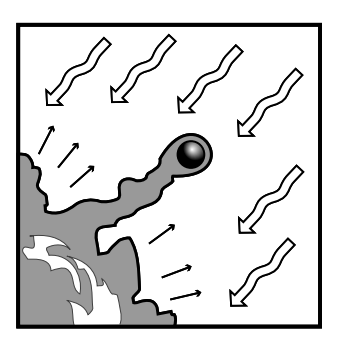


#### Stellar EGGs in M16

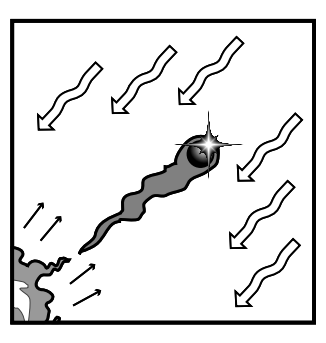
The surface of a molecular cloud is illuminated by intense ultraviolet radiation from nearby hot stars. The radiation evaporates material off of the surface of the cloud.



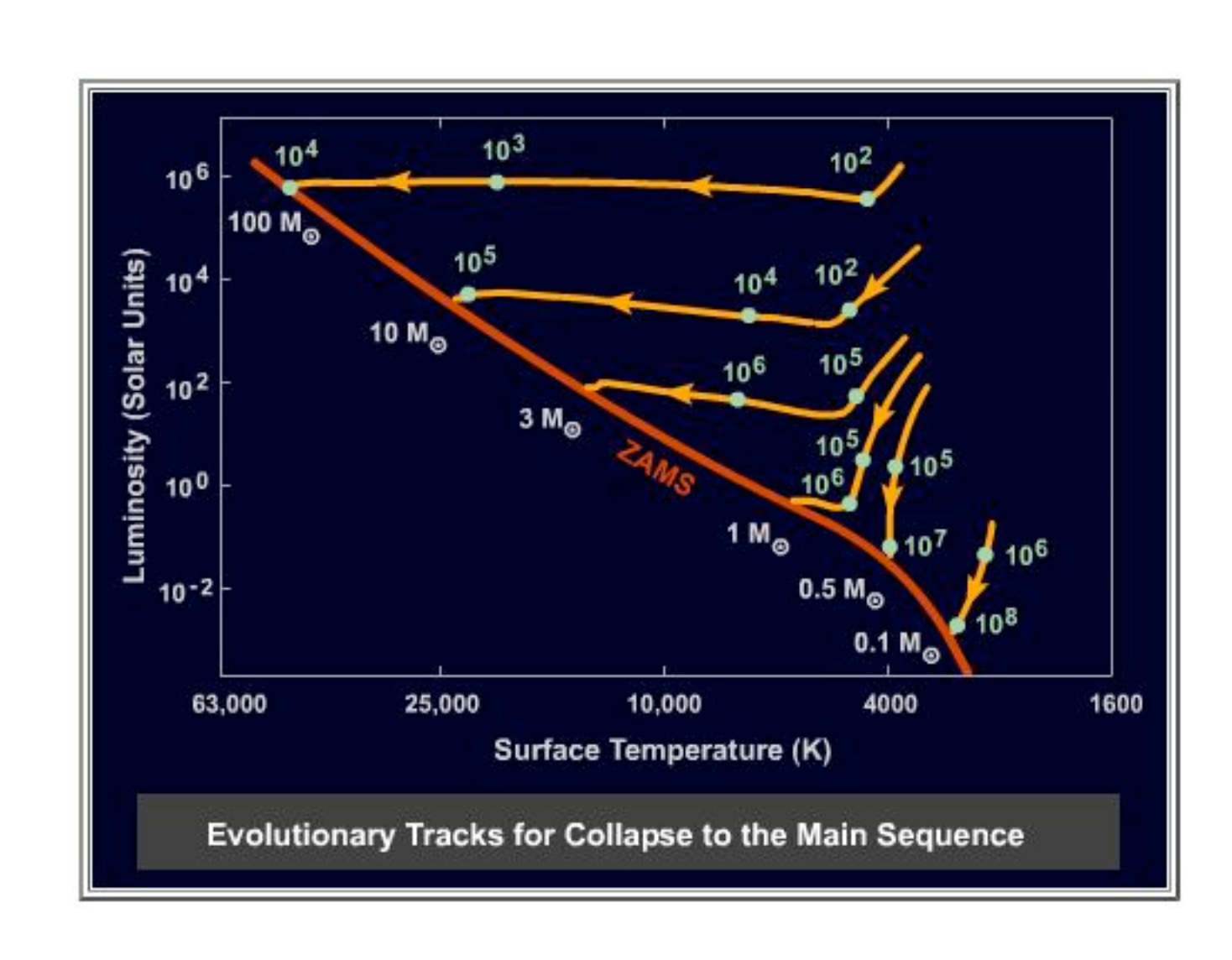
As the cloud is slowly eaten away by the ultraviolet radiation, a denser than average globule of gas begins to be uncovered



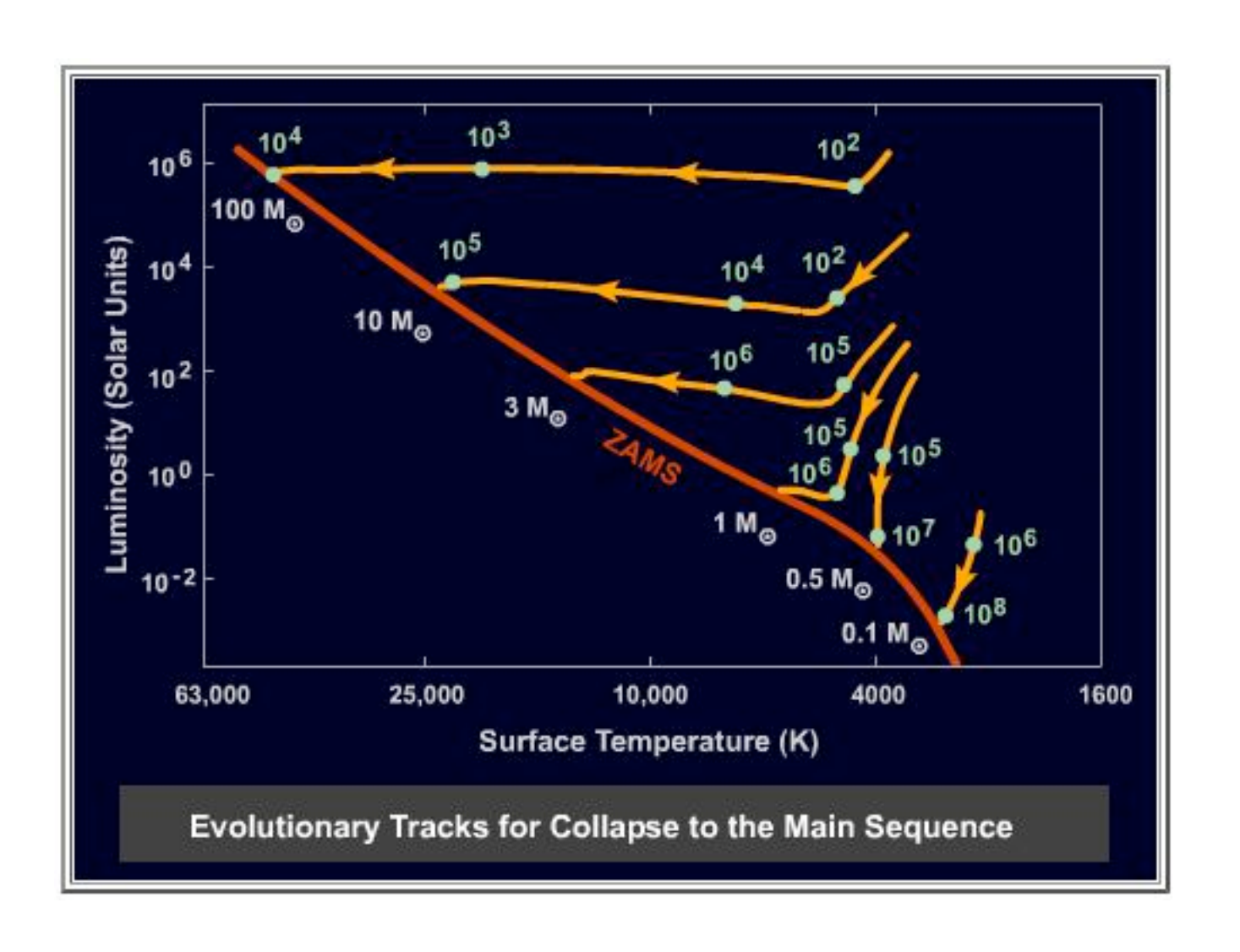
The EGG has now been largely uncovered. The shadow of the EGG protects a column of gas behind it, giving it a fing erlike appearance.



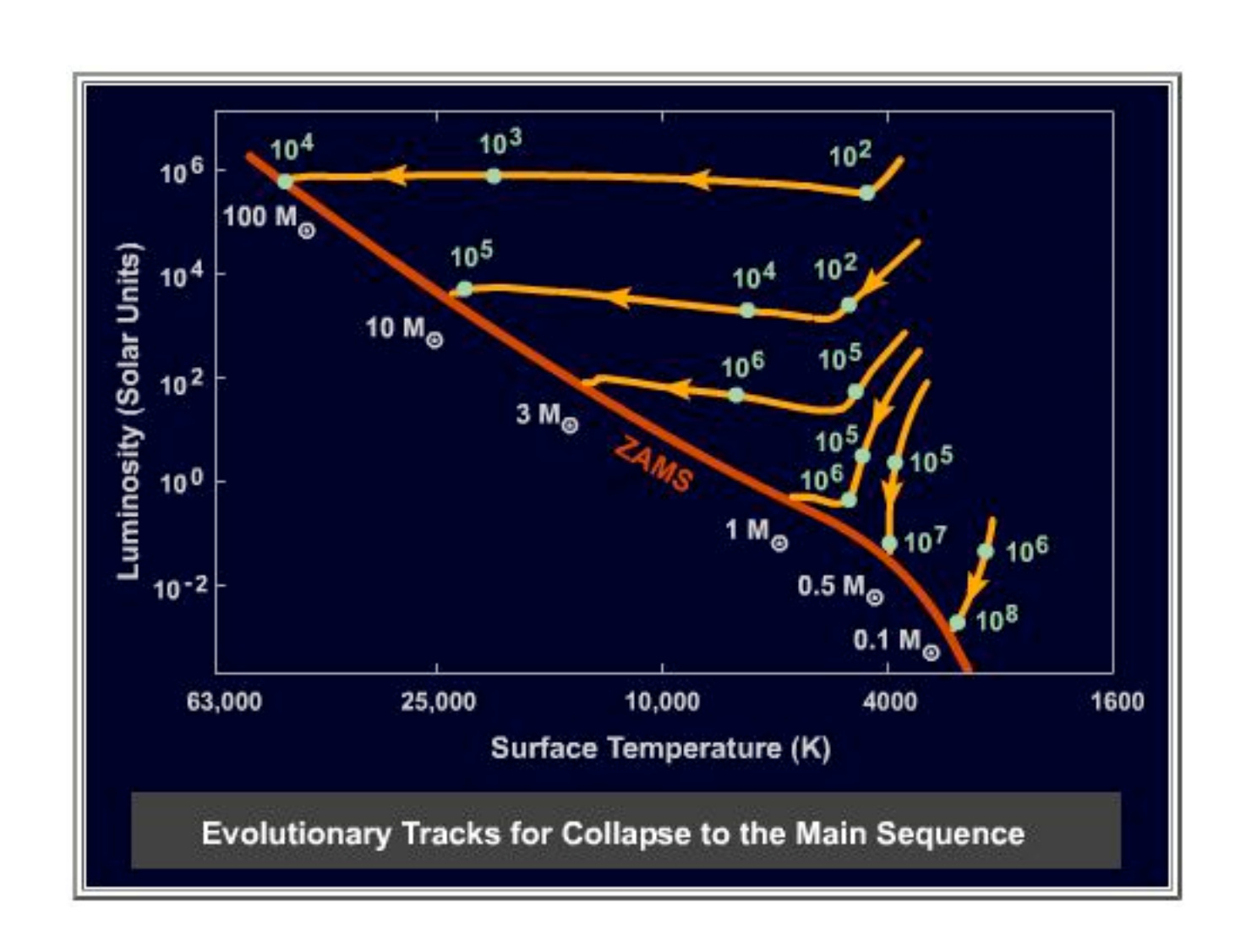
Eventually the EGG may become totally separated from teh molecular cloud in which it formed. As the EGG itself slowly evaporates, the star within is uncovered and may appear sitting on the front surface of the EGG.



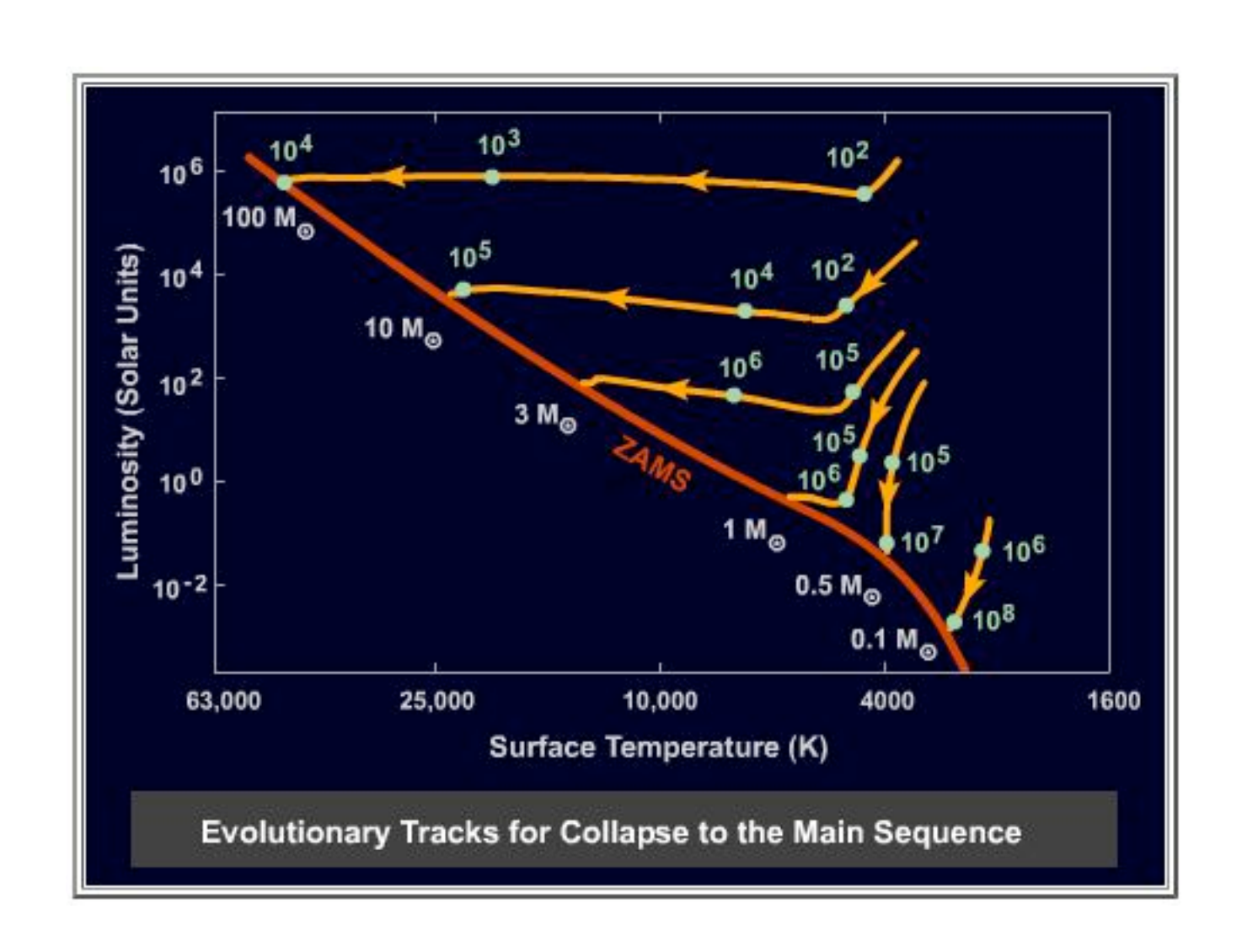
 Quando la proto-stella si è sufficientemente compressa, iniziano le reazioni nucleari di fusione al centro.



- Quando la proto-stella si è sufficientemente compressa, iniziano le reazioni nucleari di fusione al centro.
- Il collasso della nube si ferma e una stella è nata ...



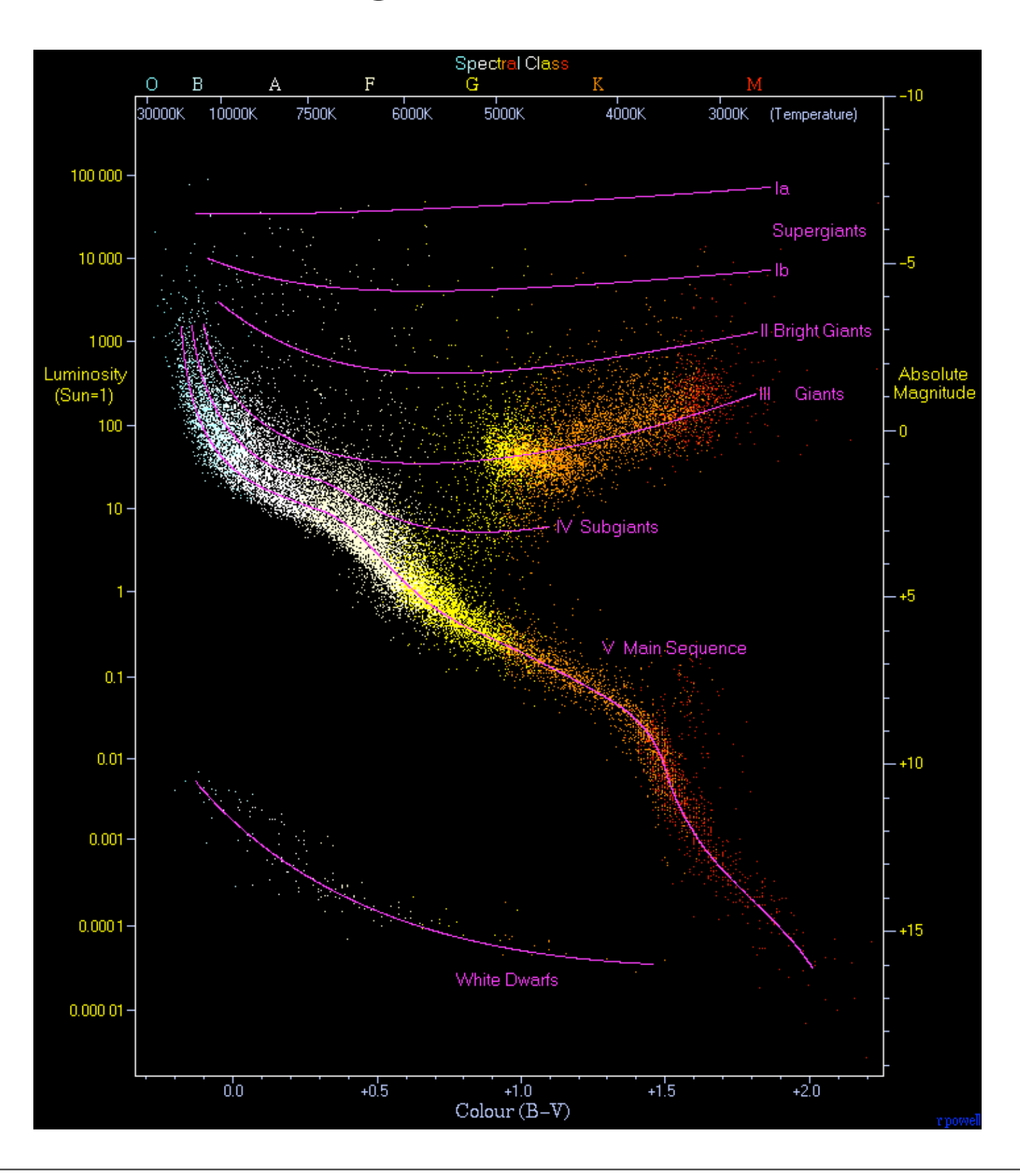
- Quando la proto-stella si è sufficientemente compressa, iniziano le reazioni nucleari di fusione al centro.
- Il collasso della nube si ferma e una stella è nata ...
- Rimarrà il 90% della sua vita sulla "sequenza principale"



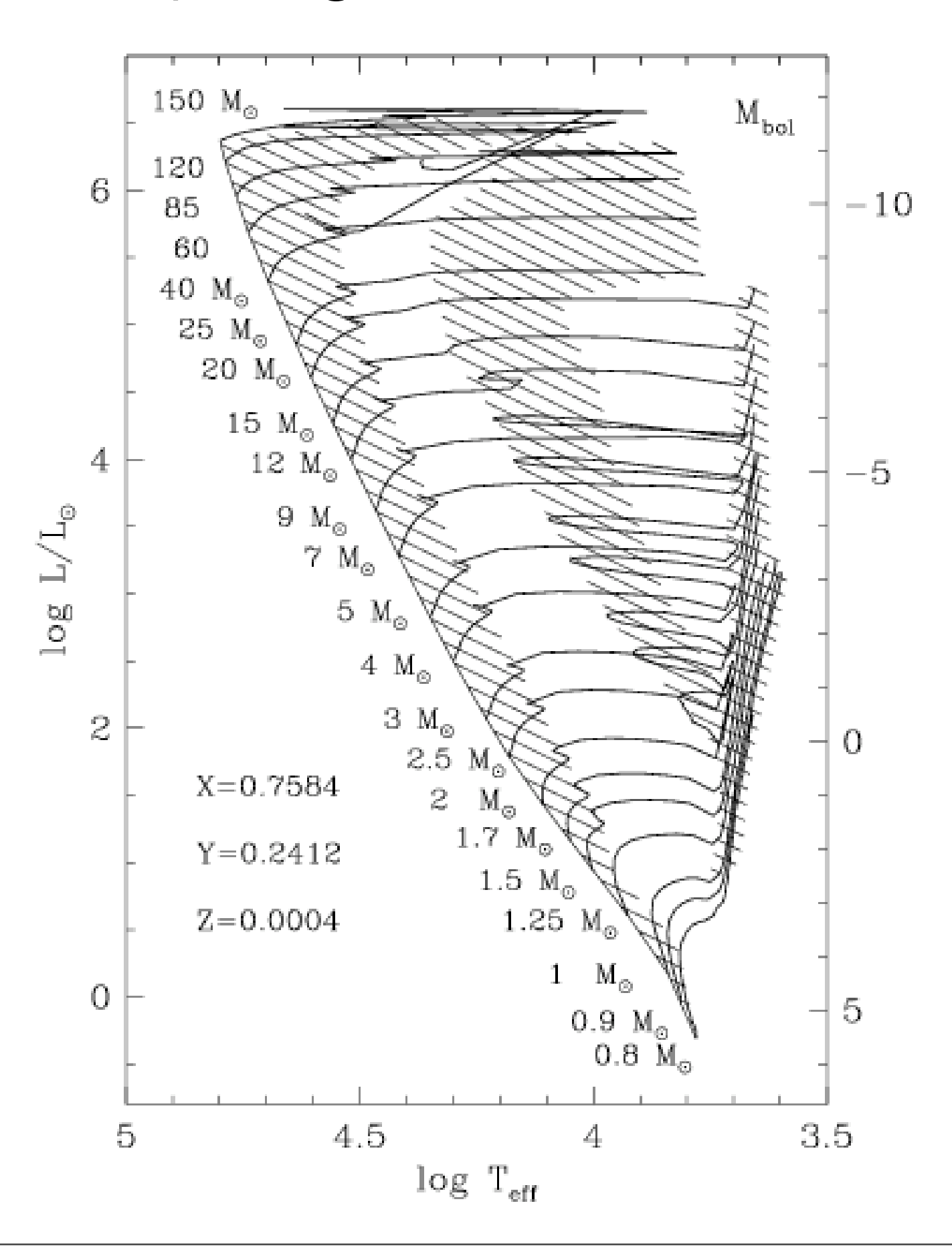
- Quando la proto-stella si è sufficientemente compressa, iniziano le reazioni nucleari di fusione al centro.
- Il collasso della nube si ferma e una stella è nata ...
- Rimarrà il 90% della sua vita sulla "sequenza principale"



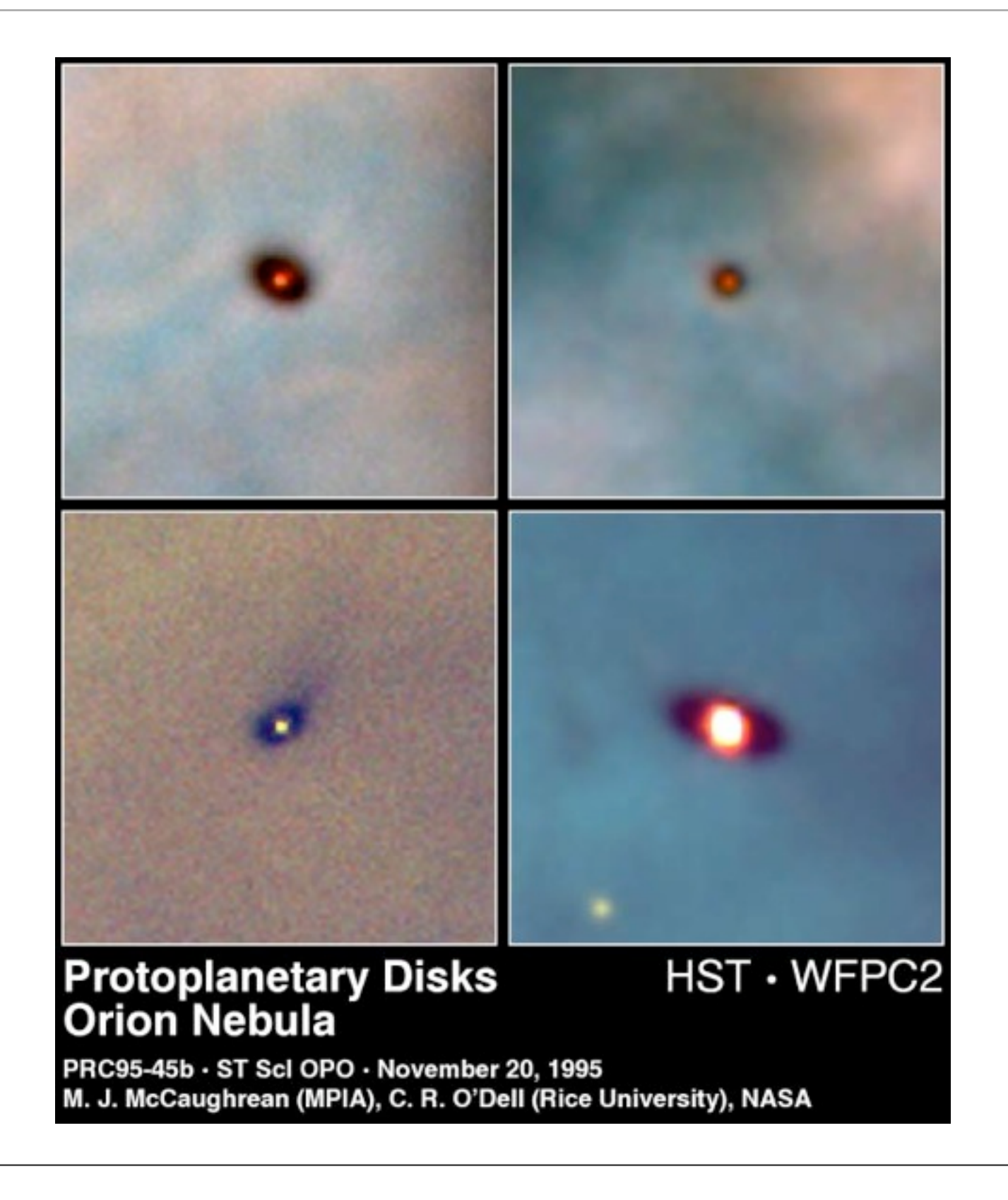
## Diagramma Hertzsprung-Russell



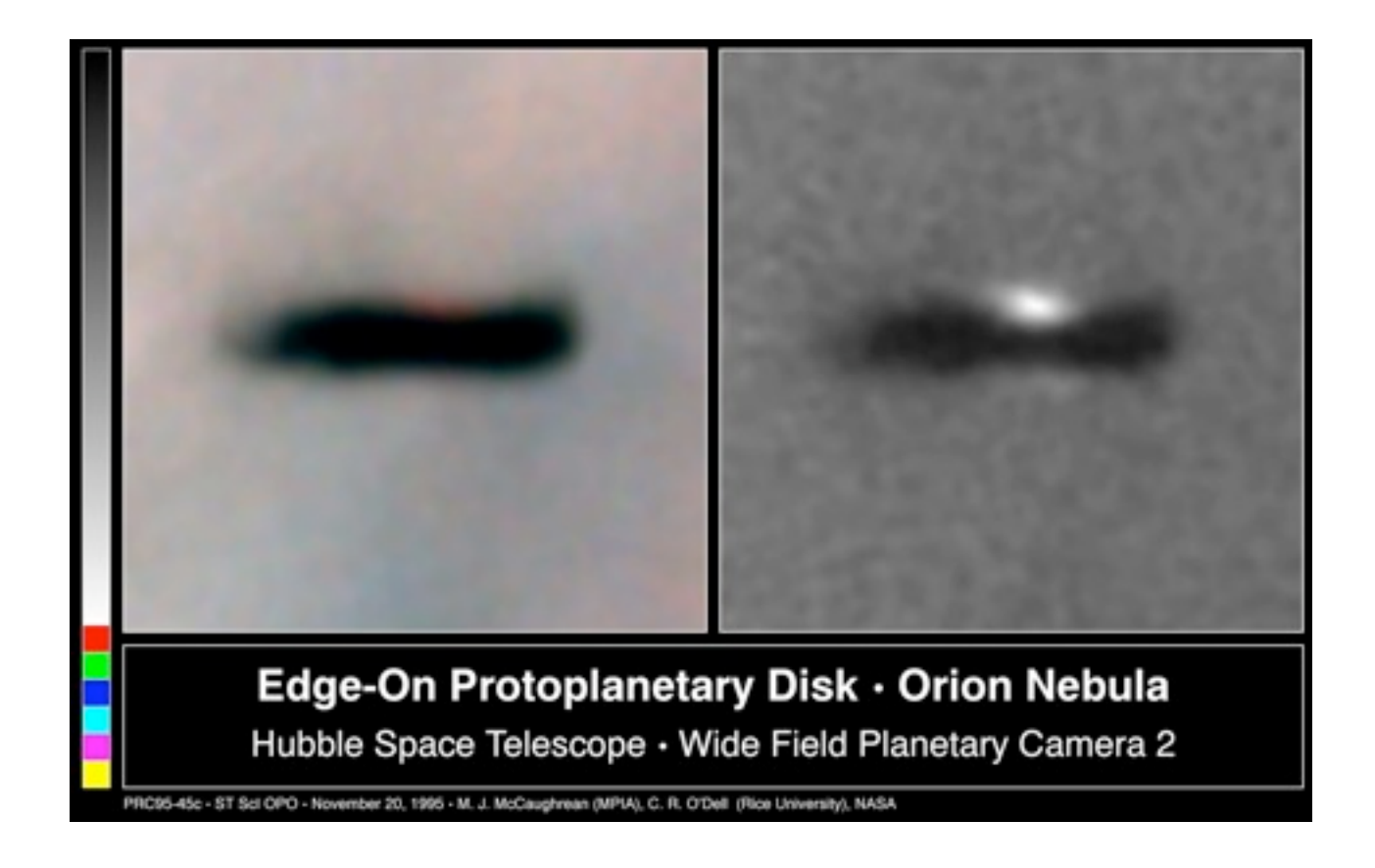
#### Diagramma Hertzsprung-Russell



#### Fase 2-b: Formazione di dischi proto-planetari



#### Fase 2-b: Formazione di dischi proto-planetari



#### Formazione dei pianeti

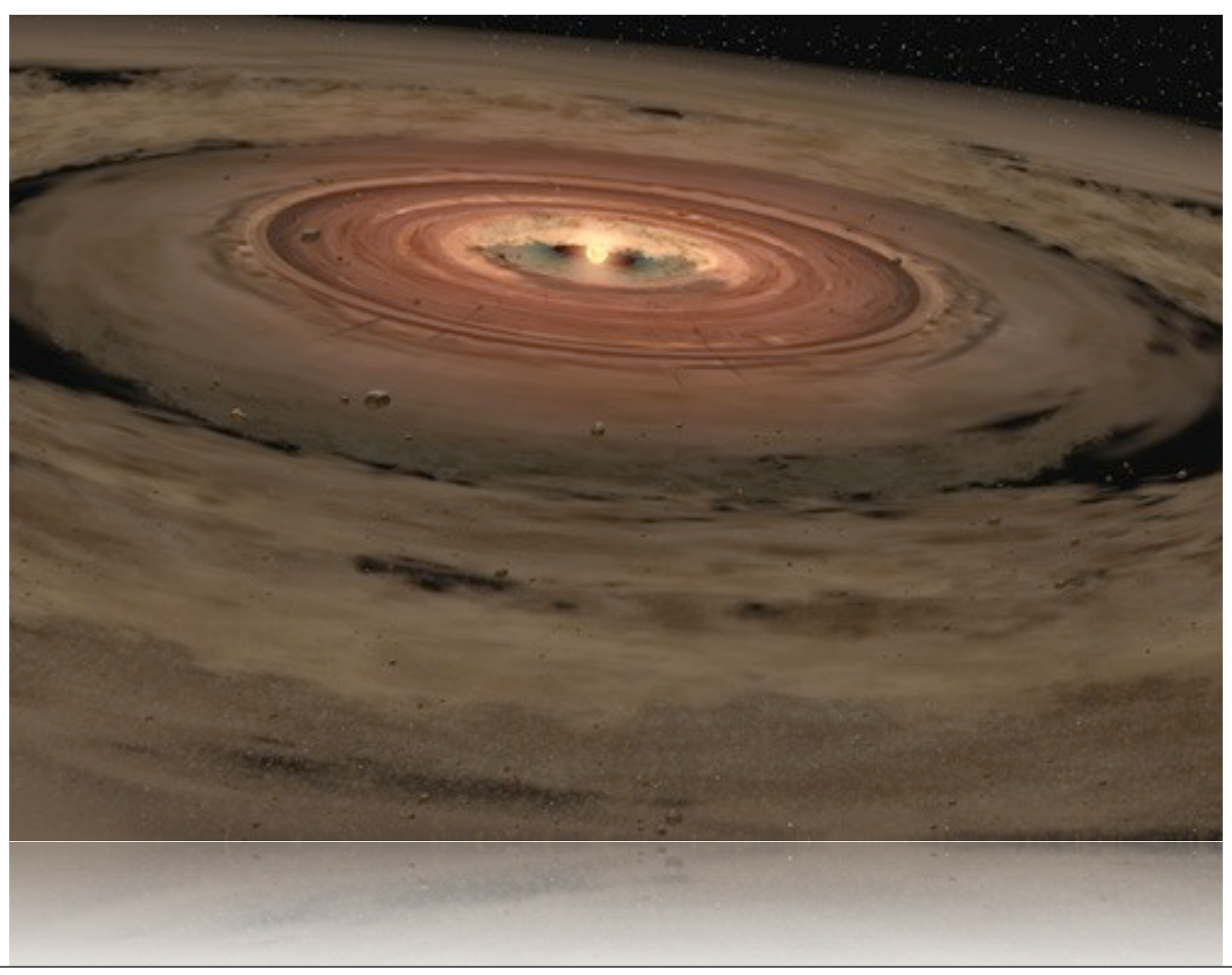


Flared Proto-Planetary Disc (Artist's Impression)

ESO Press Photo 36/06 (28 September 2006) ESO Lucas La September 2009)



# Formazione dei pianeti

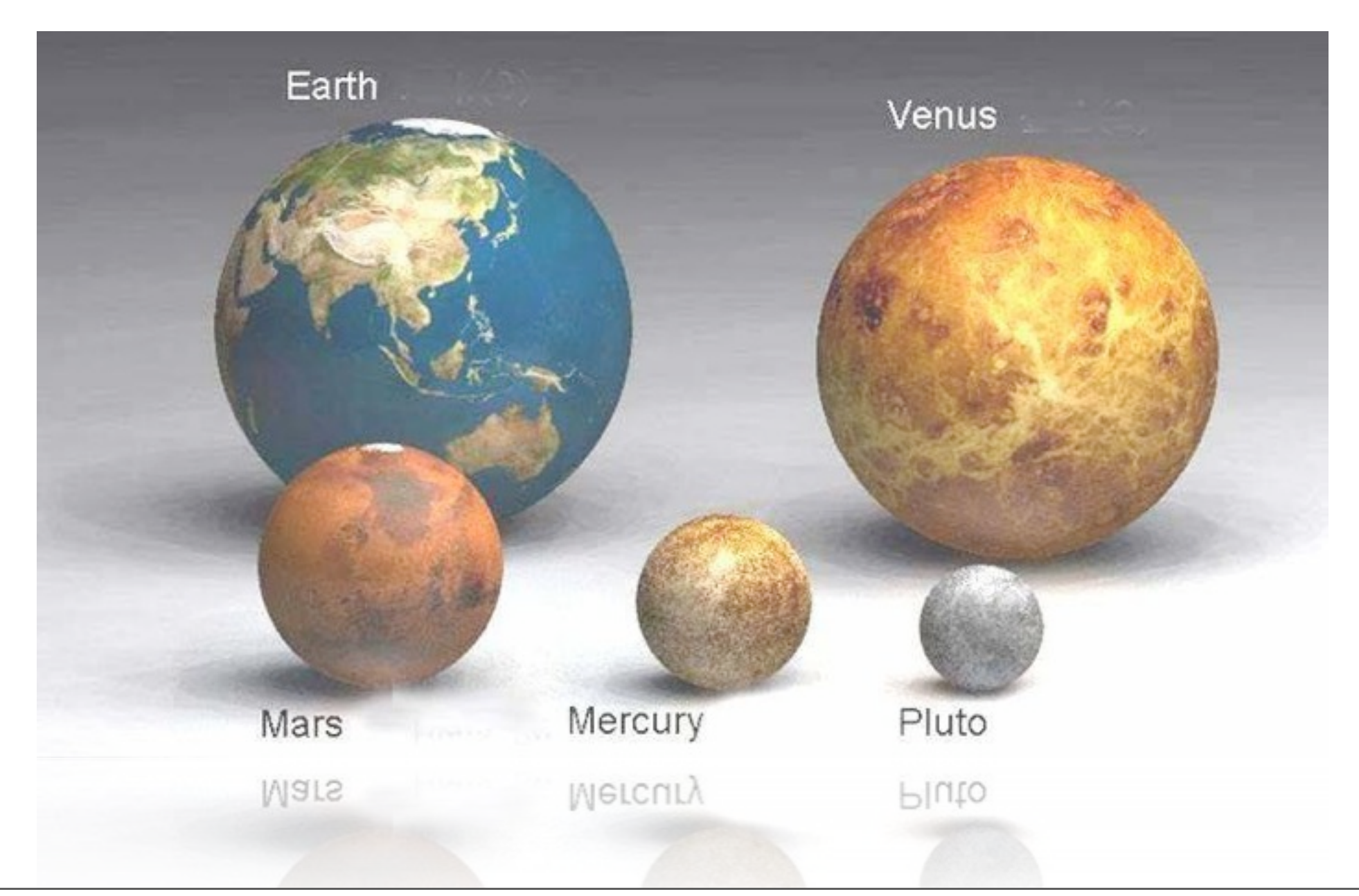


#### Formazione dei pianeti



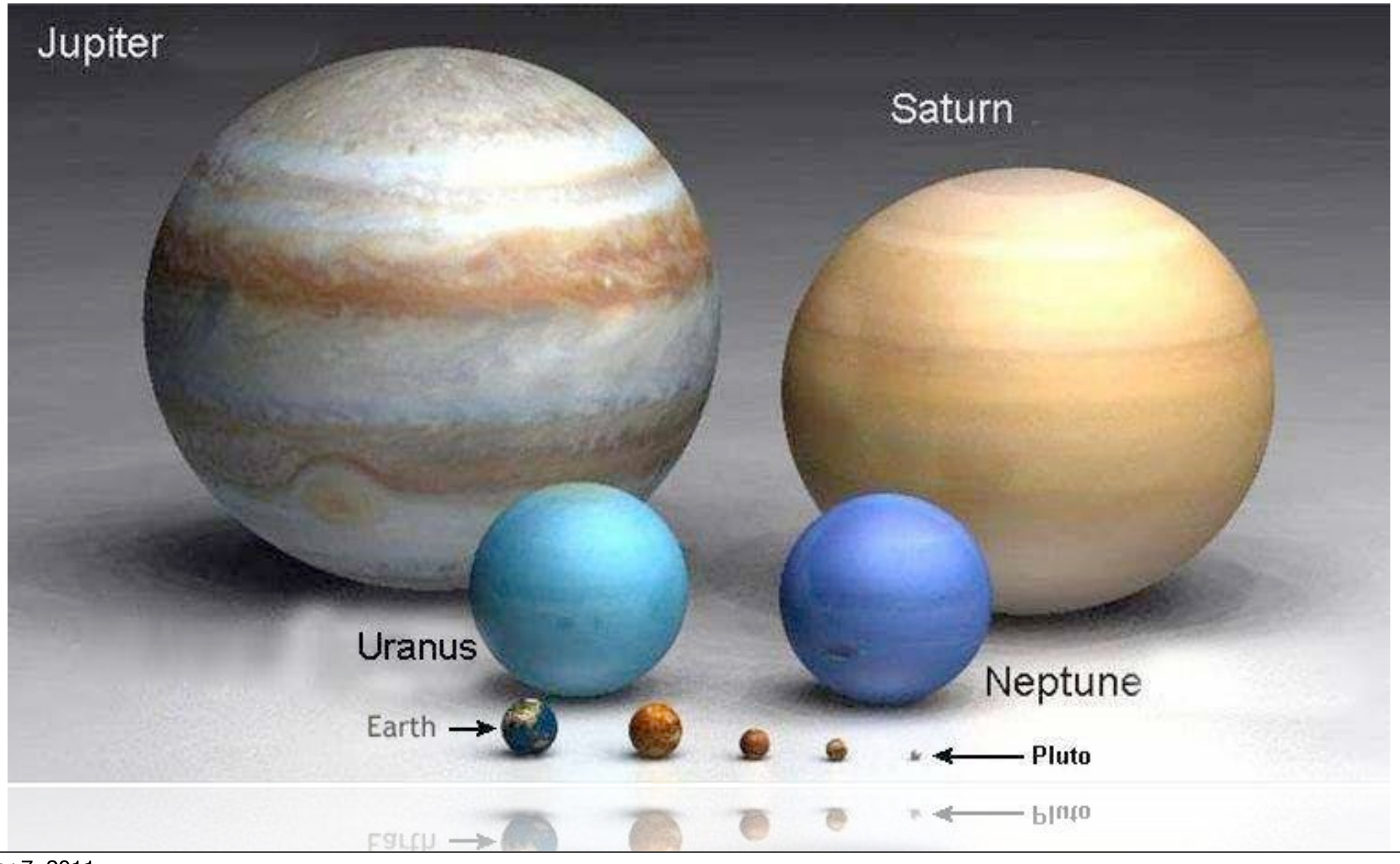
#### Teorie di formazione del nostro sistema solare

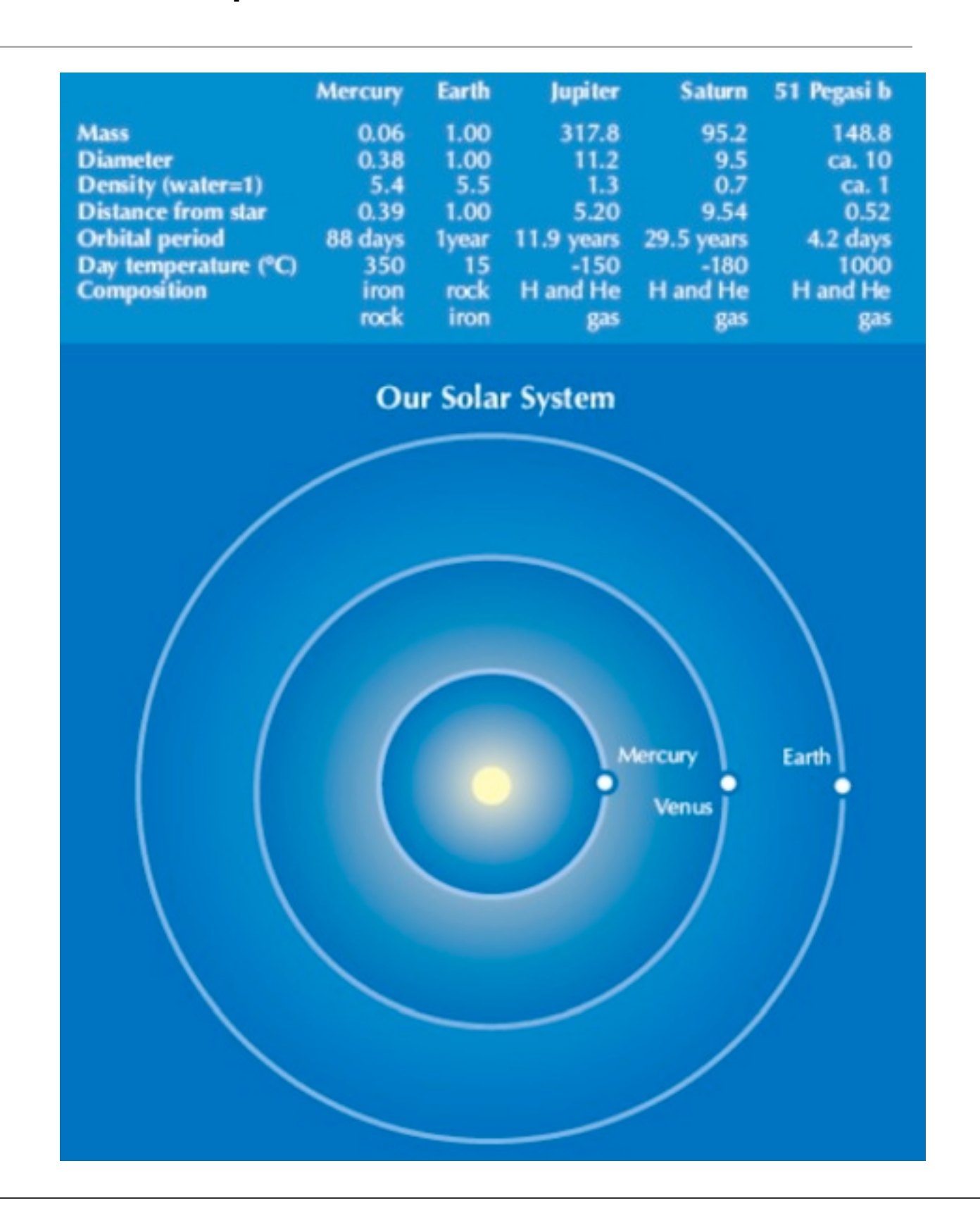
Pianeti interni: pianetasimali, alta temperatura -> pianeti rocciosi

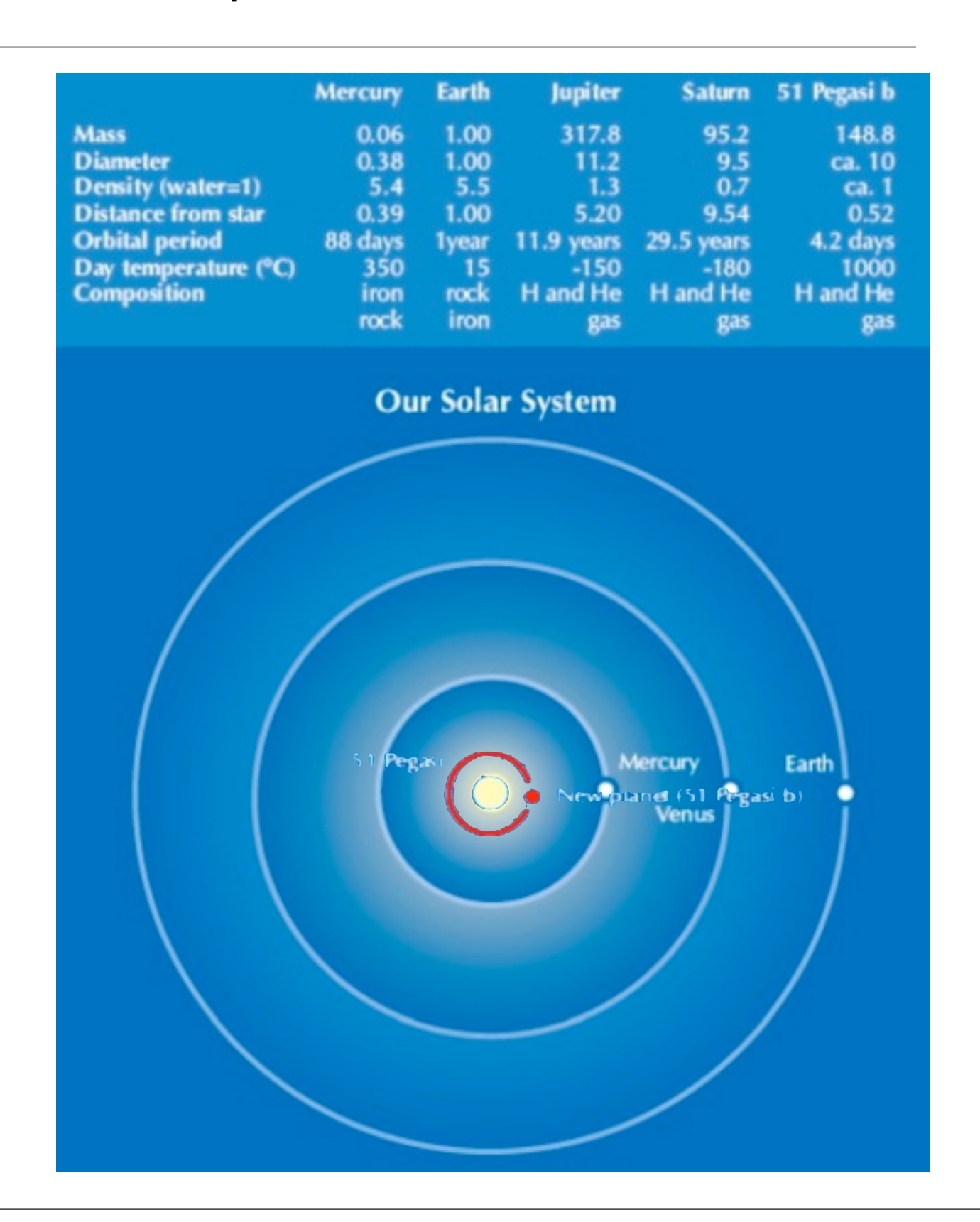


#### Teorie di formazione del nostro sistema solare

Pianeti esterni: pianetasimali, bassa temperatura, grande serbatoio di gas giganti gassosi.

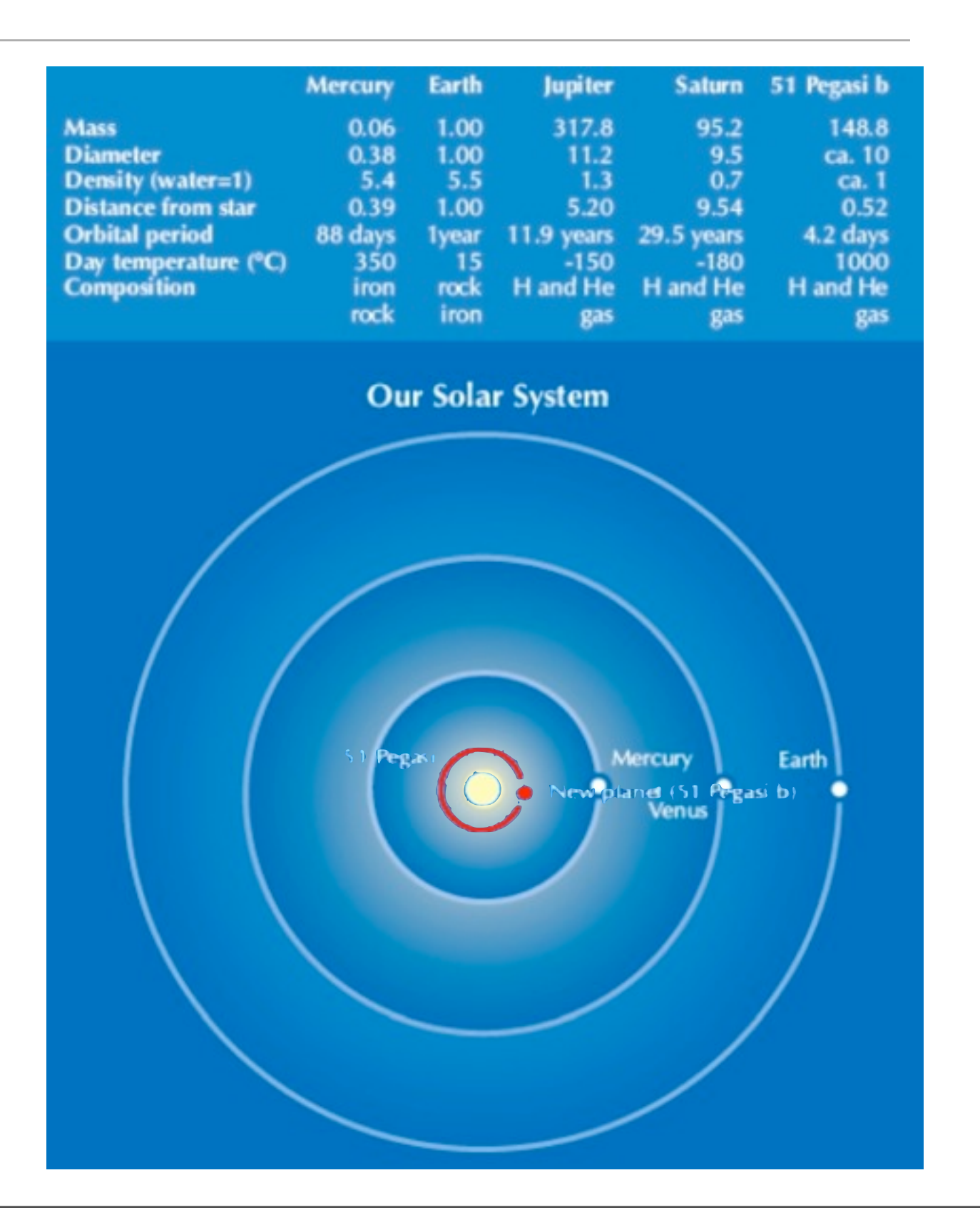




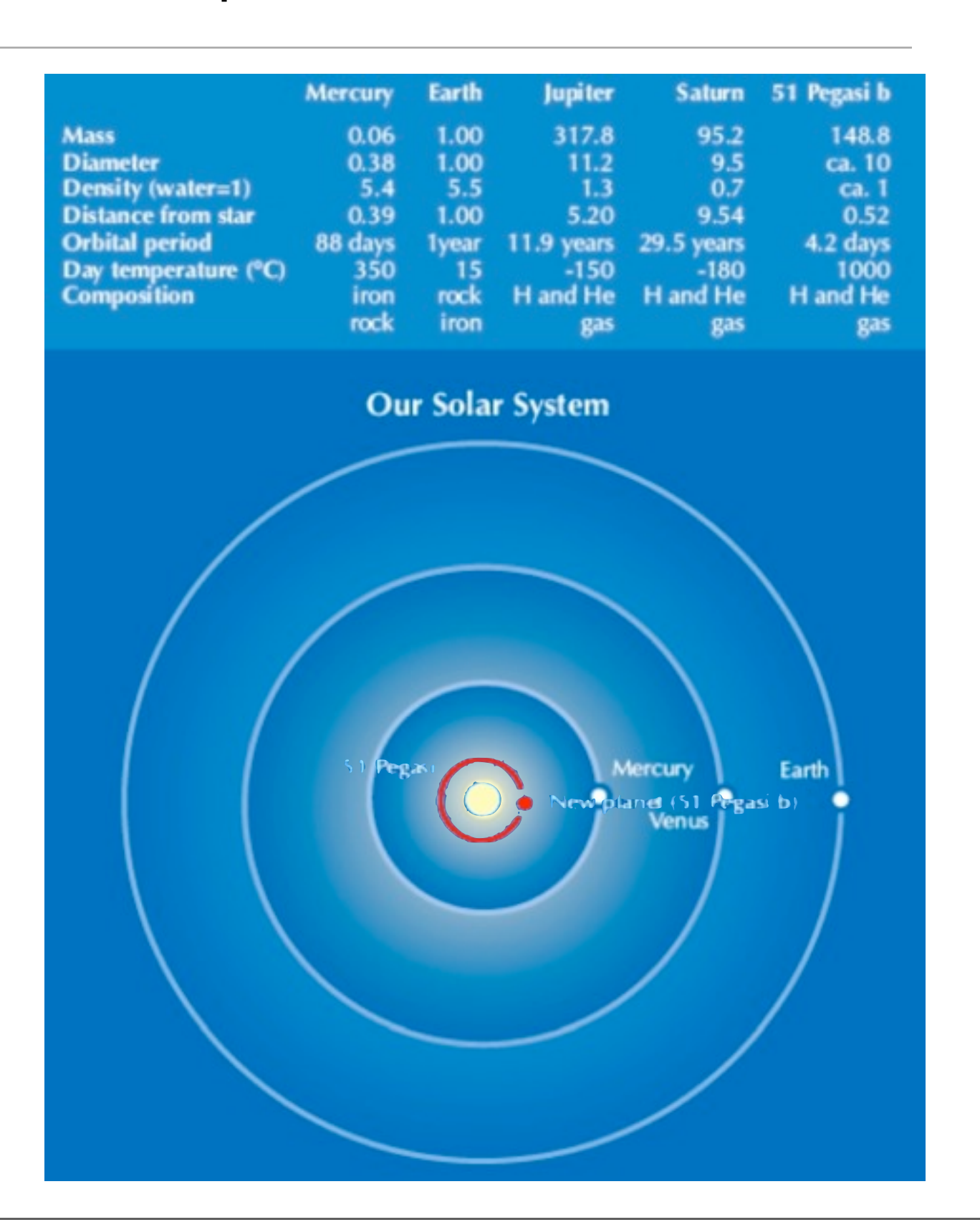


51 Pegasi b (Mayor & Queloz 1995) primo pianeta extra-solare, attorno ad una stella simile al nostro Sole

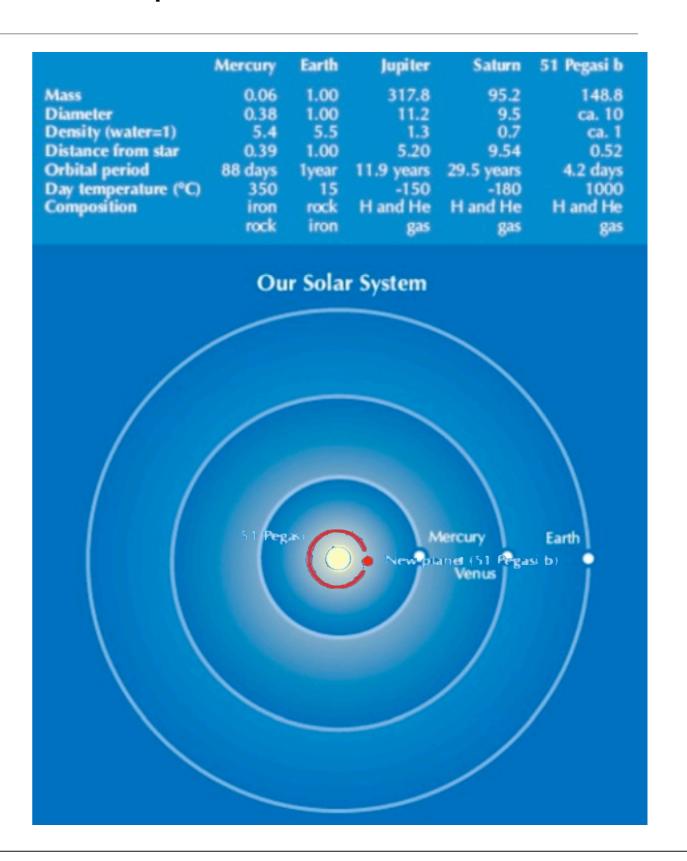
Gigante di gas



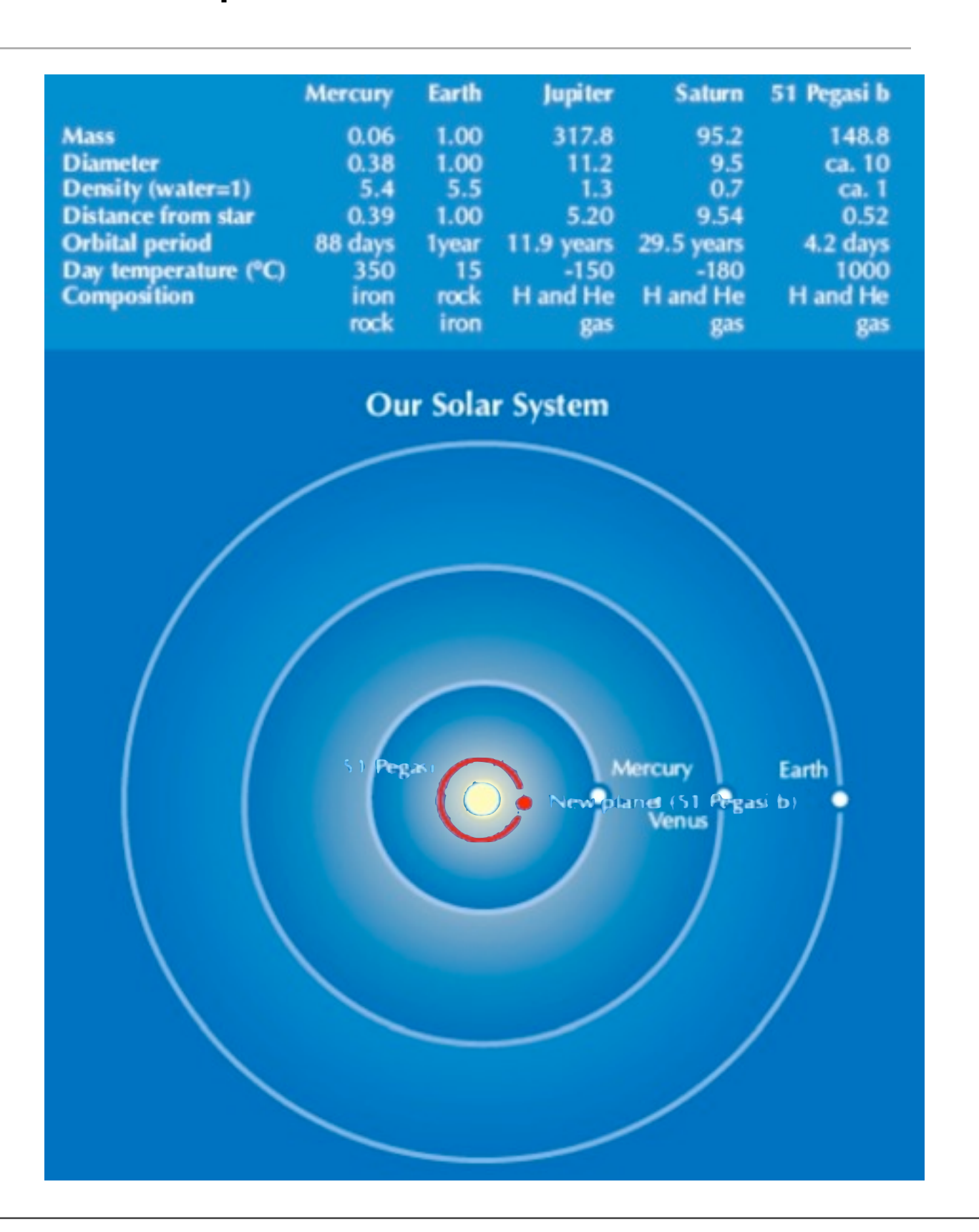
- Gigante di gas
- Massa: metà della massa di Giove



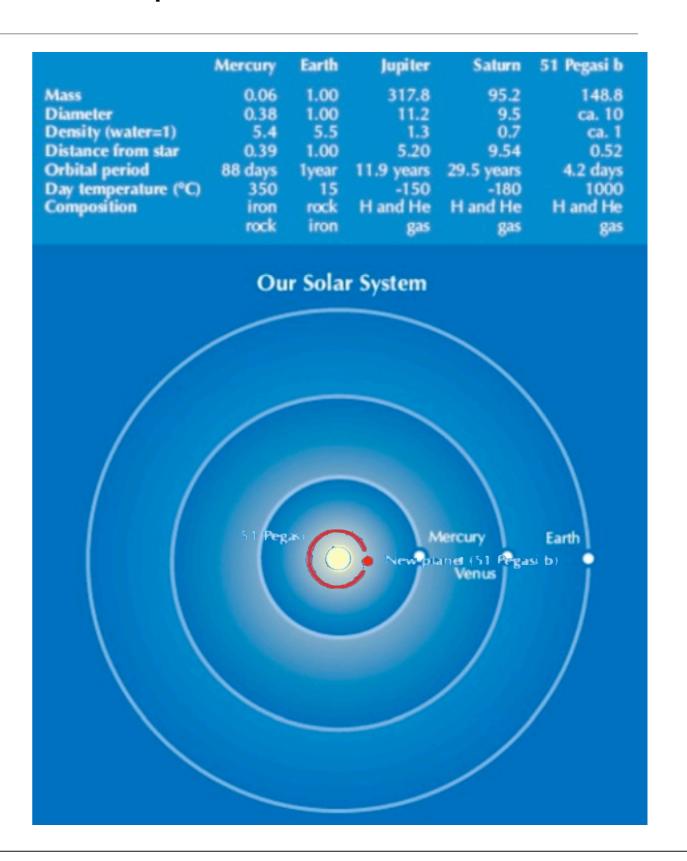
- Gigante di gas
- Massa: metà della massa di Giove
- Periodo orbitale: 4 giorni

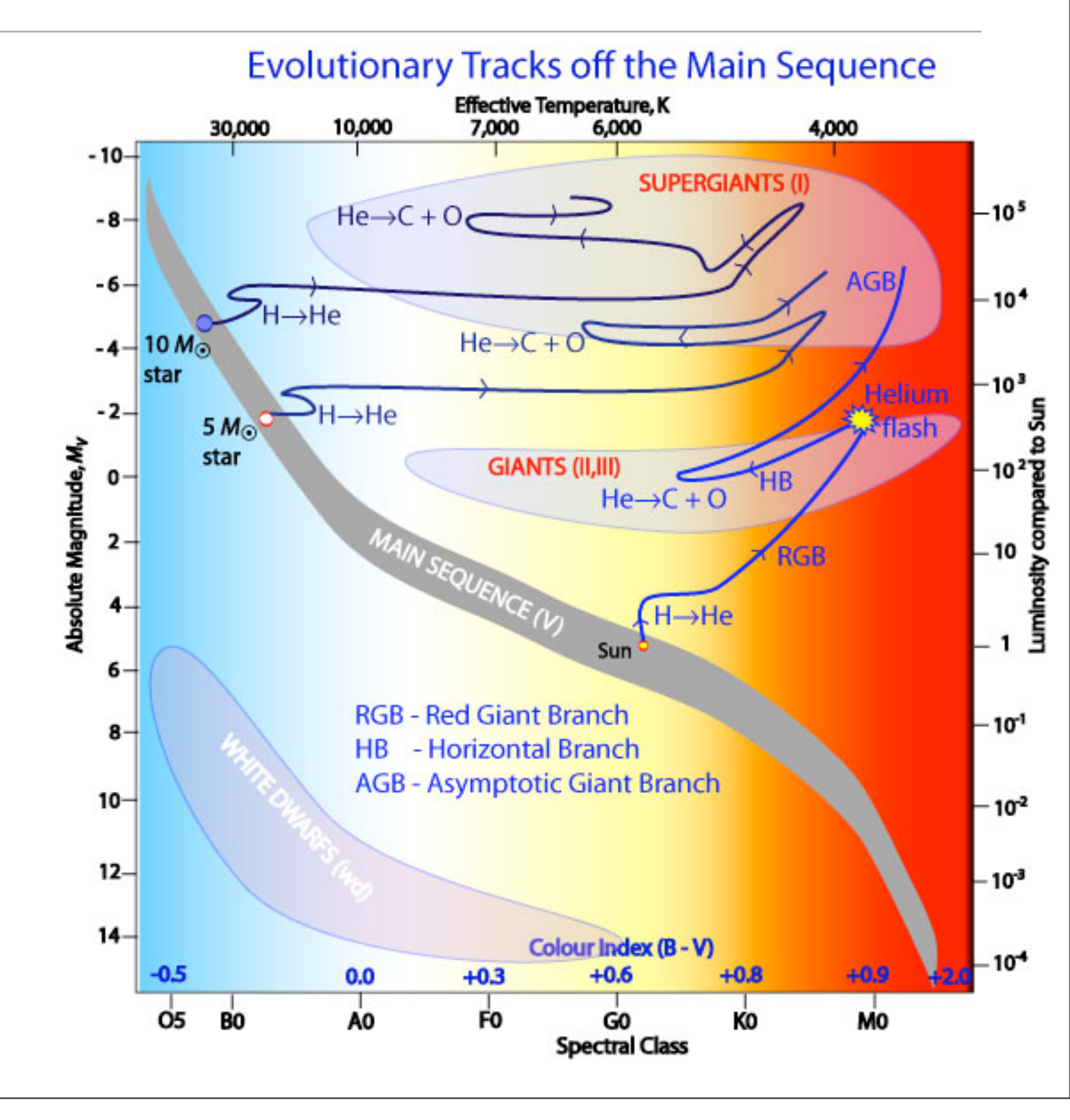


- Gigante di gas
- Massa: metà della massa di Giove
- Periodo orbitale: 4 giorni
- Distanza alla stella: 0.05 UA



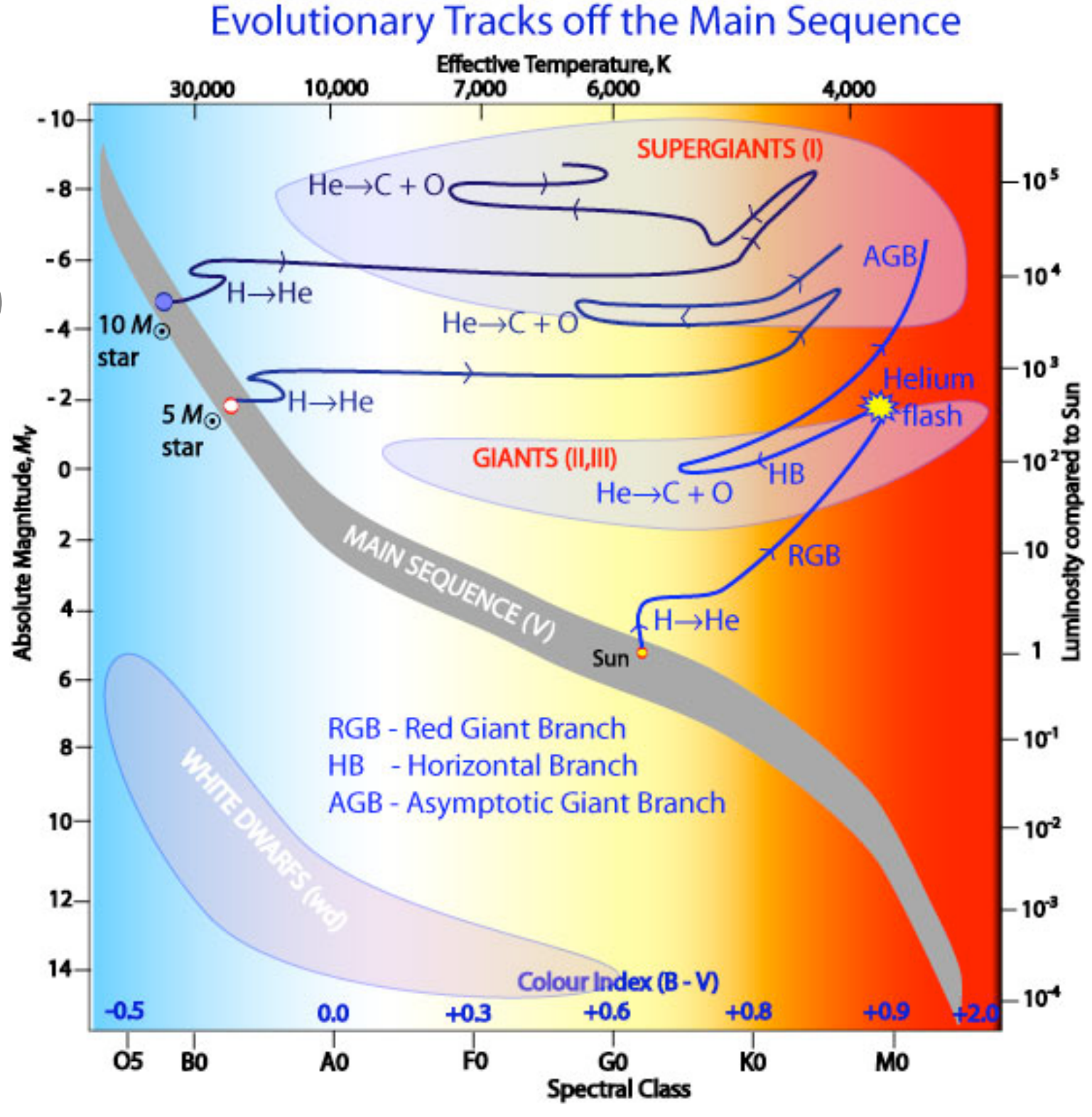
- Gigante di gas
- Massa: metà della massa di Giove
- Periodo orbitale: 4 giorni
- Distanza alla stella: 0.05 UA
- Migrazione ?





Percorso di una stella come il Sole nel diagramma HR:

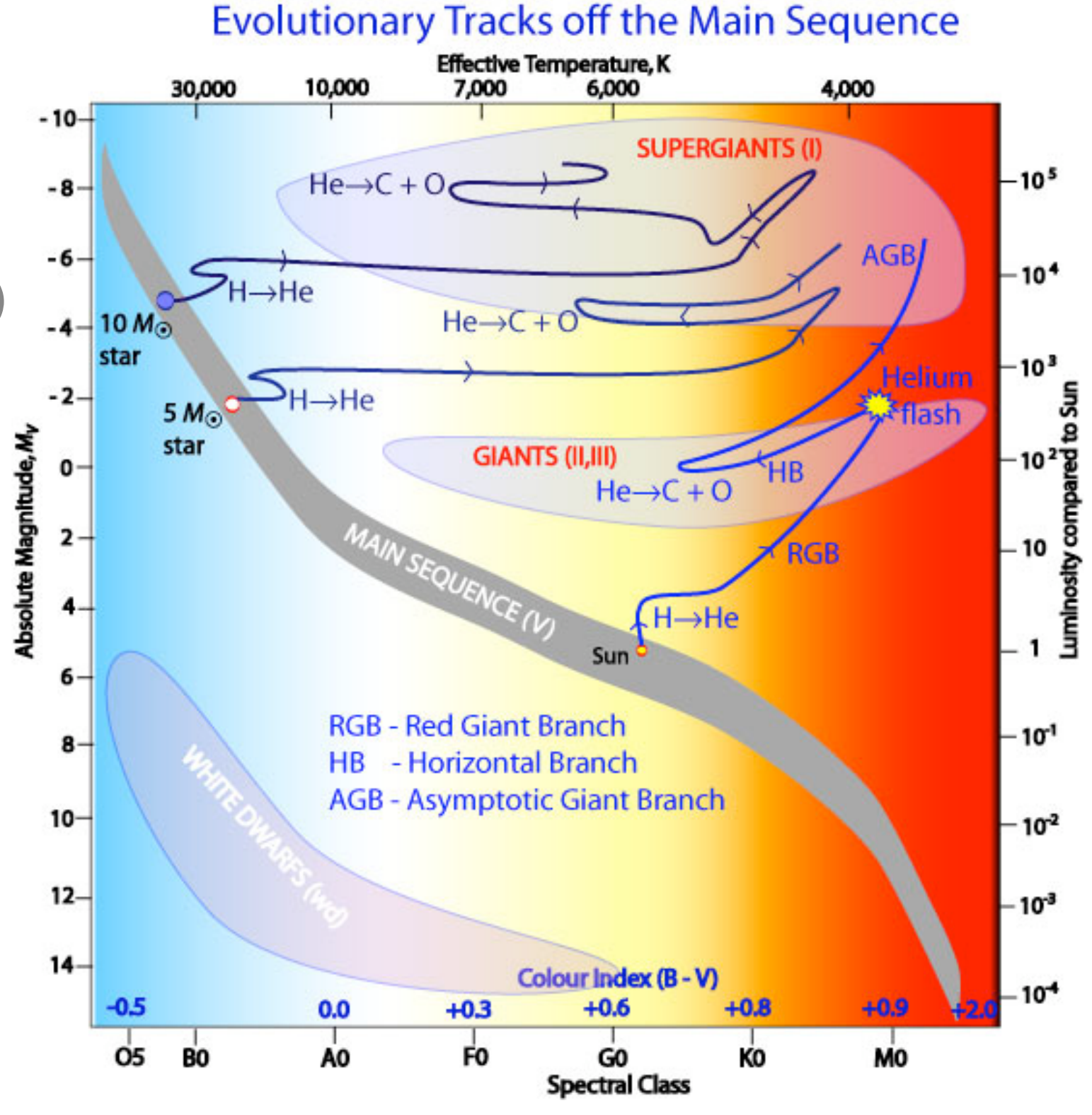
a. Ramo delle giganti rosse (RGB)



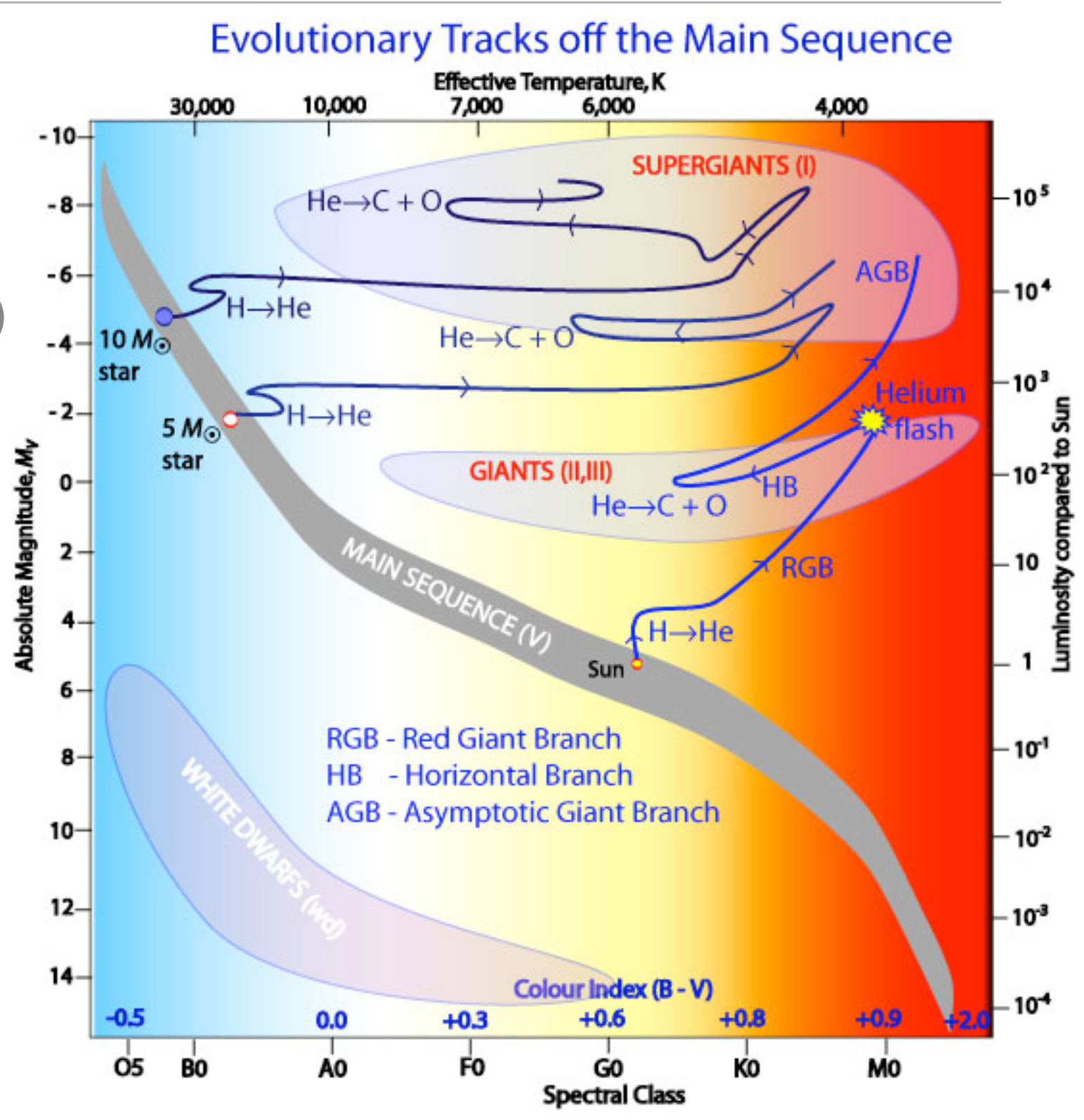
Percorso di una stella come il Sole nel diagramma HR:

a. Ramo delle giganti rosse (RGB)

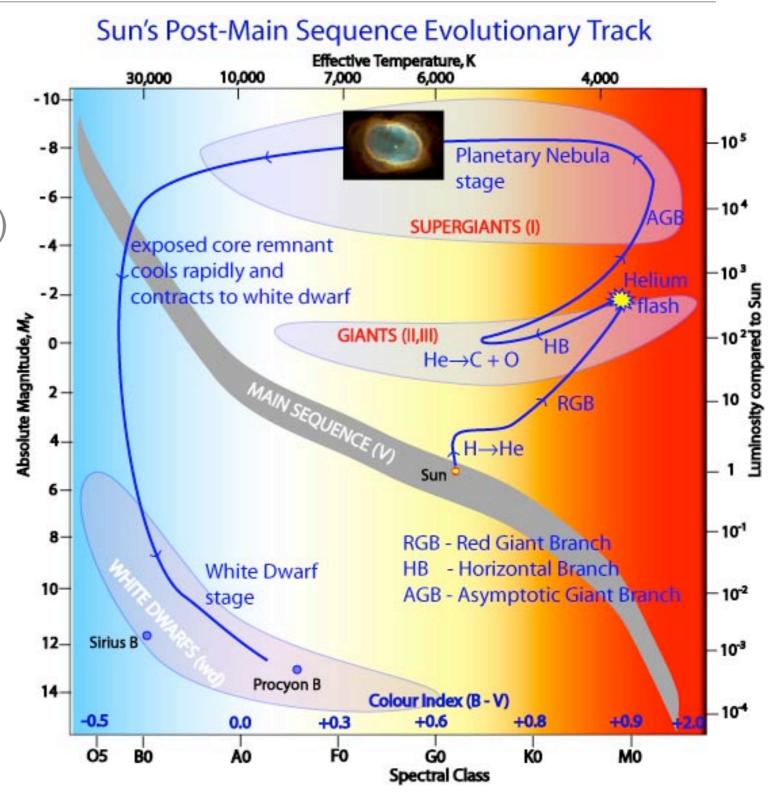
b. Ramo orizzontale (HB)



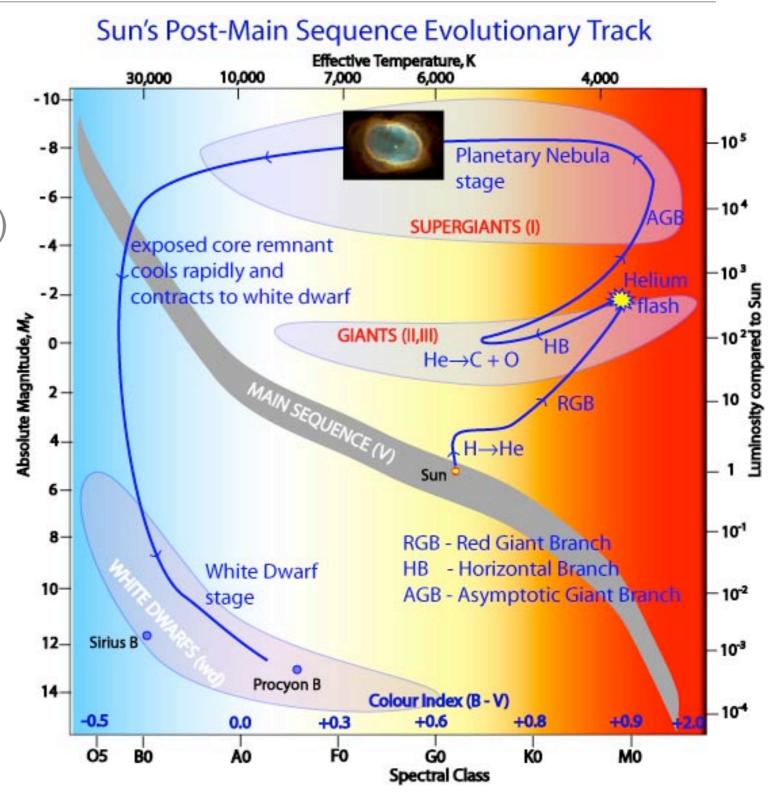
- a. Ramo delle giganti rosse (RGB)
- b. Ramo orizzontale (HB)
- c. Ramo asintotico (AGB)



- a. Ramo delle giganti rosse (RGB)
- b. Ramo orizzontale (HB)
- c. Ramo asintotico (AGB)
- 4. Nebulosa planetaria

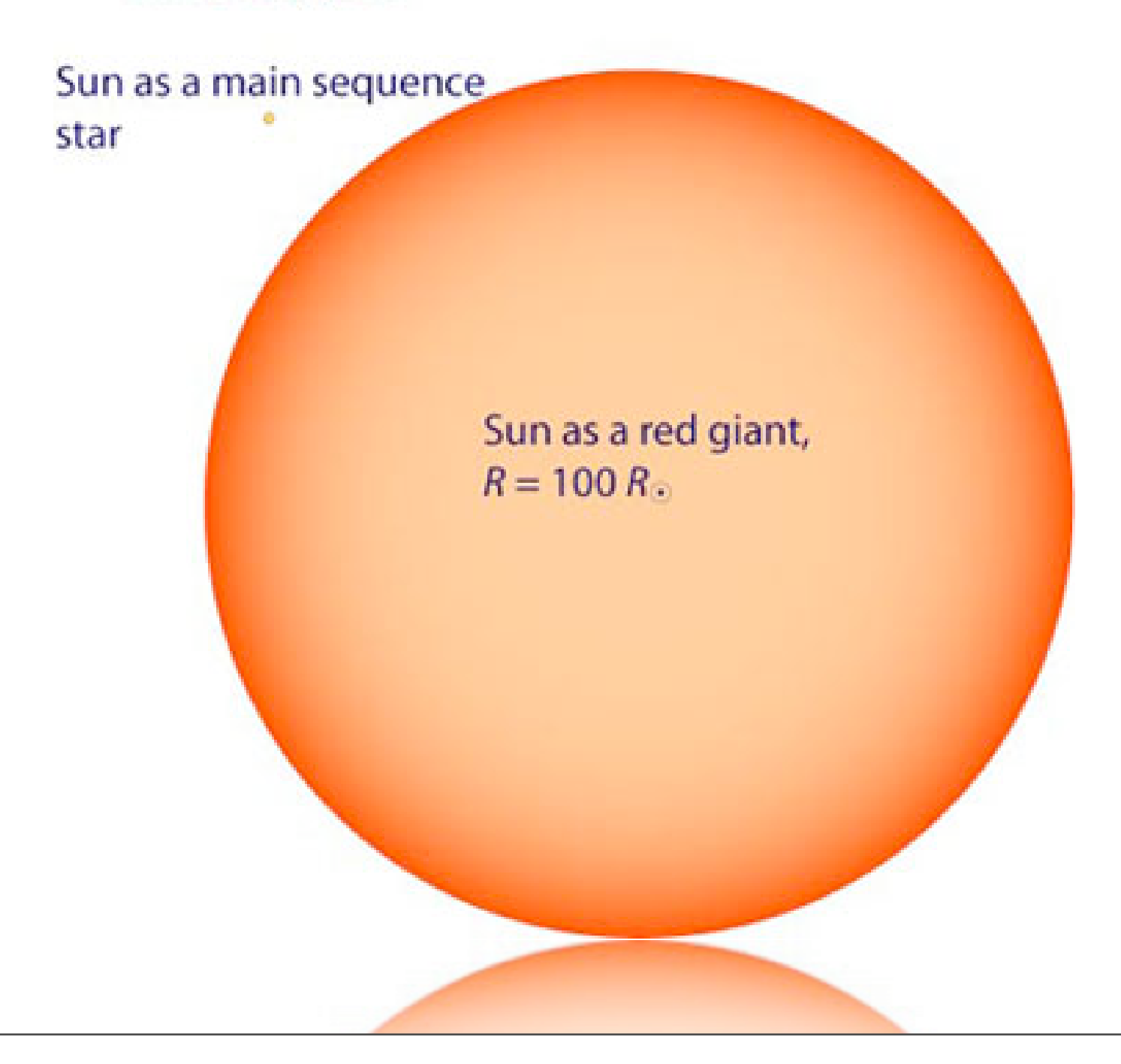


- a. Ramo delle giganti rosse (RGB)
- b. Ramo orizzontale (HB)
- c. Ramo asintotico (AGB)
- 4. Nebulosa planetaria
- 5. Nana bianca

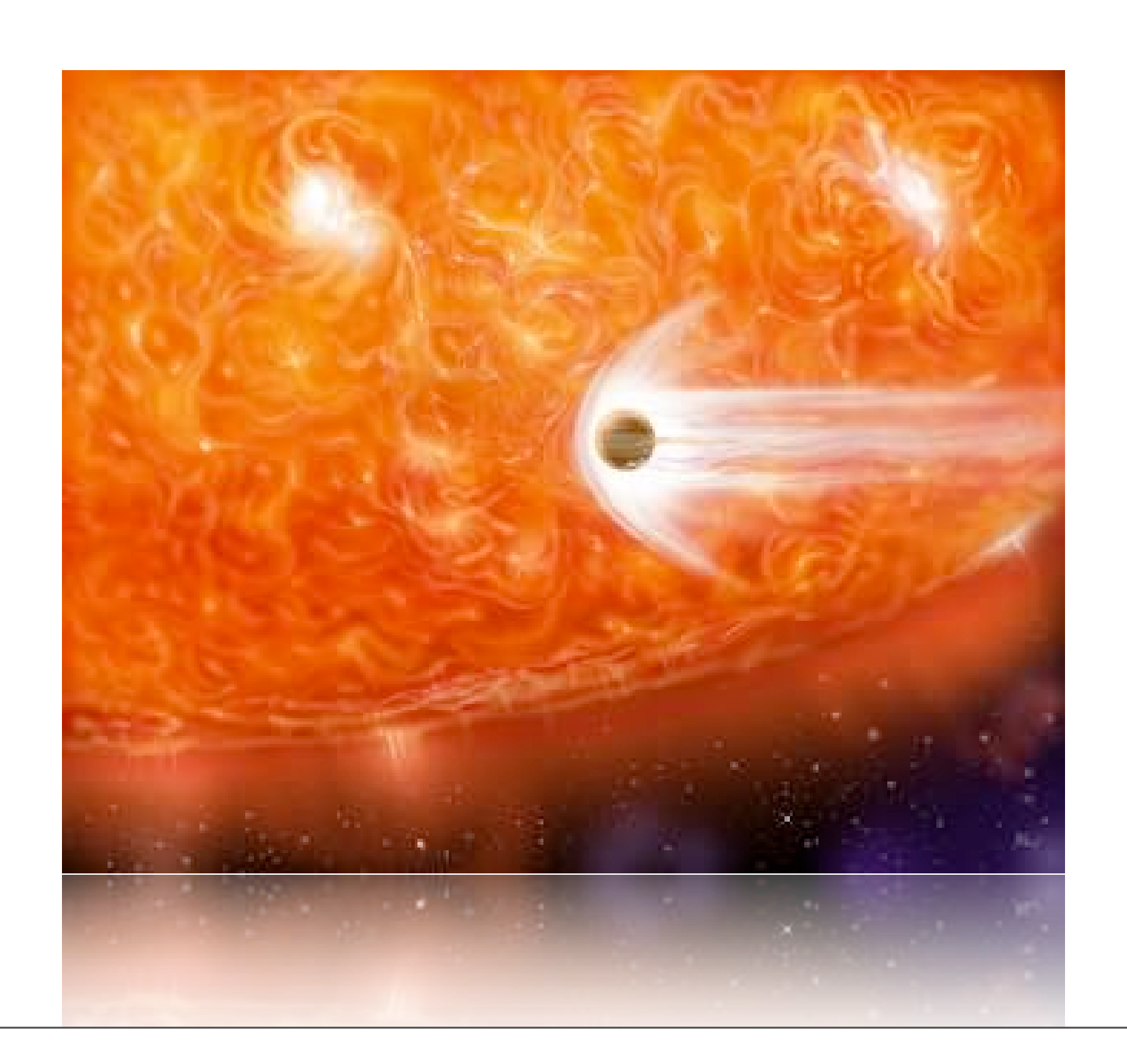


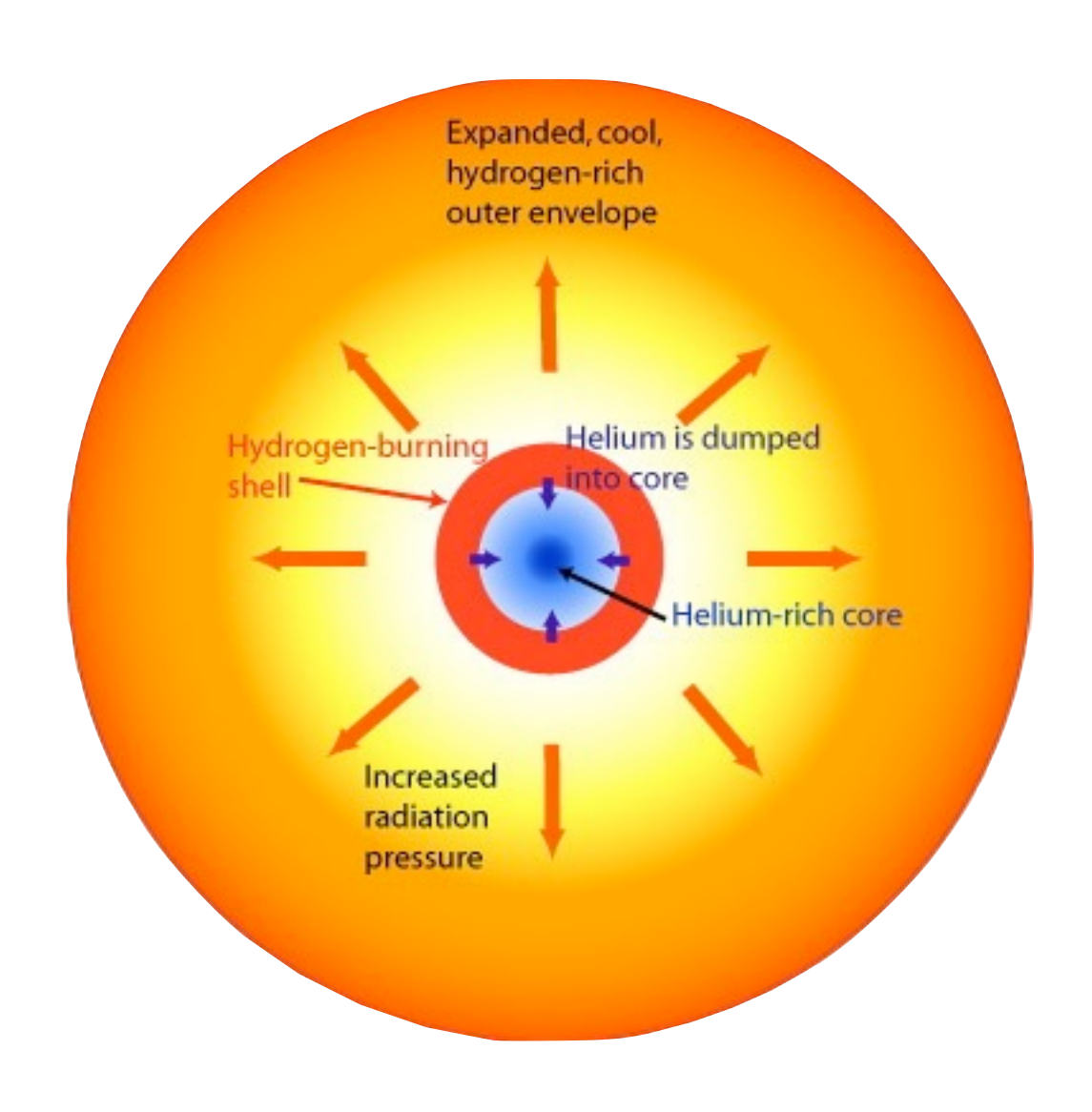
## Ramo delle giganti rosse

Comparison in size of Sun as a main sequence star and a red giant

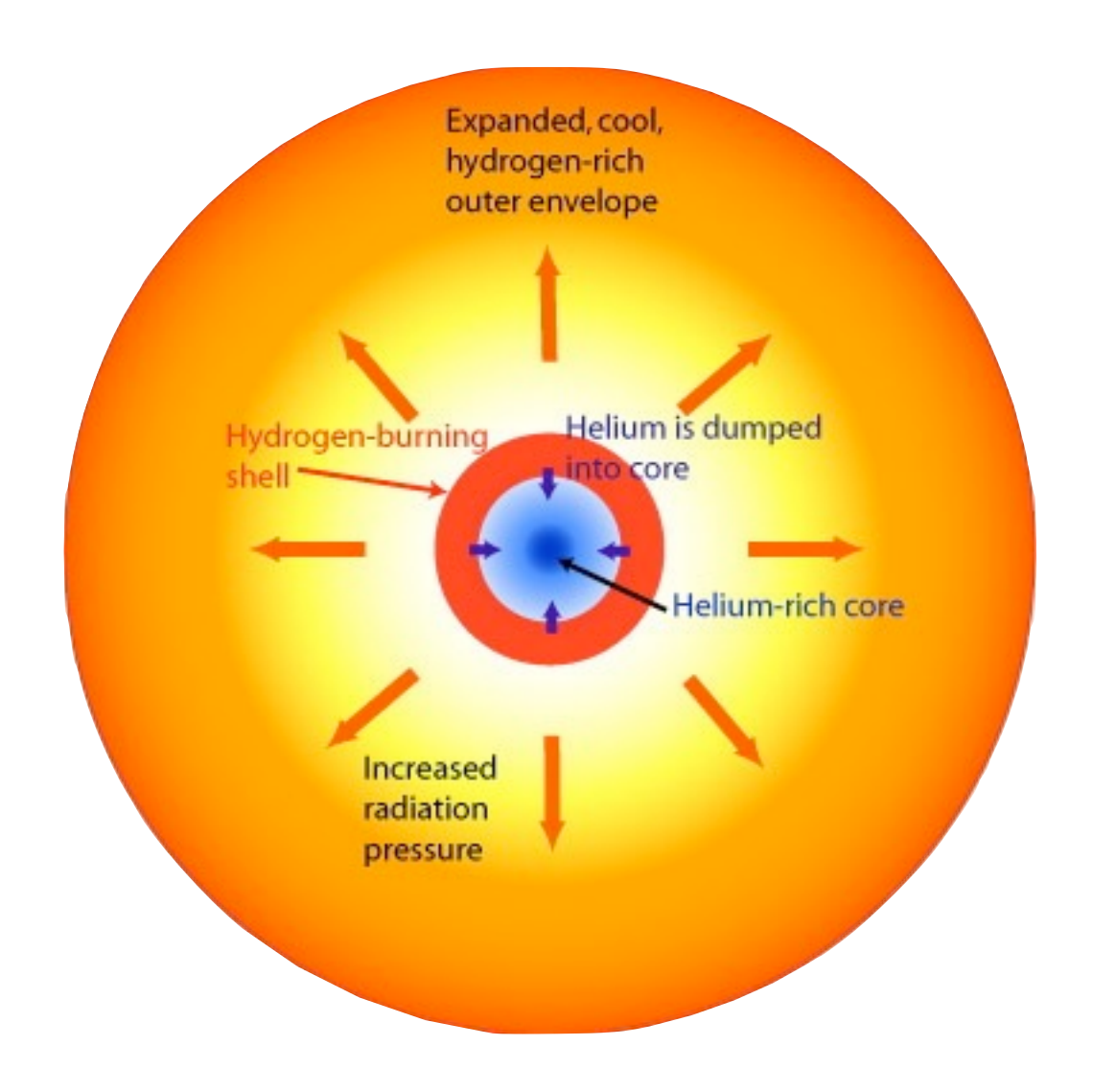


# Ramo delle giganti rosse

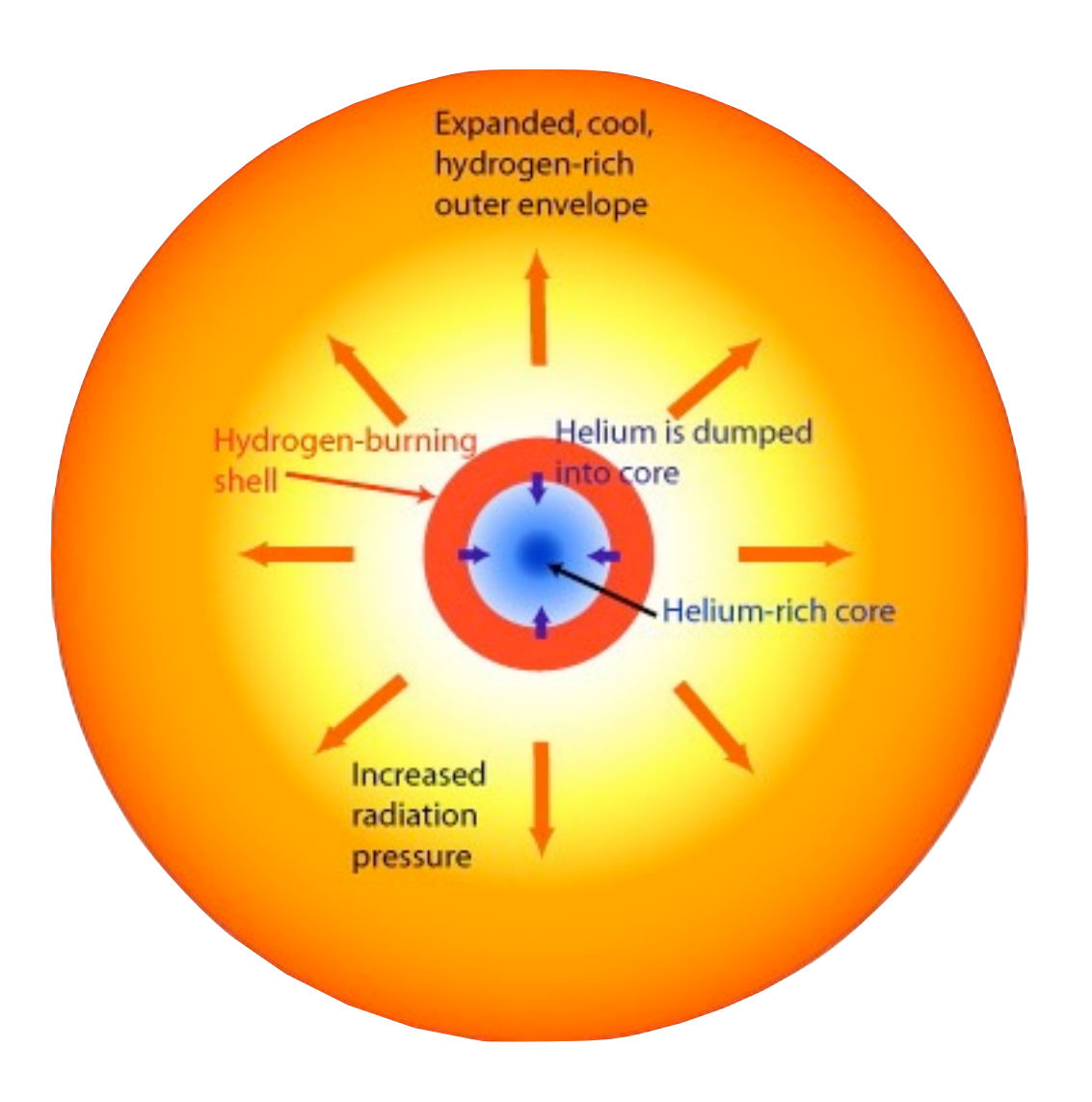




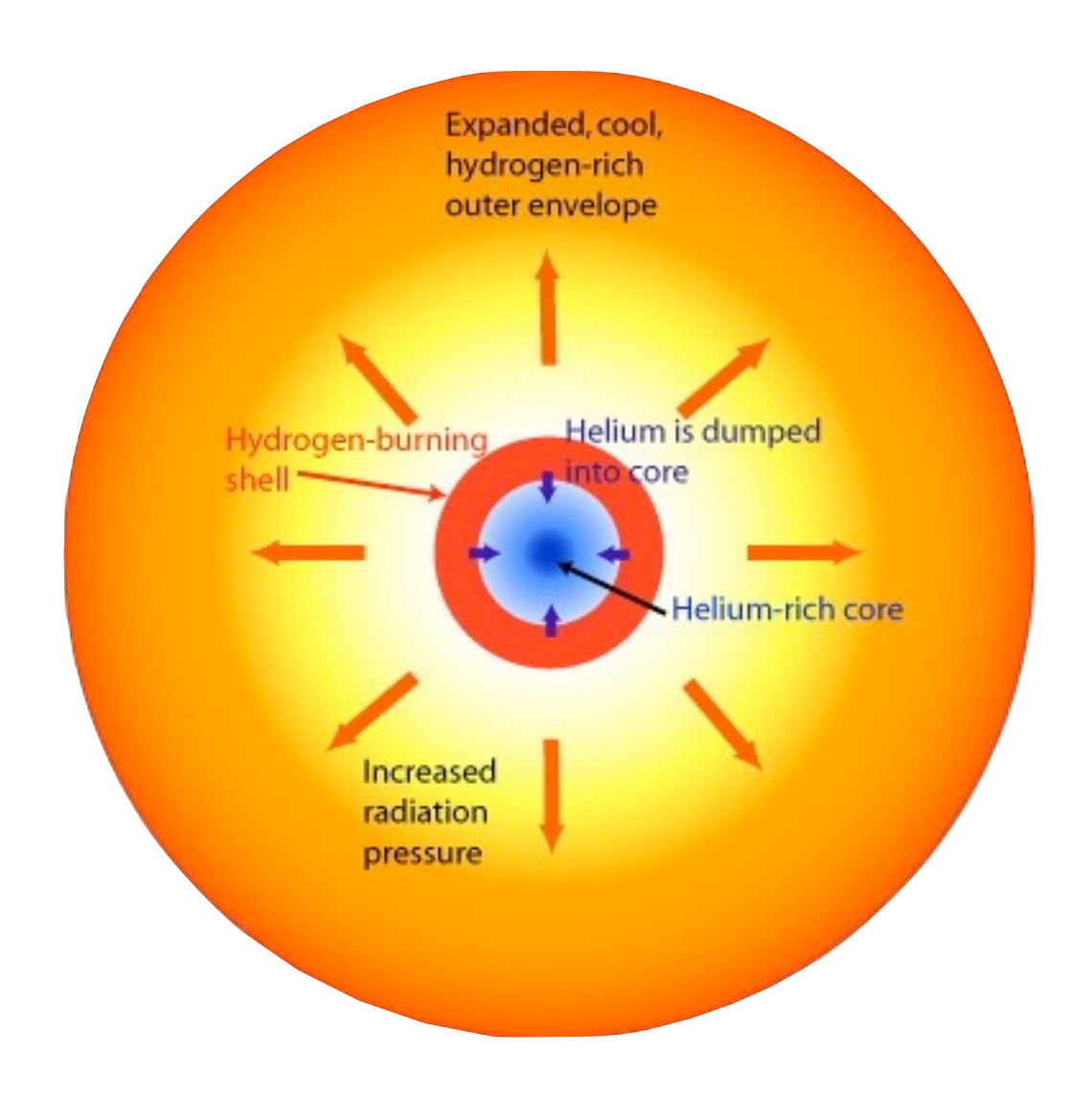
• Durante la SP, l'H nel cuore fusiona e crea He.



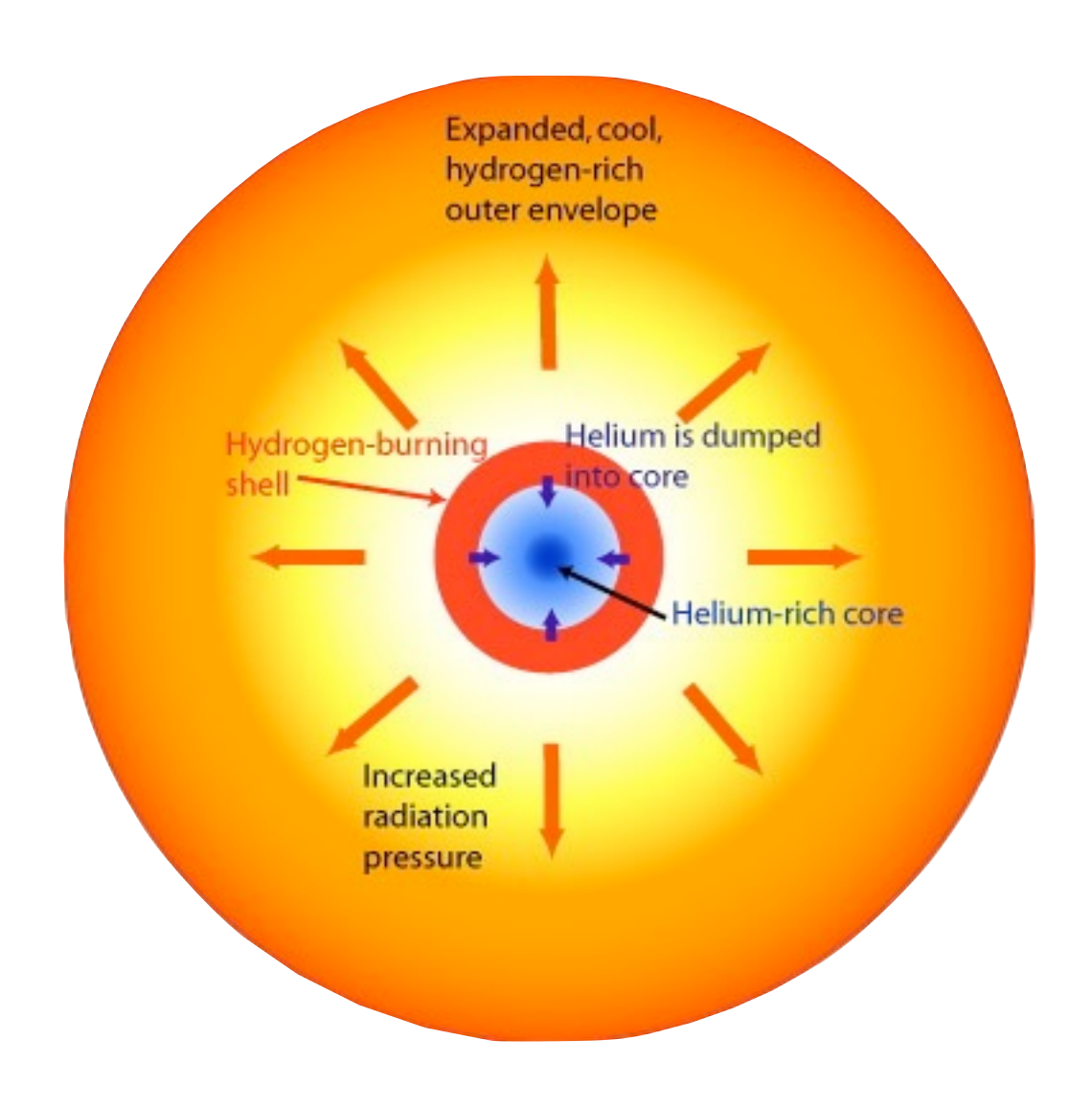
- Durante la SP, l'H nel cuore fusiona e crea He.
- Alla fine, il carburante nel cuore è esausto e la fusione si ferma.



- Durante la SP, l'H nel cuore fusiona e crea He.
- Alla fine, il carburante nel cuore è esausto e la fusione si ferma.
- Il cuore si comprime e si riscalda.



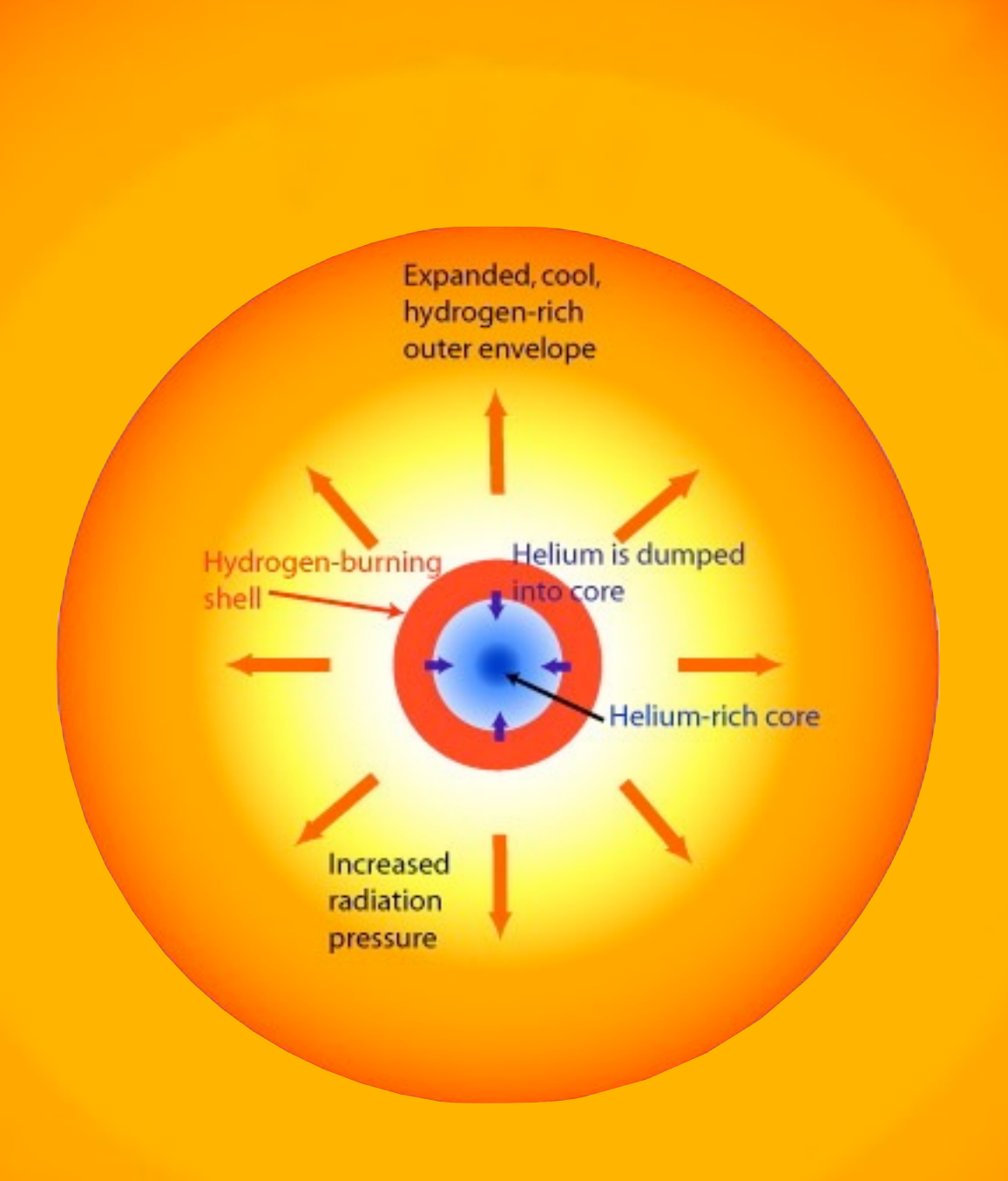
- Durante la SP, l'H nel cuore fusiona e crea He.
- Alla fine, il carburante nel cuore è esausto e la fusione si ferma.
- Il cuore si comprime e si riscalda.
- "Hydrogen-burning shell" ed espansione degli strati esterni.

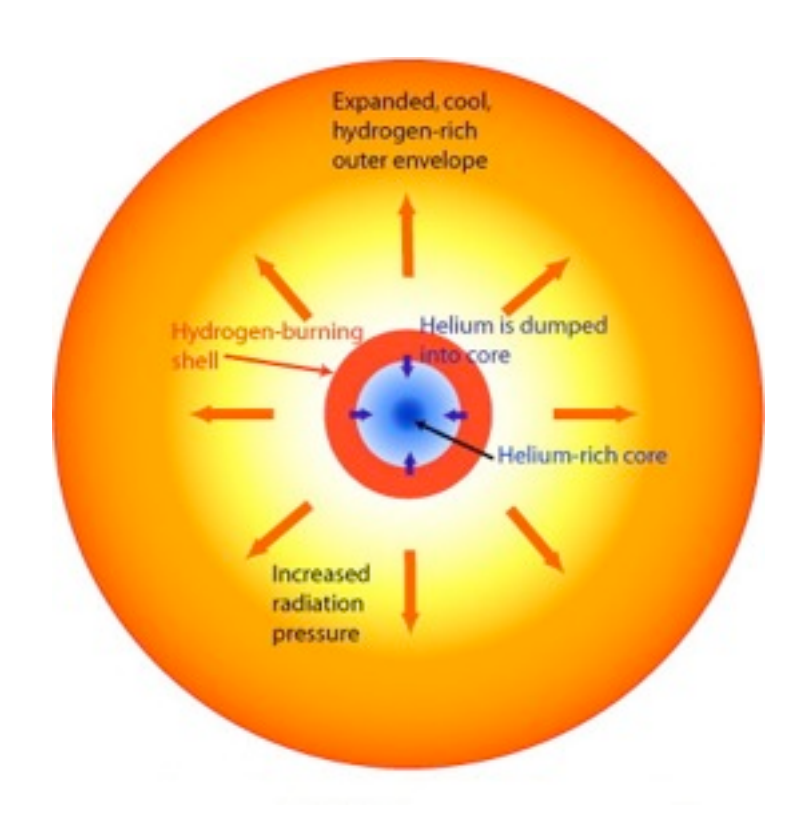


 Durante la SP, l'H nel cuore fusiona e crea He.

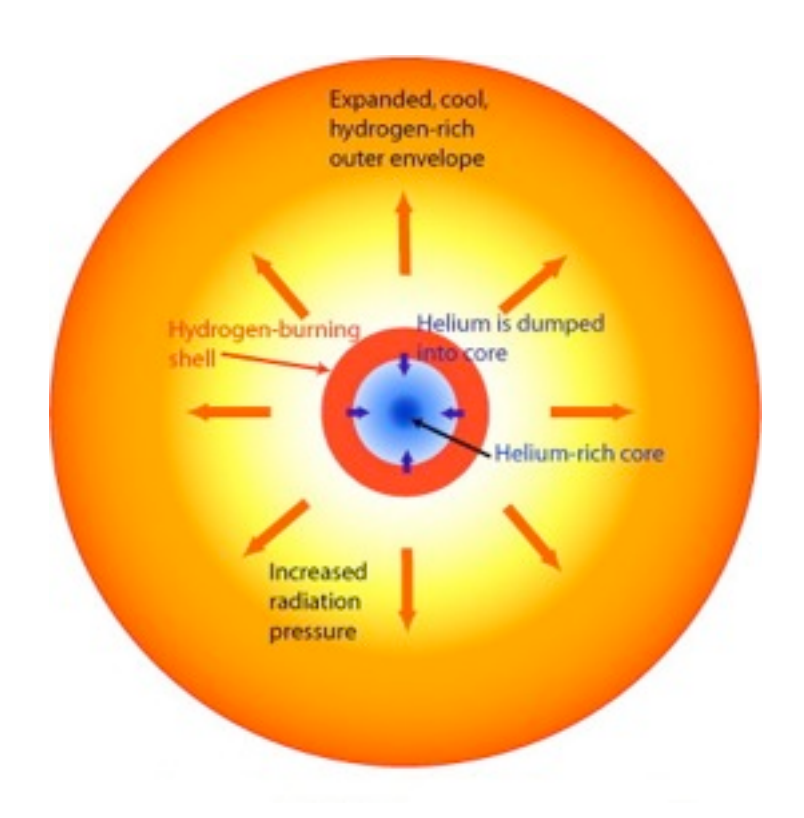
- Alla fine, il carburante nel cuore è esausto e la fusione si ferma.
- Il cuore si comprime e si riscalda.
- "Hydrogen-burning shell" ed espansione degli strati esterni.



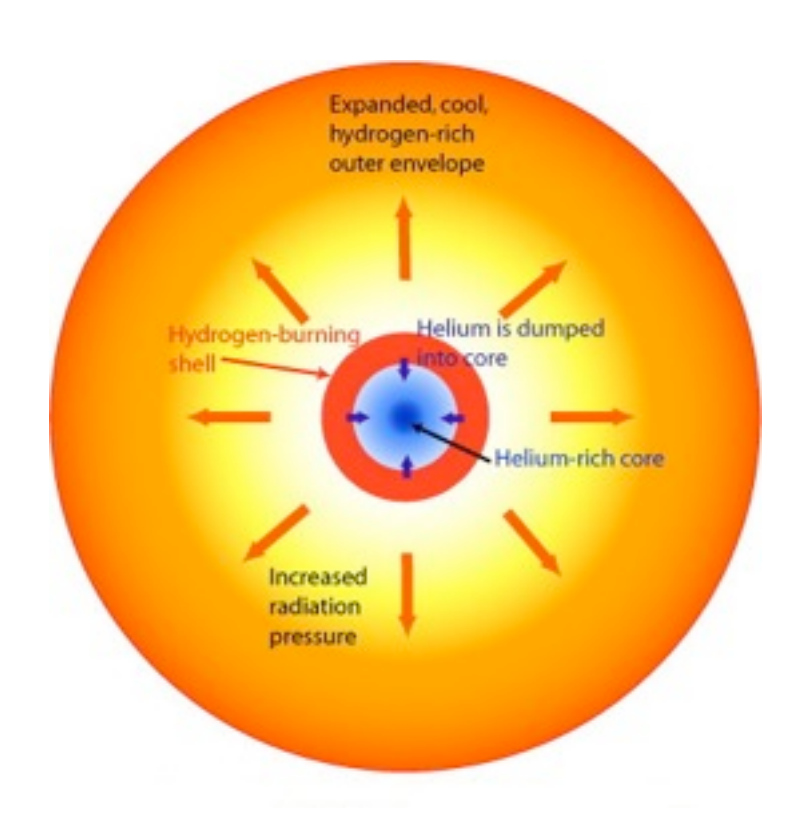




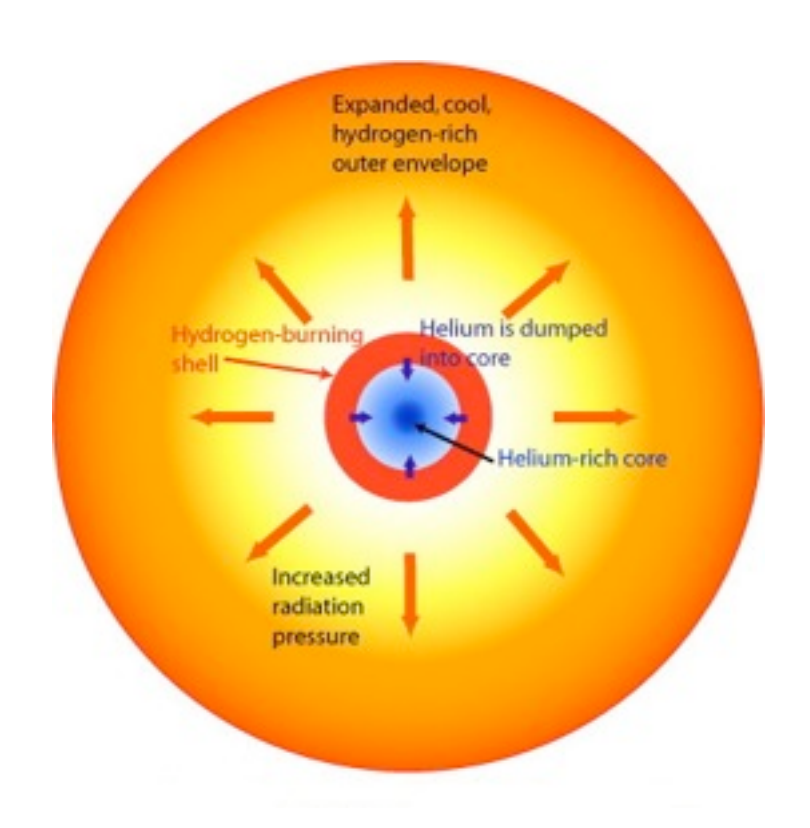
• L'He si concentra nel cuore (niente fusione d'He ancora).



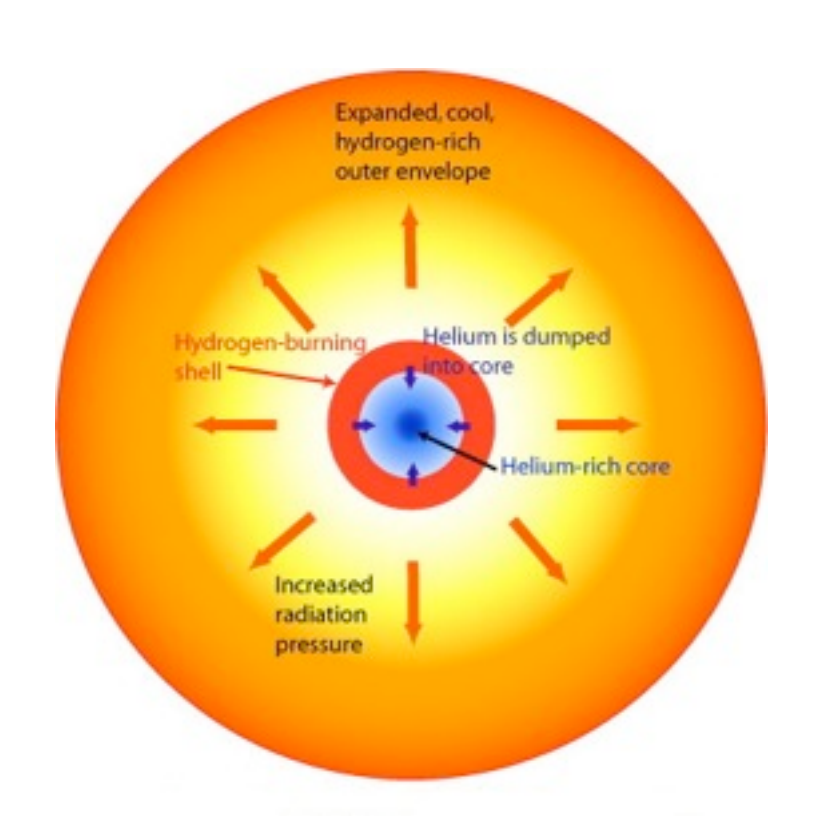
- L'He si concentra nel cuore (niente fusione d'He ancora).
- Il cuore d'He diventa più massiccio, si comprime e si riscalda.



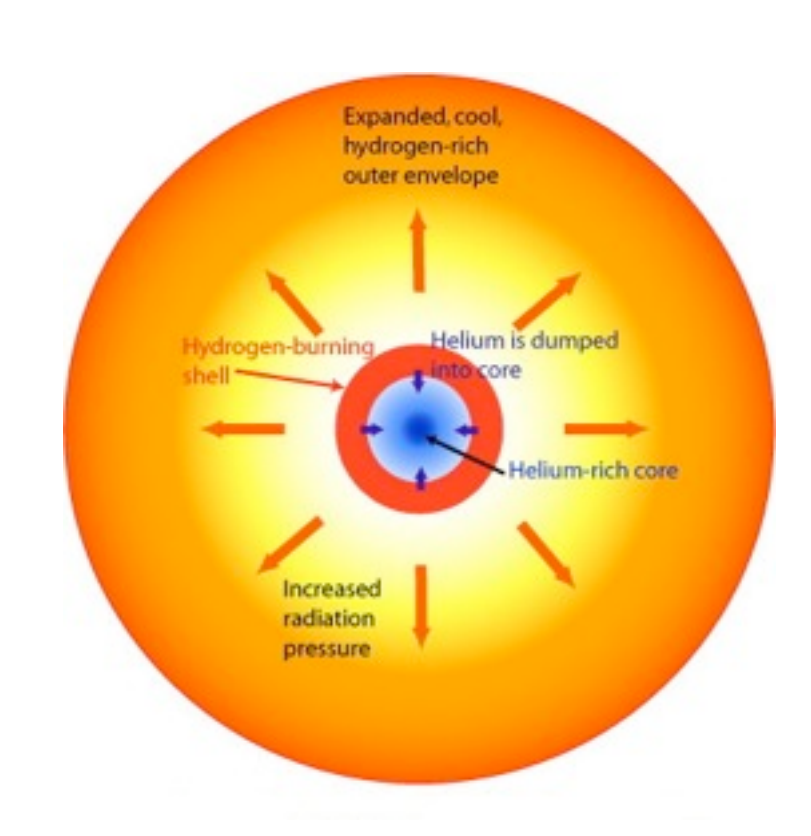
- L'He si concentra nel cuore (niente fusione d'He ancora).
- Il cuore d'He diventa più massiccio, si comprime e si riscalda.
- La densità del cuore è tale che gli elettroni diventano degenerati (cuore incompressibile come un liquido): la compressione si ferma.

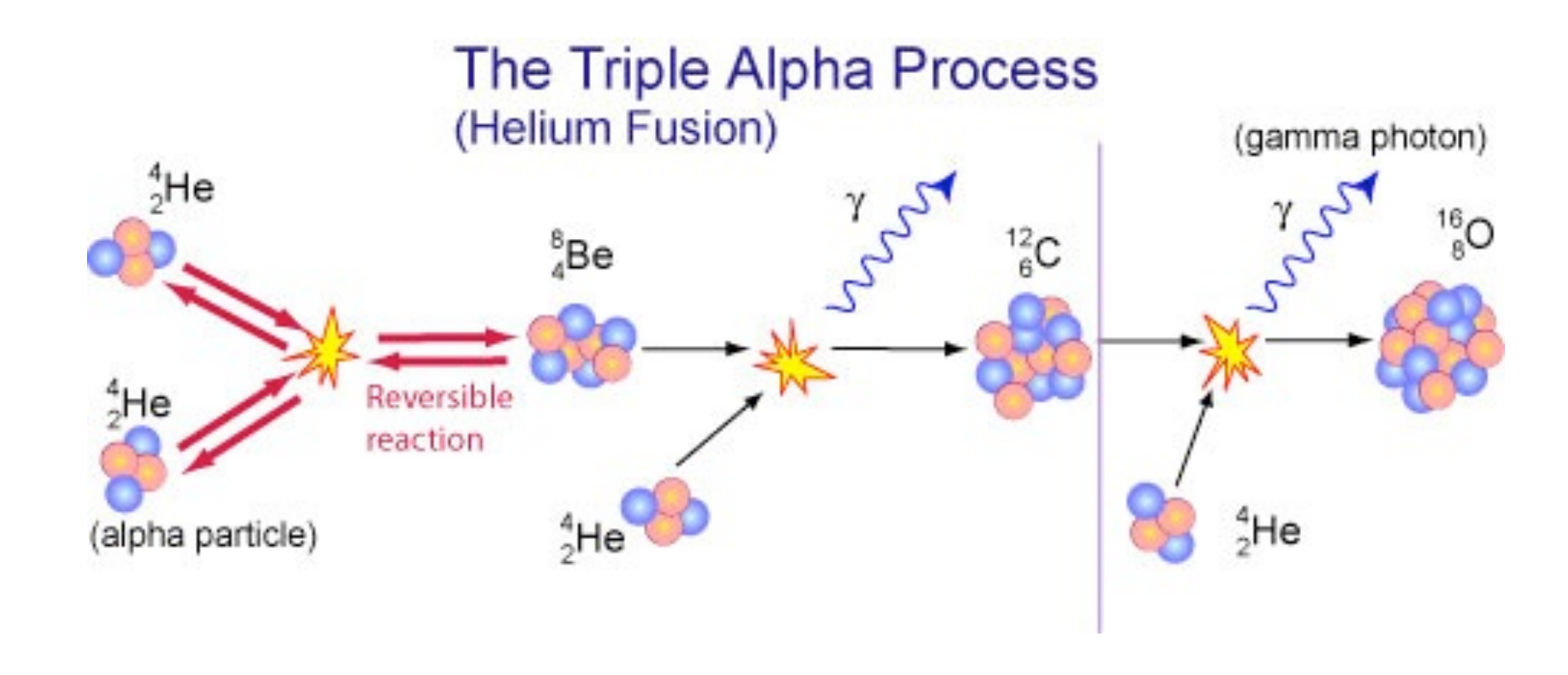


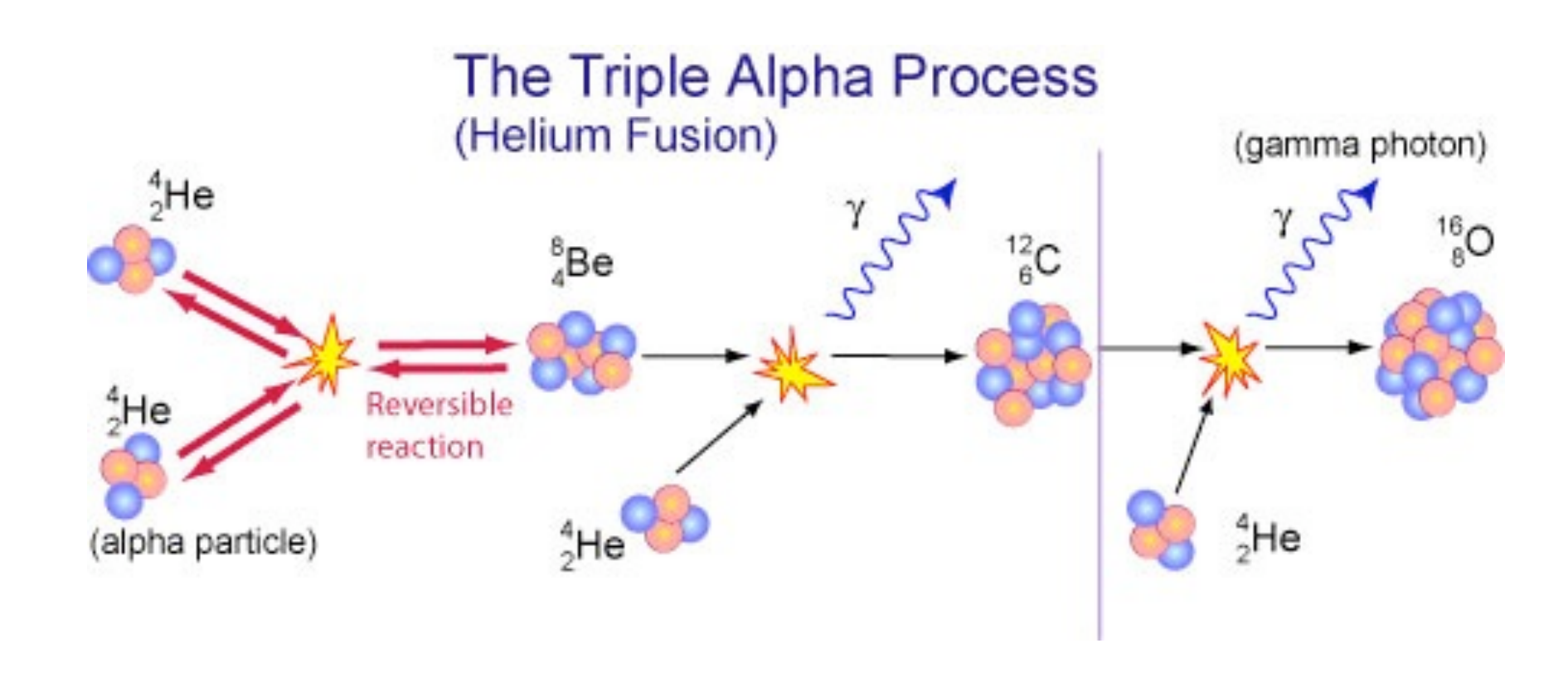
- L'He si concentra nel cuore (niente fusione d'He ancora).
- Il cuore d'He diventa più massiccio, si comprime e si riscalda.
- La densità del cuore è tale che gli elettroni diventano degenerati (cuore incompressibile come un liquido): la compressione si ferma.
- "H-shell" continua di bruciare e il cuore degenerato continua a riscaldarsi (senza espandersi).



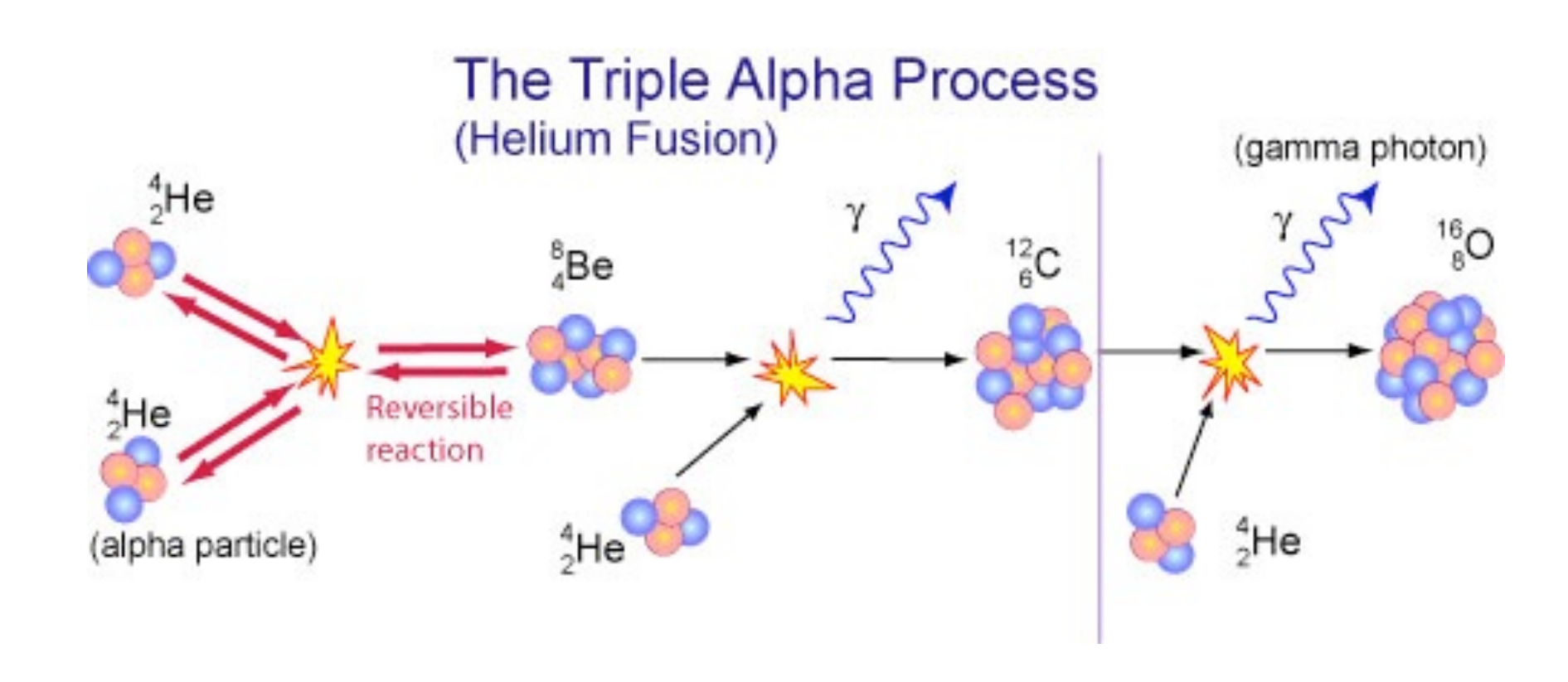
- L'He si concentra nel cuore (niente fusione d'He ancora).
- Il cuore d'He diventa più massiccio, si comprime e si riscalda.
- La densità del cuore è tale che gli elettroni diventano degenerati (cuore incompressibile come un liquido): la compressione si ferma.
- "H-shell" continua di bruciare e il cuore degenerato continua a riscaldarsi (senza espandersi).
- A 100·10<sup>6</sup> K, l'*He* può cominciare la fusione nucleare attraverso il "**triple alpha process**".



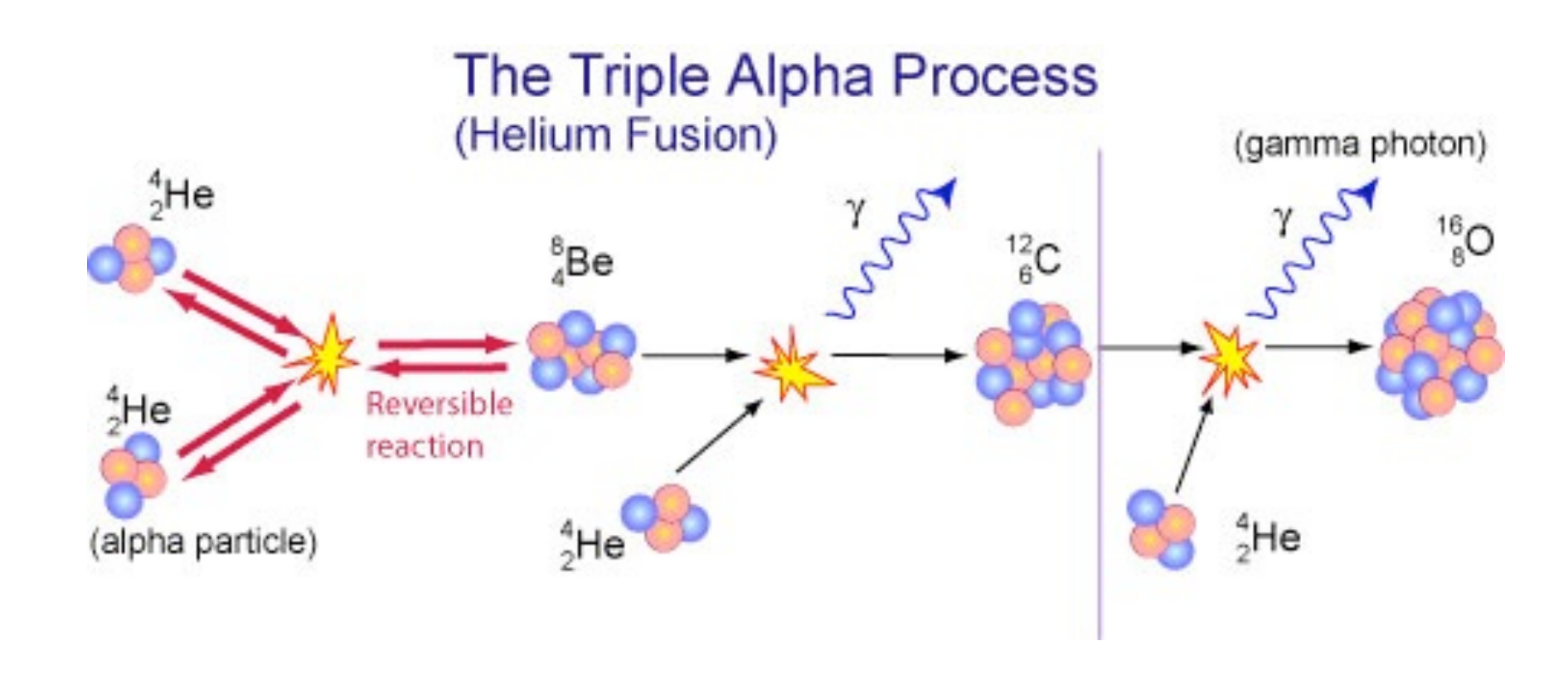




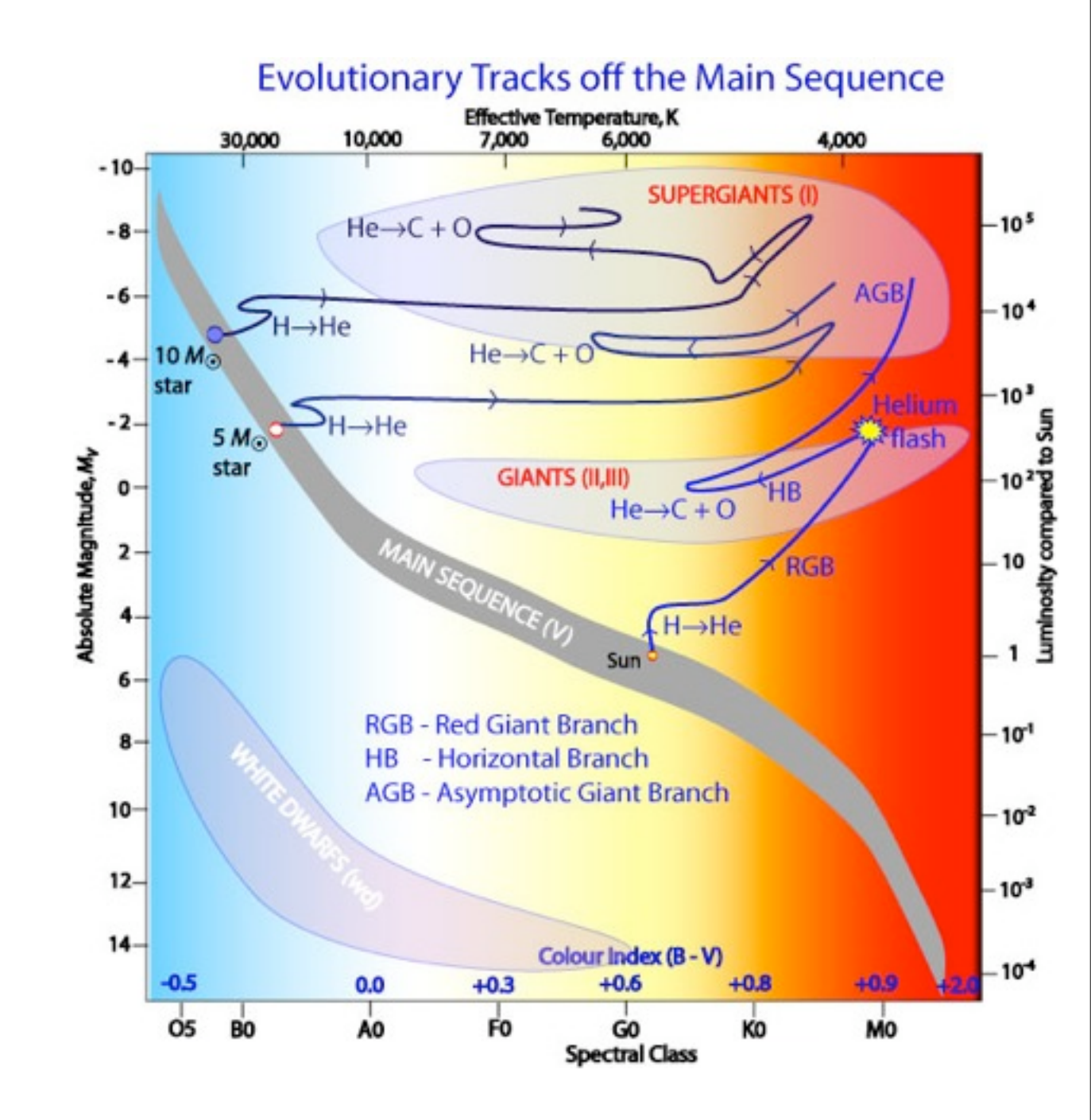
• La temperatura del cuore continua ad aumentare, ma non si espande.



- La temperatura del cuore continua ad aumentare, ma non si espande.
- T più alte ⇒ più "Triple α process" ⇒ più Energia ⇒ T più alte ⇒ ecc...

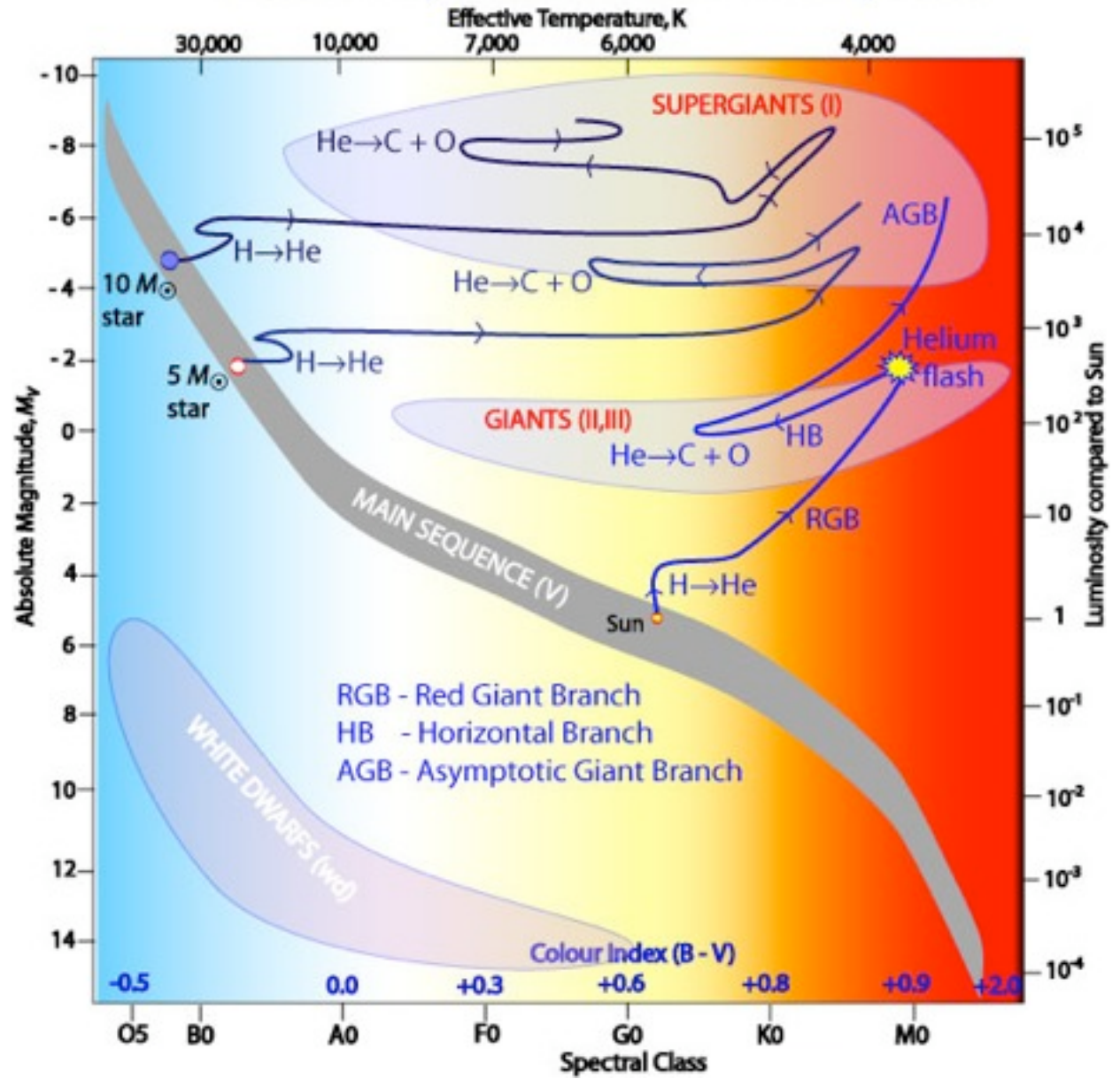


- La temperatura del cuore continua ad aumentare, ma non si espande.
- T più alte ⇒ più "Triple α process" ⇒ più Energia ⇒ T più alte ⇒ ecc...
- A 300·10<sup>6</sup> K ⇒ Esplosione "He flash" ⇒ fine della degeneresenza.



• Dopo l'*He* flash: fusione dell'*He* nel centro e fusione dell'*H* nel shell.

### Evolutionary Tracks off the Main Sequence



- Dopo l'He flash: fusione dell'He nel centro e fusione dell'H nel shell.
- Il nucleo (ricco di C e O) si espande e si raffredda.

#### 

RGB - Red Giant Branch

HB - Horizontal Branch

+0.3

FO

10-

12-

AGB - Asymptotic Giant Branch

Colour Index (B-V)

Spectral Class

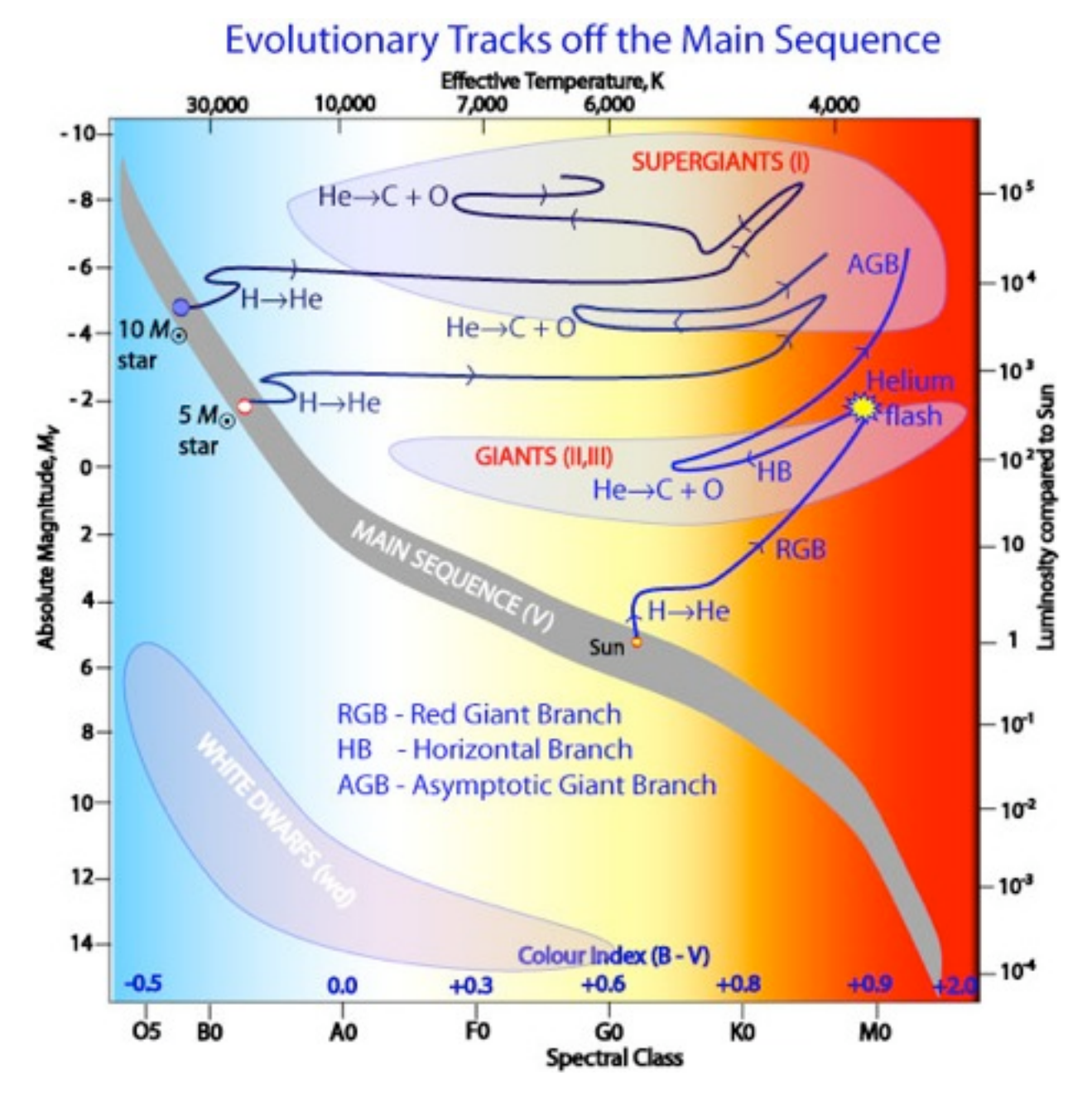
+0.6

-101

**Evolutionary Tracks off the Main Sequence** 

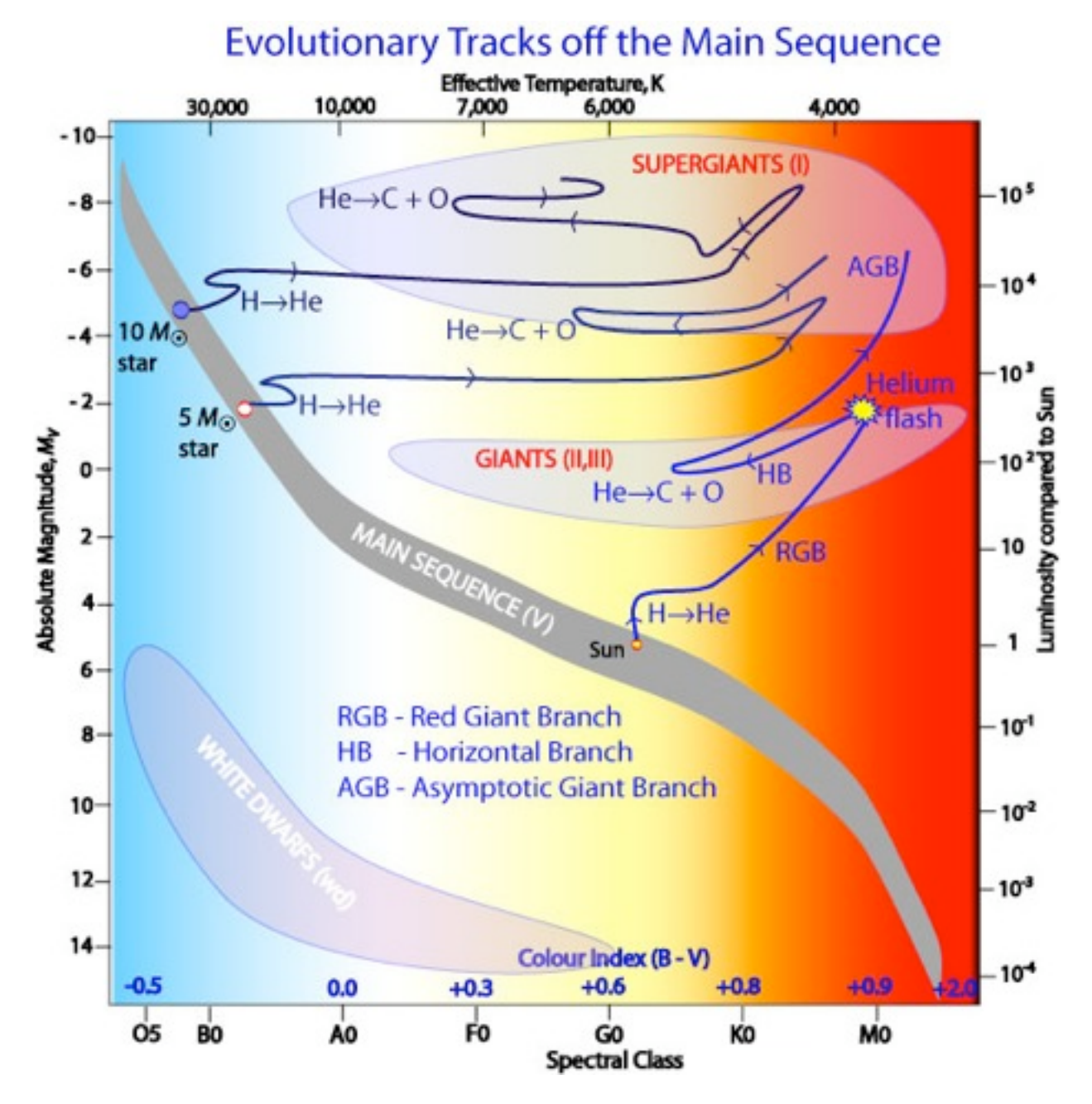
Effective Temperature, K

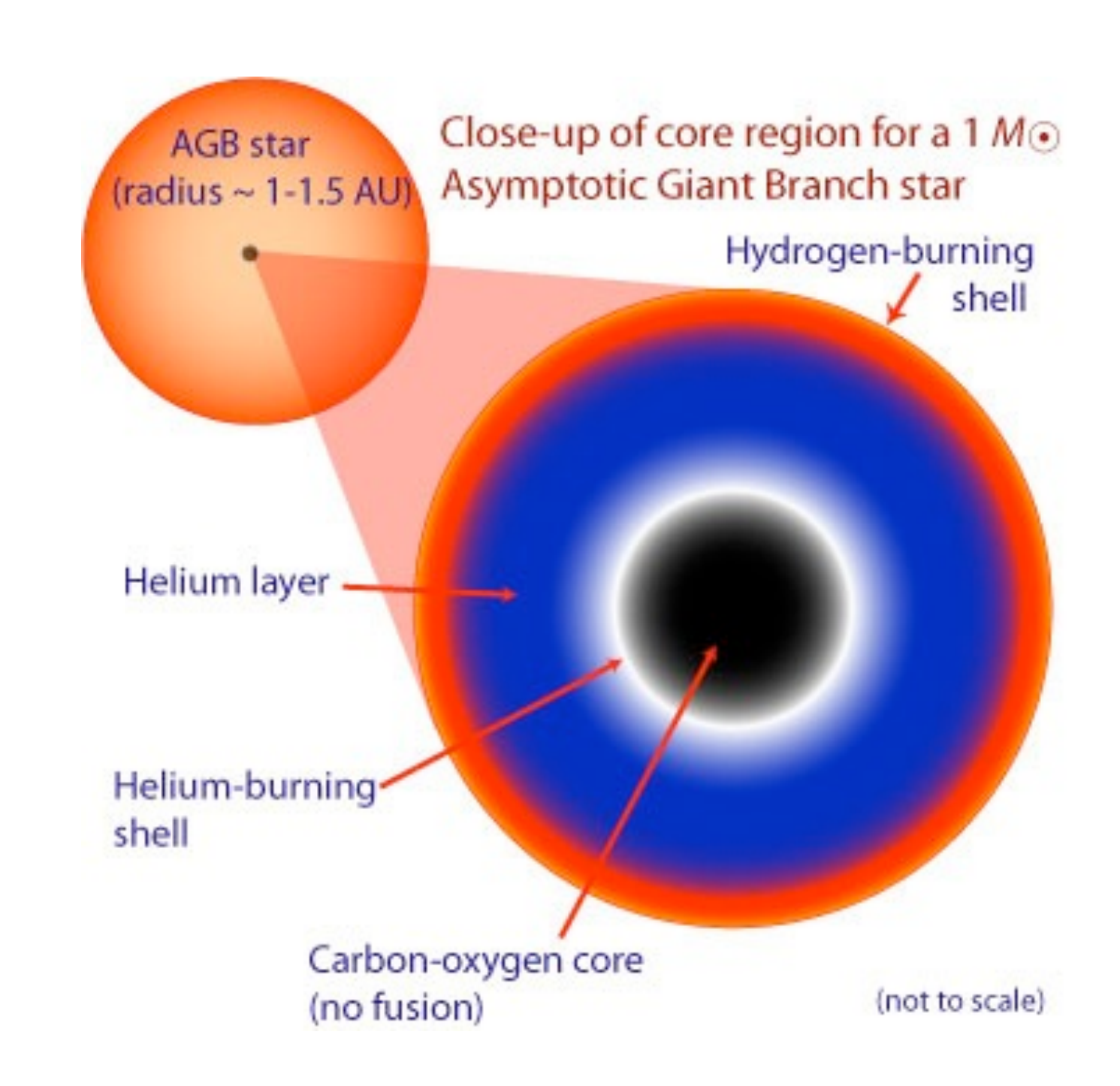
- Dopo l'He flash: fusione dell'He nel centro e fusione dell'H nel shell.
- Il nucleo (ricco di C e O) si espande e si raffredda.
- Strati esterni più caldi, dimensione globale minore ⇒ L ~ costante.



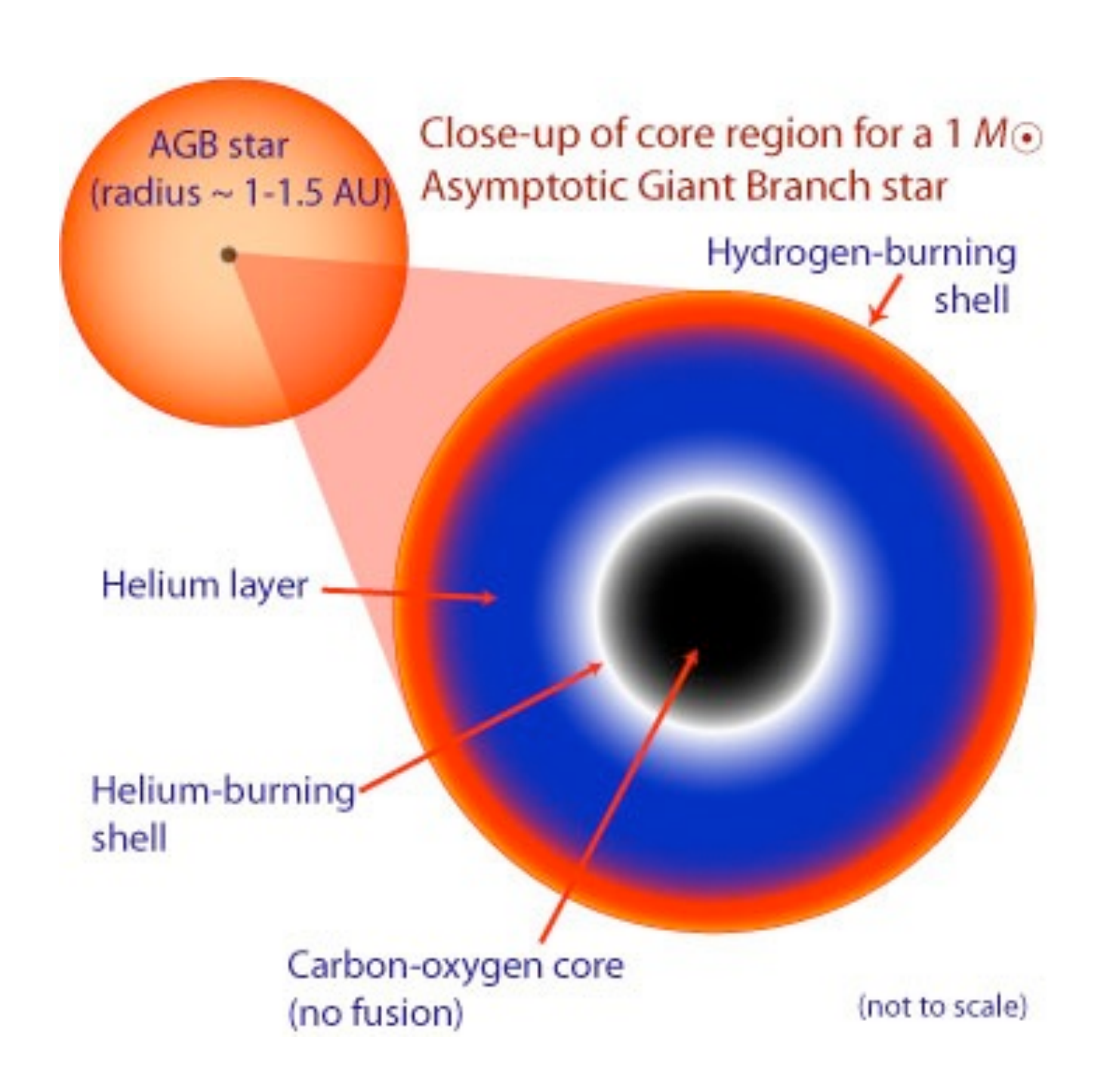
- Dopo l'He flash: fusione dell'He nel centro e fusione dell'H nel shell.
- Il nucleo (ricco di C e O) si espande e si raffredda.
- Strati esterni più caldi, dimensione globale minore ⇒ L ~ costante.

La stelle rimane sul HR per alcuni 10<sup>6</sup> anni

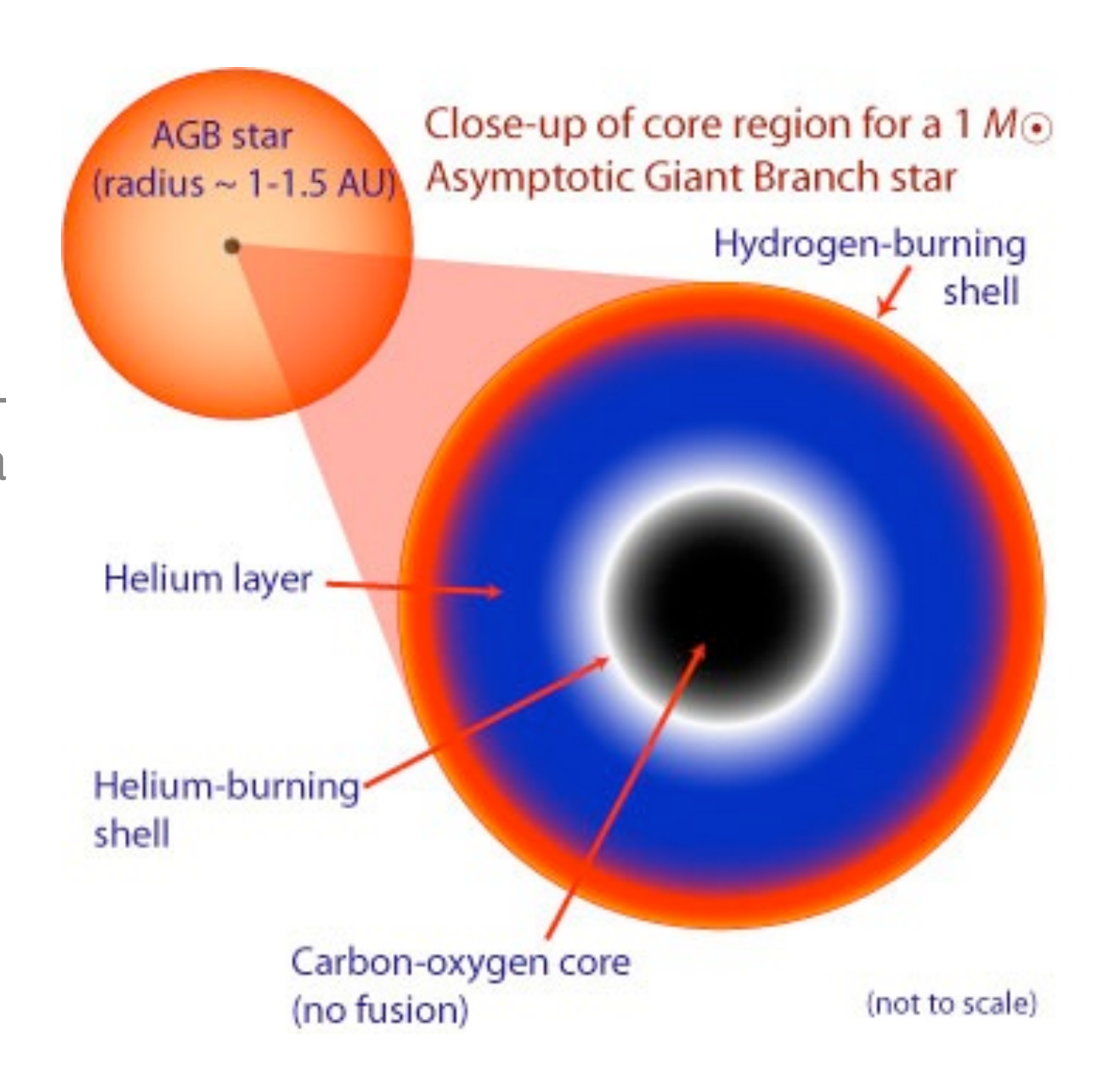




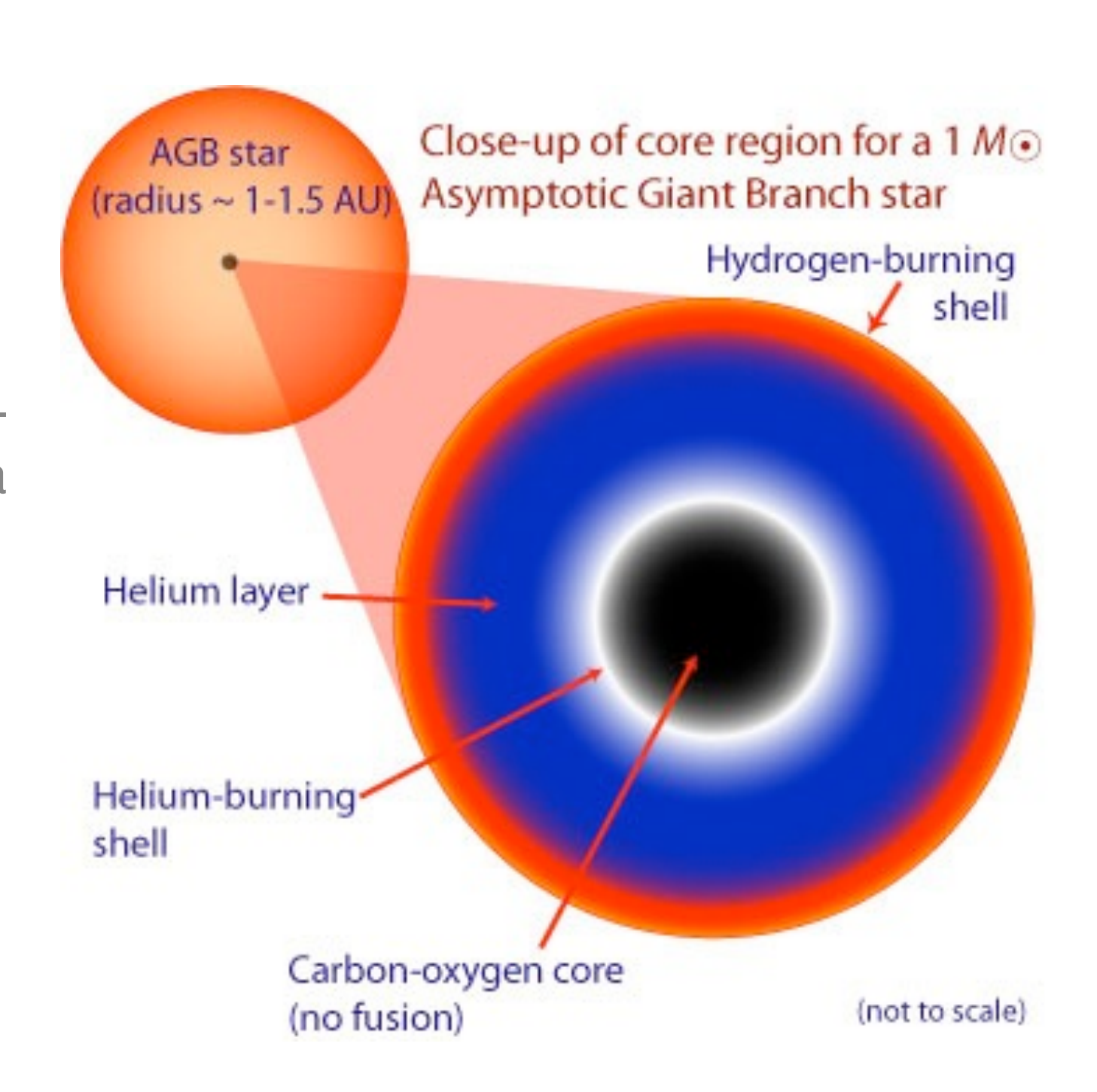
 Alla fine della fusione dell'He nel cuore, esso si comprime e si riscalda.



- Alla fine della fusione dell'He nel cuore, esso si comprime e si riscalda.
- Helium-burning shell e Hydrogenburning shell ⇒ espansione fino a
   1.5 AU (orbite di Marte).

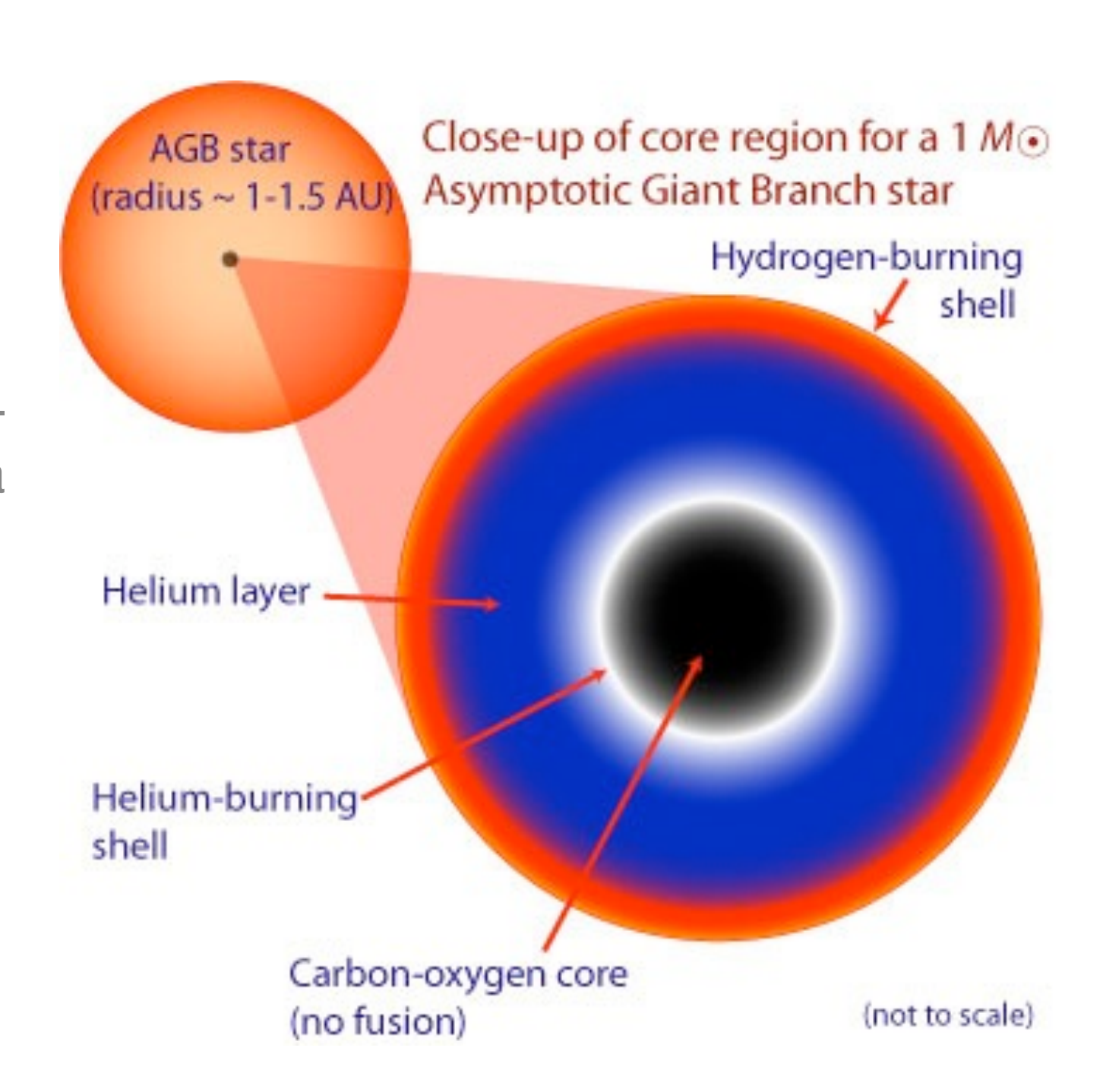


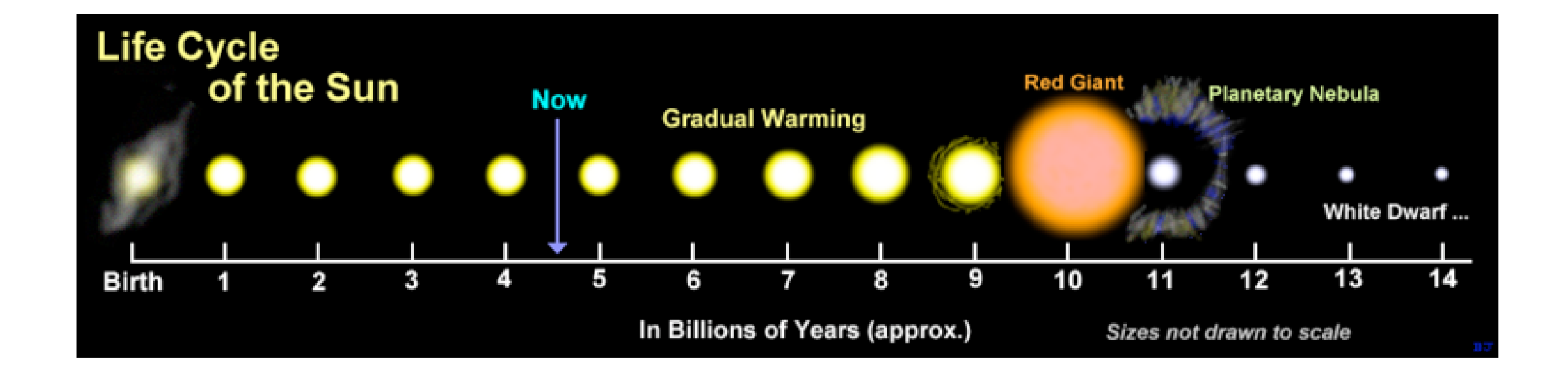
- Alla fine della fusione dell'He nel cuore, esso si comprime e si riscalda.
- Helium-burning shell e Hydrogenburning shell ⇒ espansione fino a
   1.5 AU (orbite di Marte).
- In stelle come il Sole, la Temp.
   centrale non basta per fondere il carbonio e l'ossigeno.

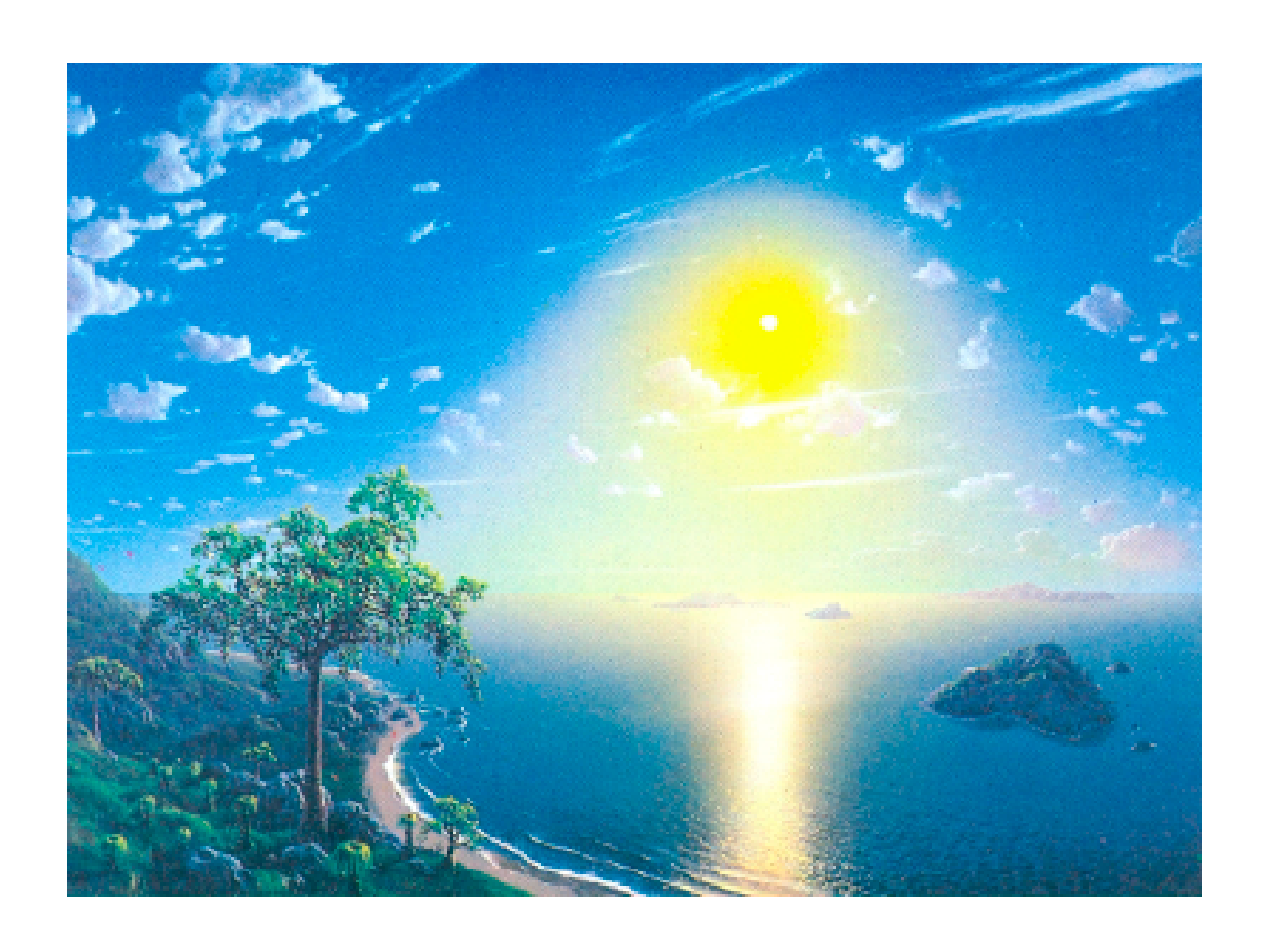


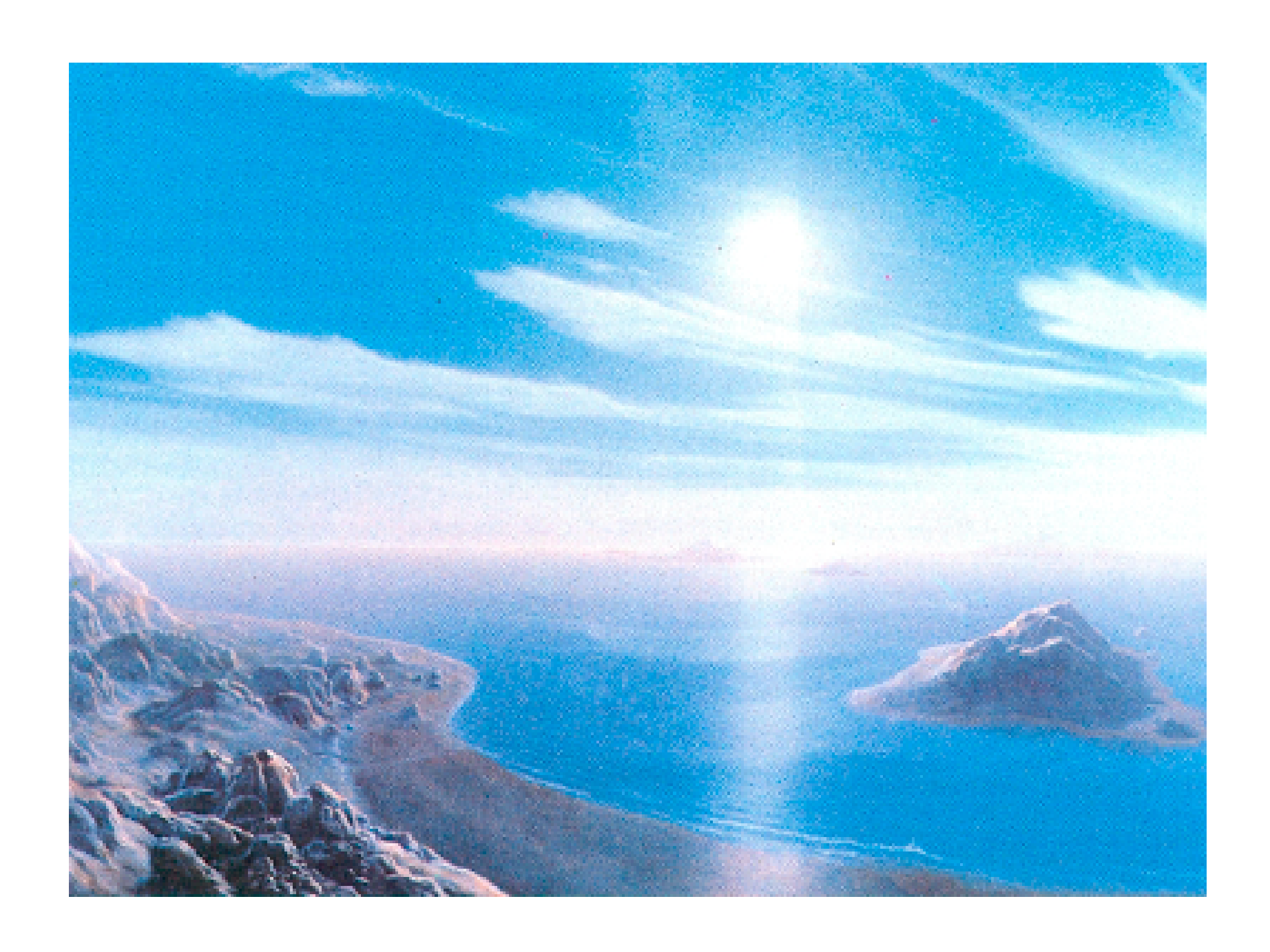
- Alla fine della fusione dell'He nel cuore, esso si comprime e si riscalda.
- Helium-burning shell e Hydrogenburning shell ⇒ espansione fino a
   1.5 AU (orbite di Marte).
- In stelle come il Sole, la Temp.
   centrale non basta per fondere il carbonio e l'ossigeno.

Vento stellare = 10<sup>-4</sup> M<sub>sun</sub> all'anno





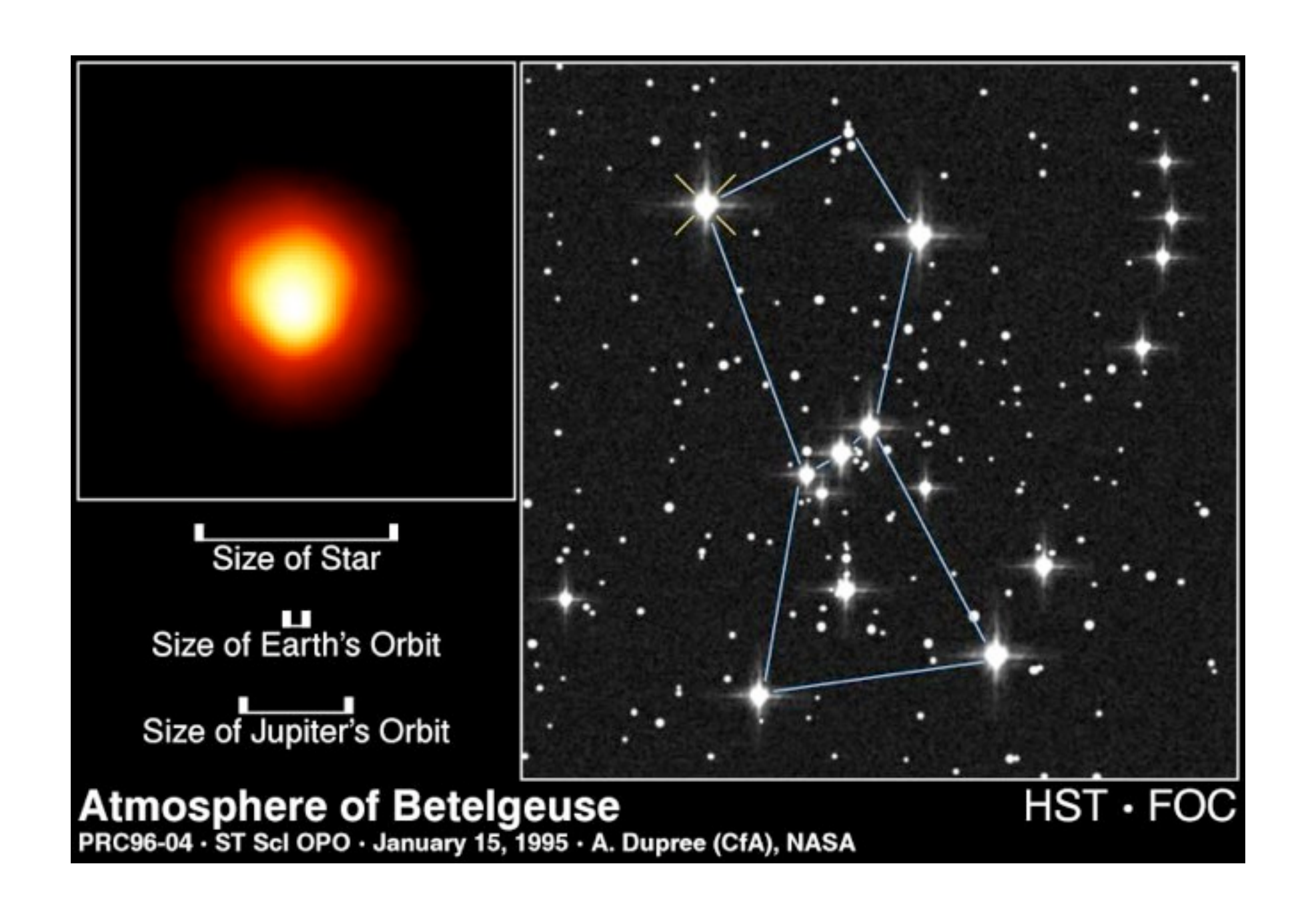




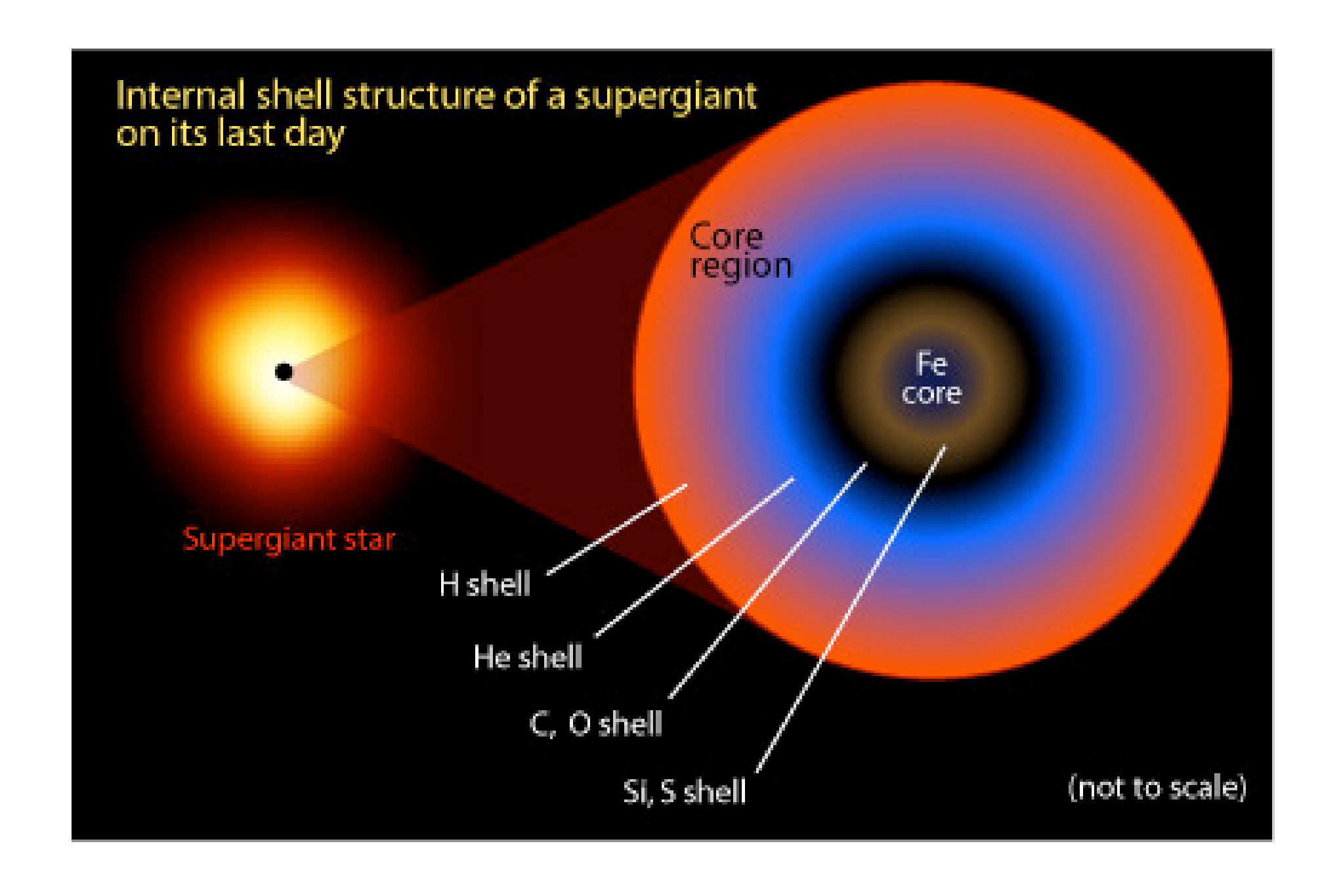




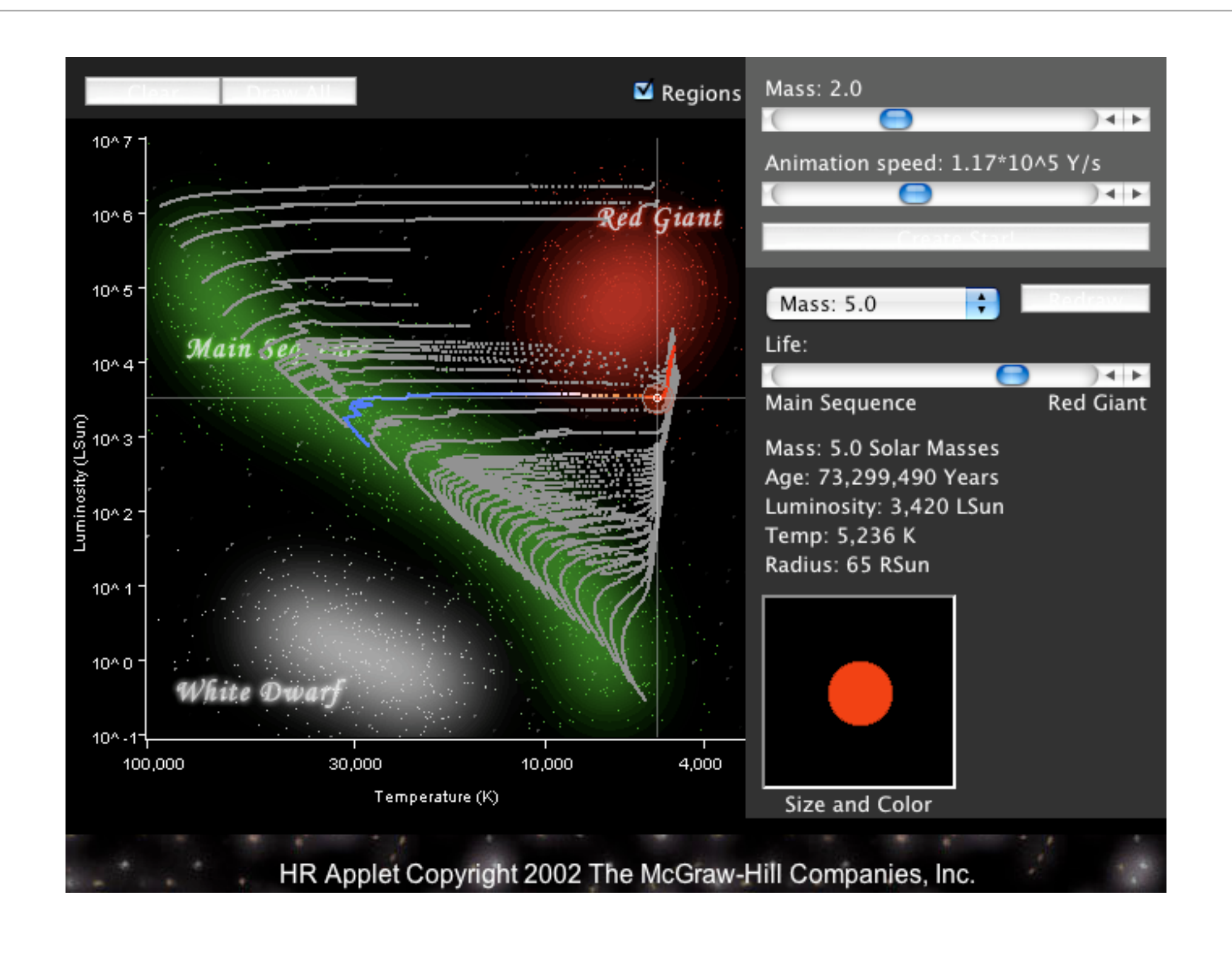
### Evoluzione post-SP di stelle massicce



### Evoluzione post-SP di stelle massicce

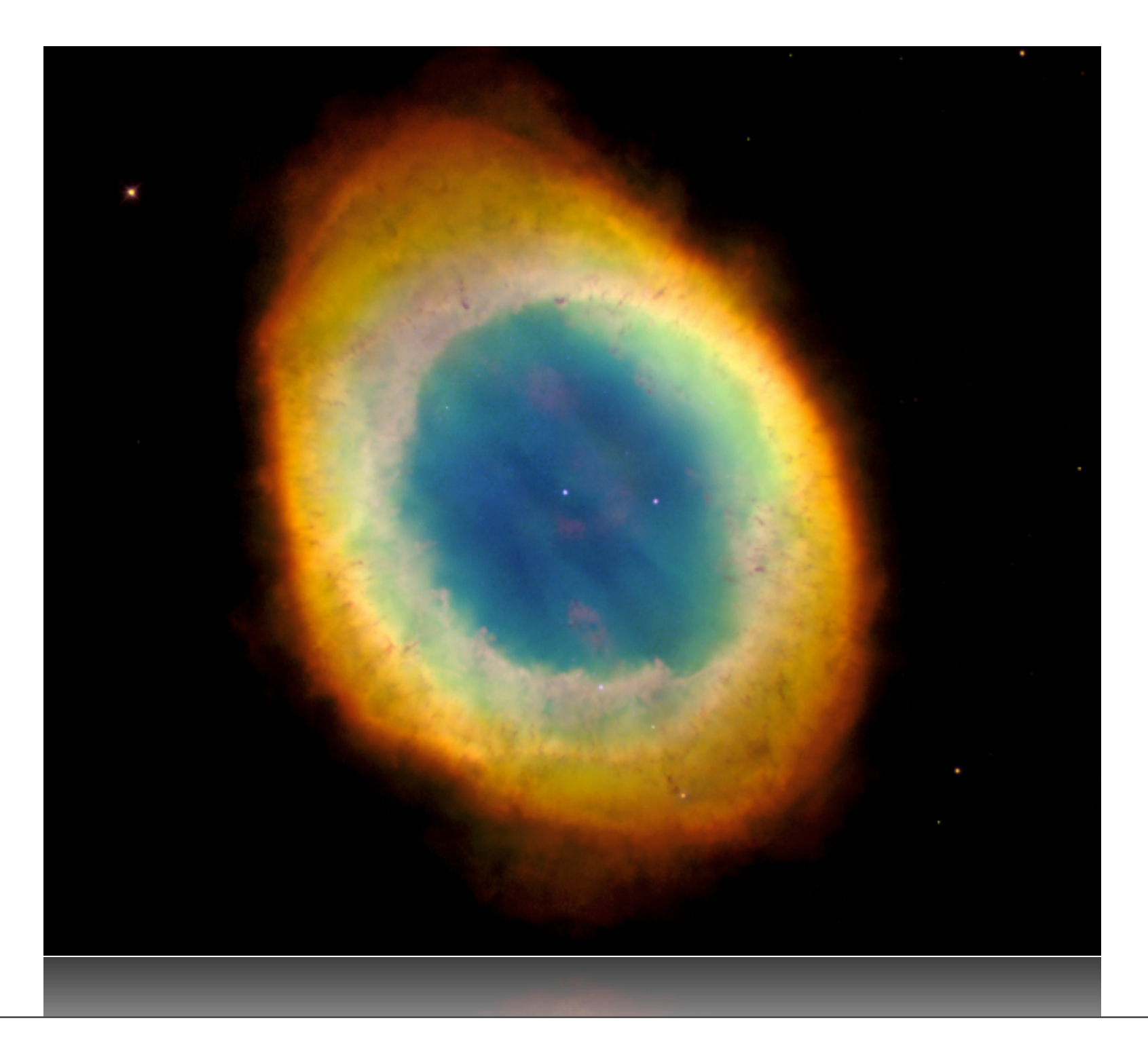


### Evoluzione stellare nel diagramma HR



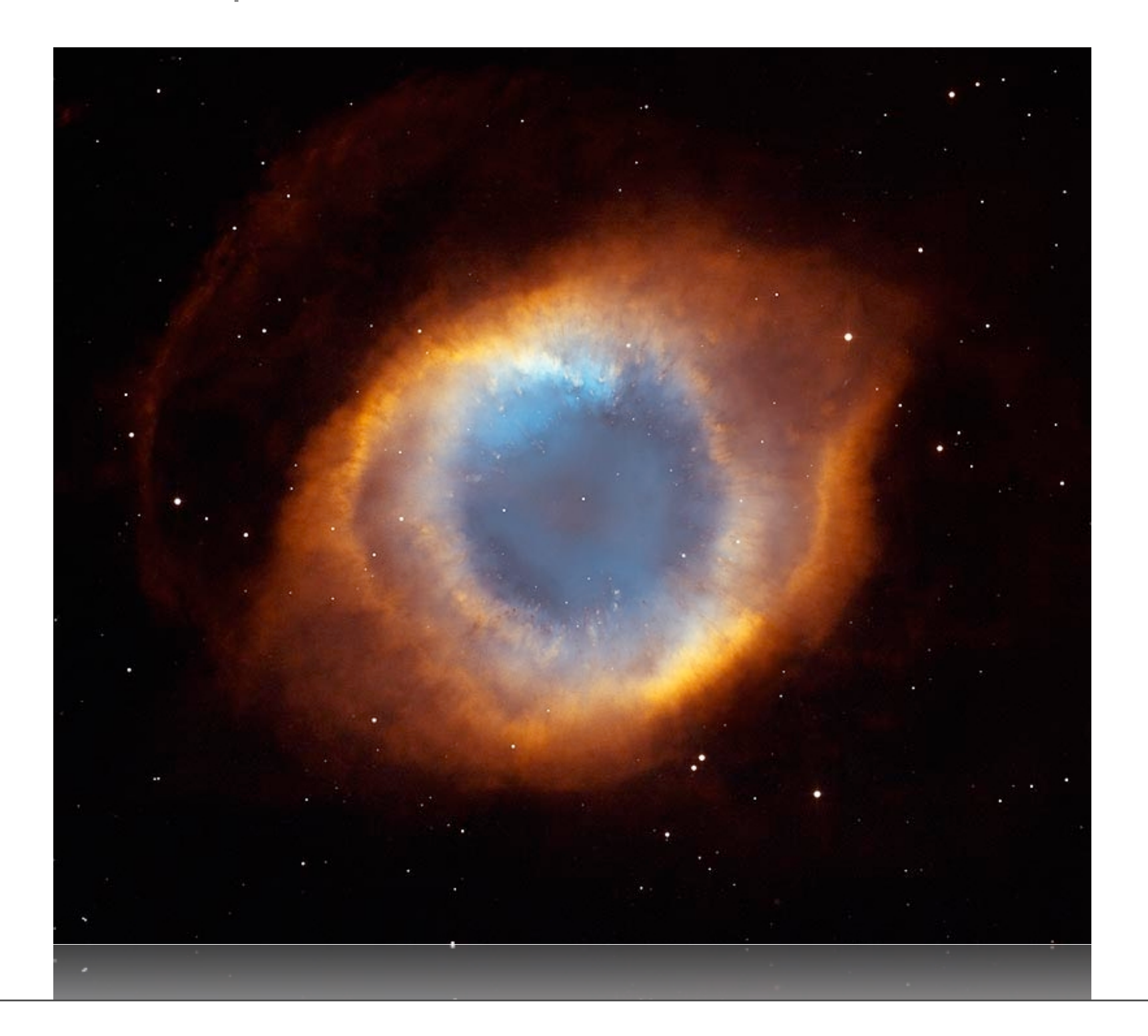
### Fase 4: Nebulose planetarie

Restituzione dei nuclei pesanti al mezzo interstellare

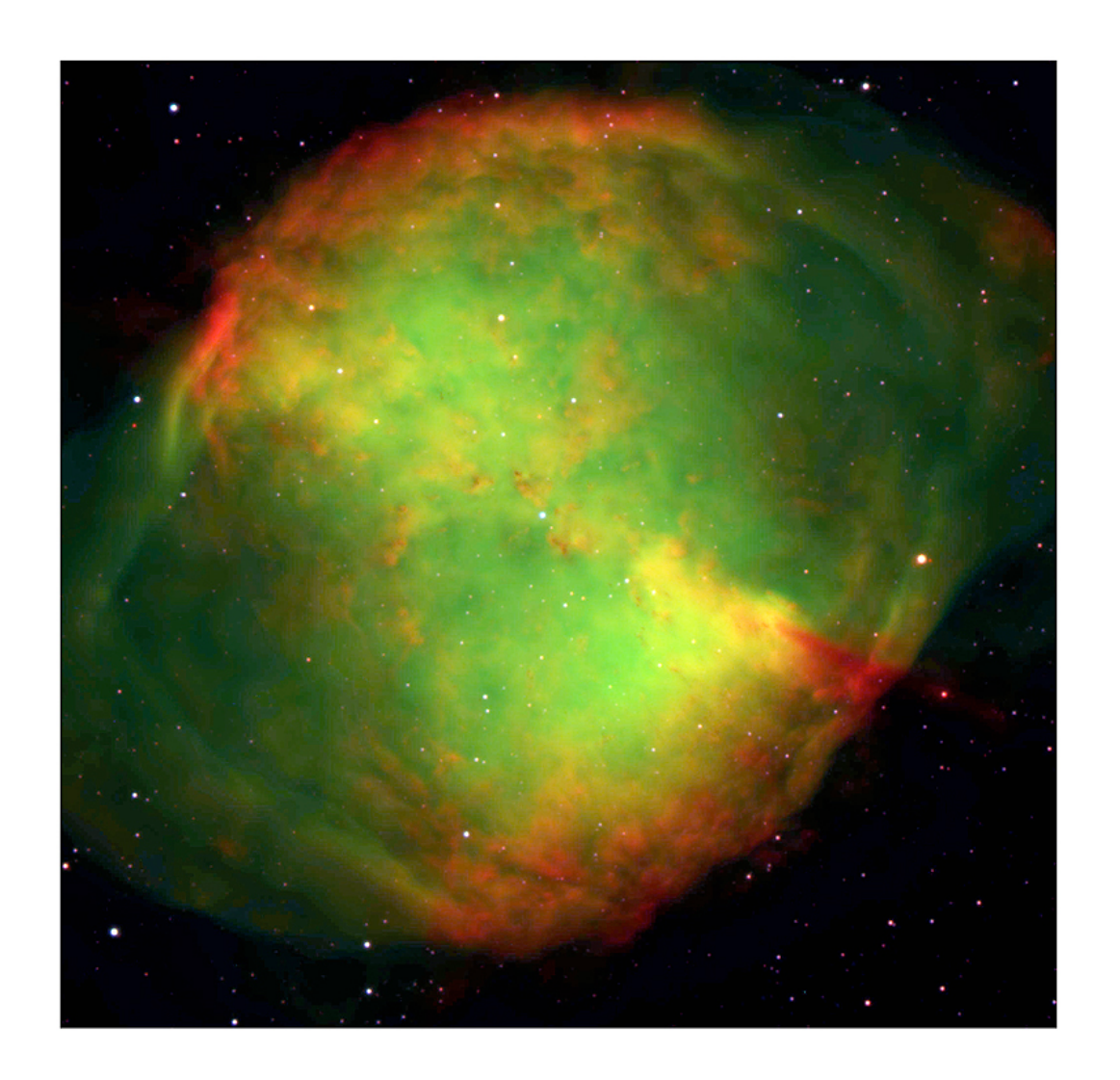


### Fase 4: Nebulose planetarie

Restituzione dei nuclei pesanti al mezzo interstellare



Restituzione dei nuclei pesanti al mezzo interstellare



Planetary Nebula NGC 6853 (M 27) - VLT UT1+FORS1

ESO PR Photo 38a/98 ( 7 October 1998 )

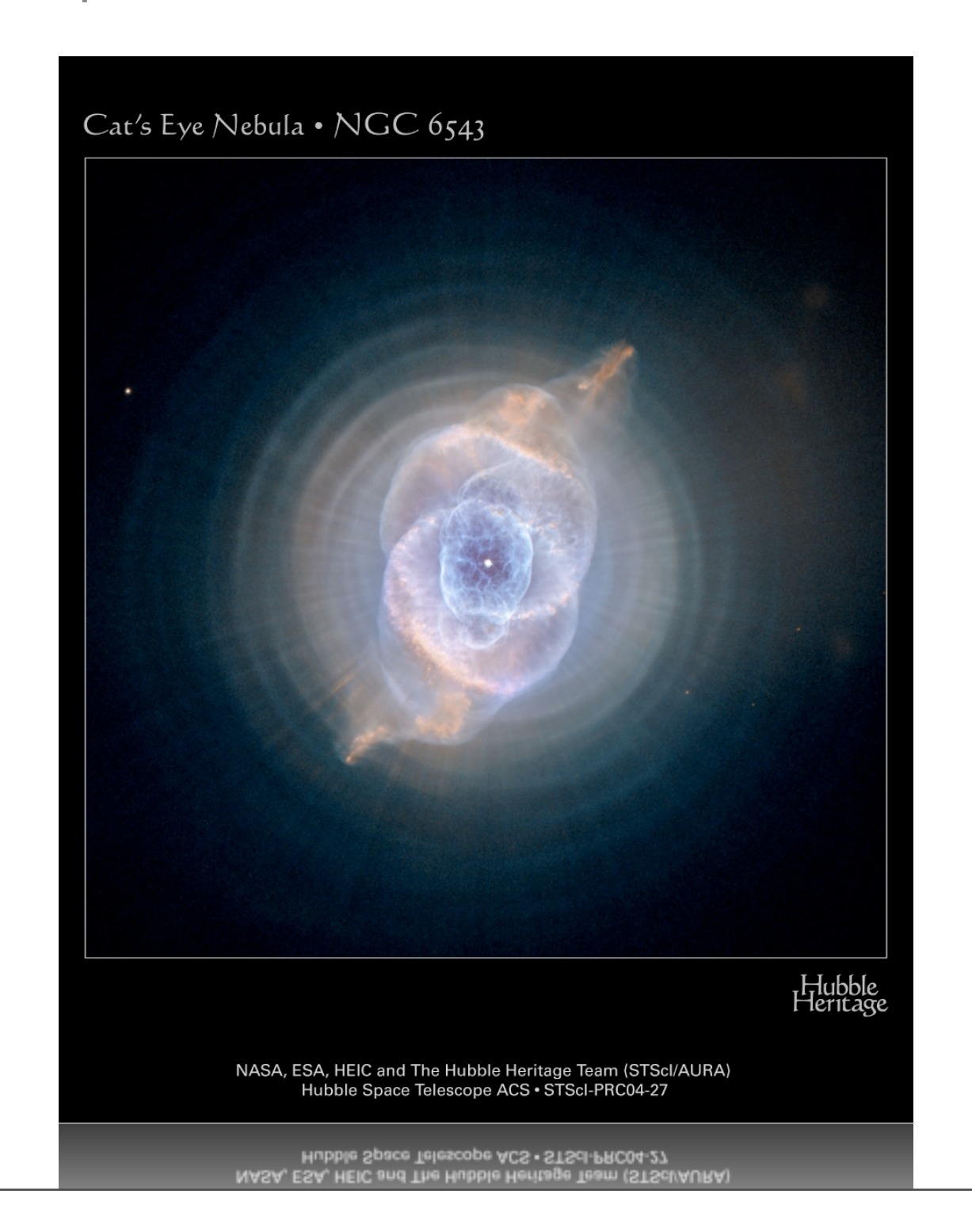
ESO PR Photo 38a/98 (7 October 1998)

© ESO European Southern Observatory

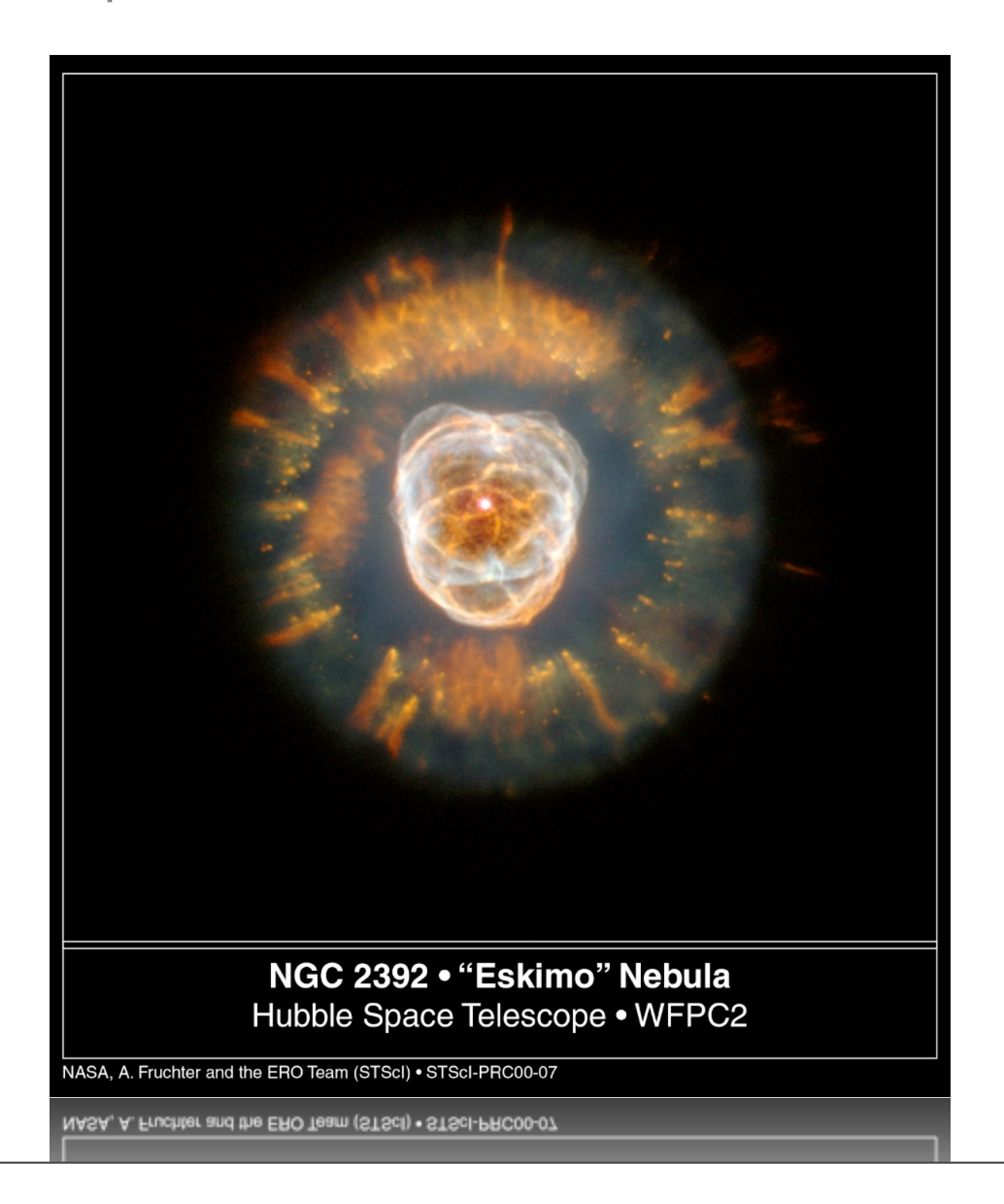
© ESO European Southern Observatory



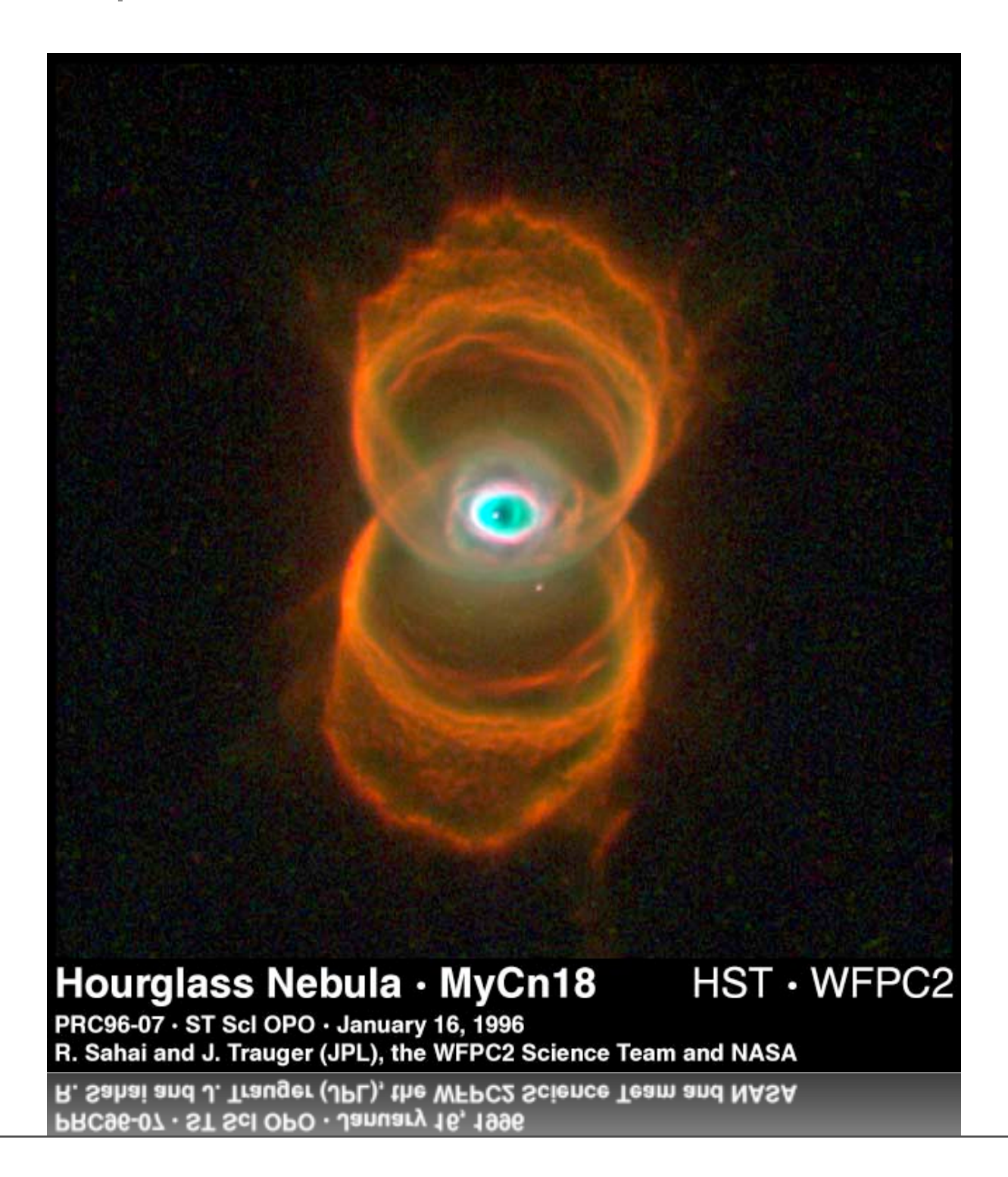
Restituzione dei nuclei pesanti al mezzo interstellare



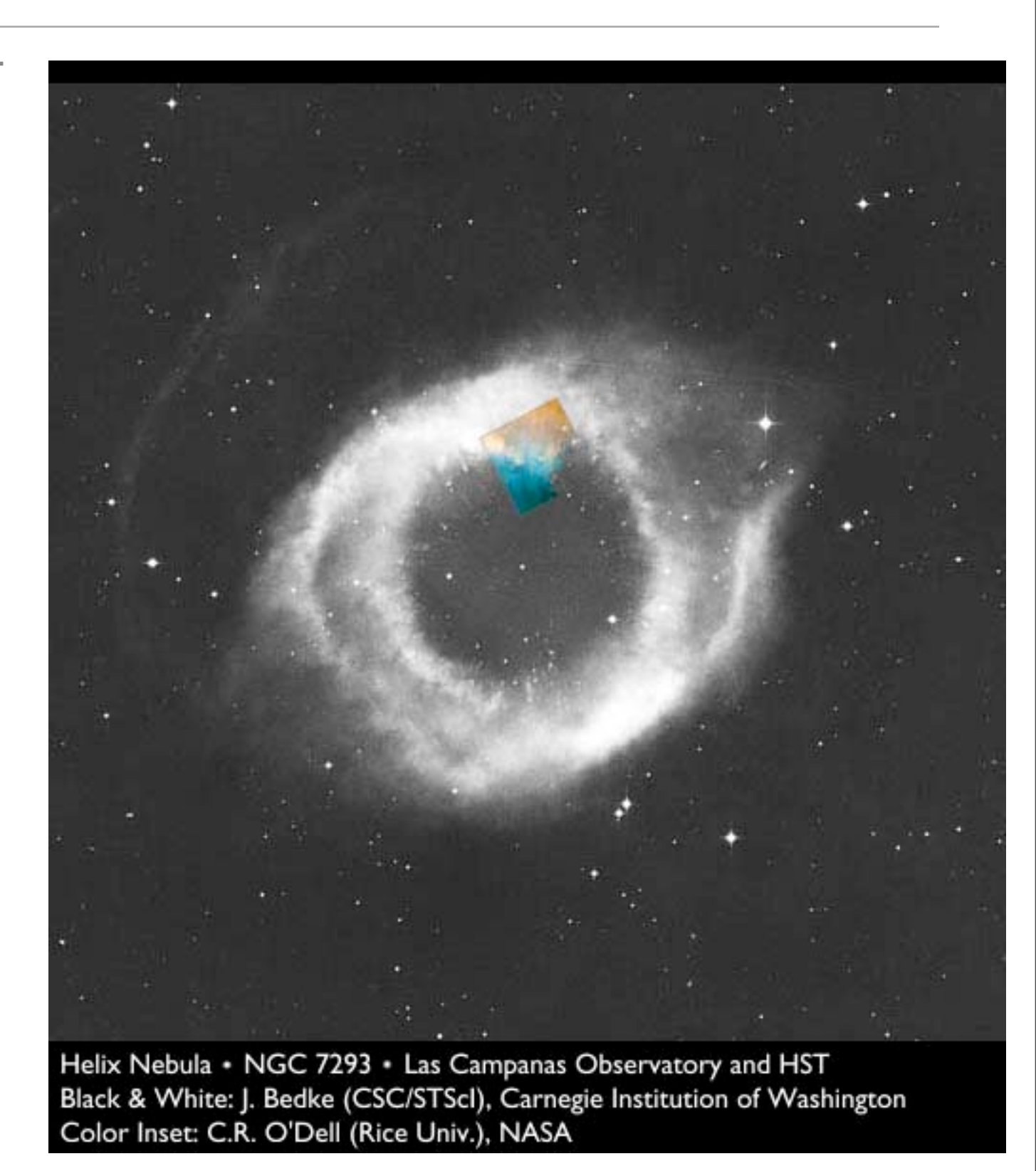
Restituzione dei nuclei pesanti al mezzo interstellare



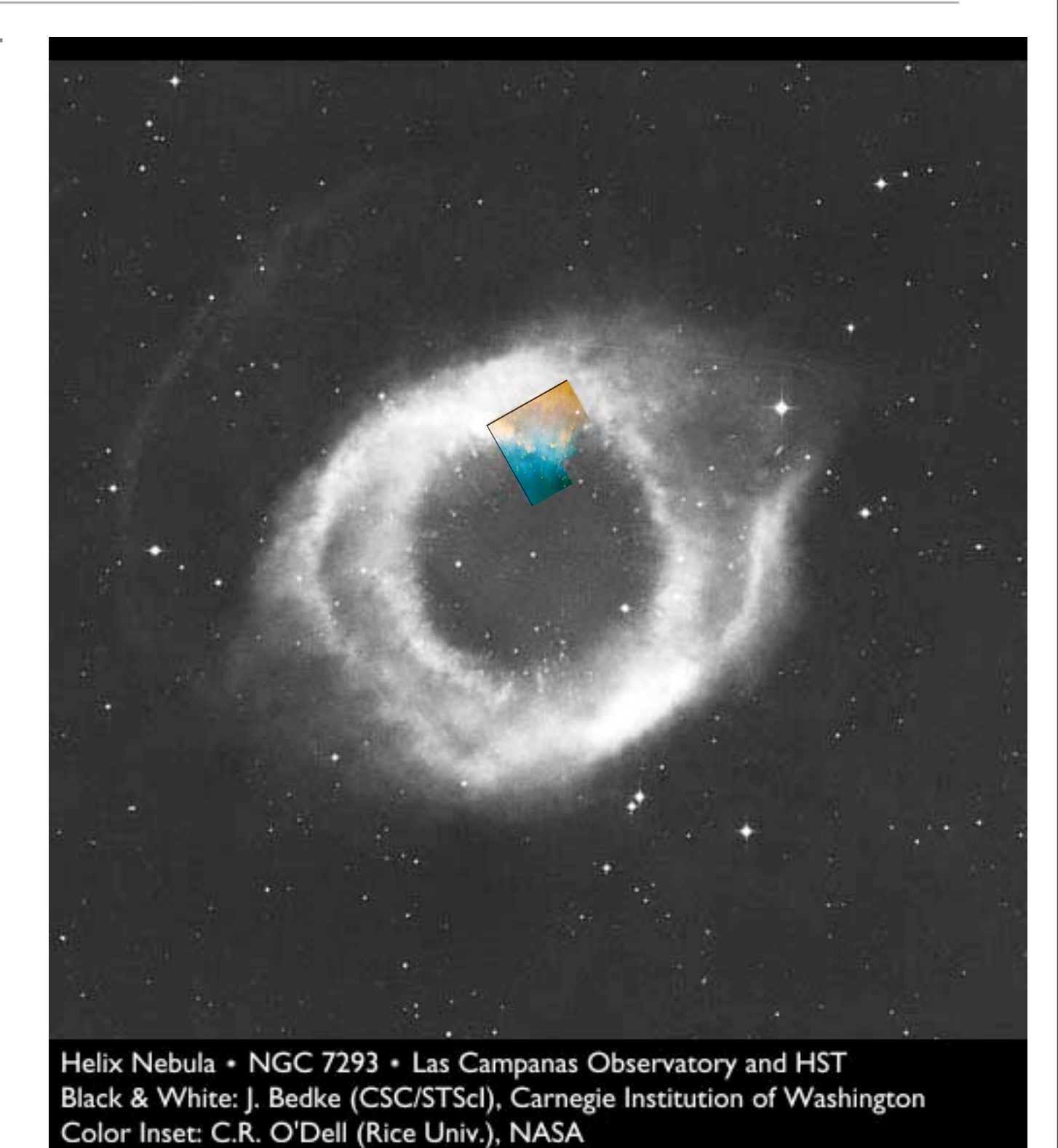
Restituzione dei nuclei pesanti al mezzo interstellare

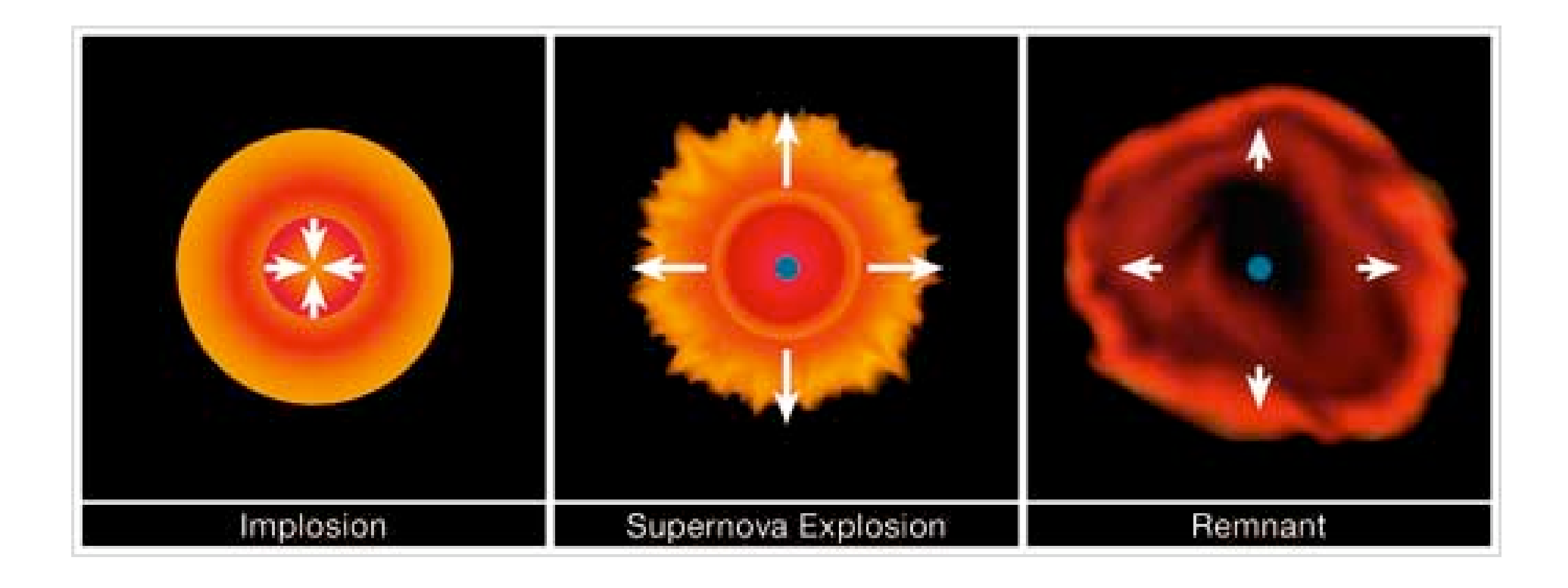


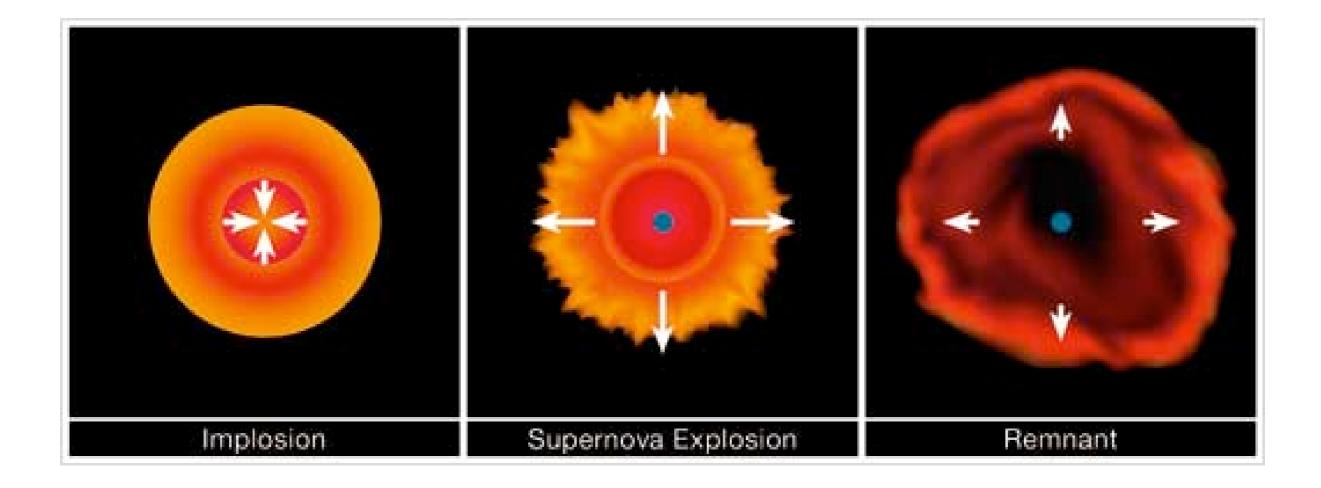
La nebulosa dell'elica, vista con HST

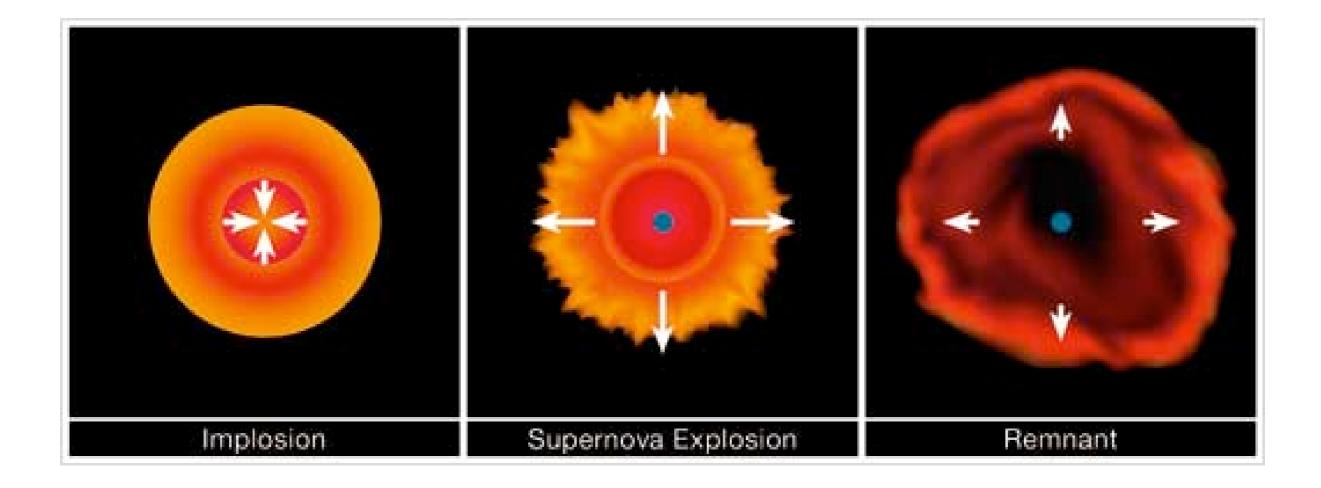


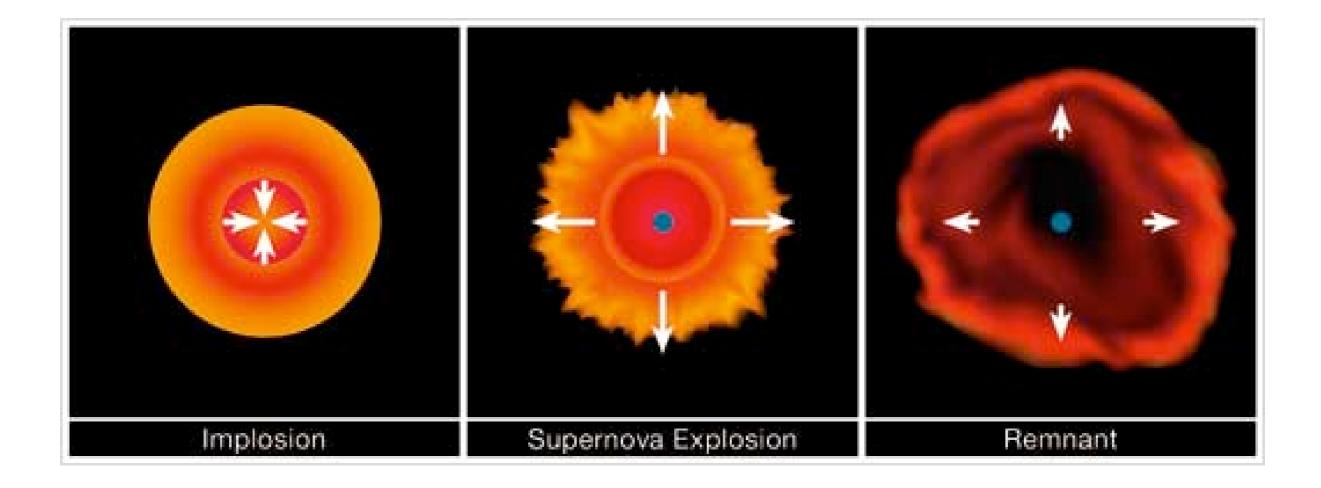
La nebulosa dell'elica, vista con HST

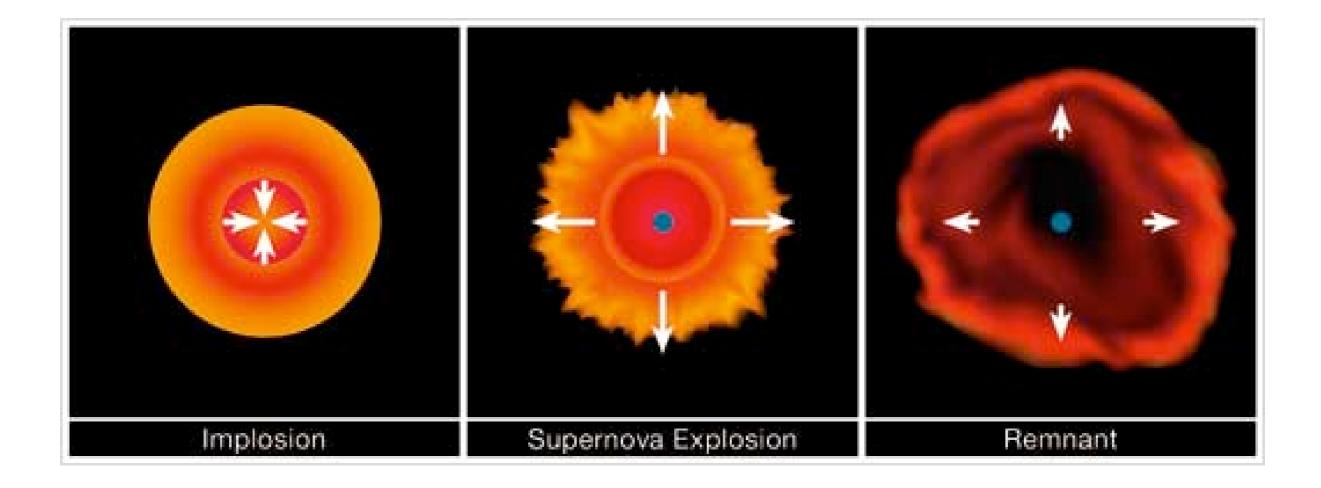


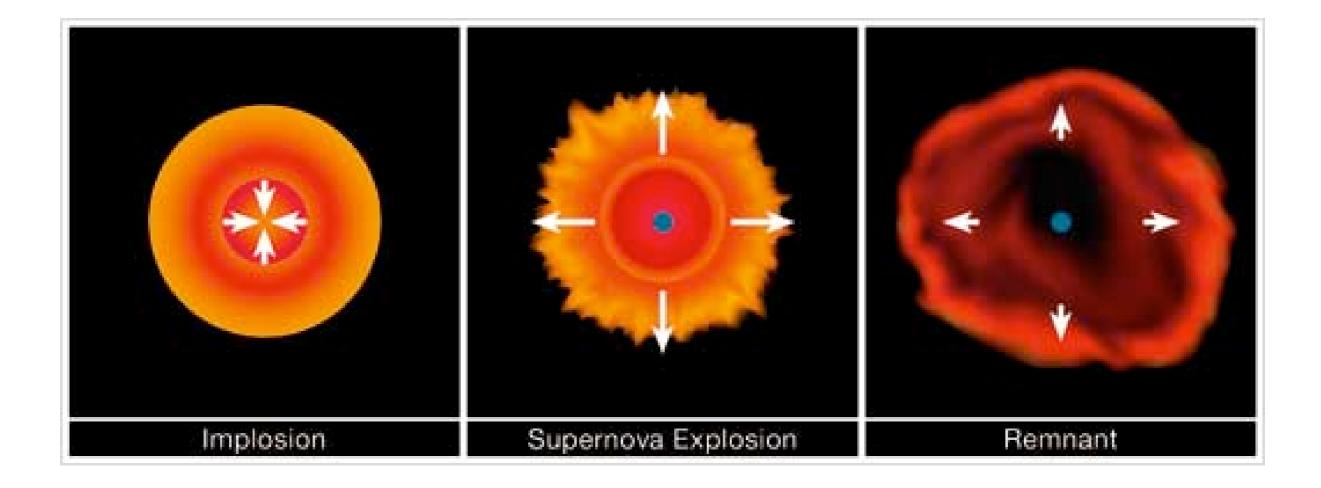






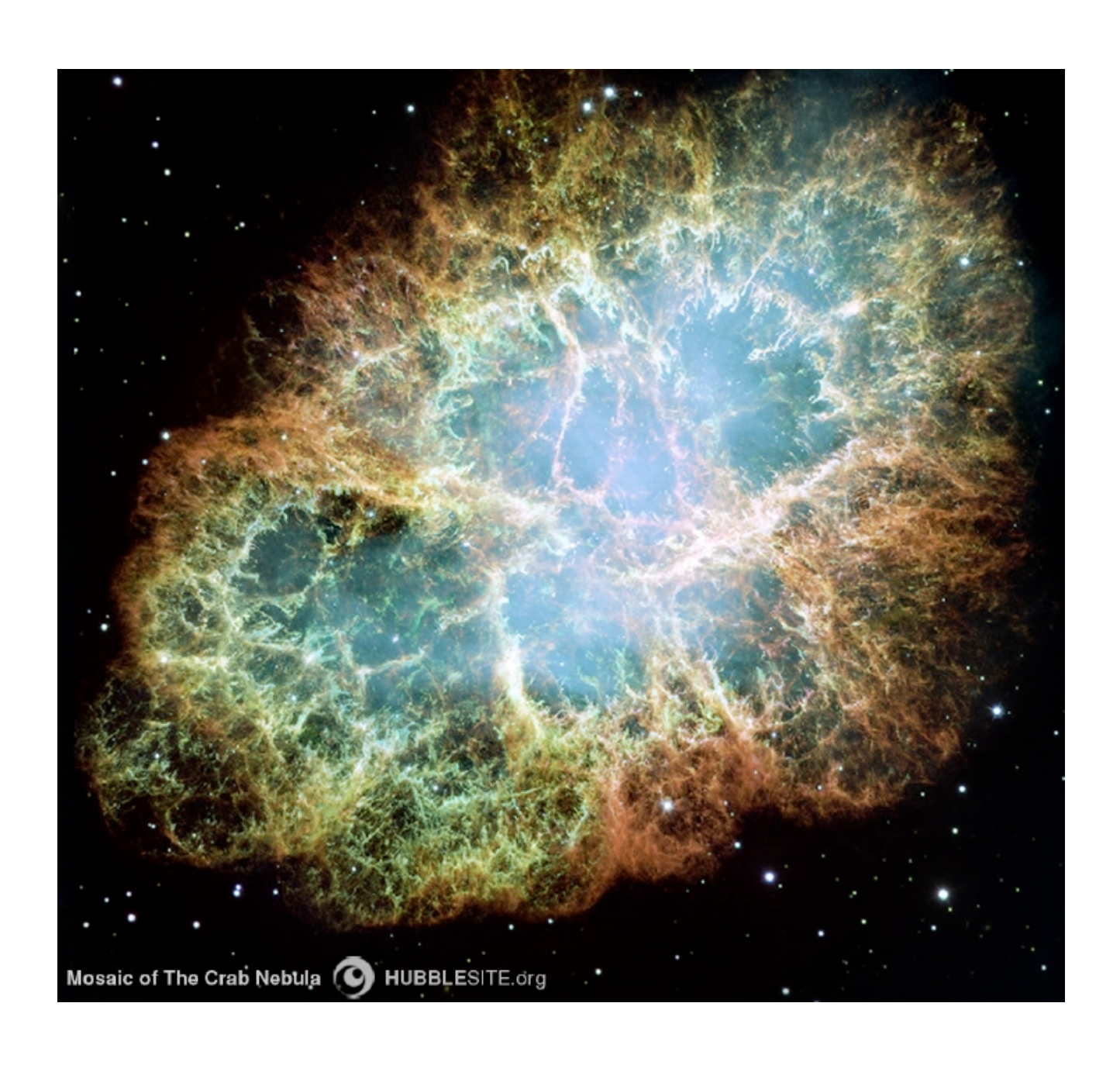


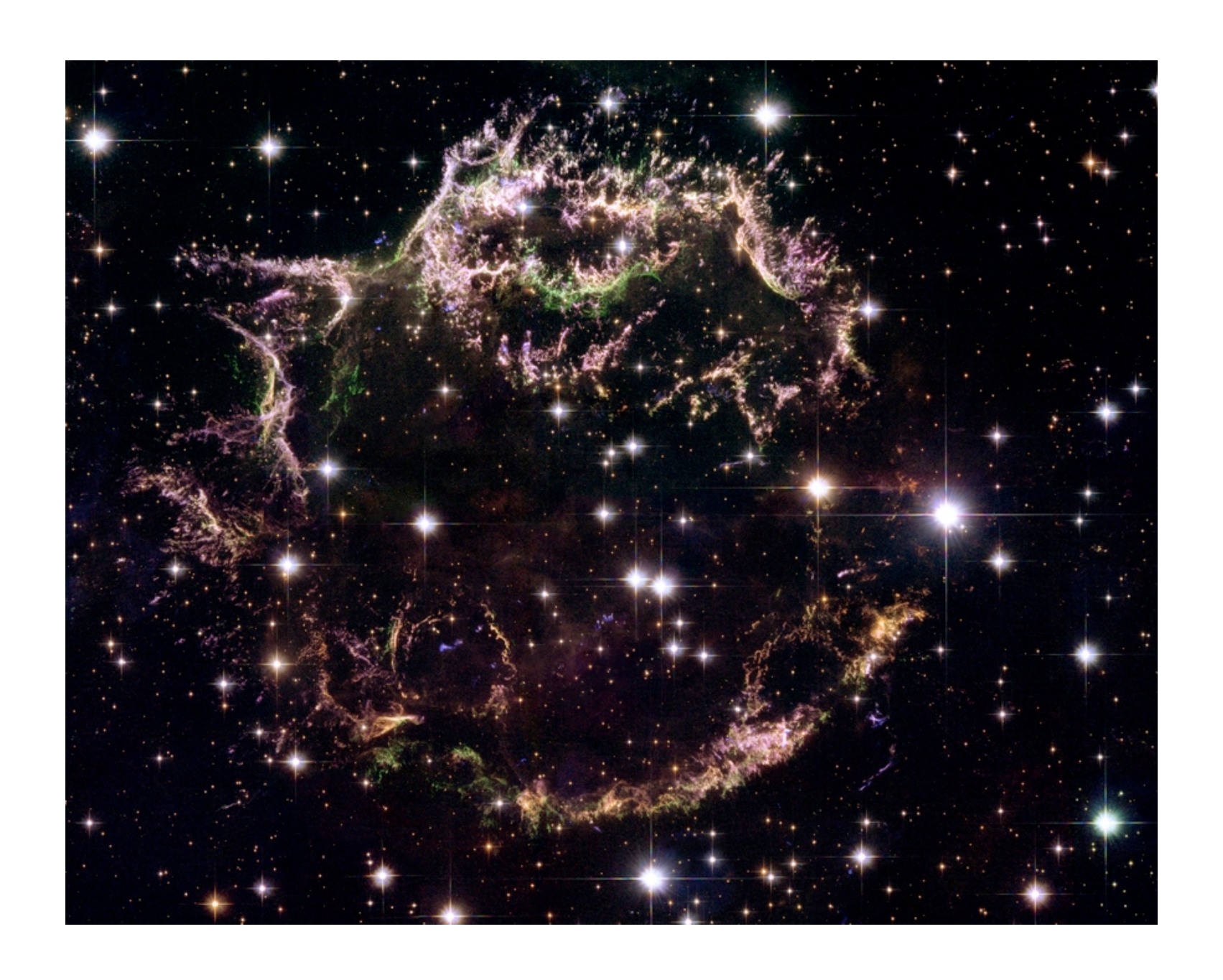












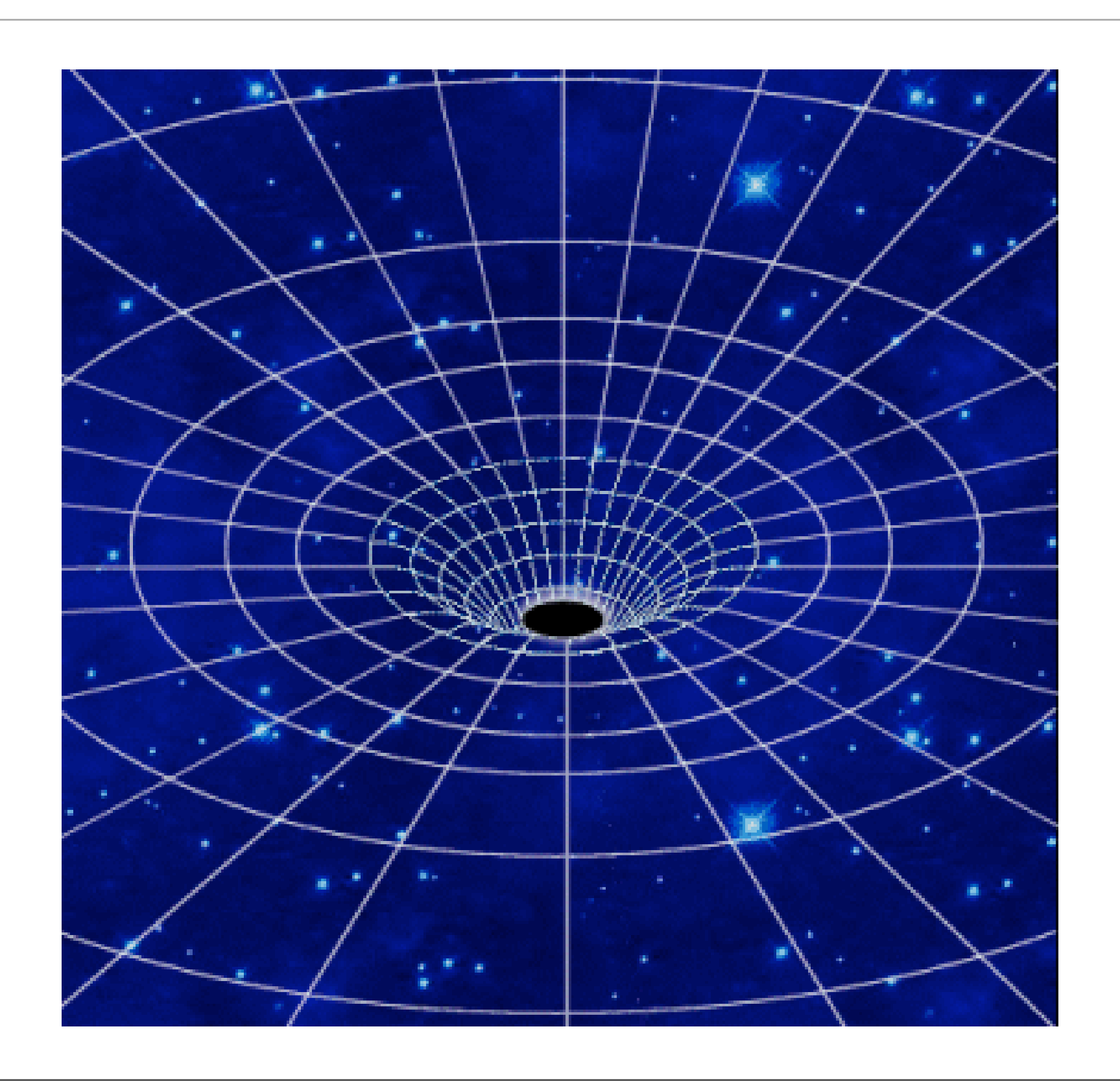


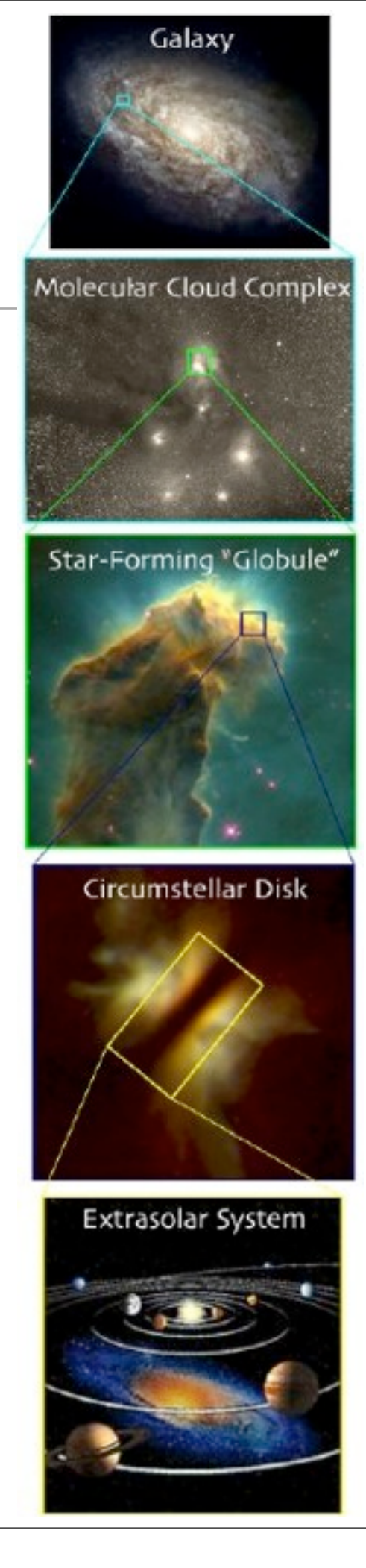
Massa del cuore

- Massa del cuore
- Se M<sub>cuore</sub> < 1.4 M<sub>sun</sub> ⇒ Nana bianca

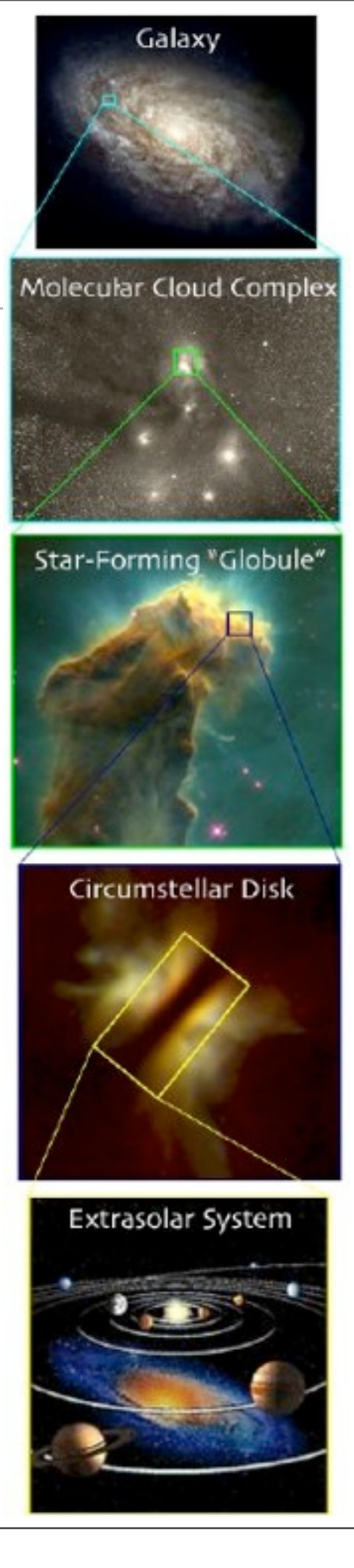
- Massa del cuore
- Se M<sub>cuore</sub> < 1.4 M<sub>sun</sub> ⇒ Nana bianca
- Se 1.4 M<sub>sun</sub> < M<sub>cuore</sub> < 3 M<sub>sun</sub> ⇒ Stella a neutroni

- Massa del cuore
- Se M<sub>cuore</sub> < 1.4 M<sub>sun</sub> ⇒ Nana bianca
- Se 1.4 M<sub>sun</sub> < M<sub>cuore</sub> < 3 M<sub>sun</sub> ⇒ Stella a neutroni
- Se  $M_{cuore} > 3 M_{sun} \Rightarrow Buco nero$

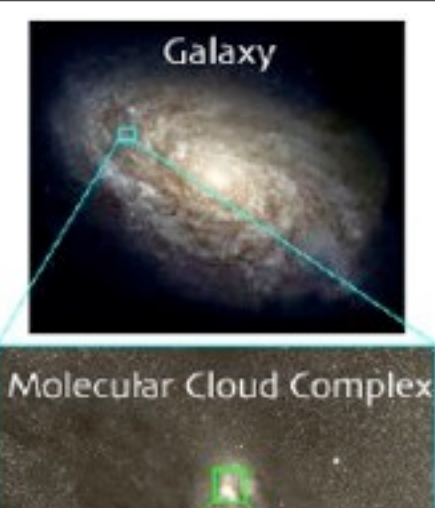




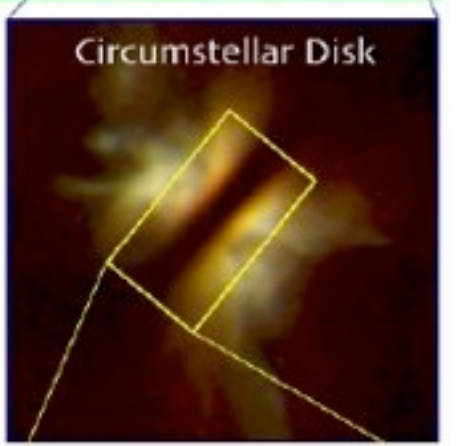
 Tutti gli atomi della Terra (tranne H e He) sono stati creati nelle stelle giganti o in supernove.

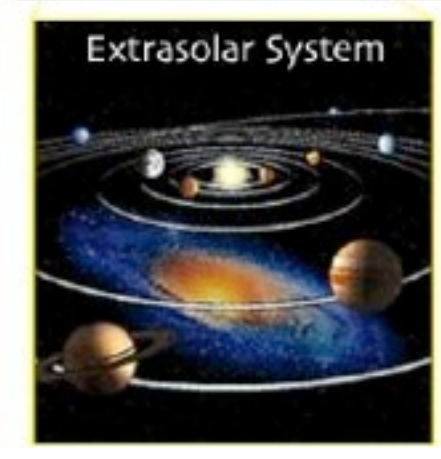


- Tutti gli atomi della Terra (tranne H e He) sono stati creati nelle stelle giganti o in supernove.
- La natura non supera U<sup>238</sup>!





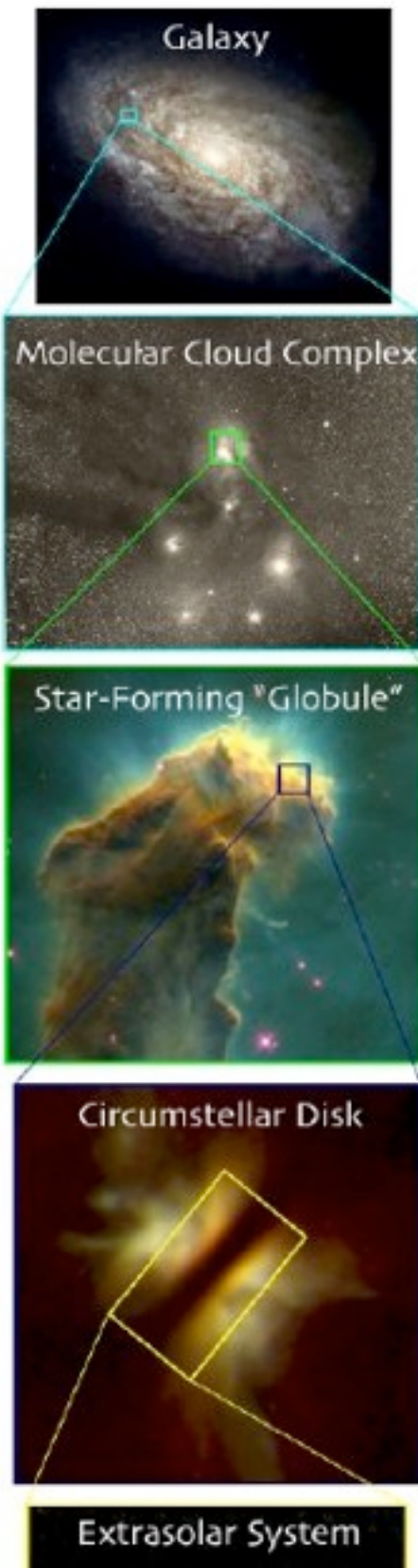


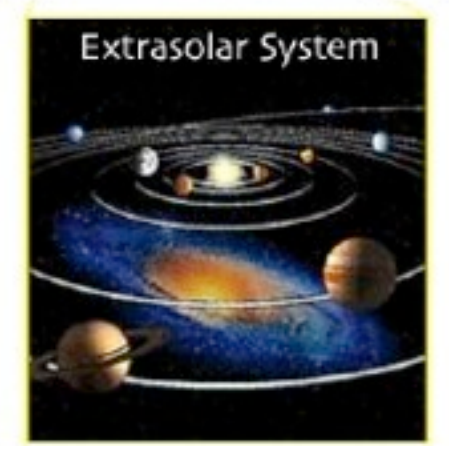


- Tutti gli atomi della Terra (tranne H e He) sono stati creati nelle stelle giganti o in supernove.
- La natura non supera U<sup>238</sup>!
- Successi della nucleosintesi stellare.



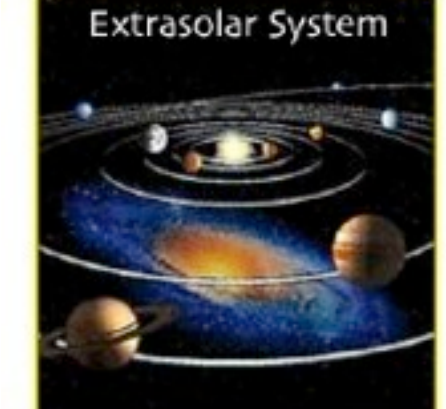
- Tutti gli atomi della Terra (tranne H e He) sono stati creati nelle stelle giganti o in supernove.
- La natura non supera U<sup>238</sup>!
- Successi della nucleosintesi stellare.
- Ritardo necessario tra la vita e l'inizio dell'universo.



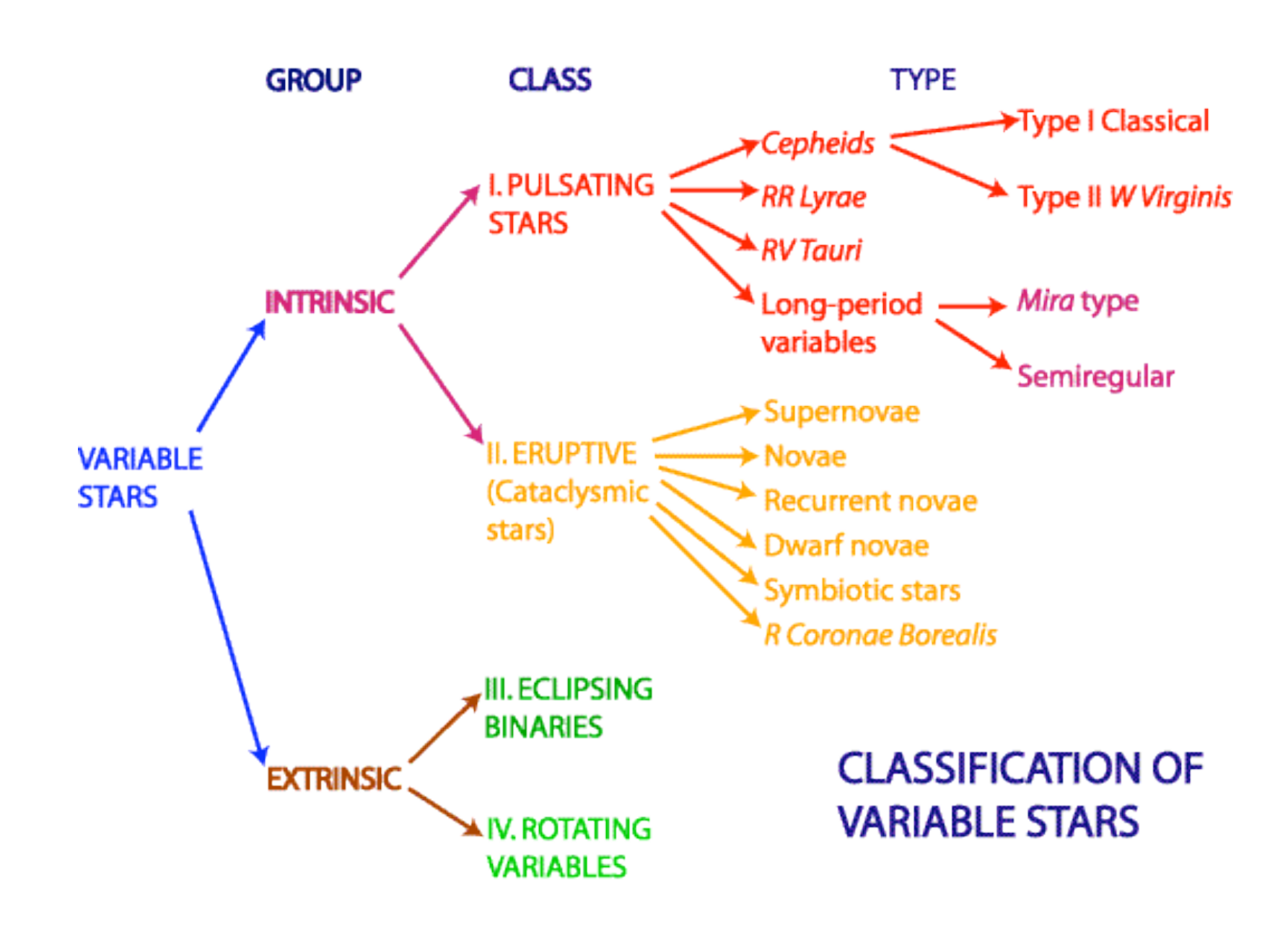


- Tutti gli atomi della Terra (tranne H e He) sono stati creati nelle stelle giganti o in supernove.
- La natura non supera U<sup>238</sup>!
- Successi della nucleosintesi stellare.
- Ritardo necessario tra la vita e l'inizio dell'universo.
- Comete e stelle massicce: essenziali alla vita, ma anche mortali.

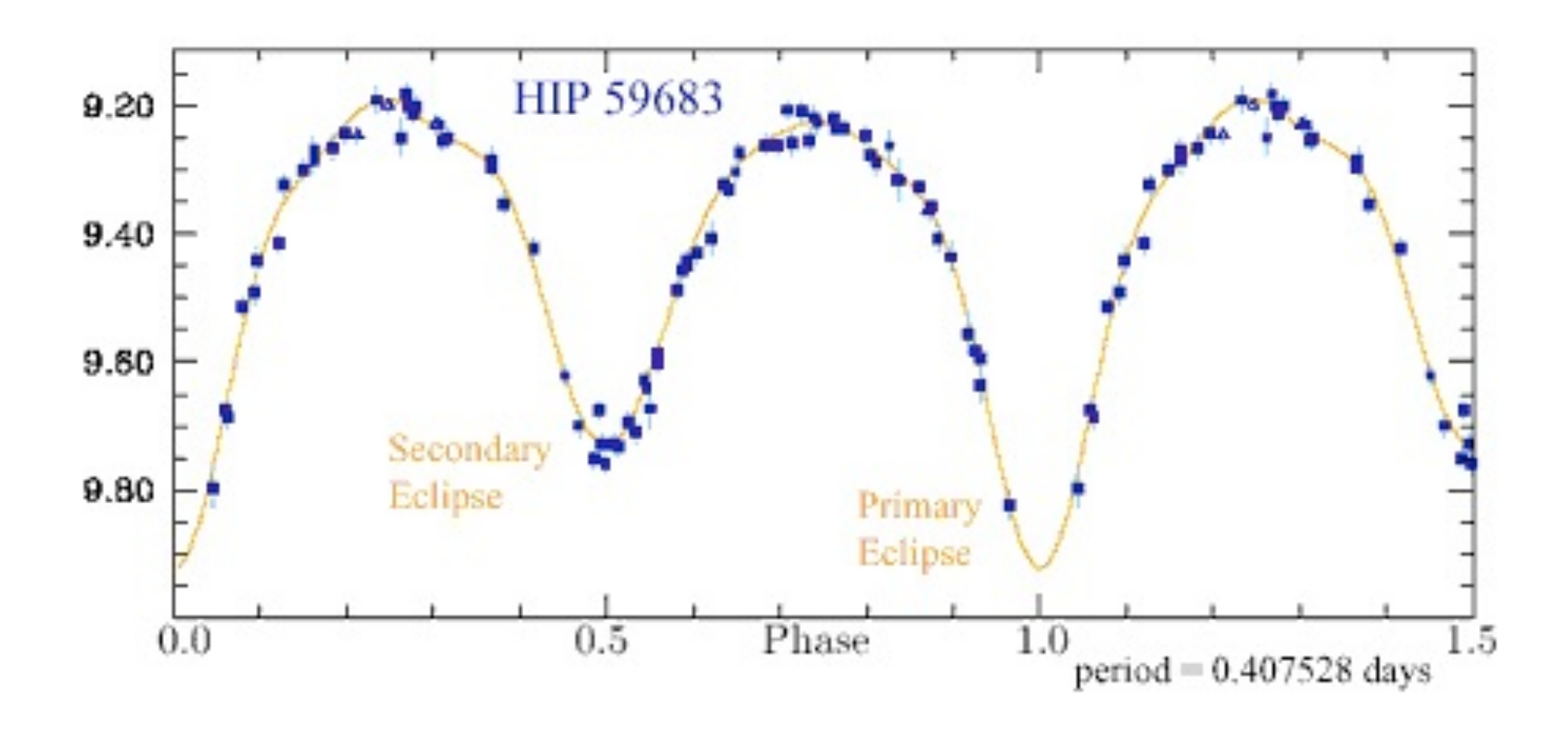




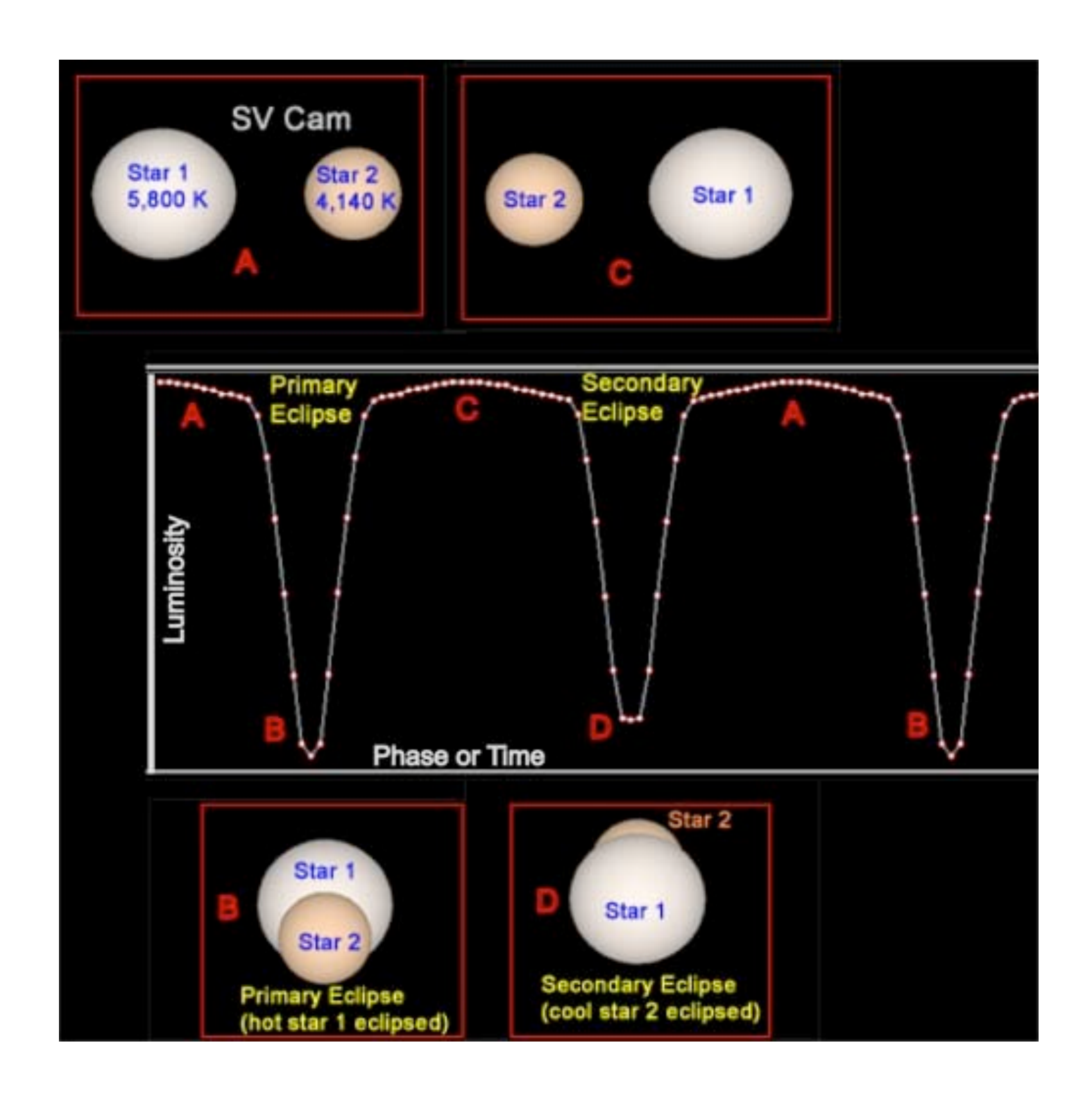
#### Stelle variabile



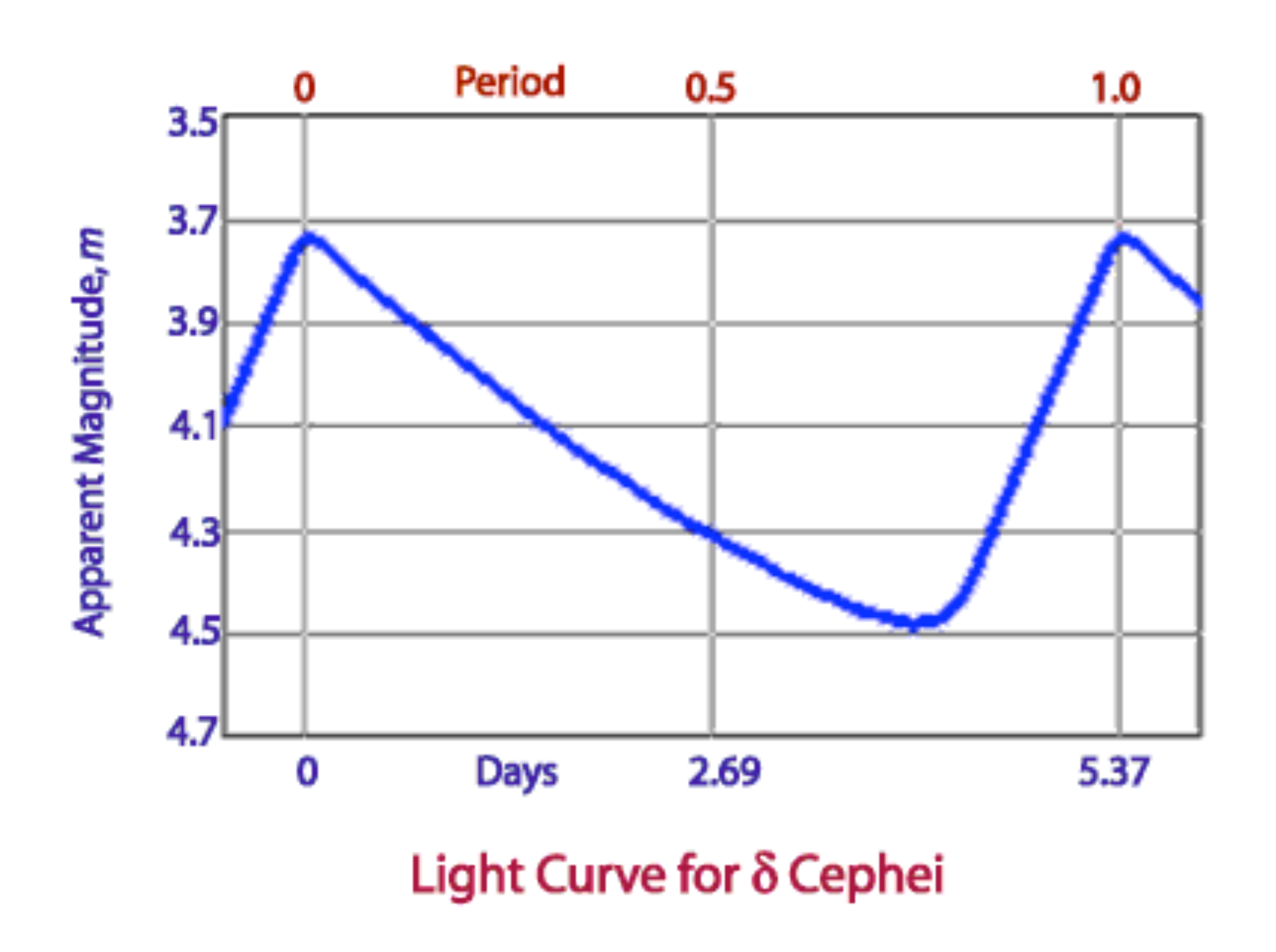
## Binarie ad eclisse



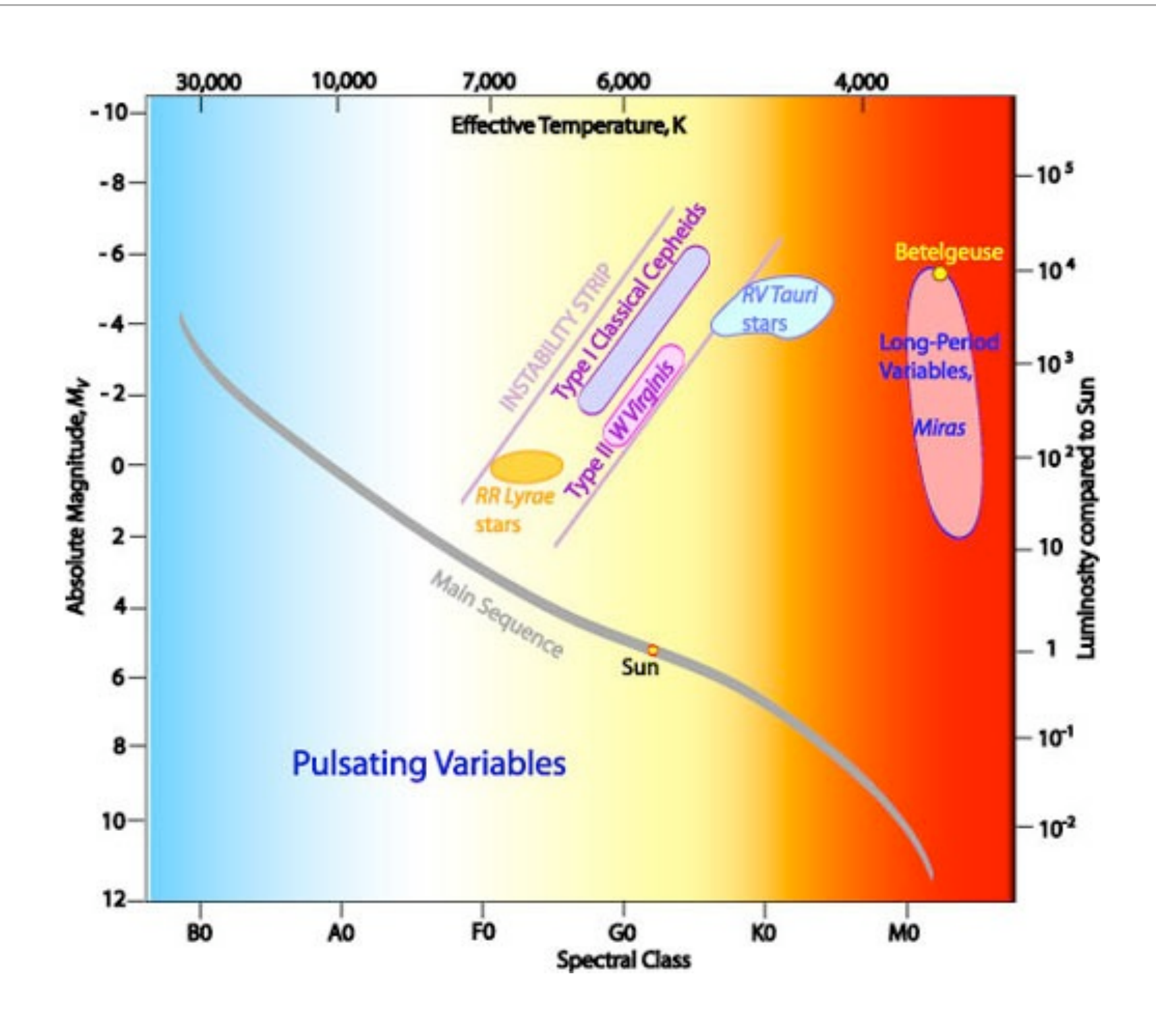
### Binarie ad eclisse



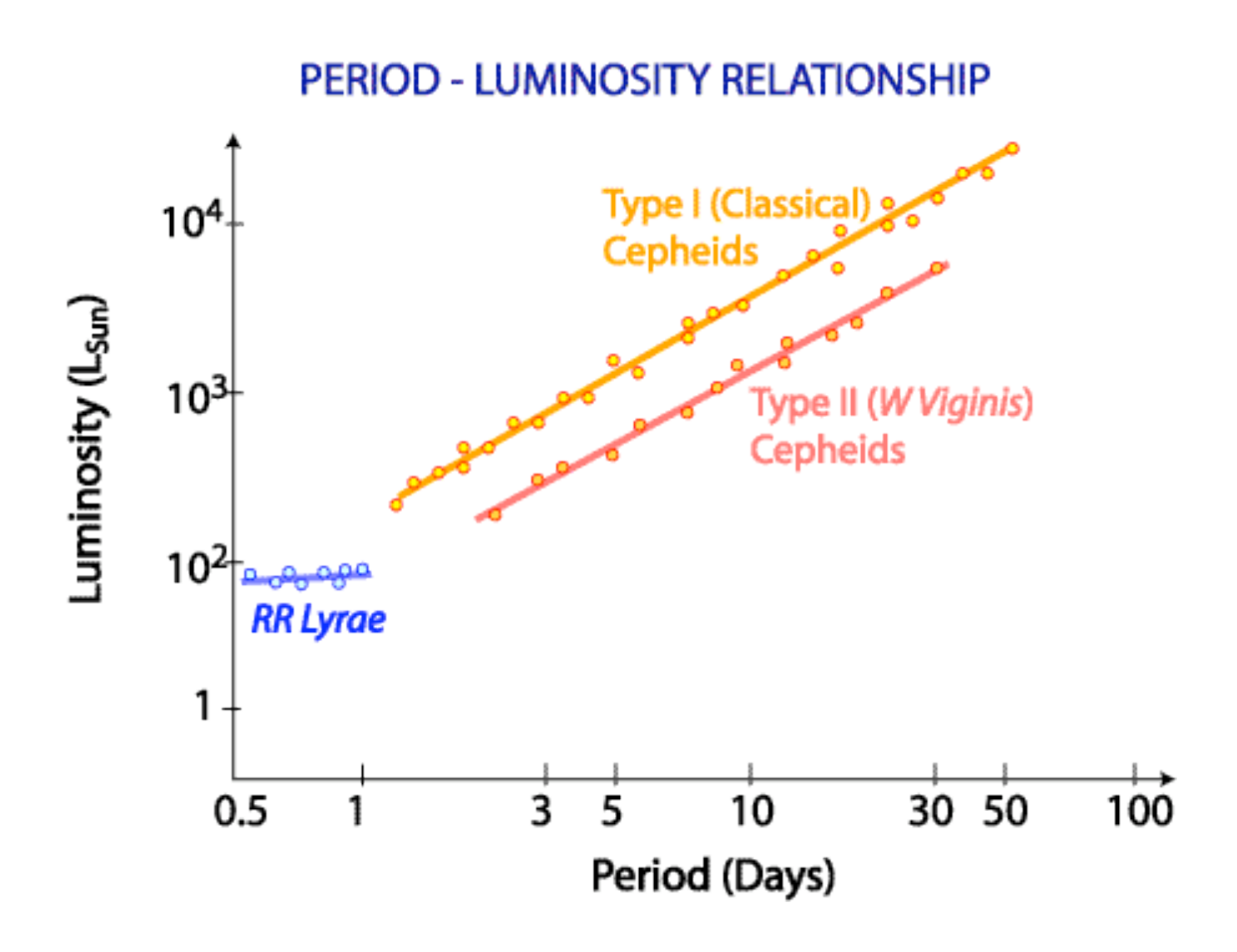
## Stelle con pulsazione: variabile cefeide



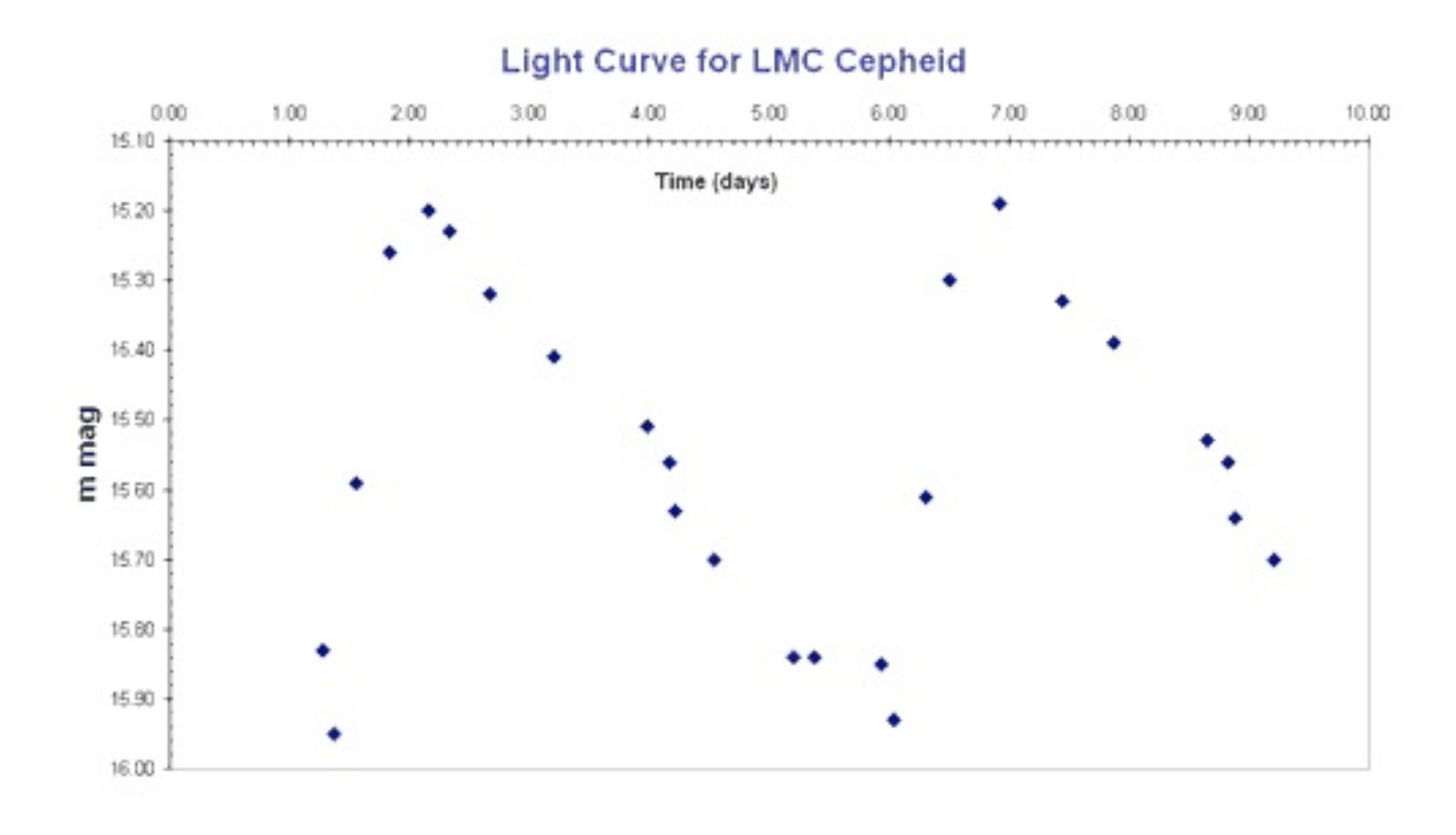
## Stelle con pulsazione: variabile cefeide

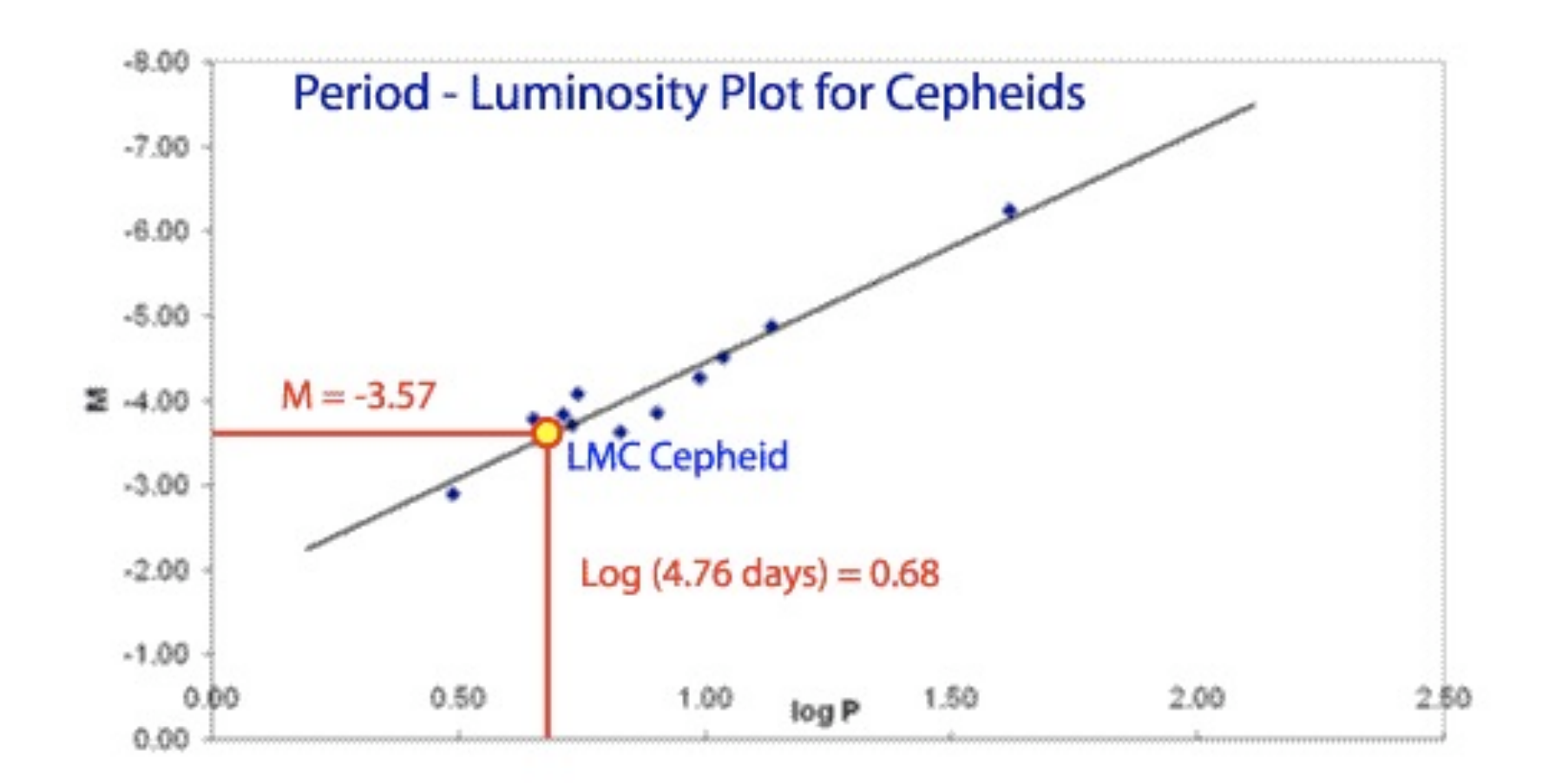


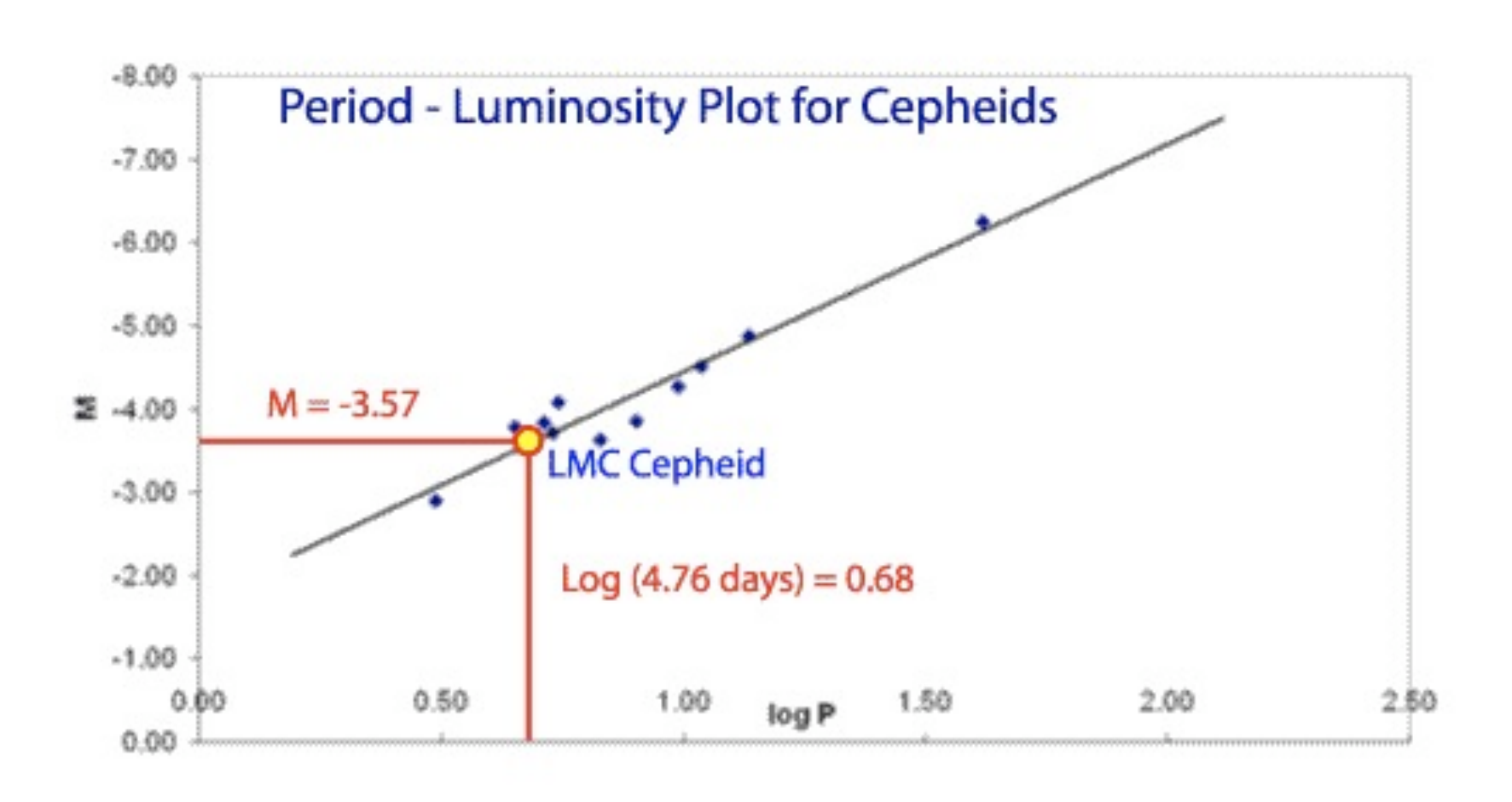
#### Calcolare la distanza delle cefeide



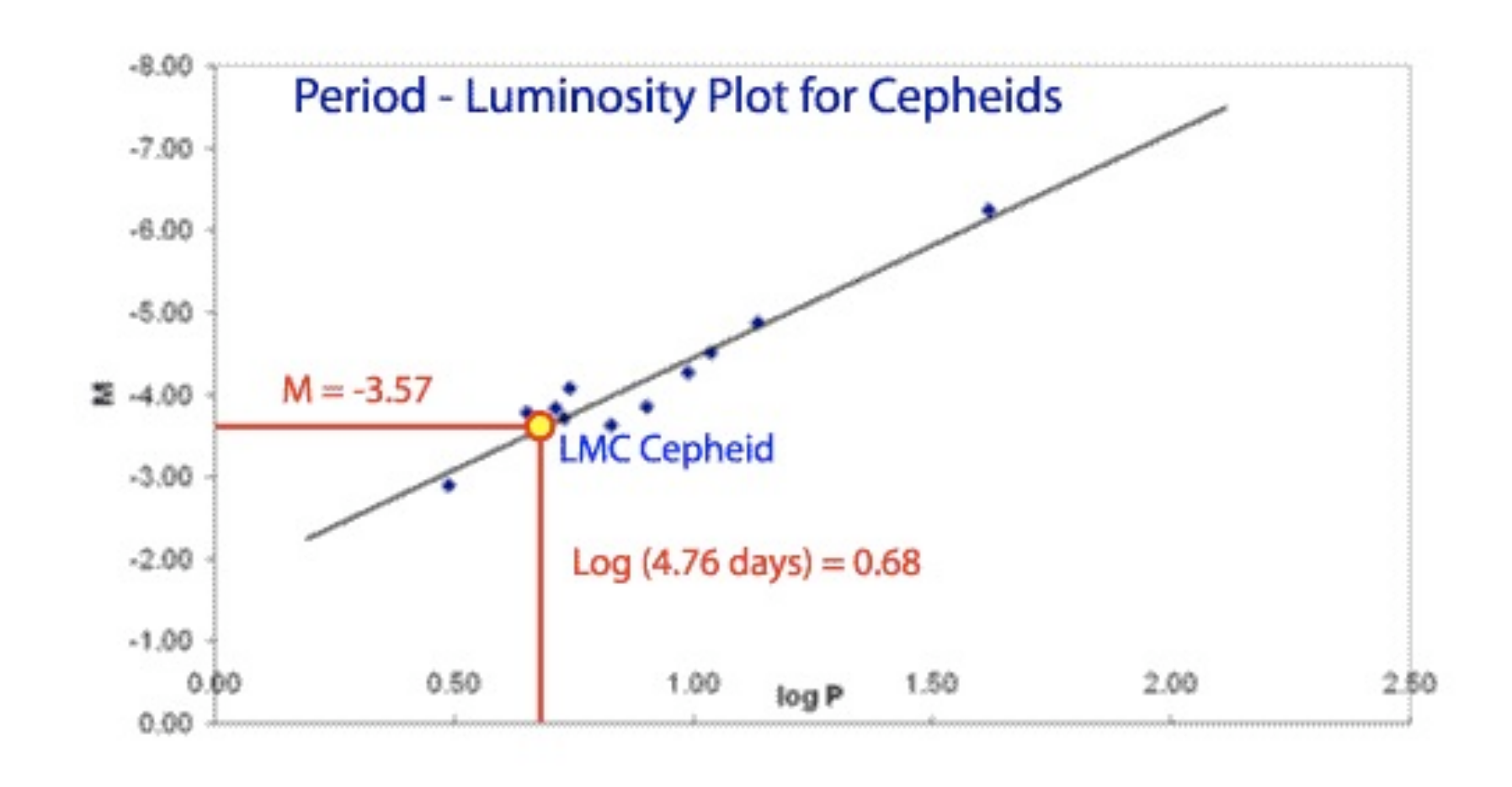
### Calcolare la distanza delle cefeide





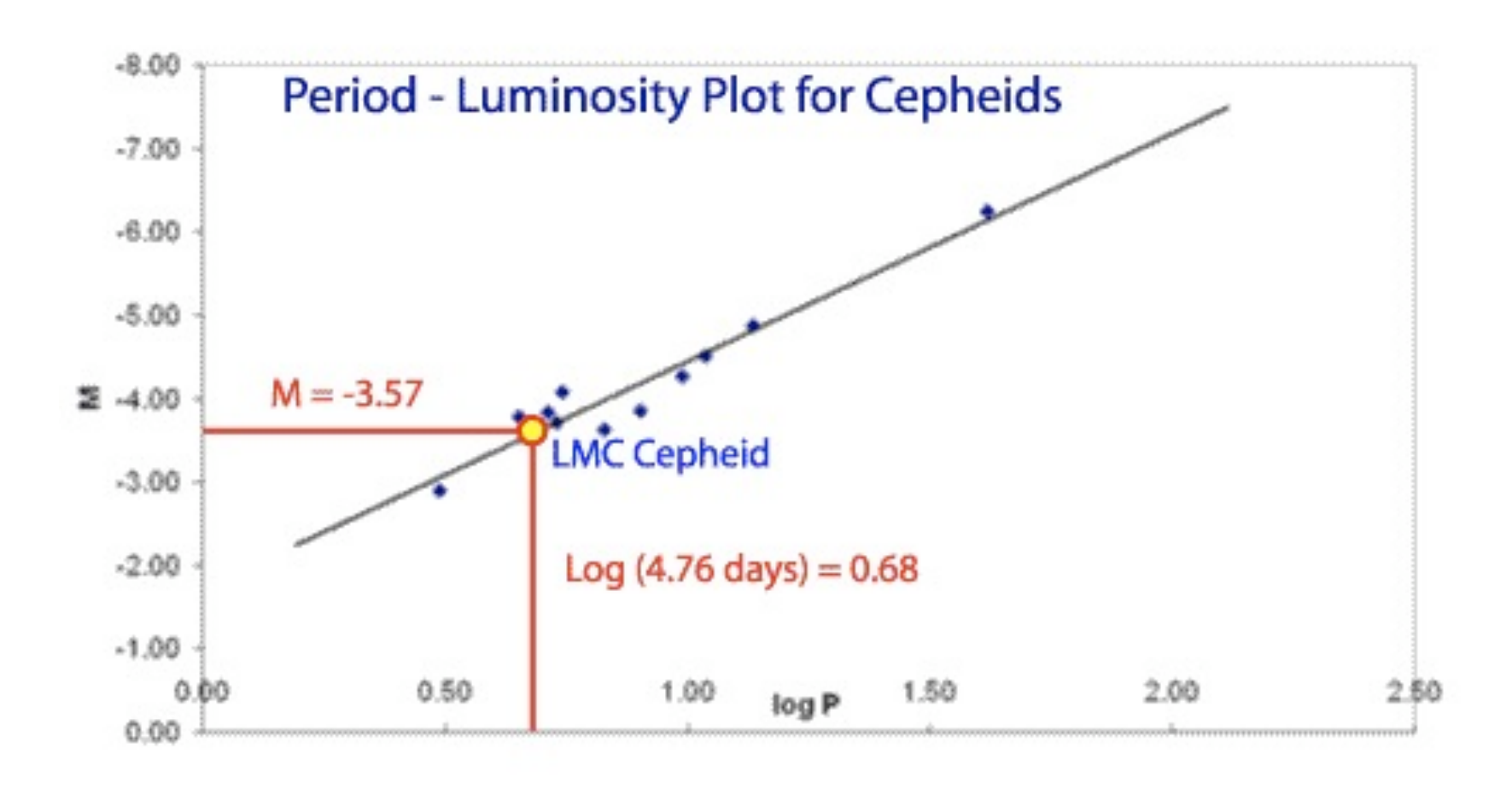


 magnitudine apparente media: m = 15.56



 magnitudine apparente media: m = 15.56

• m - M = 5 log (d/10) 
$$\Rightarrow$$
  
d = 10 (m-M+5)/5



 magnitudine apparente media: m = 15.56

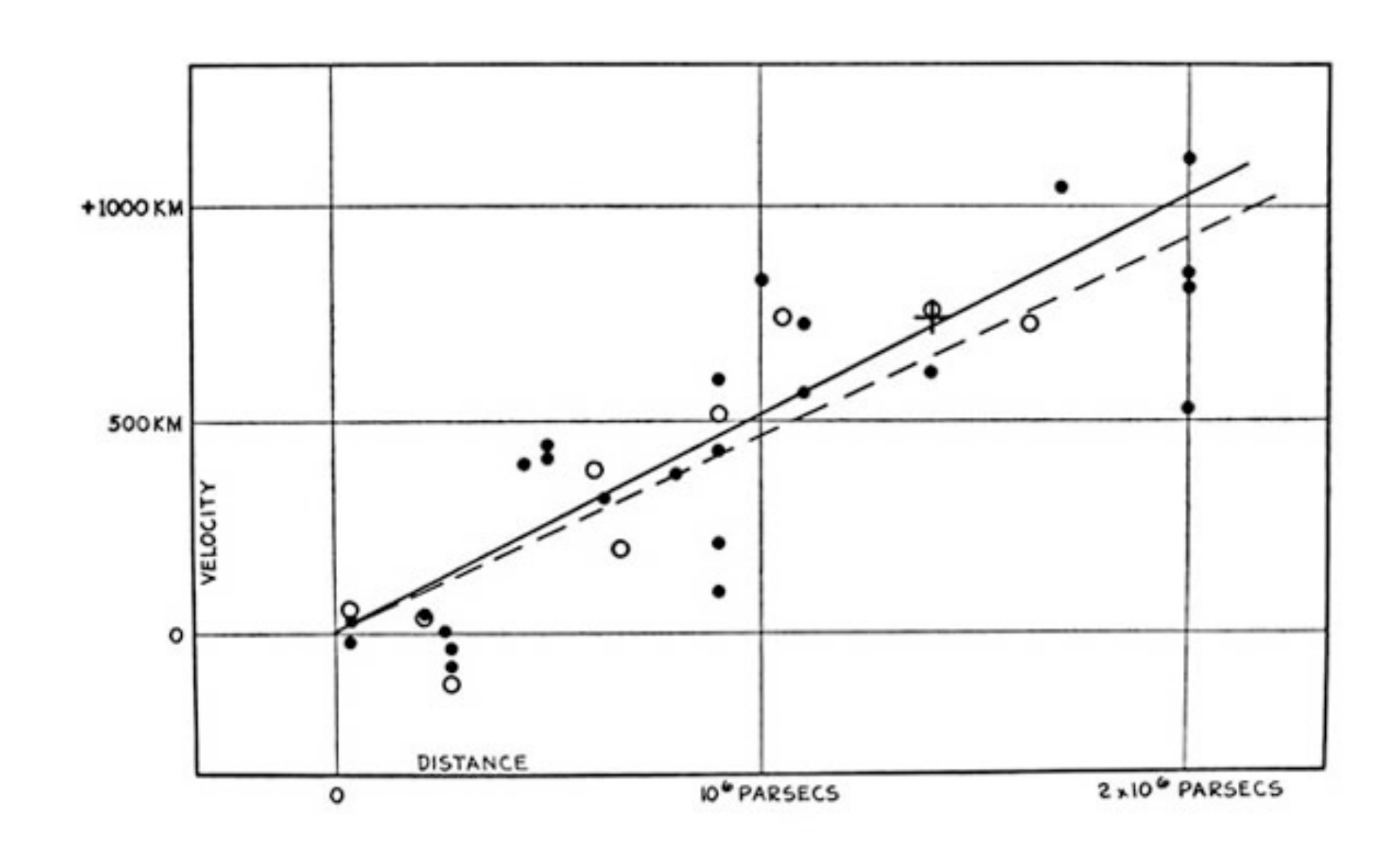
• m - M = 5 log (d/10) 
$$\Rightarrow$$
  
d = 10 (m-M+5)/5

con M = -3.57,
d = 68'230 pc
d = 222'000 anni luce

#### Misurare Ho con le cefeide

$$v = H_0 \cdot d$$

$$t_0 \approx 1/H_0$$



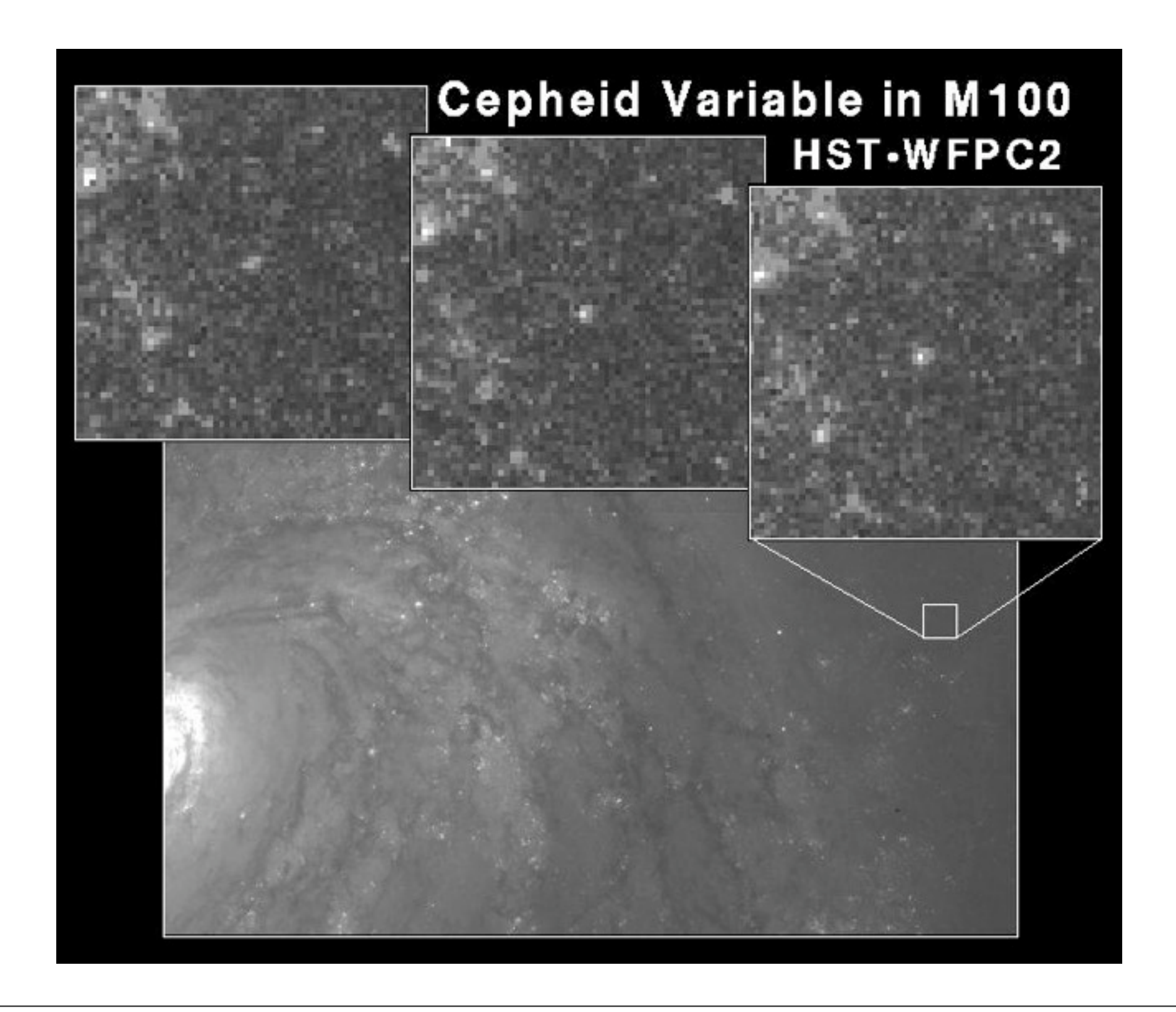
 $v = H_0 \cdot d$ 

 $t_0 \approx 1/H_0$ 



 $v = H_0 \cdot d$ 

 $t_0 \approx 1/H_0$ 



$$v = H_0 \cdot d$$

$$t_0 \approx 1/H_0$$

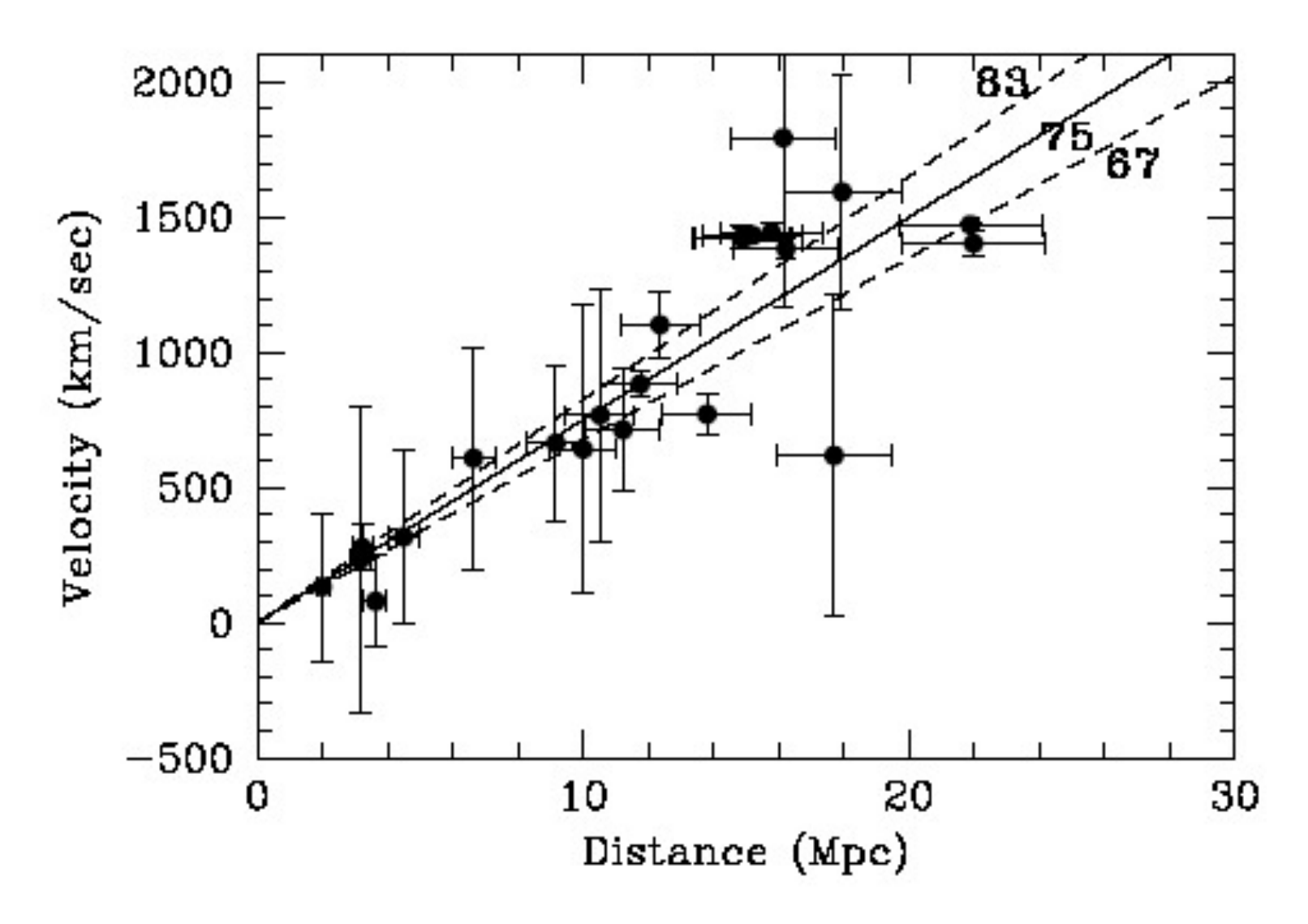
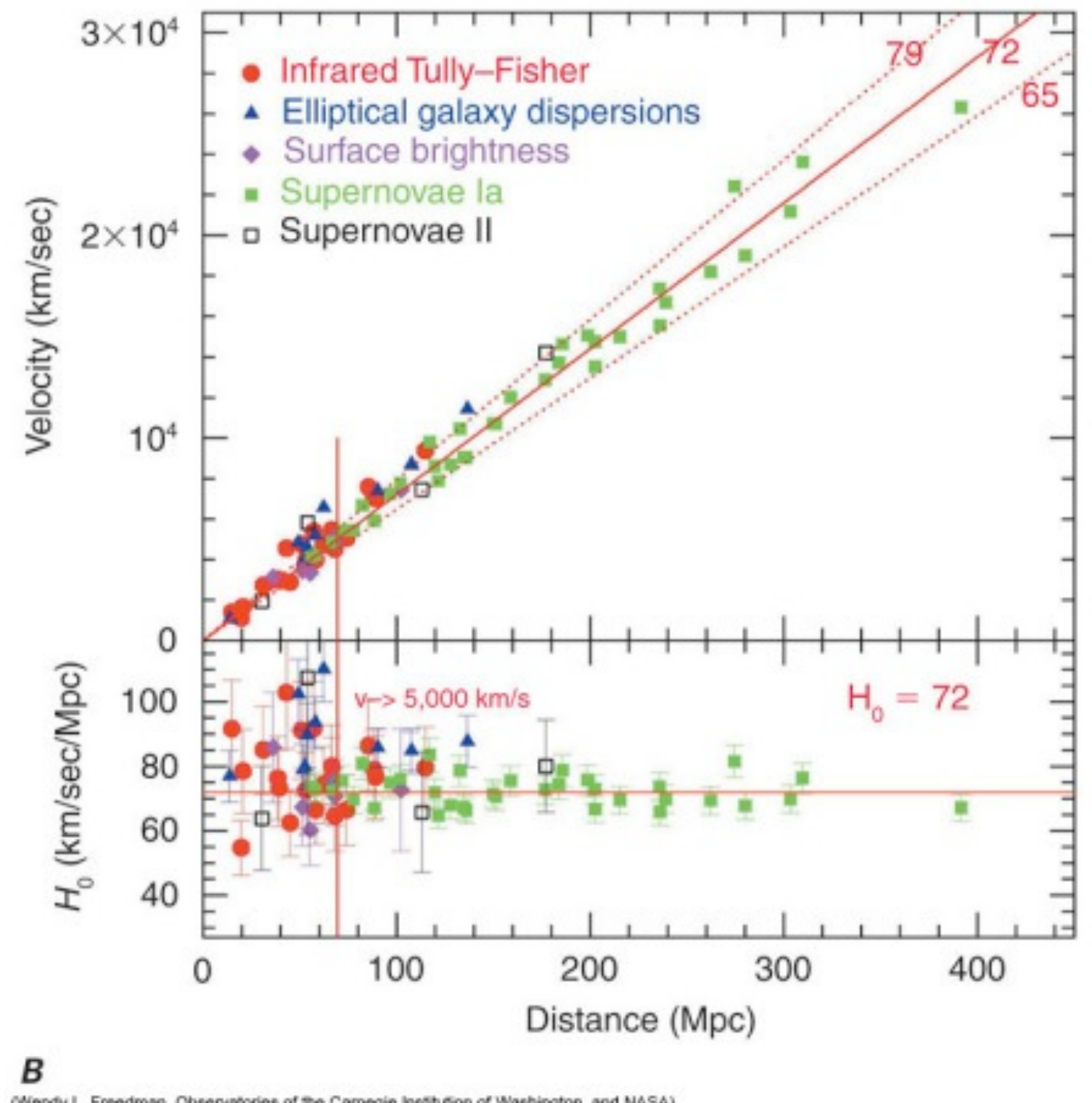


Fig. 1.—Velocity vs. distance for galaxies with Cepheid distances. Velocities in this plot have been corrected using the flow model described in Mould et al. (2000a). The Cepheid distances have been corrected for metallicity. A formal fit to these data yields a slope of  $H_0 = 75 \pm 10$  (random) km s<sup>-1</sup> Mpc<sup>-1</sup>, in good agreement, to within the uncertainties, with the value of  $H_0$  obtained for methods that extend to much greater distances.

 $v = H_0 \cdot d$ 

 $t_0 \approx 1/H_0$ 



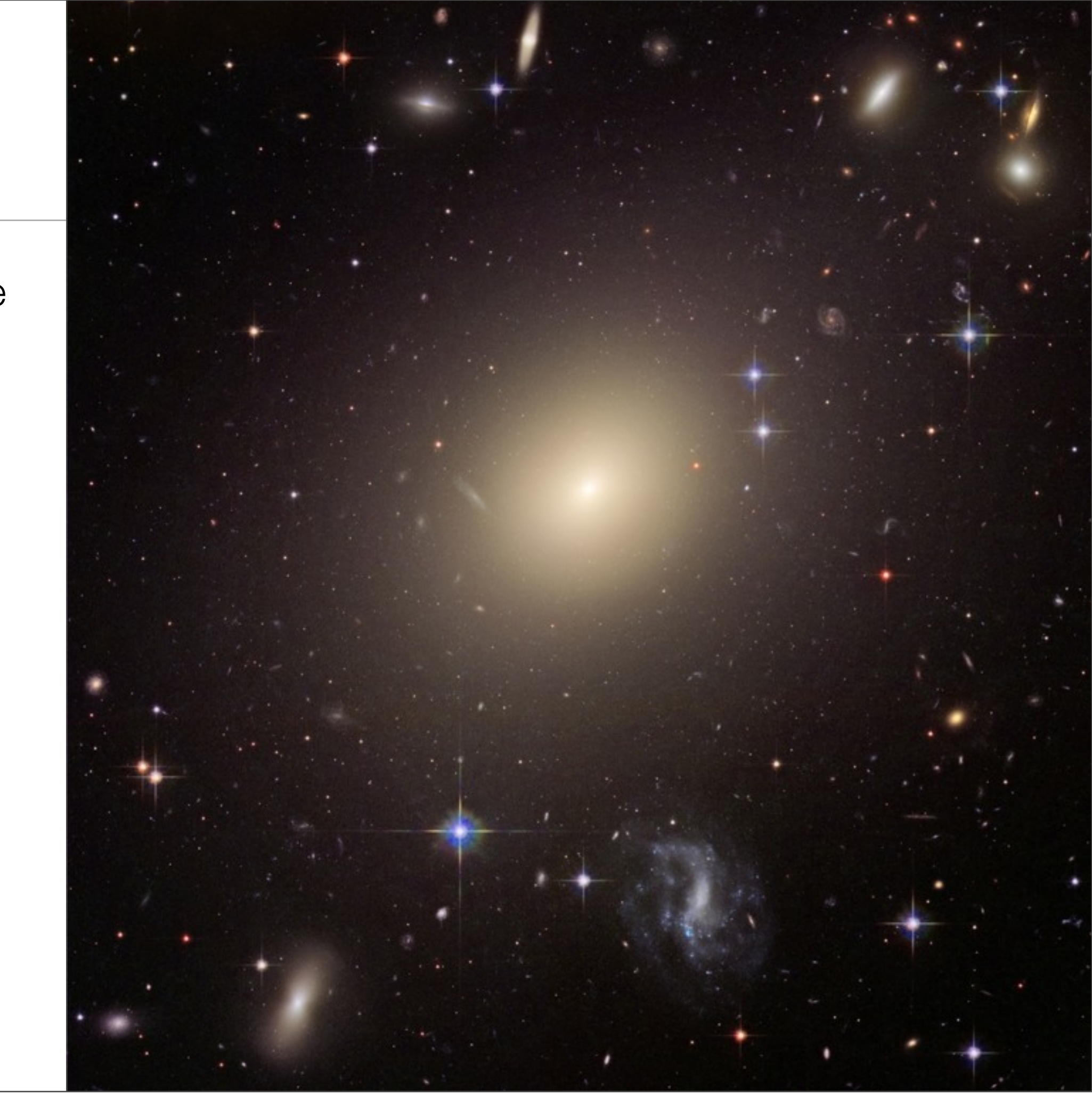
(Wendy L. Freedman, Observatories of the Carnegie Institution of Washington, and NASA)

# Capitolo 3: Galassie



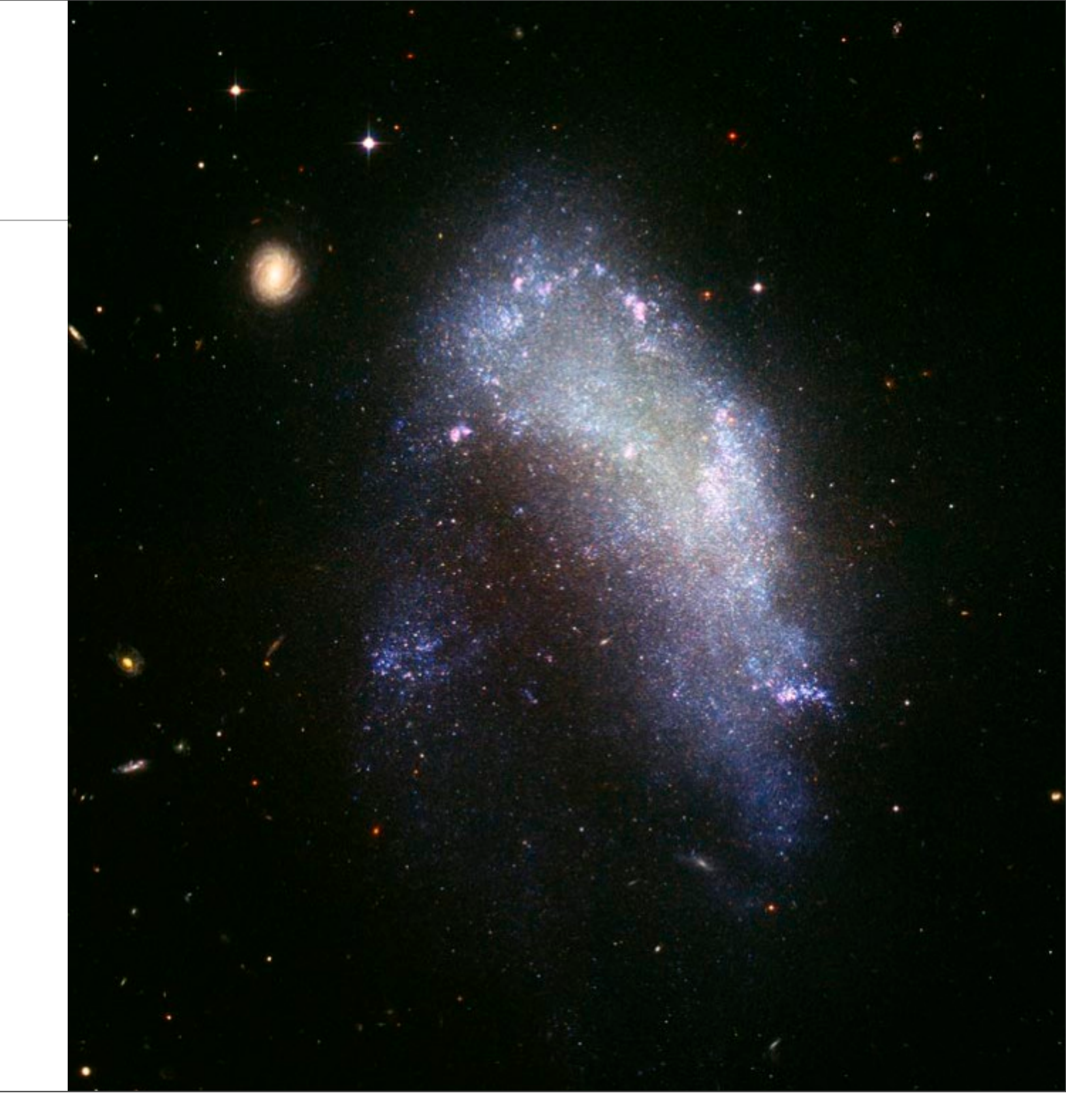
# Galassie

Galassie ellittiche

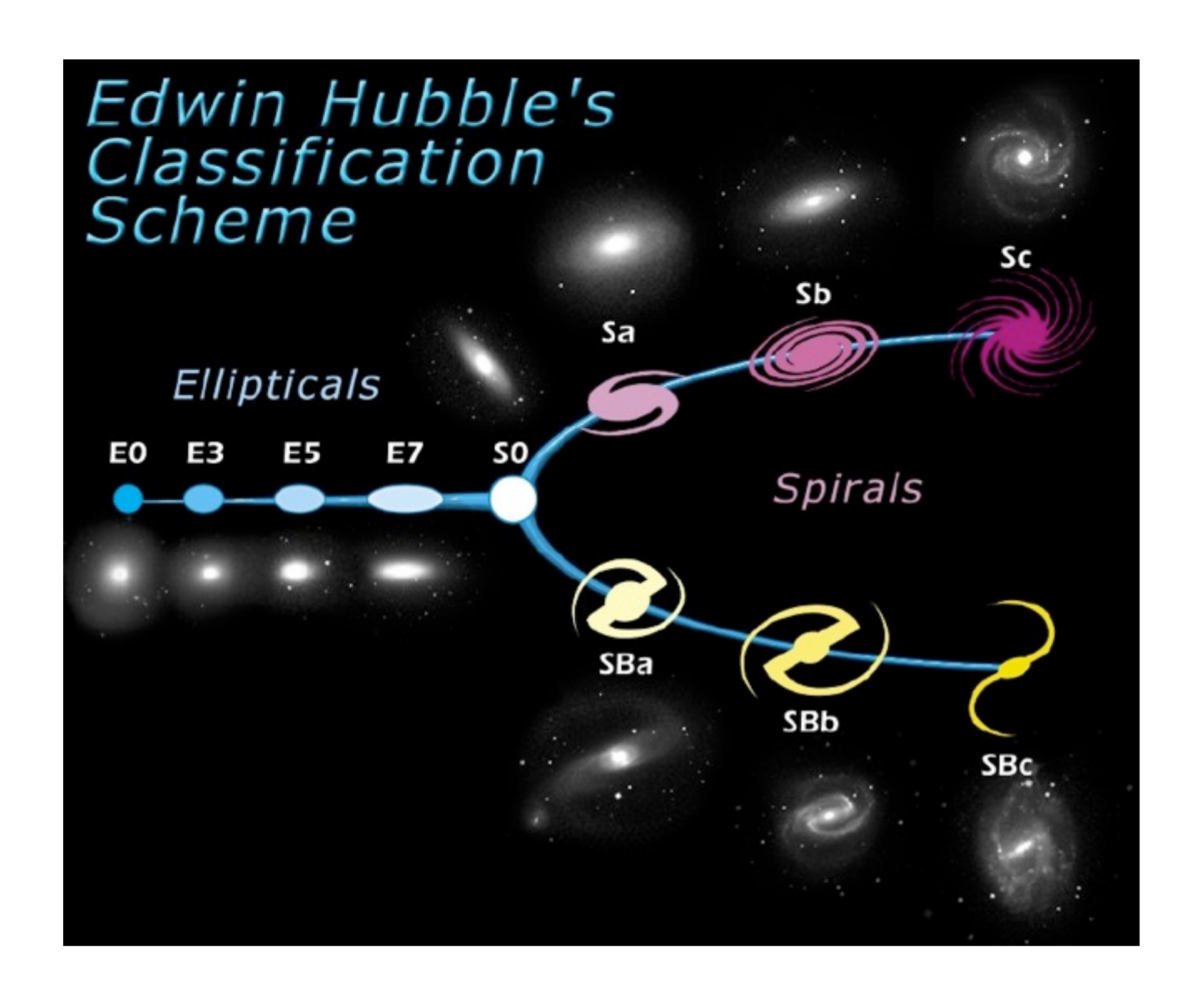


# Galassie

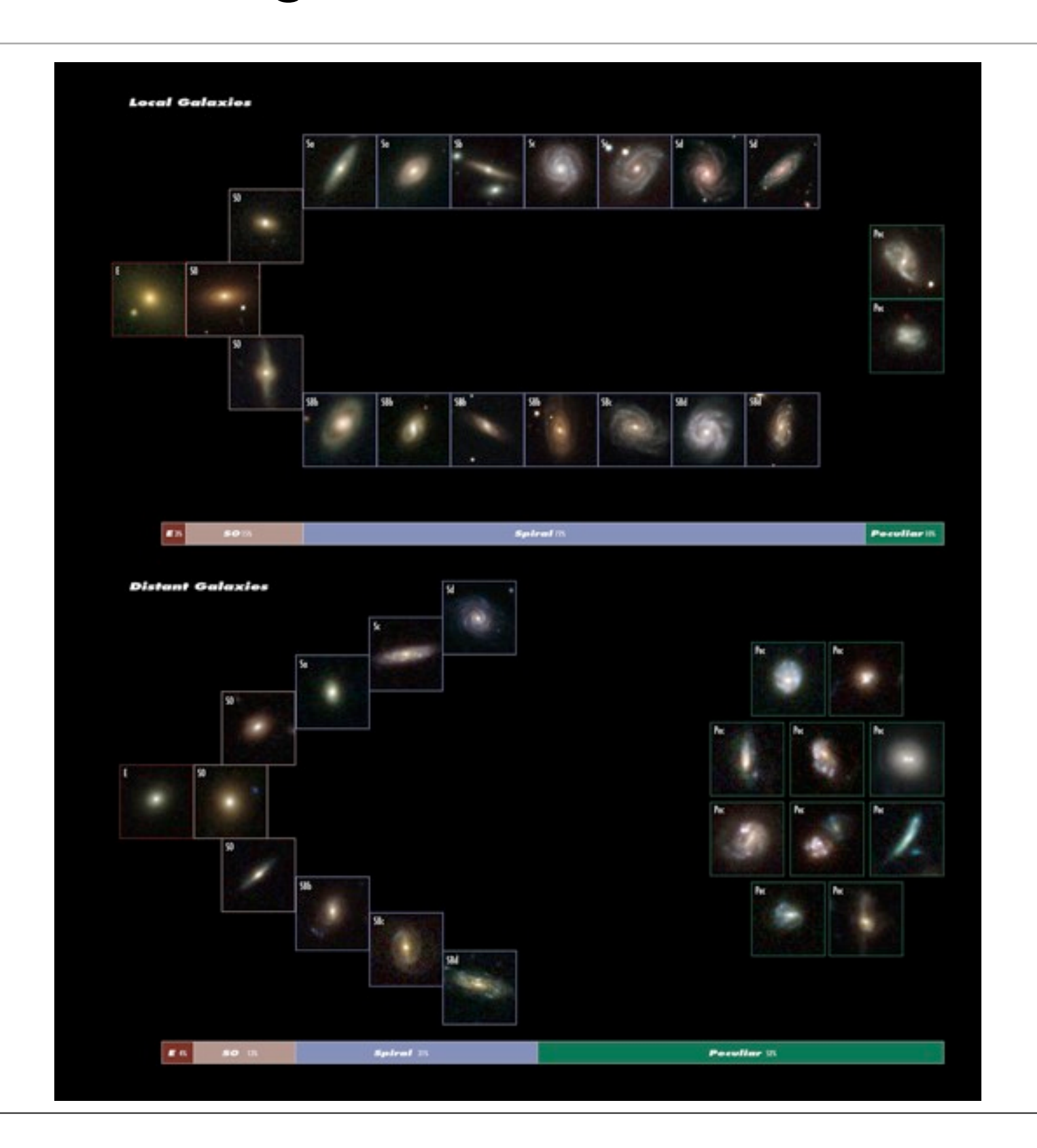
Galassie irregolari

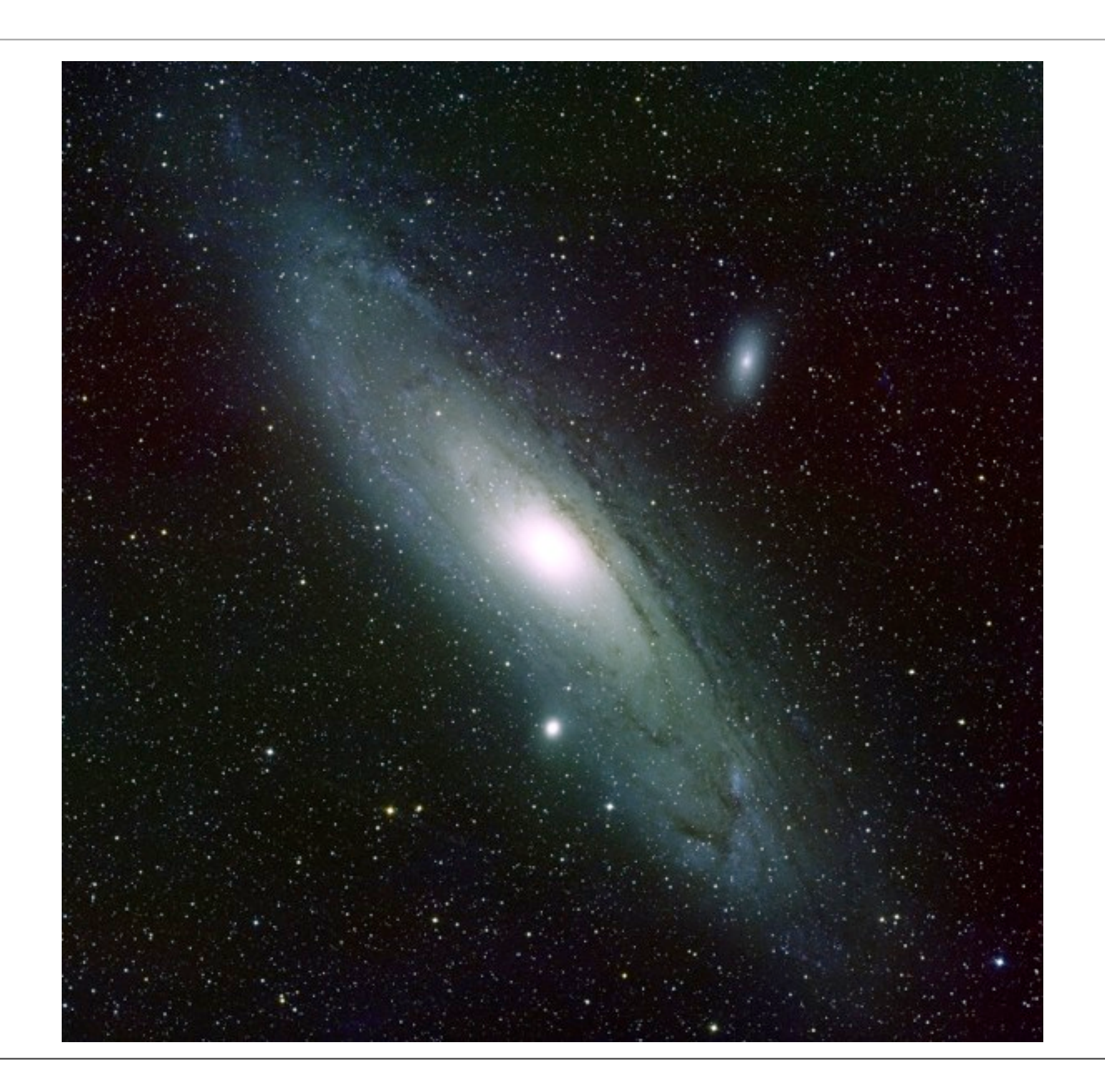


#### Classificazione di galassie



# Classificazione di galassie

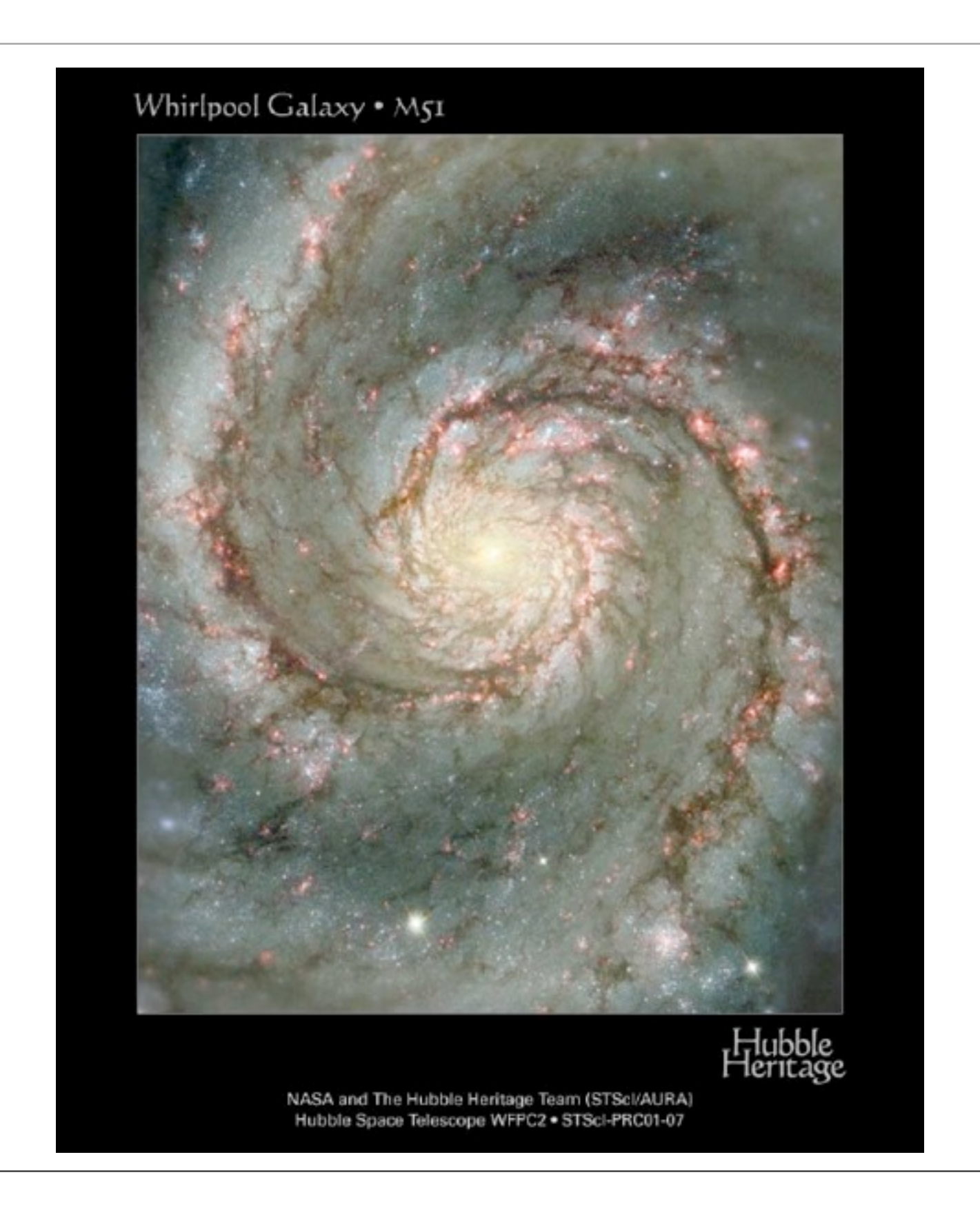






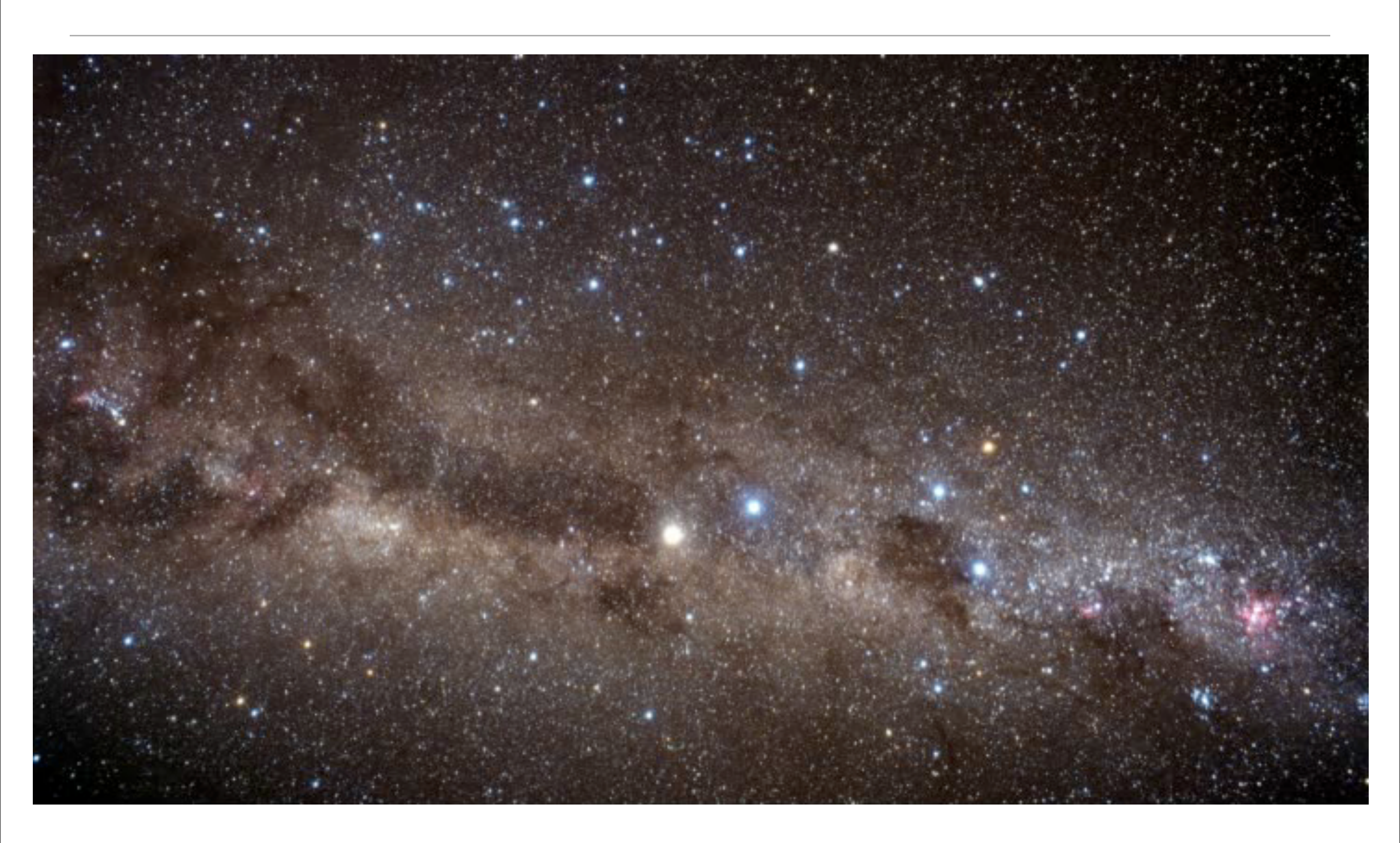






#### Galassie a disco: NGC 4945

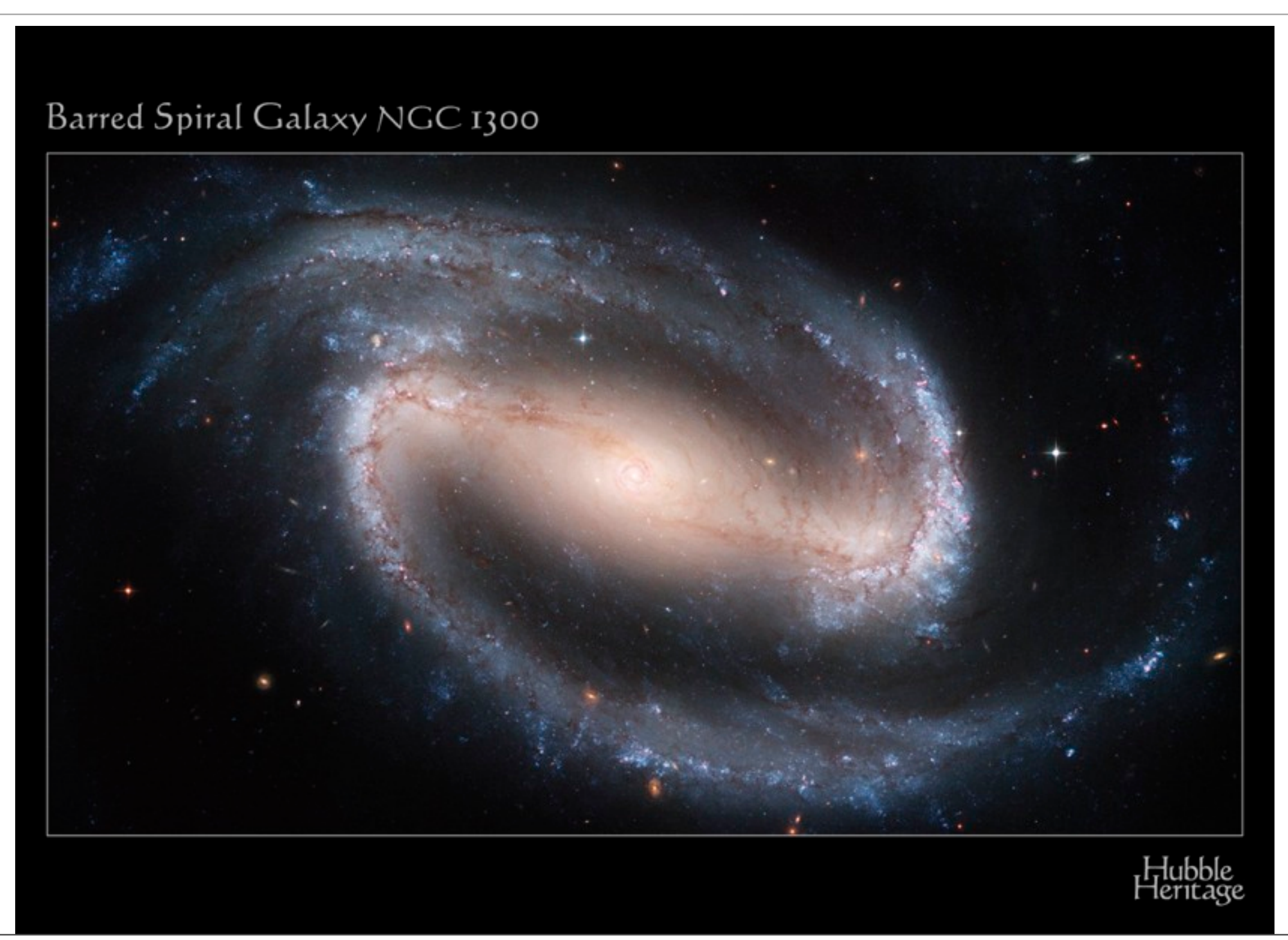
### Galassie a disco: NGC 4945











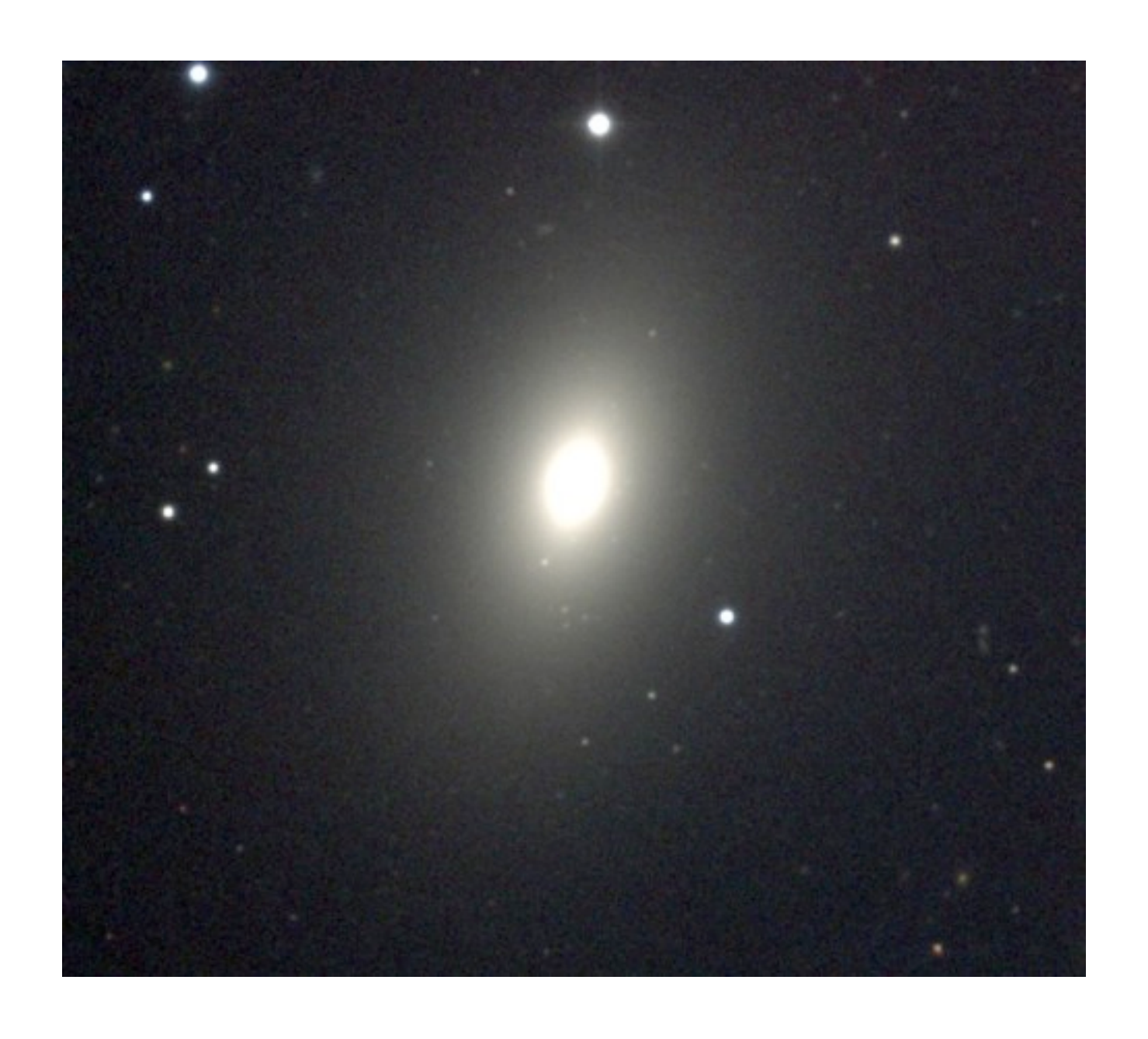


Wednesday, September 7, 2011

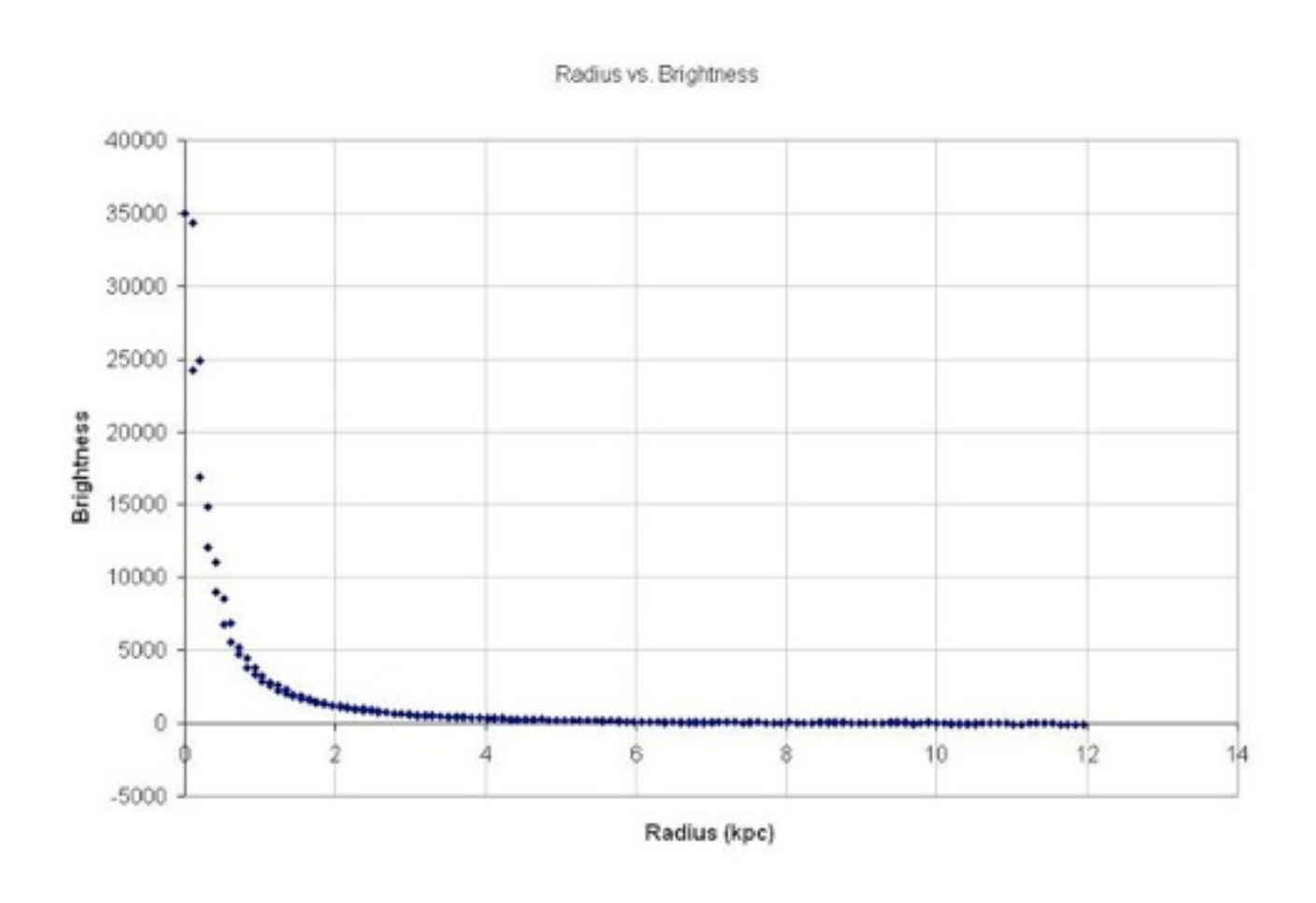


Wednesday, September 7, 2011

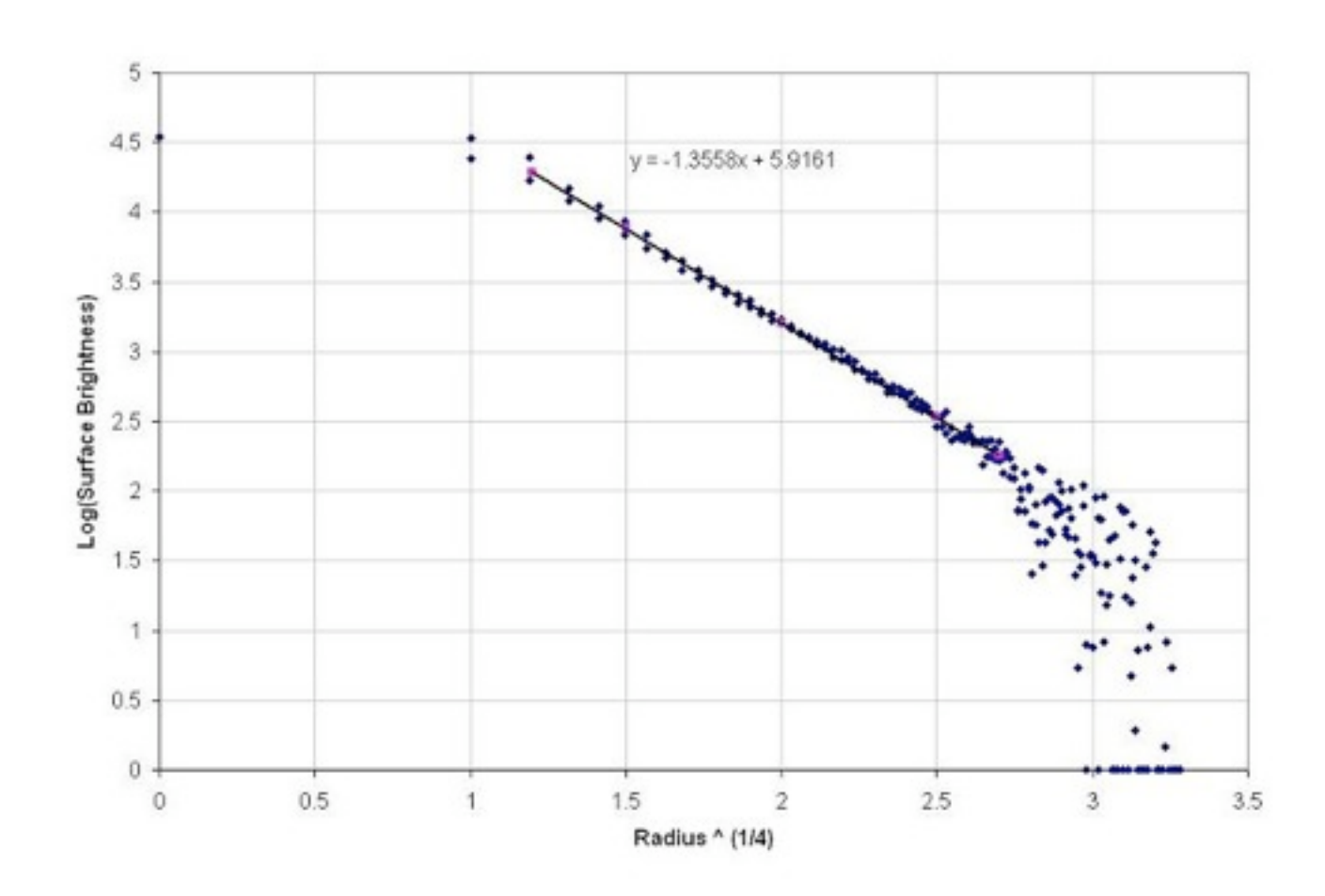
#### Galassia ellittica M59

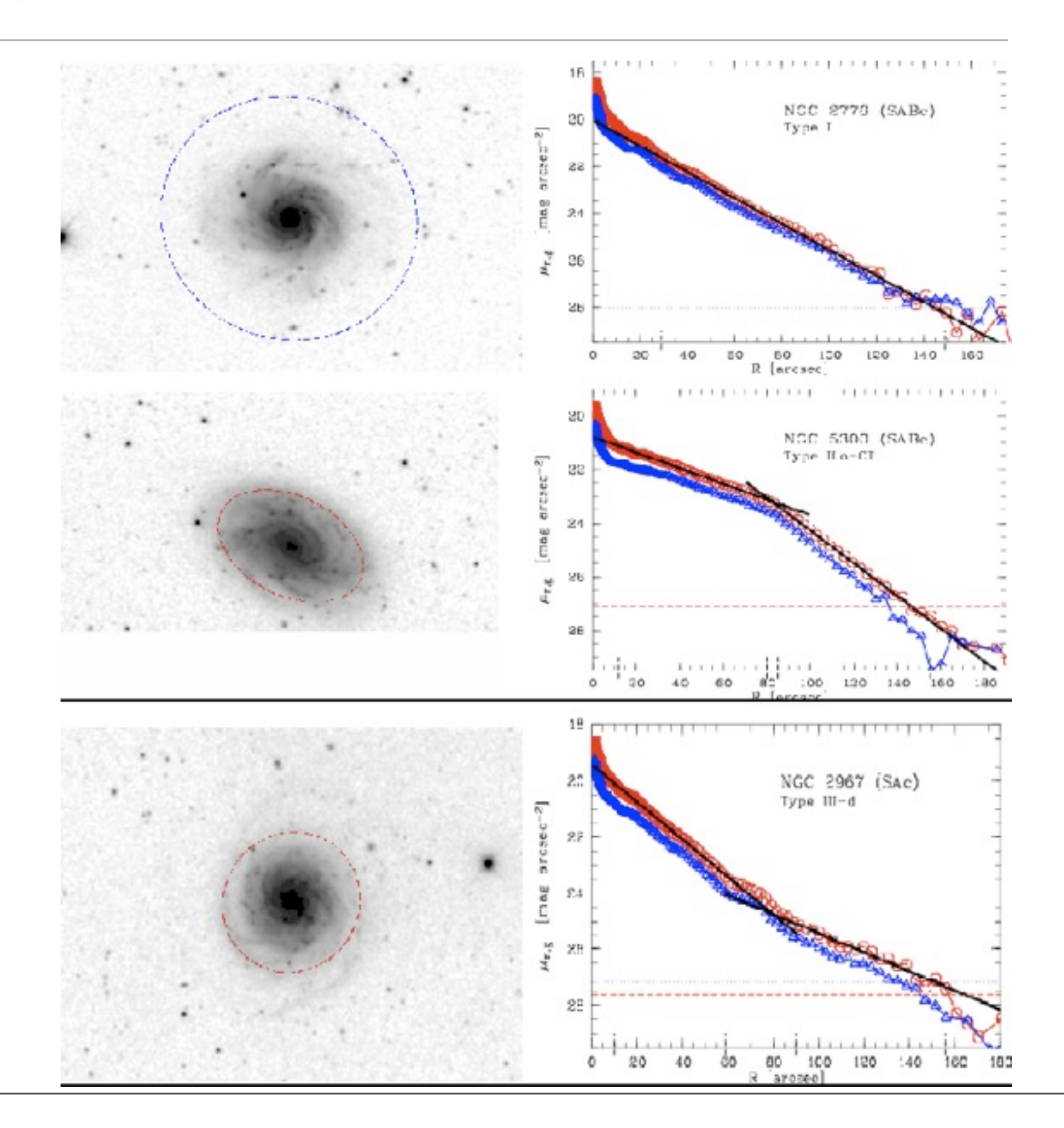


#### Galassia ellittica M59

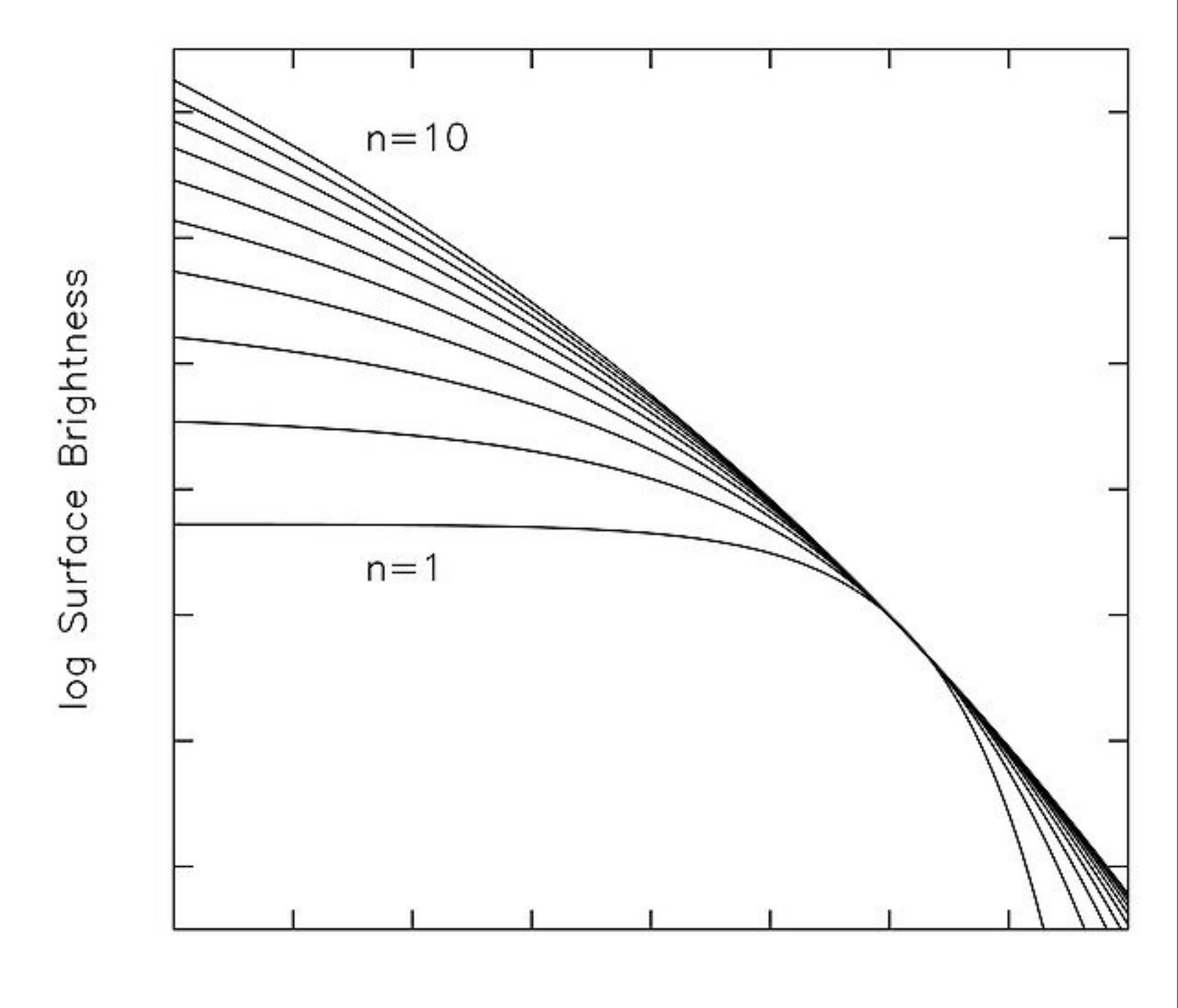


#### Galassia ellittica M59





Sersic's profile:  $I(R) = I_0 \cdot e^{-kR^{1/n}}$ 

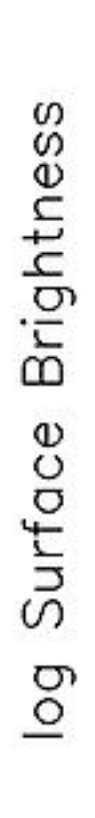


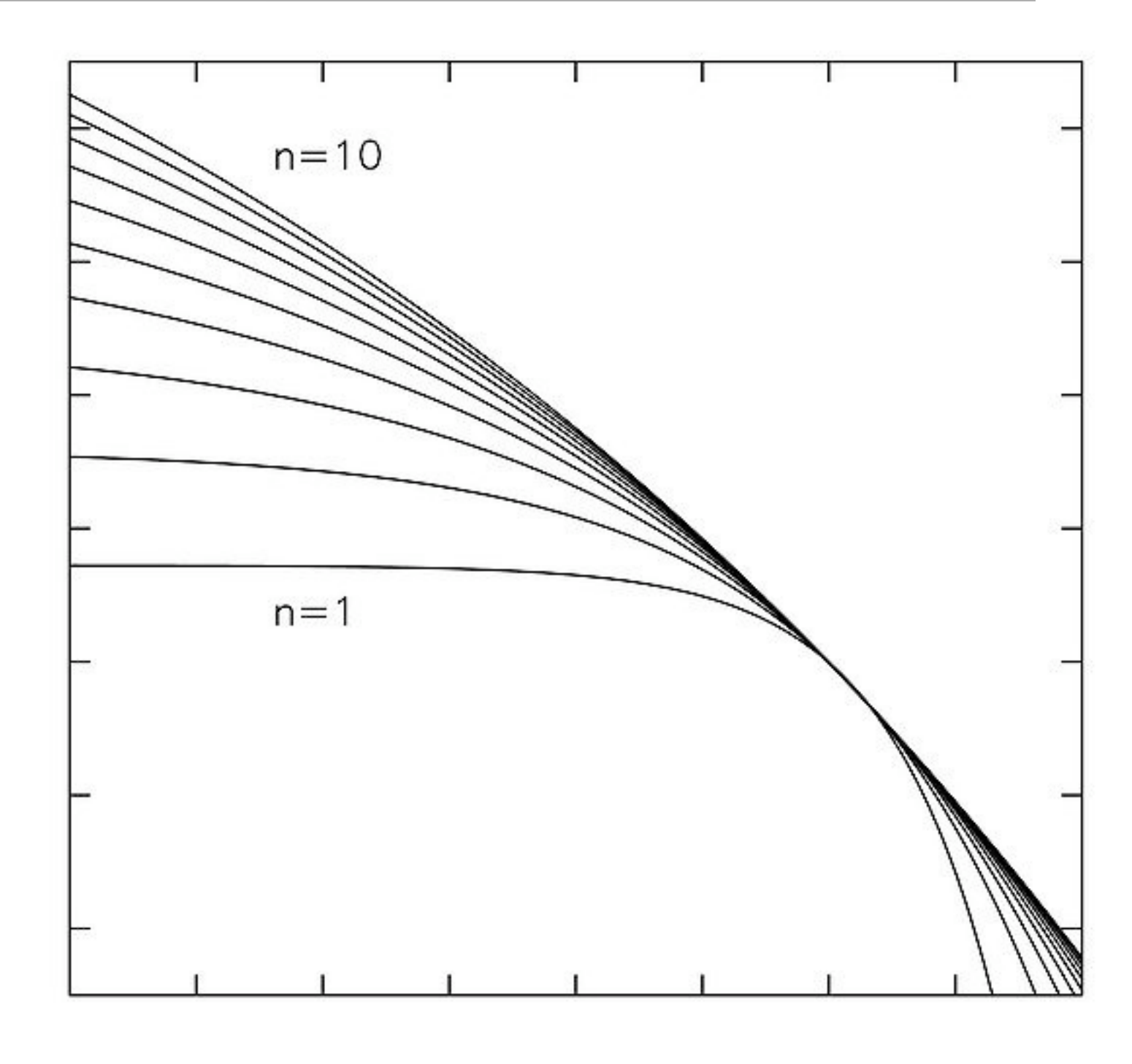
log Radius

Sersic's profile:

$$I(R) = I_0 \cdot e^{-kR^{1/n}}$$

Galassie ellittiche: n=4  $I(R) = I_0 \cdot e^{-kR^{1/4}}$ 





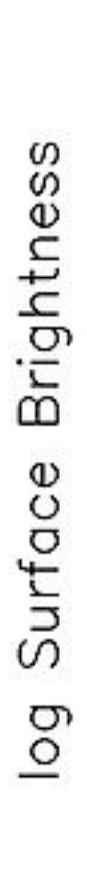
log Radius

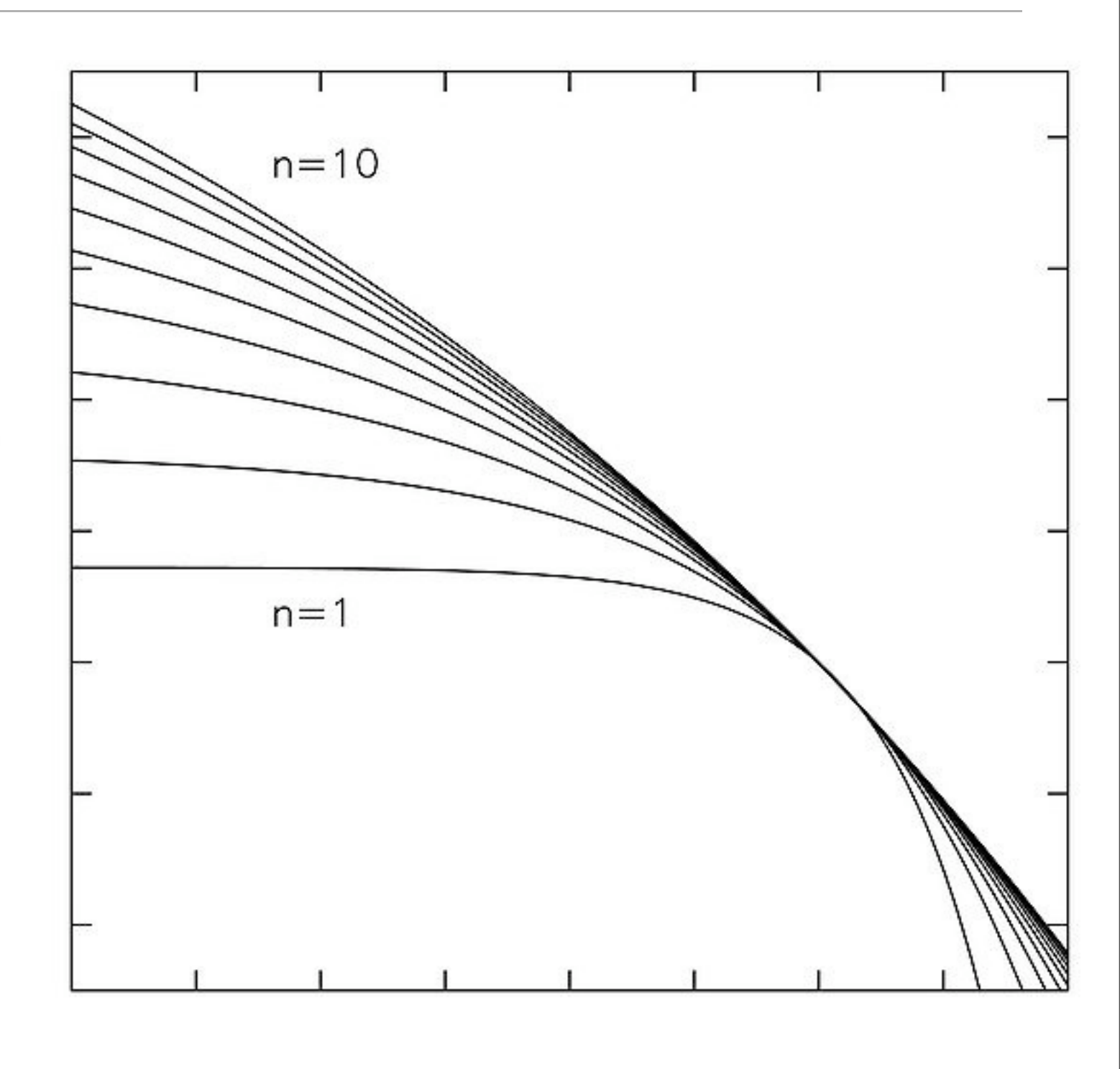
Sersic's profile:

$$I(R) = I_0 \cdot e^{-kR^{1/n}}$$

Galassie ellittiche: n=4  $I(R) = I_0 \cdot e^{-kR^{1/4}}$ 

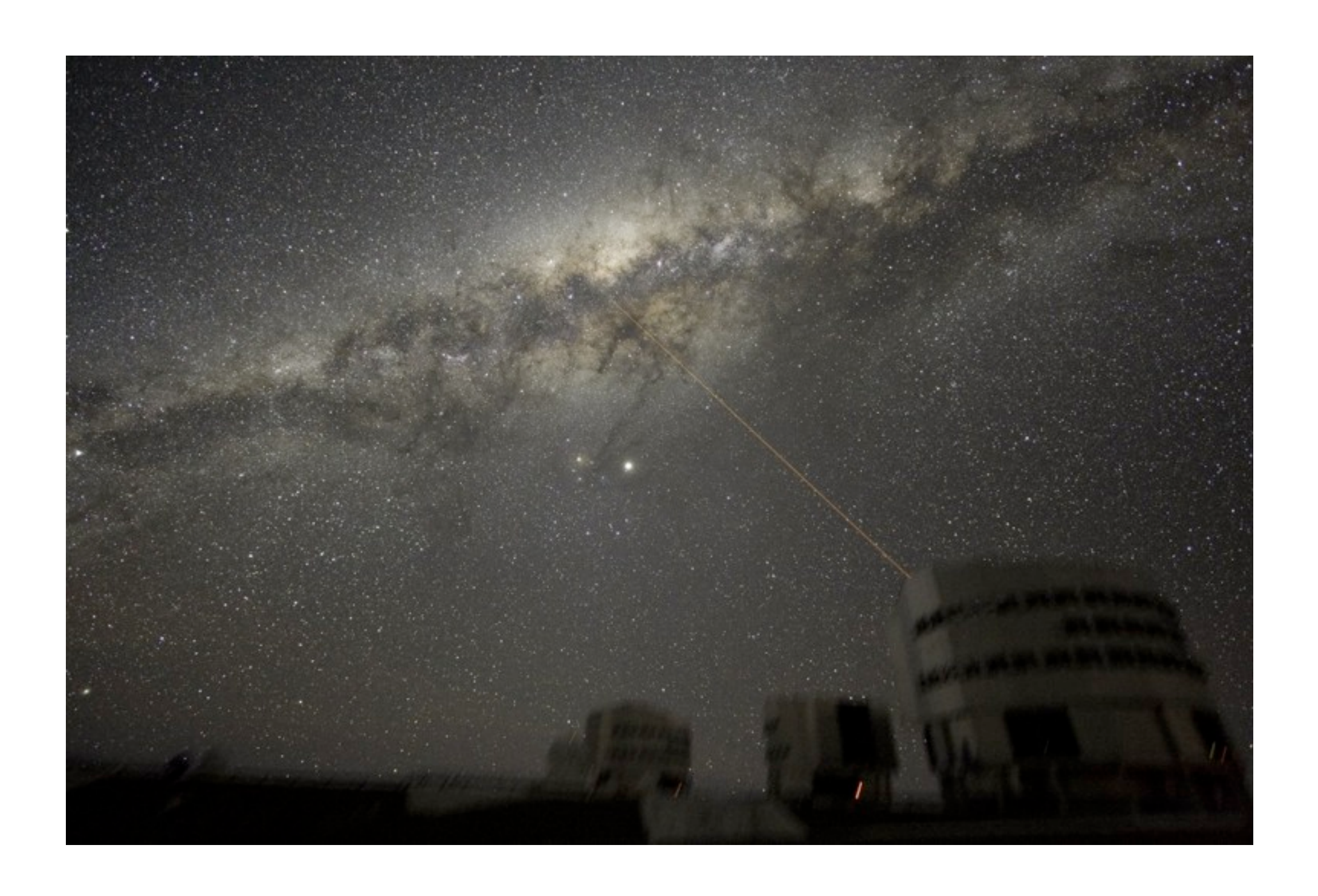
Galassie a disco: n=1 $I(R) = I_0 \cdot e^{-kR}$ 





log Radius

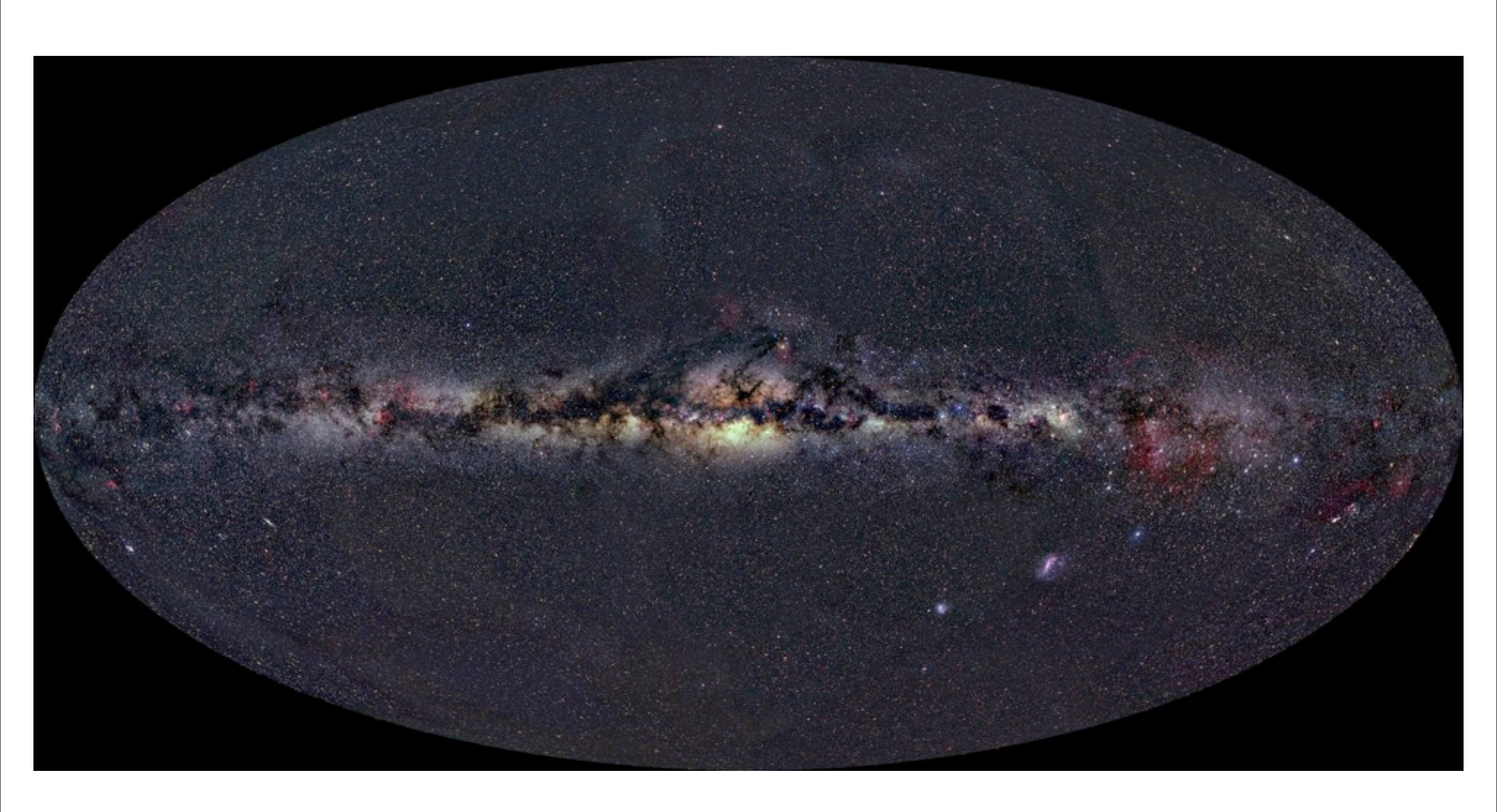
# La nostra galassia, la Via Lattea

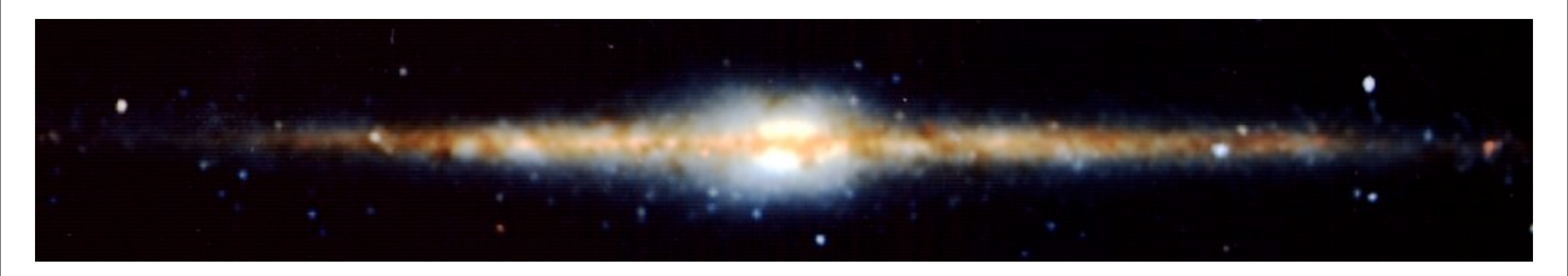


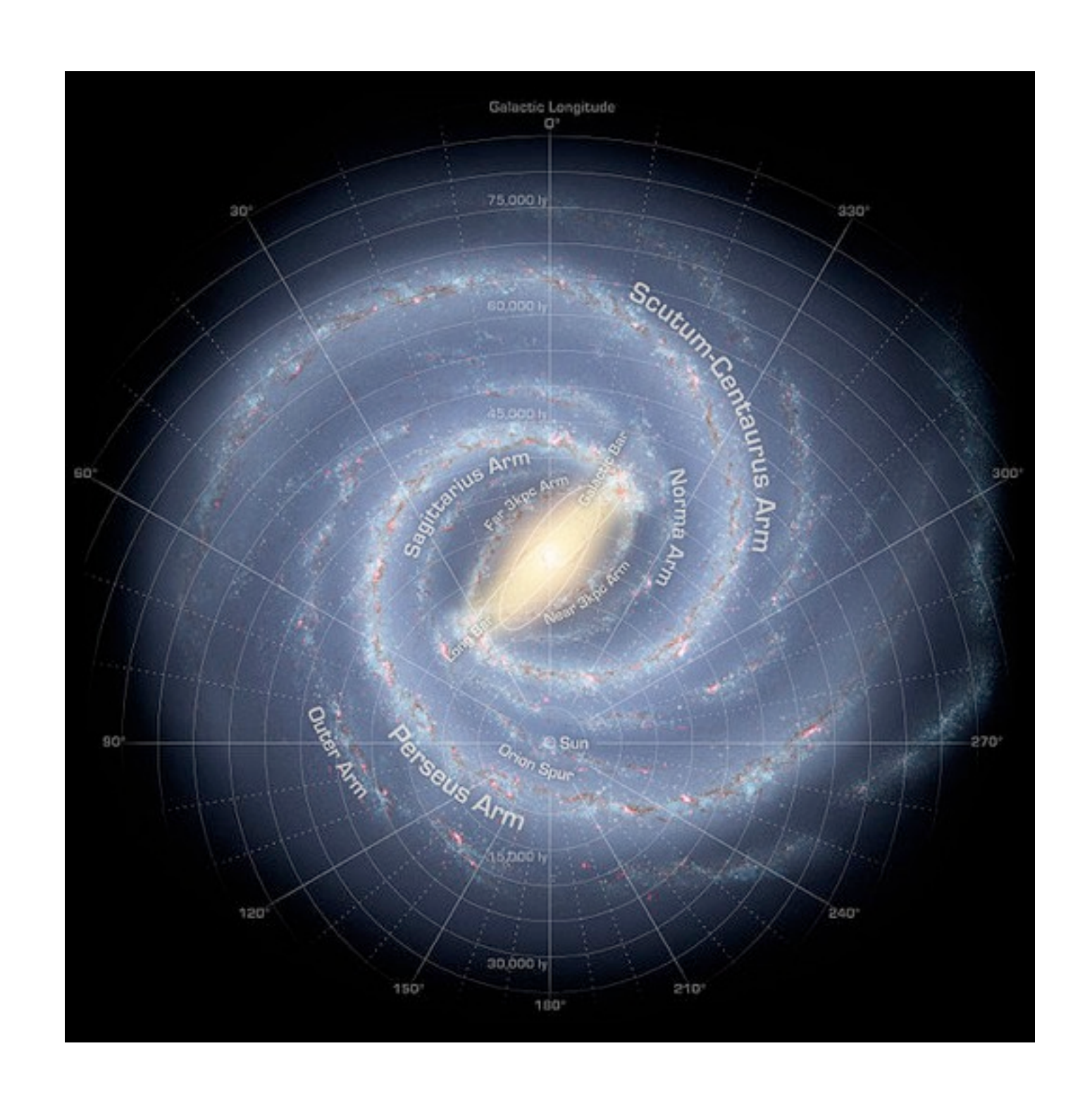
# La nostra galassia, la Via Lattea

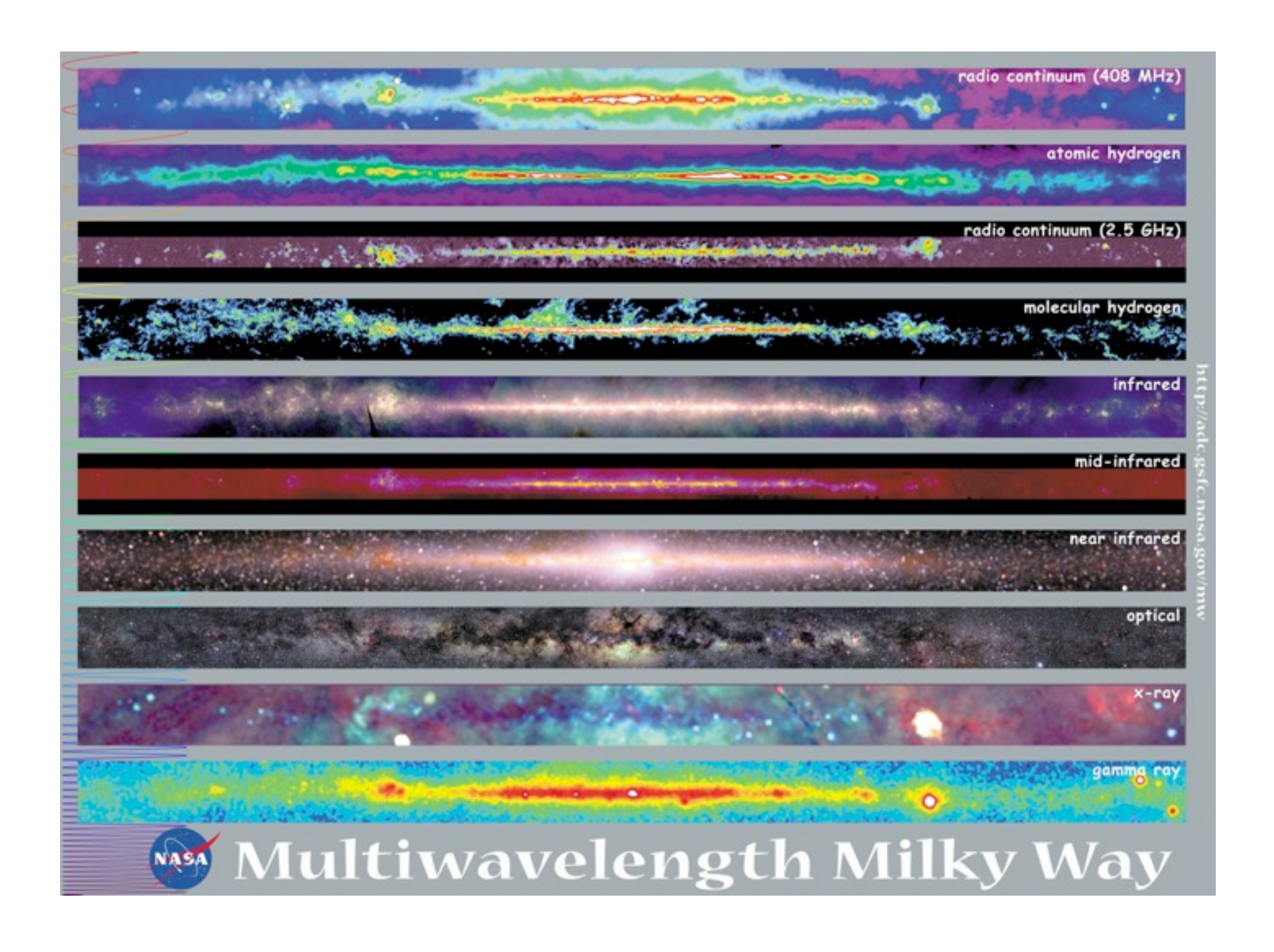












 Collasso monolitico (Eggen, Lynden-Bell, Sandage, 1962) di una nube di gas ⇒ disco in rotazione rapida "Top-down" scenario.

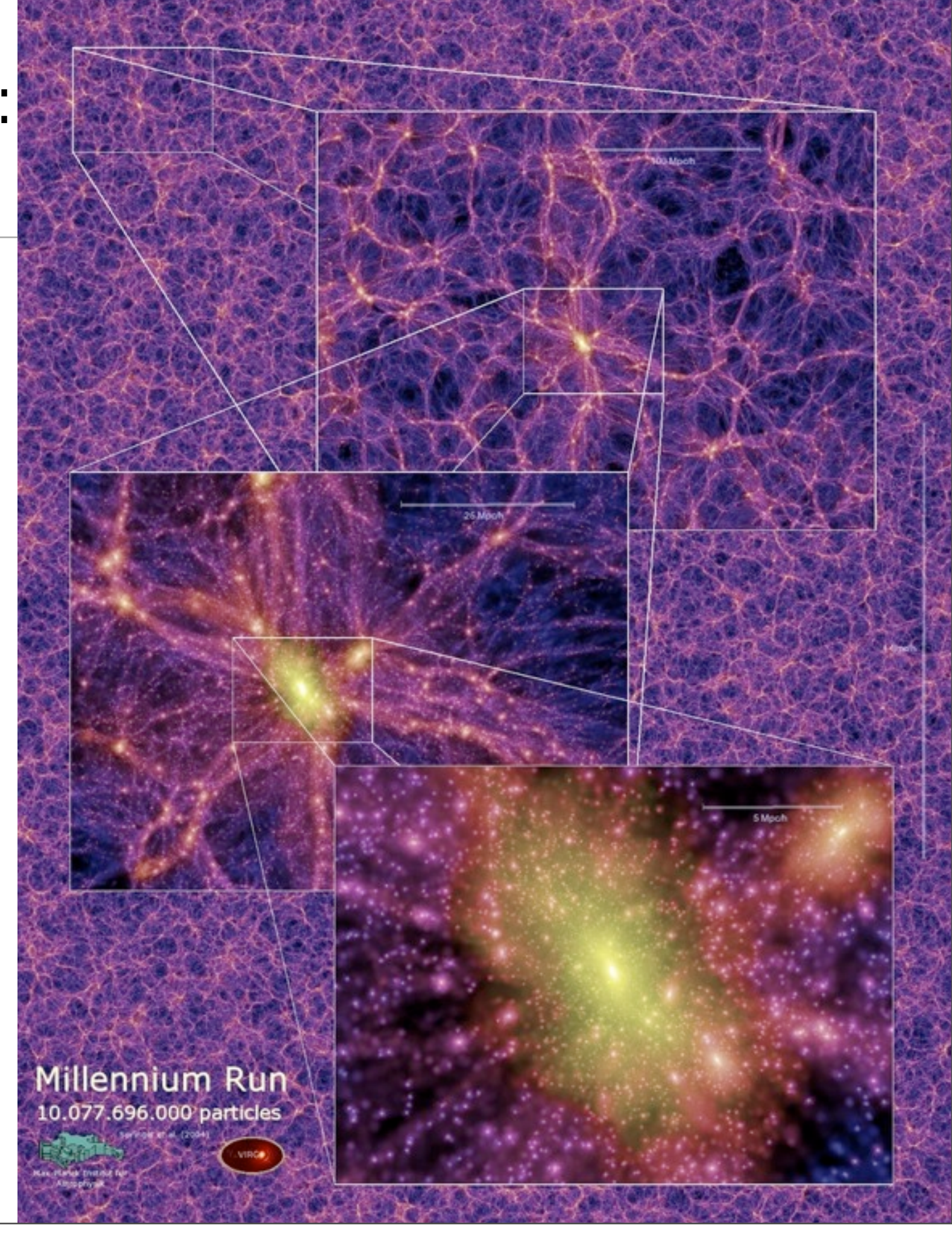
- Collasso monolitico (Eggen, Lynden-Bell, Sandage, 1962) di una nube di gas ⇒ disco in rotazione rapida "Top-down" scenario.
- "Bottom-up" scenario: piccoli oggetti crescono attraverso collisioni (osservazioni dell'universo primordiale)

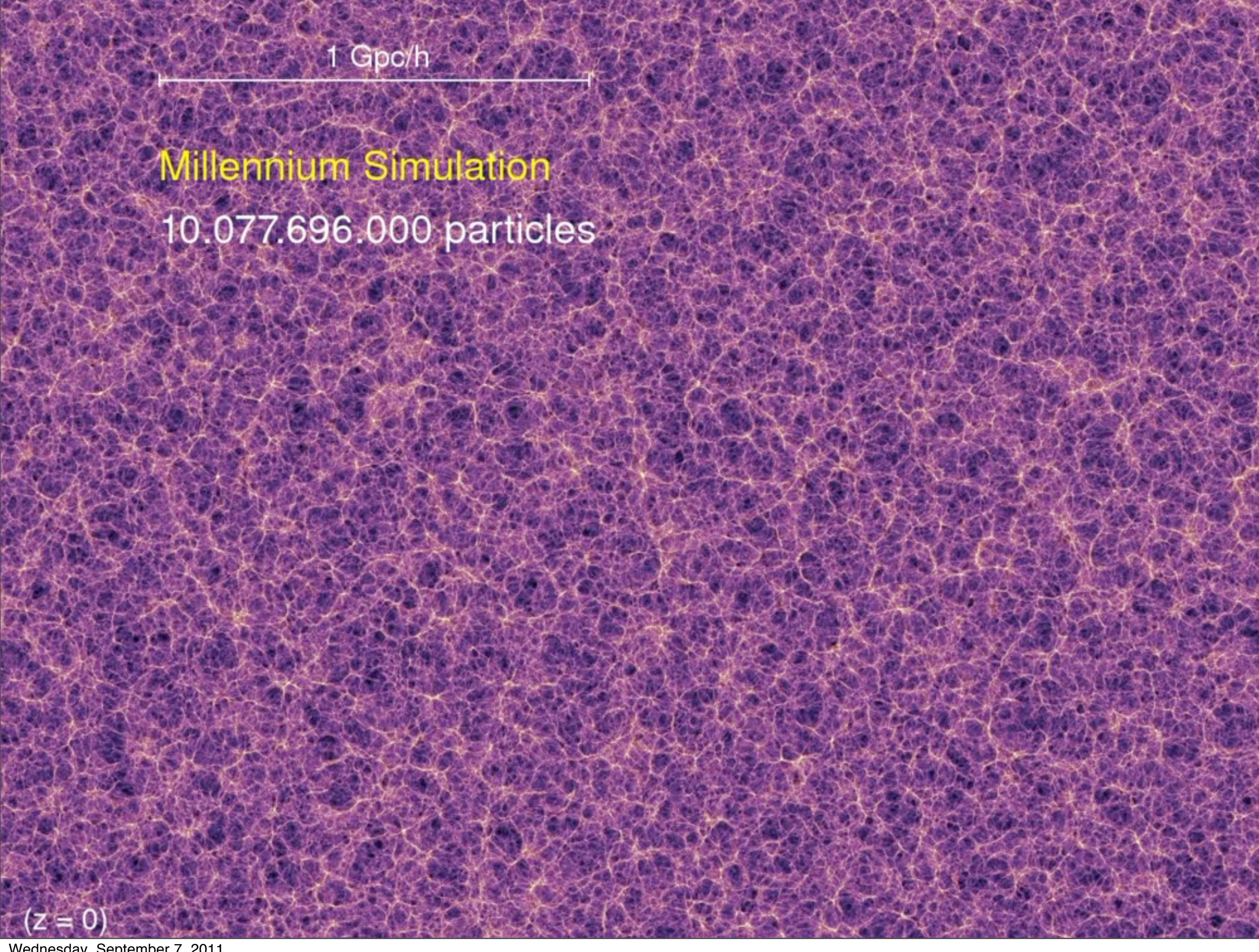
- Collasso monolitico (Eggen, Lynden-Bell, Sandage, 1962) di una nube di gas ⇒ disco in rotazione rapida "Top-down" scenario.
- "Bottom-up" scenario: piccoli oggetti crescono attraverso collisioni (osservazioni dell'universo primordiale)





# Formazione di galassie: simulazione numeriche









Wednesday, September 7, 2011

# Simulazioni con super-computer (CSCS)



Javiera Guedes, Simone Callegari, Piero Madau, Lucio Mayer, Forming Realistic Late-Type Spirals in A CDM Universe



Javiera Guedes, Simone Callegari, Piero Madau, Lucio Mayer, Forming Realistic Late-Type Spirals in A CDM Universe

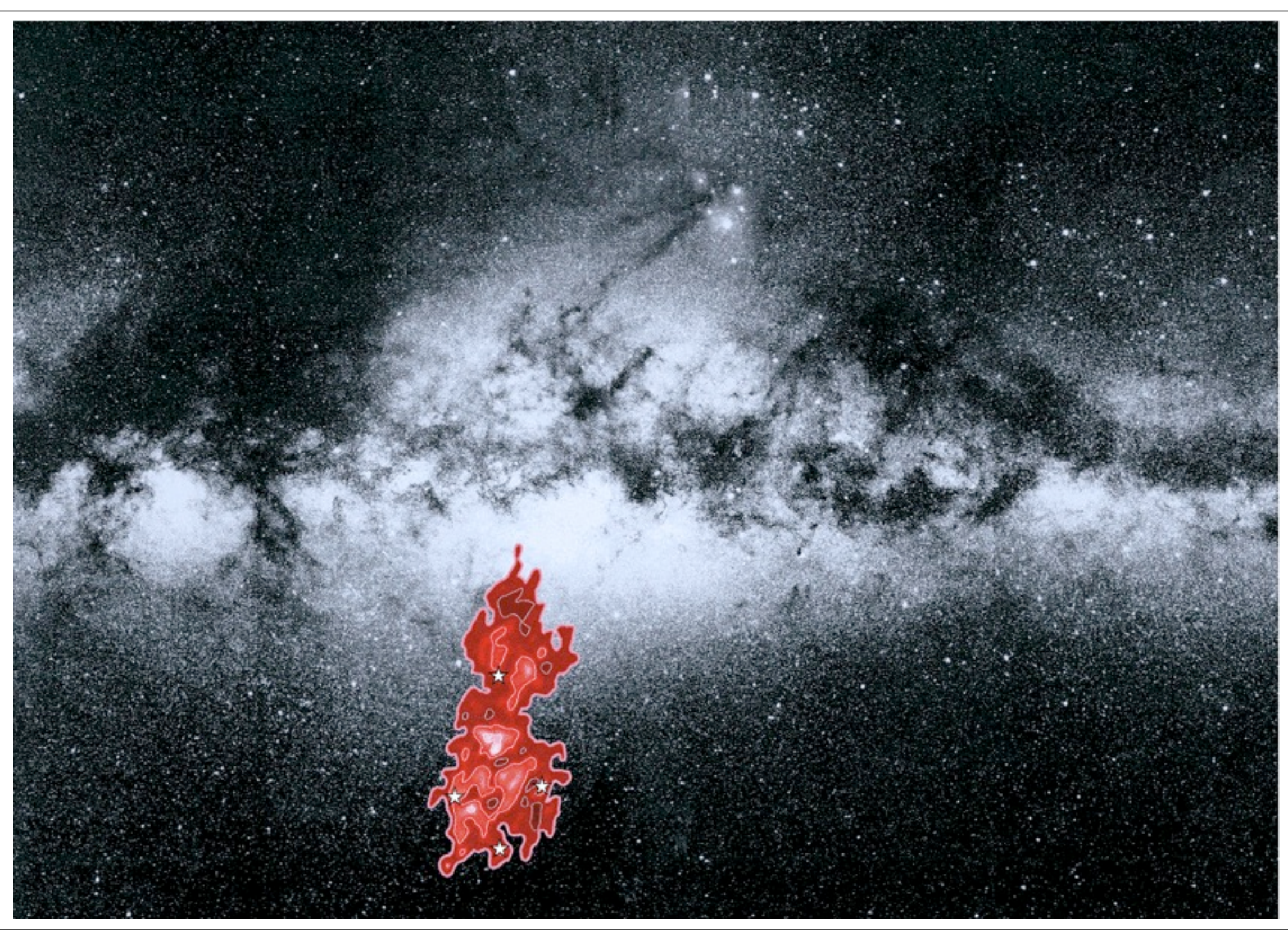
## Simulazioni con super-computer (CSCS)



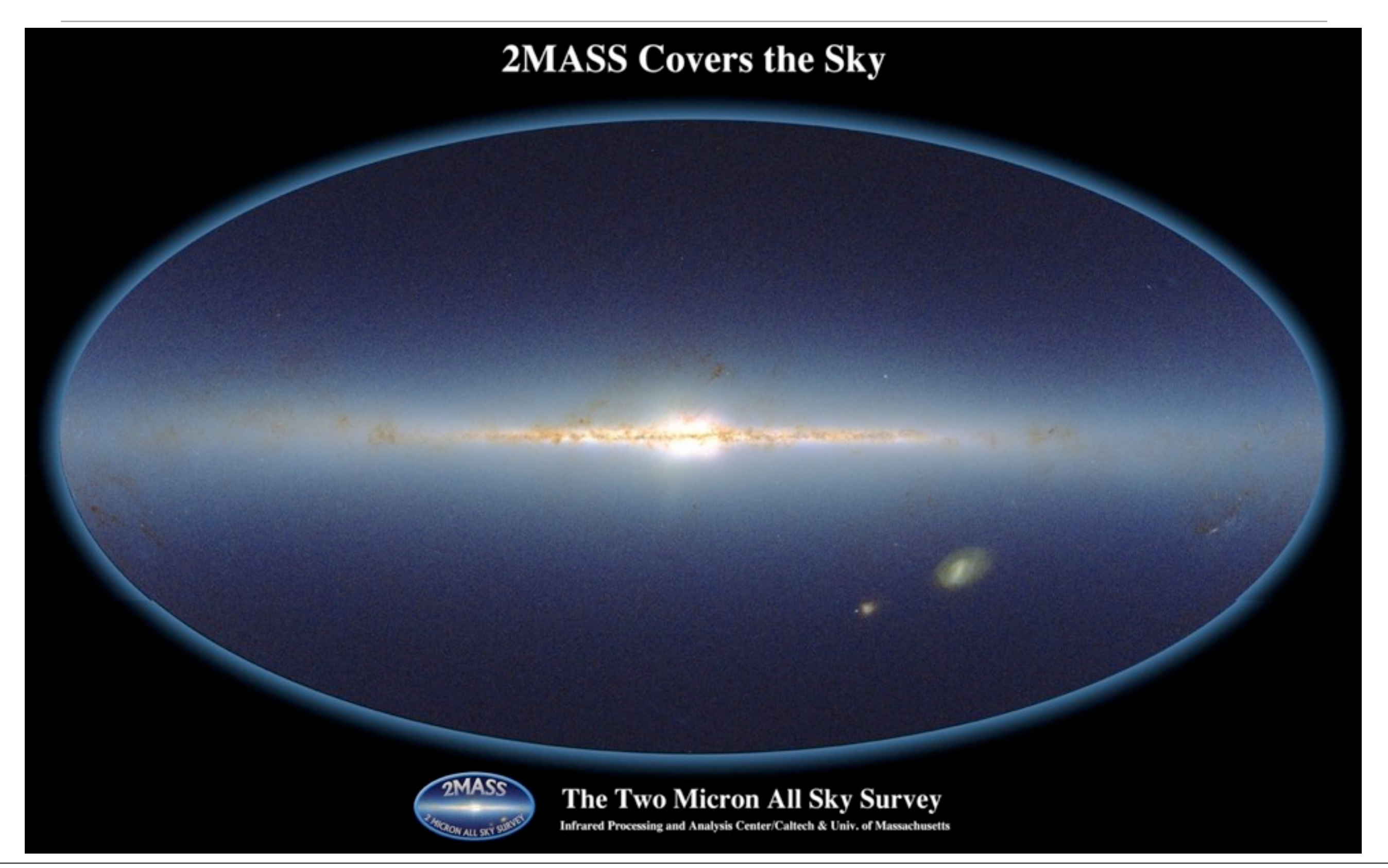
Javiera Guedes, Simone Callegari, Piero Madau, Lucio Mayer, Forming Realistic Late-Type Spirals in A CDM Universe



# Collisione della galassia Sagittarius con la nostra

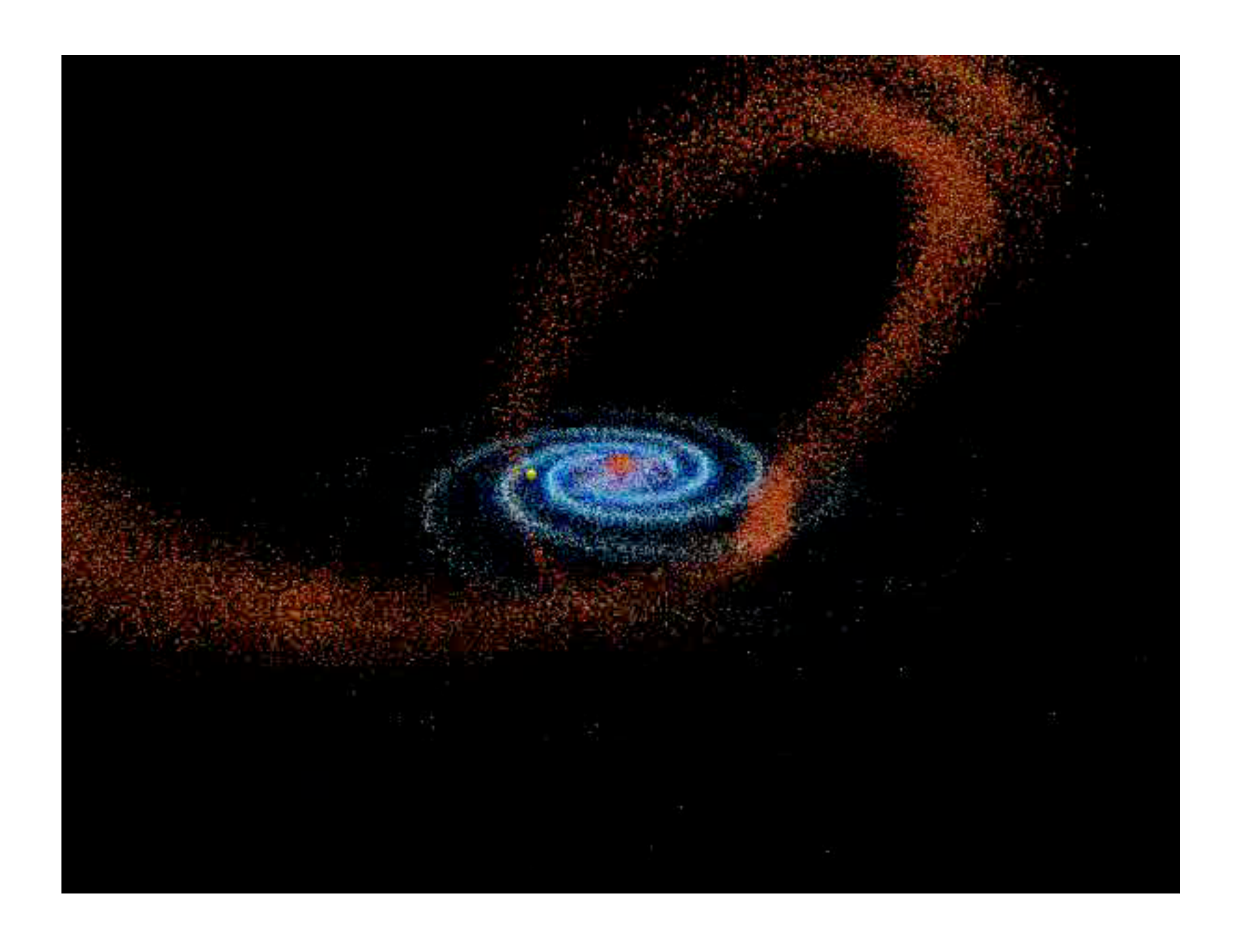


#### Collisione della galassia Sagittarius con la nostra

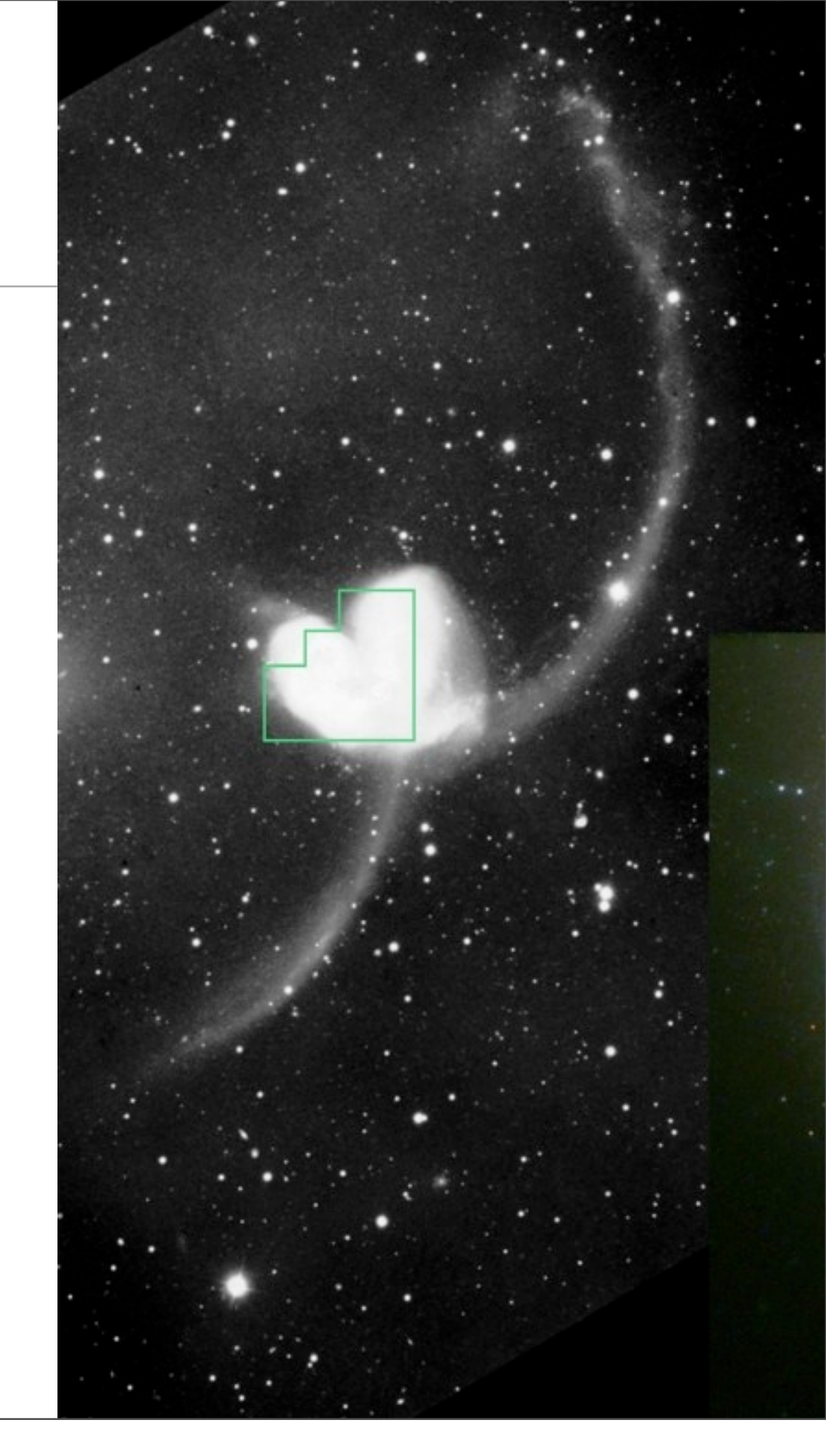


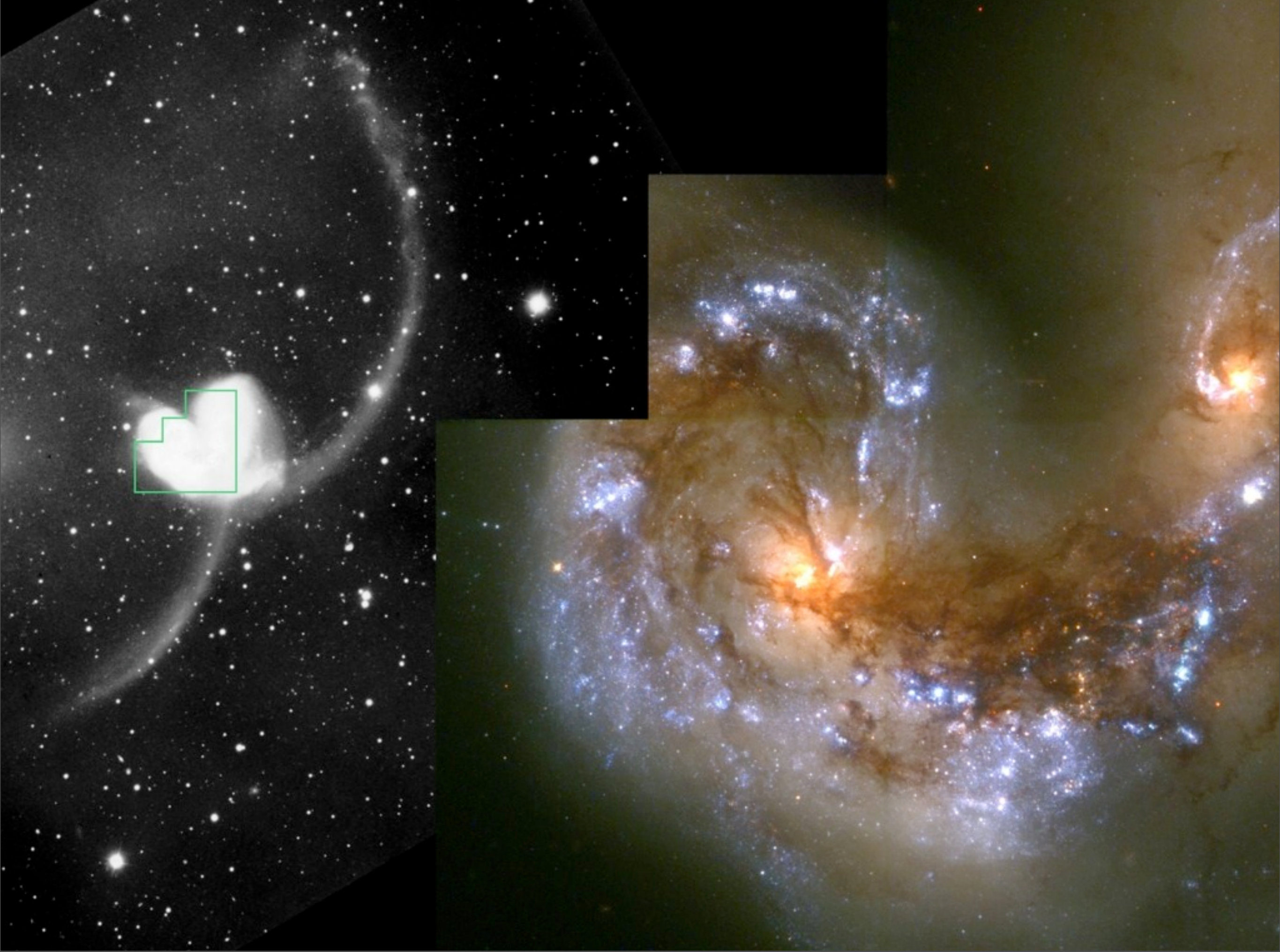


## Collisione della galassia Sagittarius con la nostra

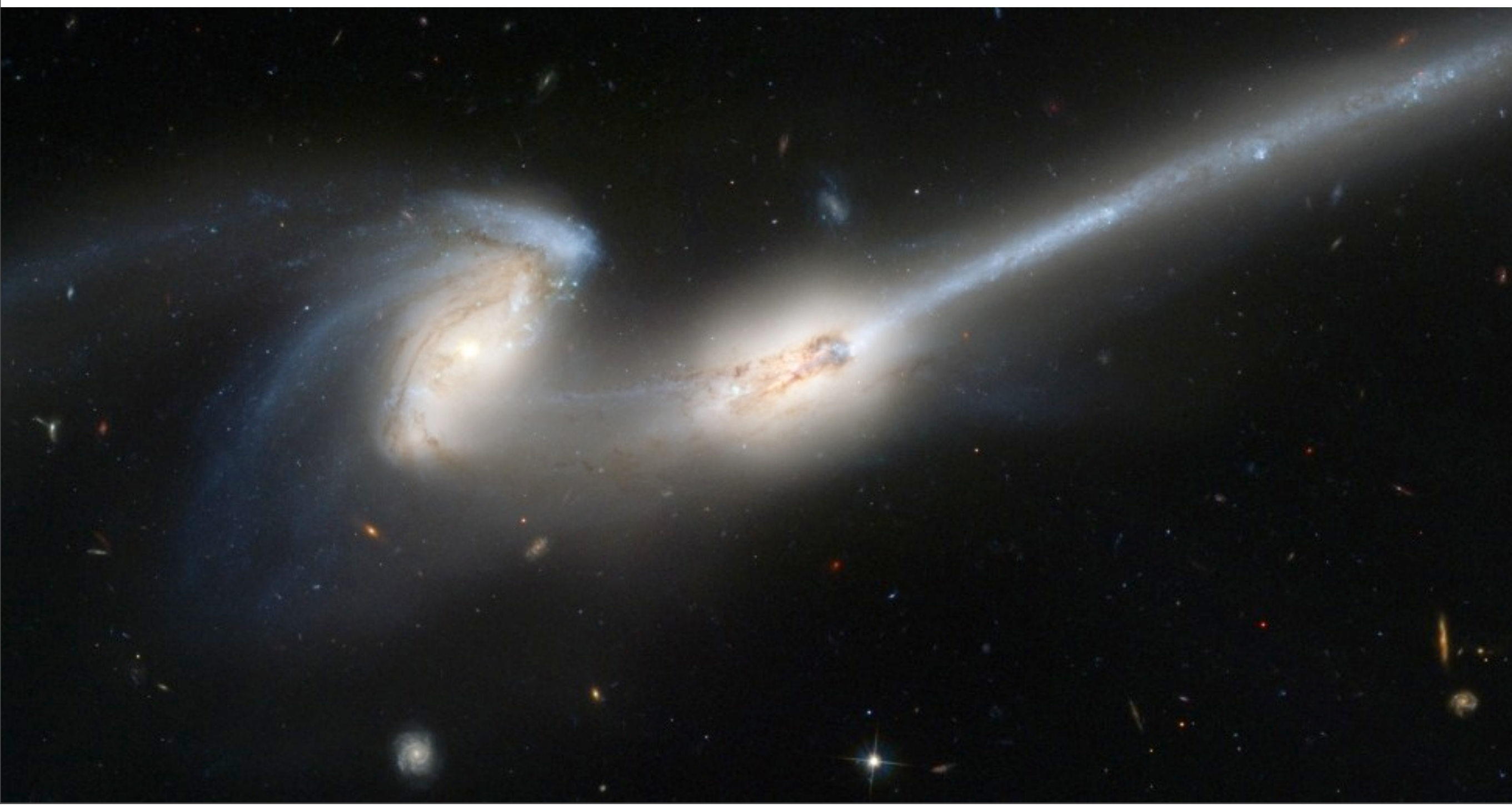


- Oggetti di strana forma: irregolare, lunghe code
- Intensa formazione stellare



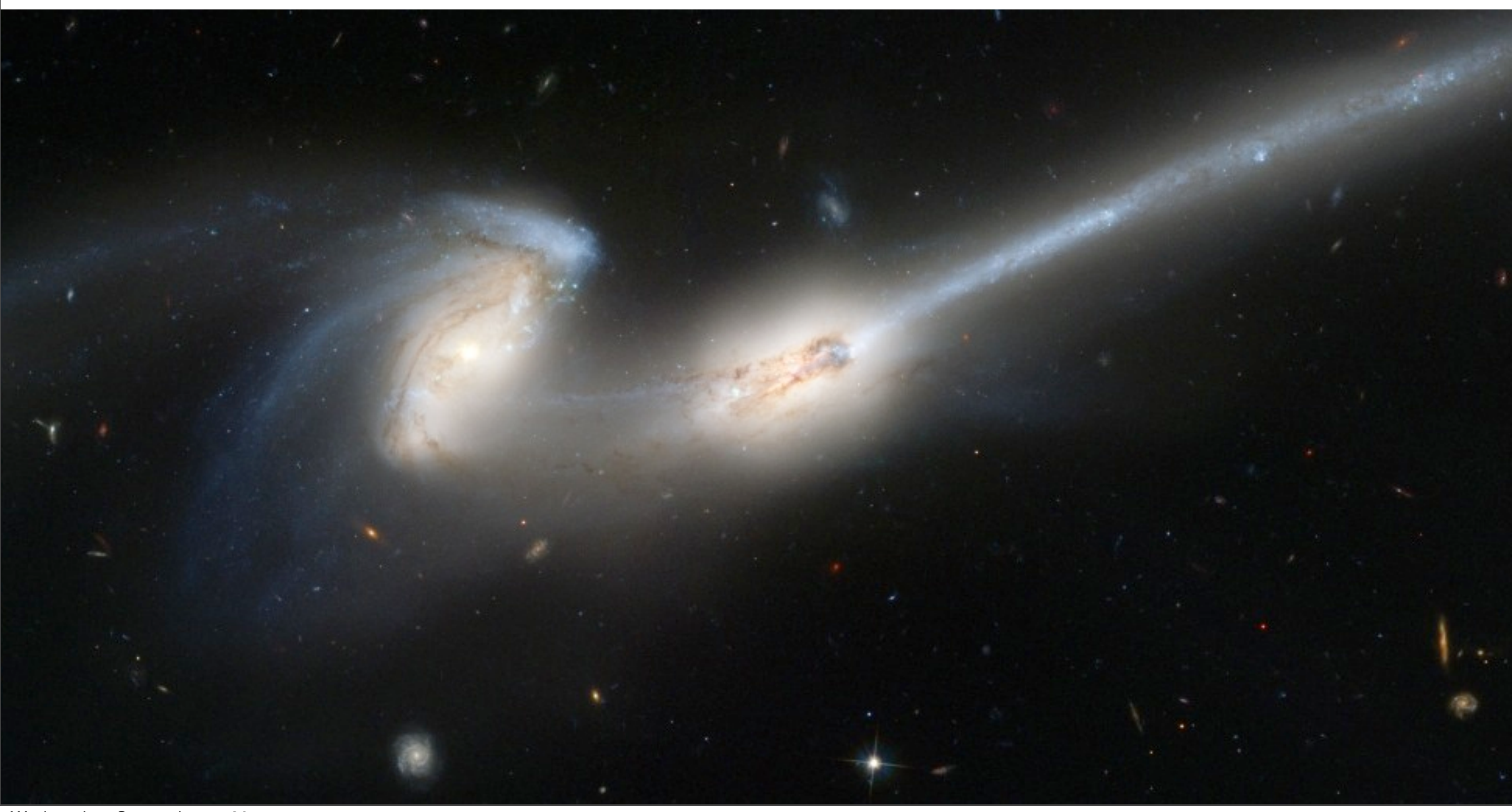


Wednesday, September 7, 2011

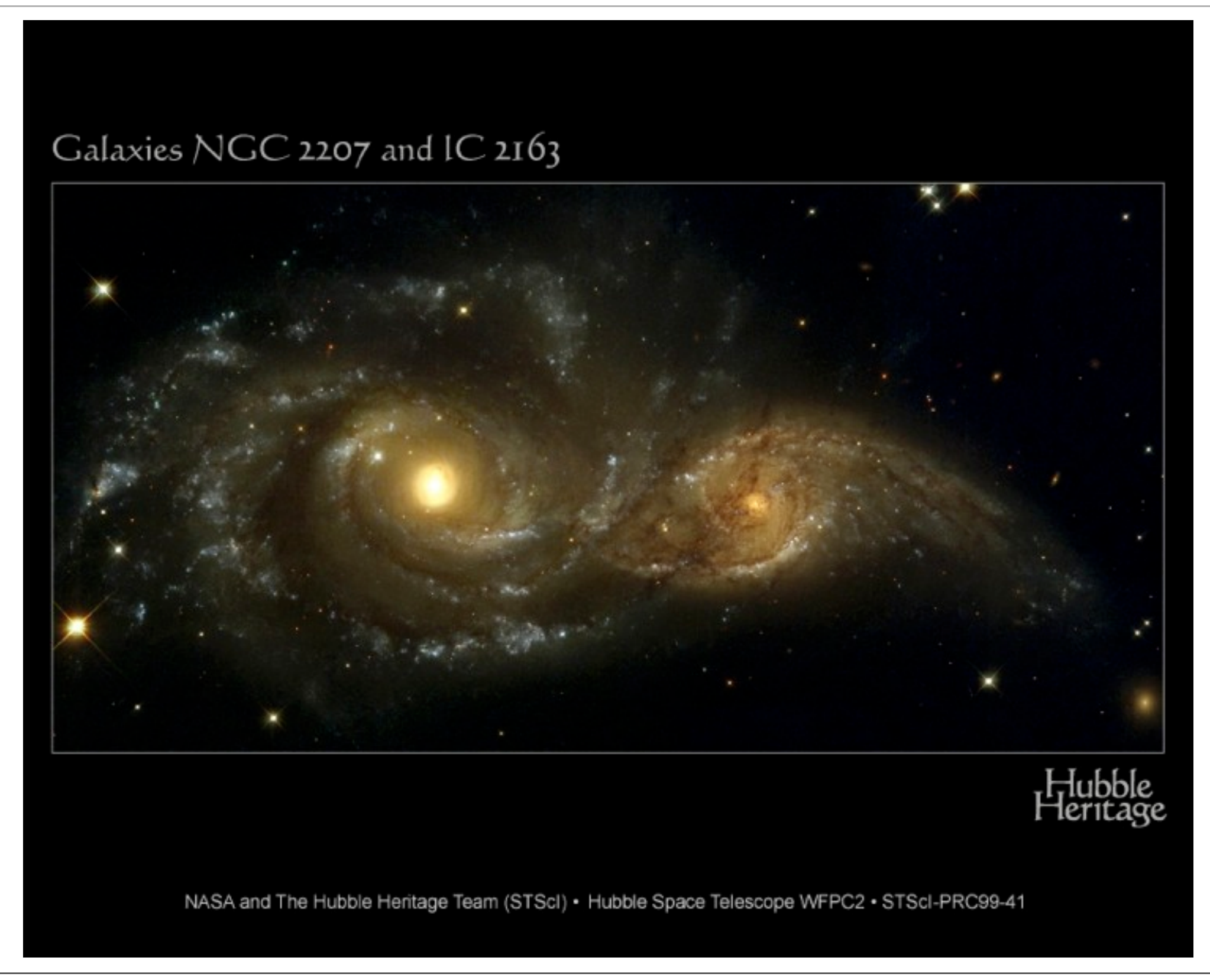


Wednesday, September 7, 2011

Primi calcoli al computer hanno fornito la soluzione.

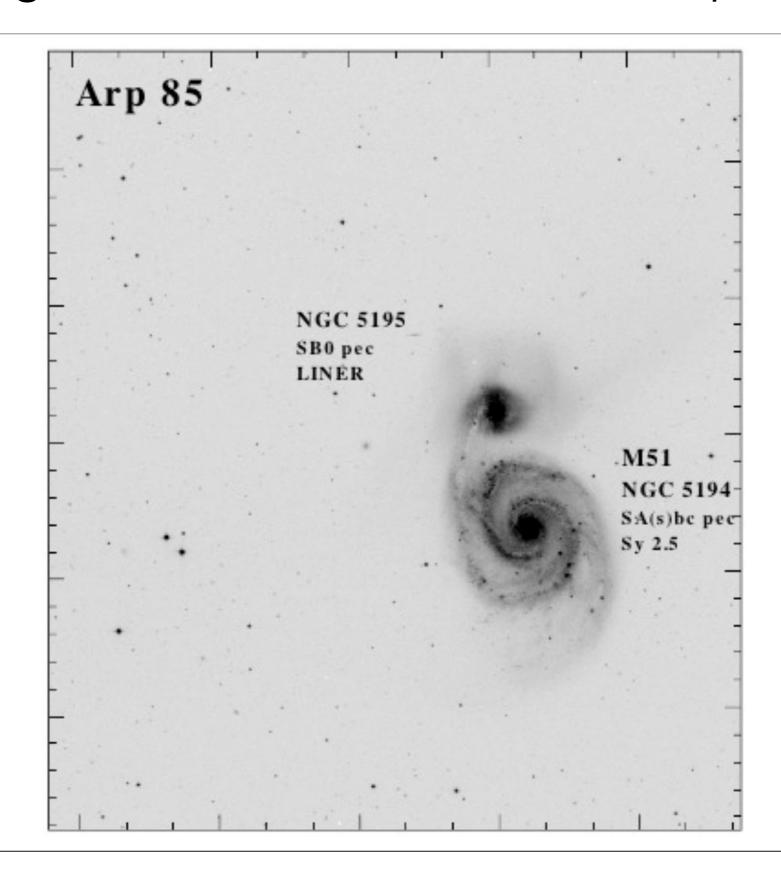


#### Galassie in interazione

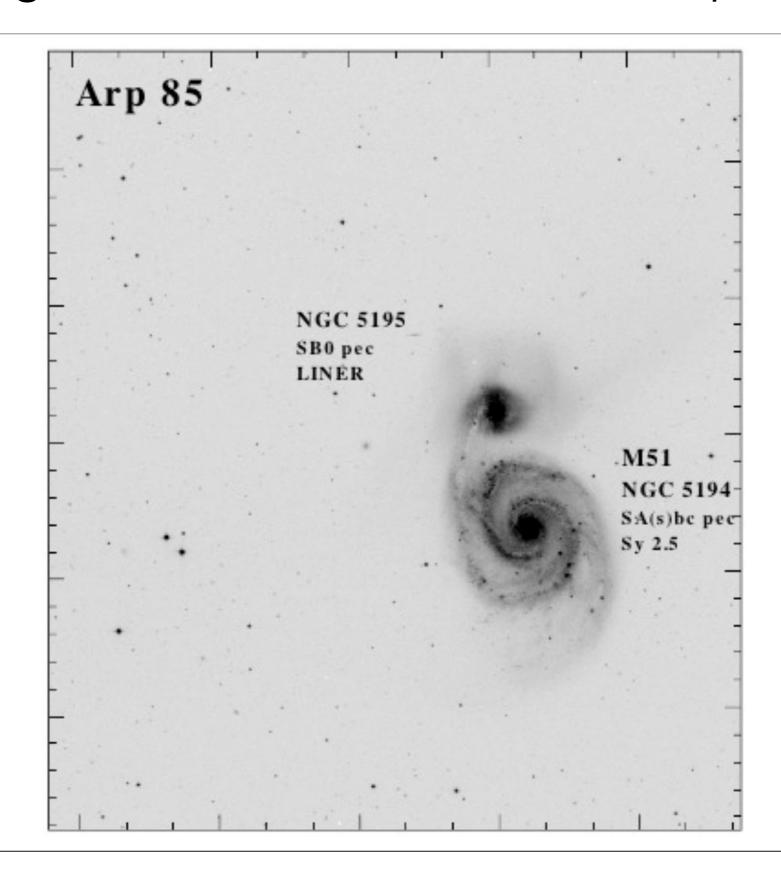


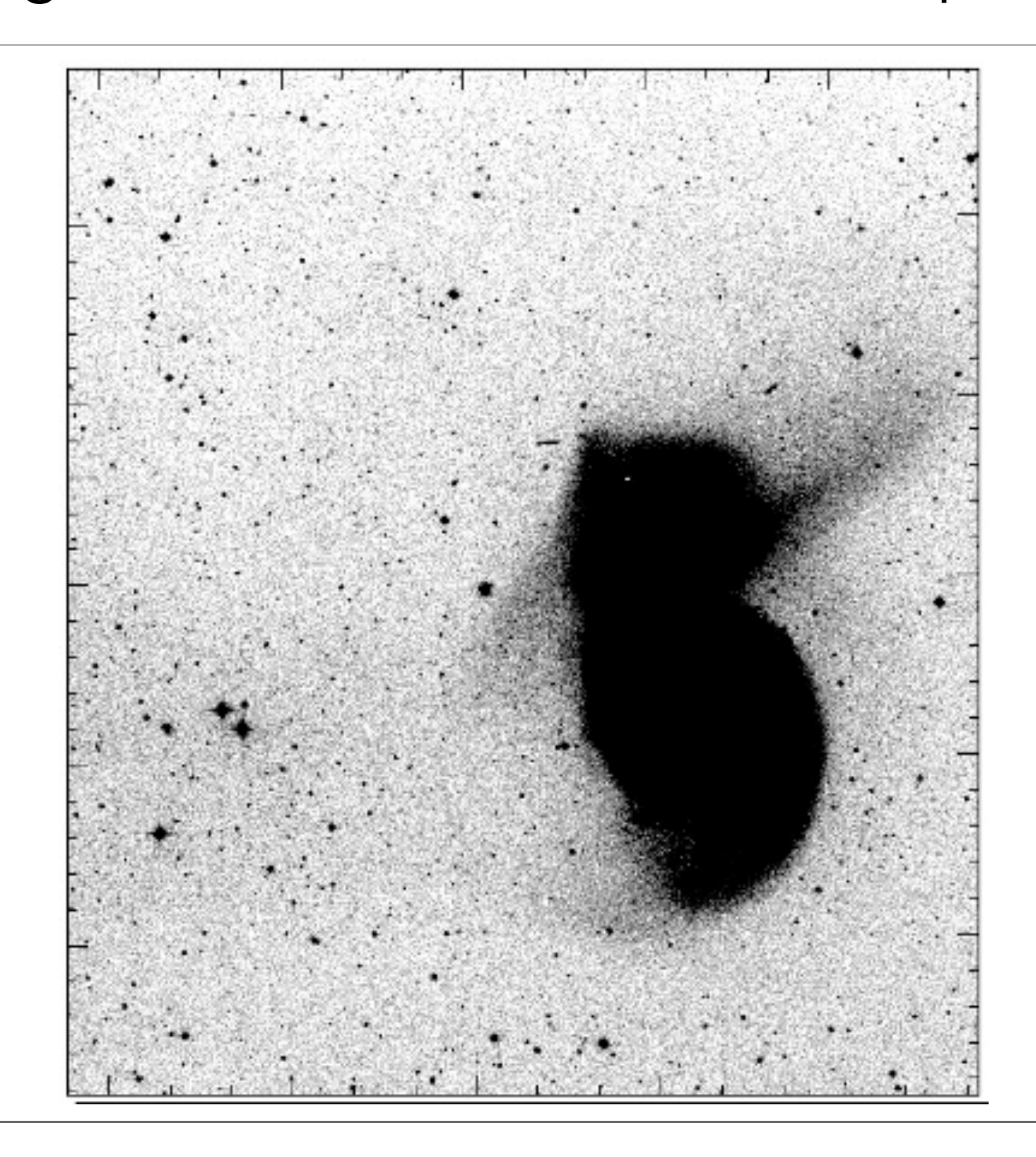
#### Galassie in interazione

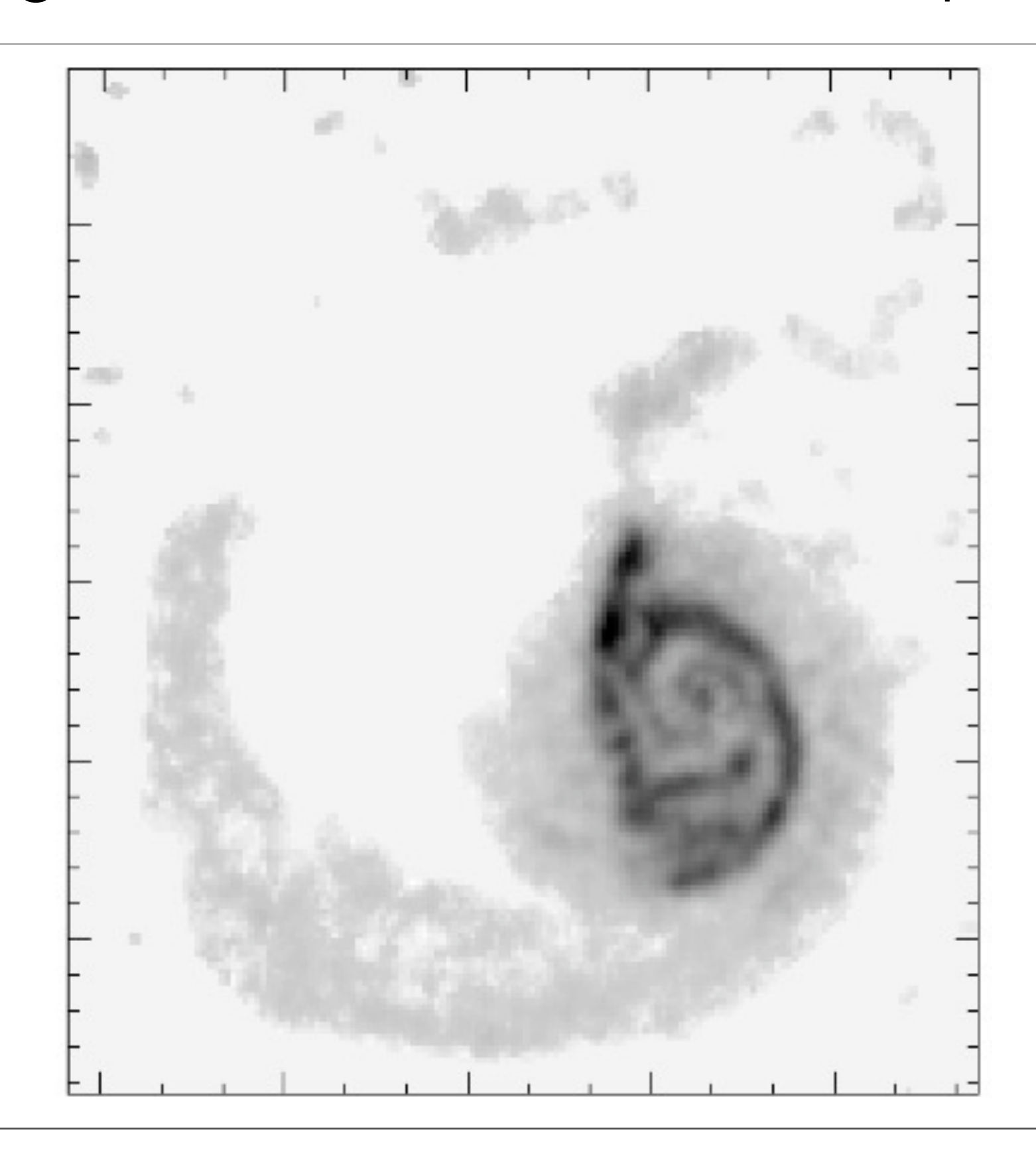


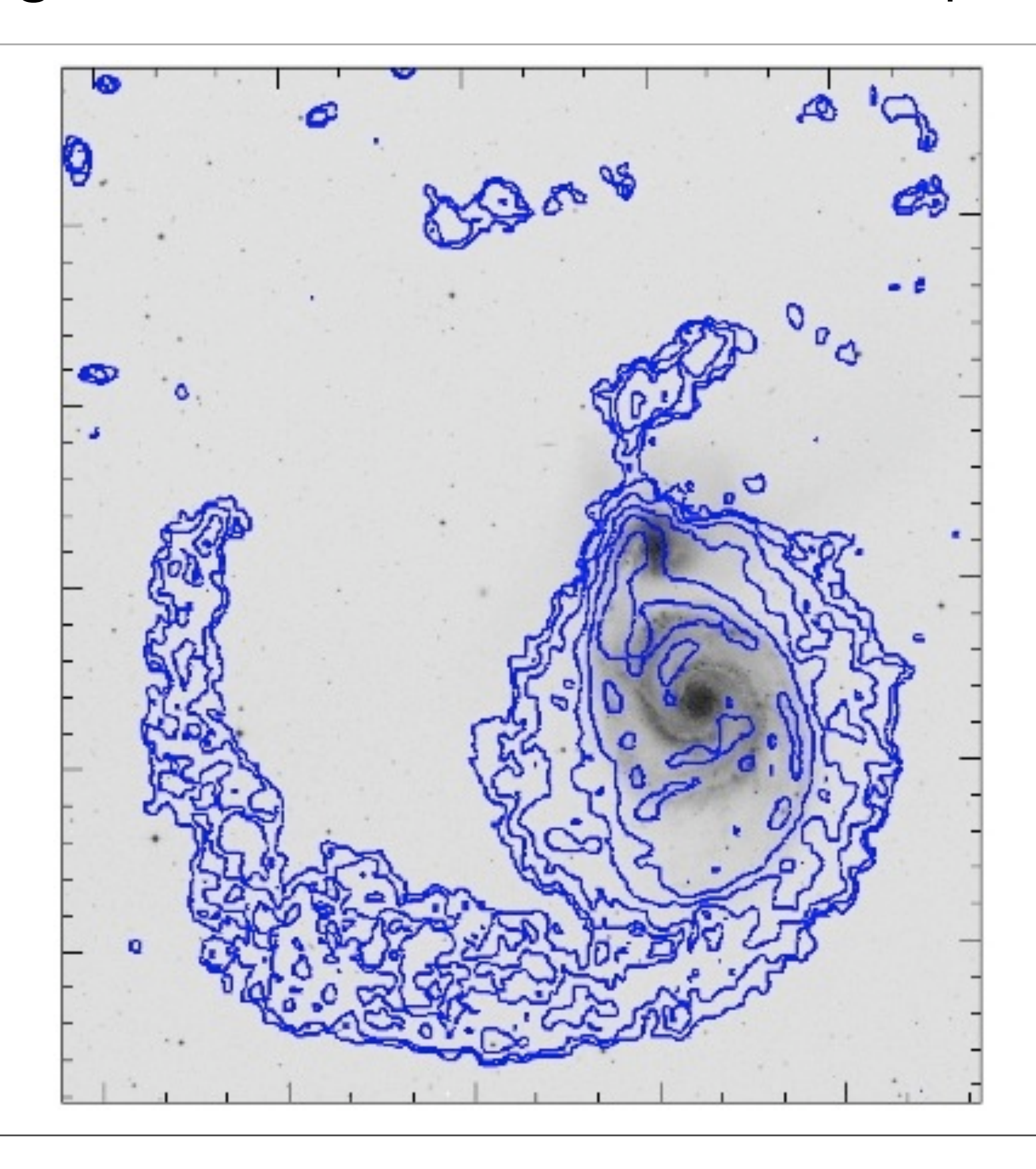






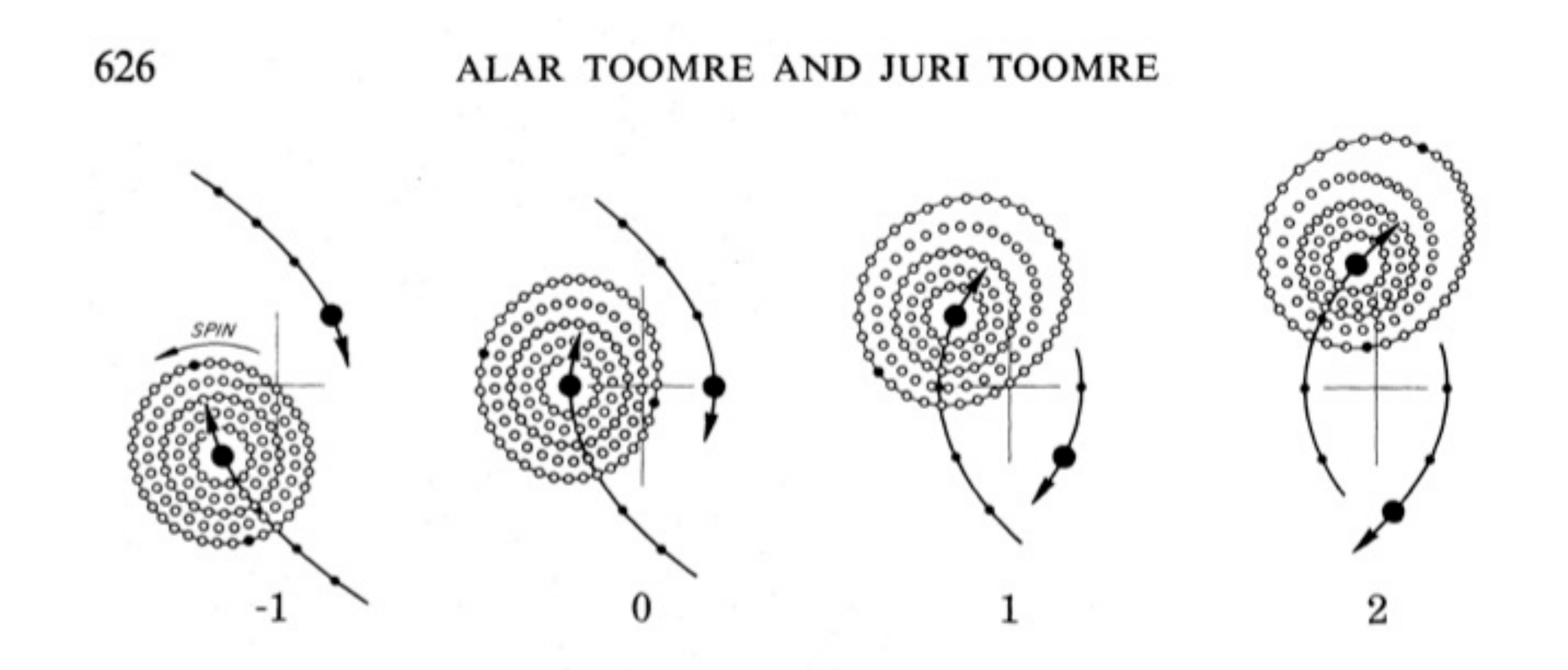






#### Simulazioni numeriche

Prime simulazioni al computer, 1972, Alar Toomre (MIT) e Juri Toomre (NYU)



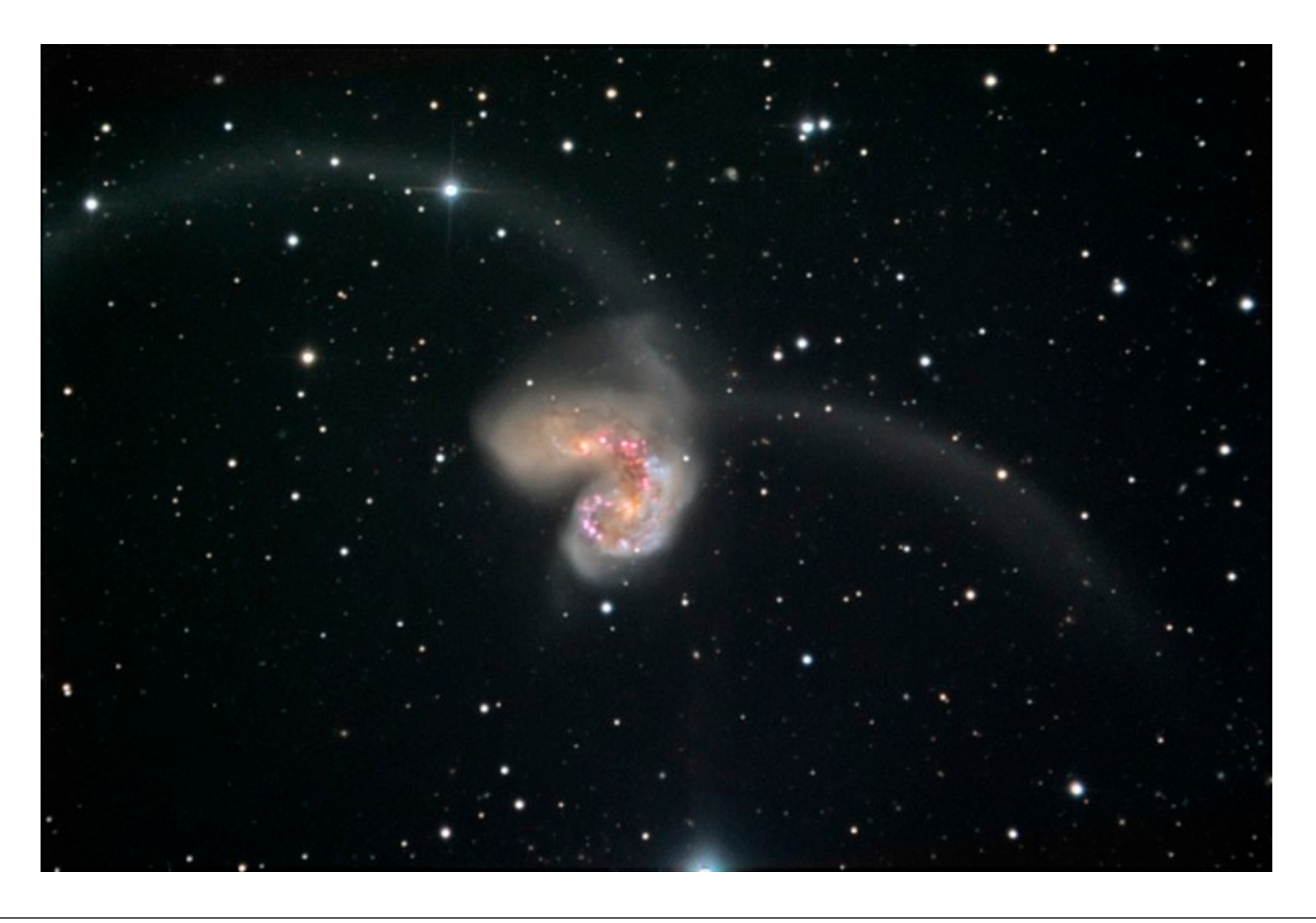
Prime simulazioni al computer, 1972, Alar Toomre (MIT) e Juri Toomre (NYU)

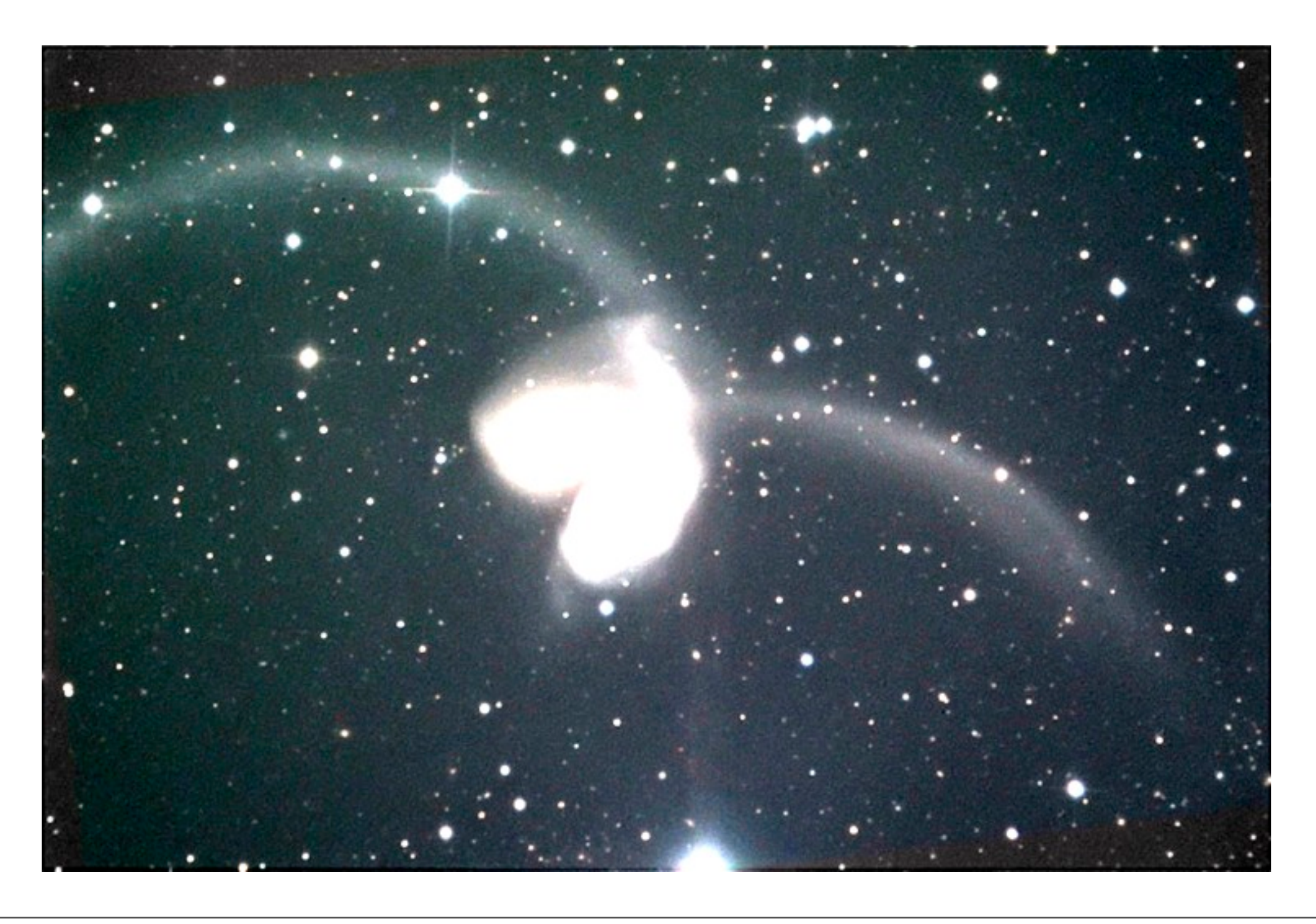


Prime simulazioni al computer, 1972, Alar Toomre (MIT) e Juri Toomre (NYU)

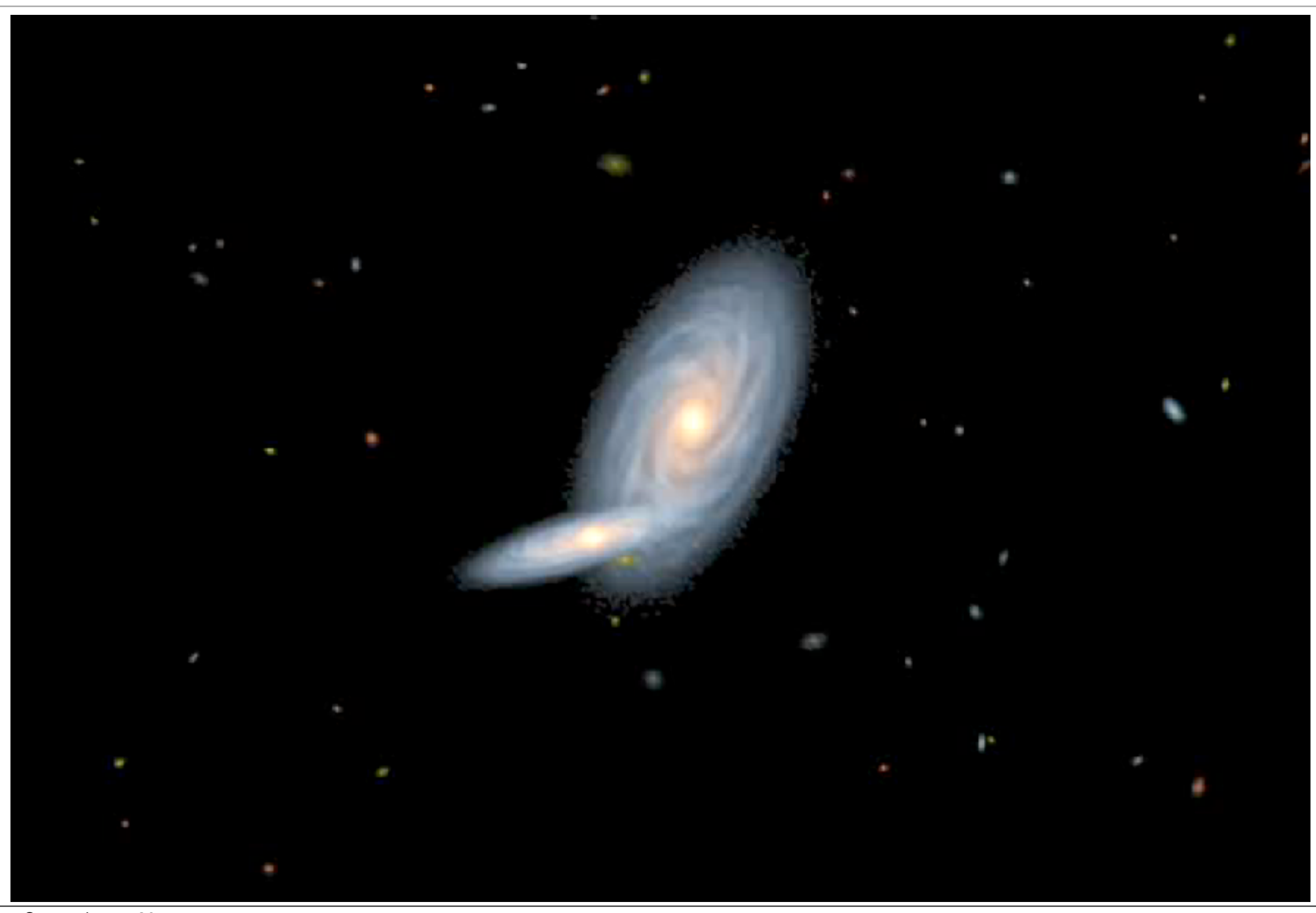








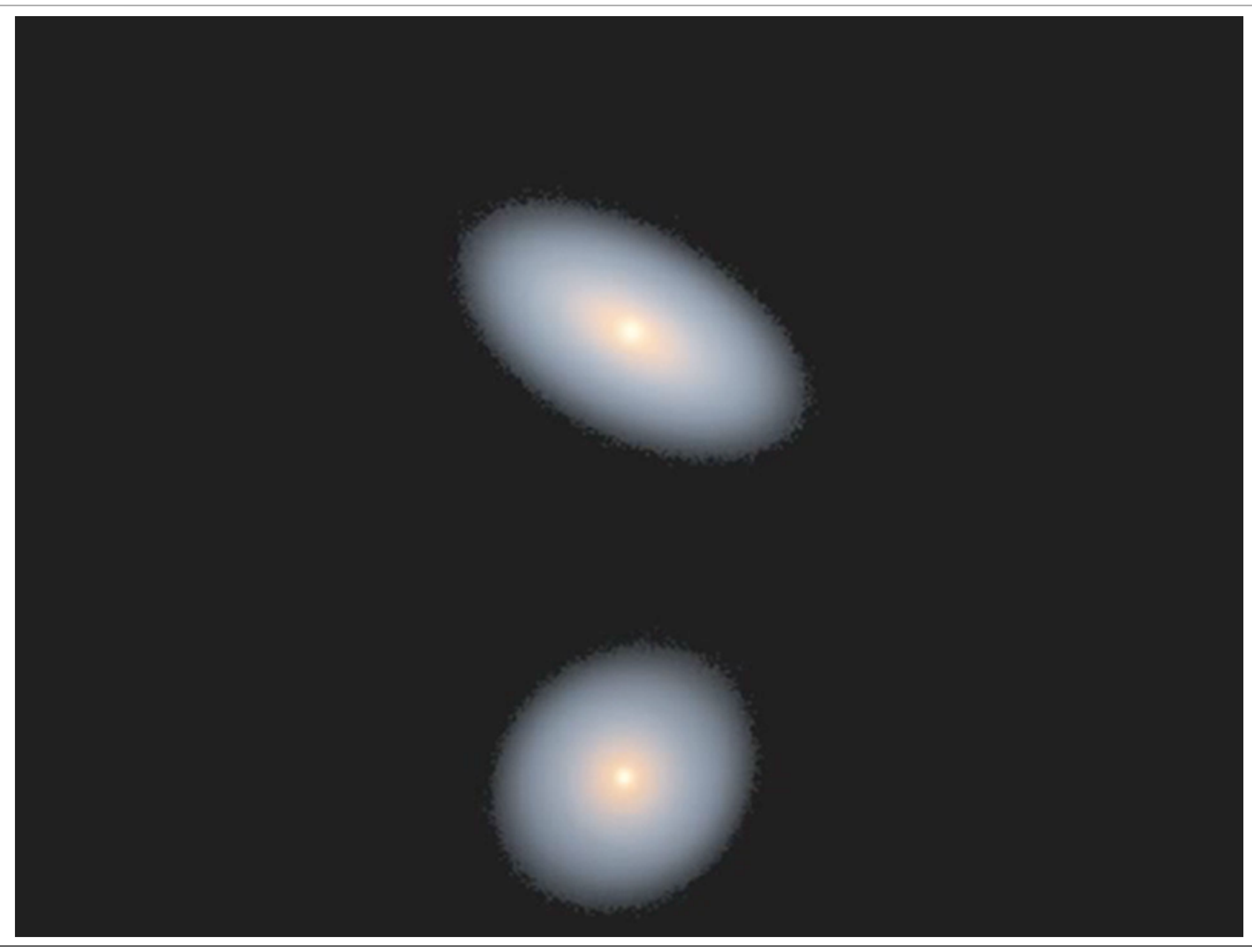




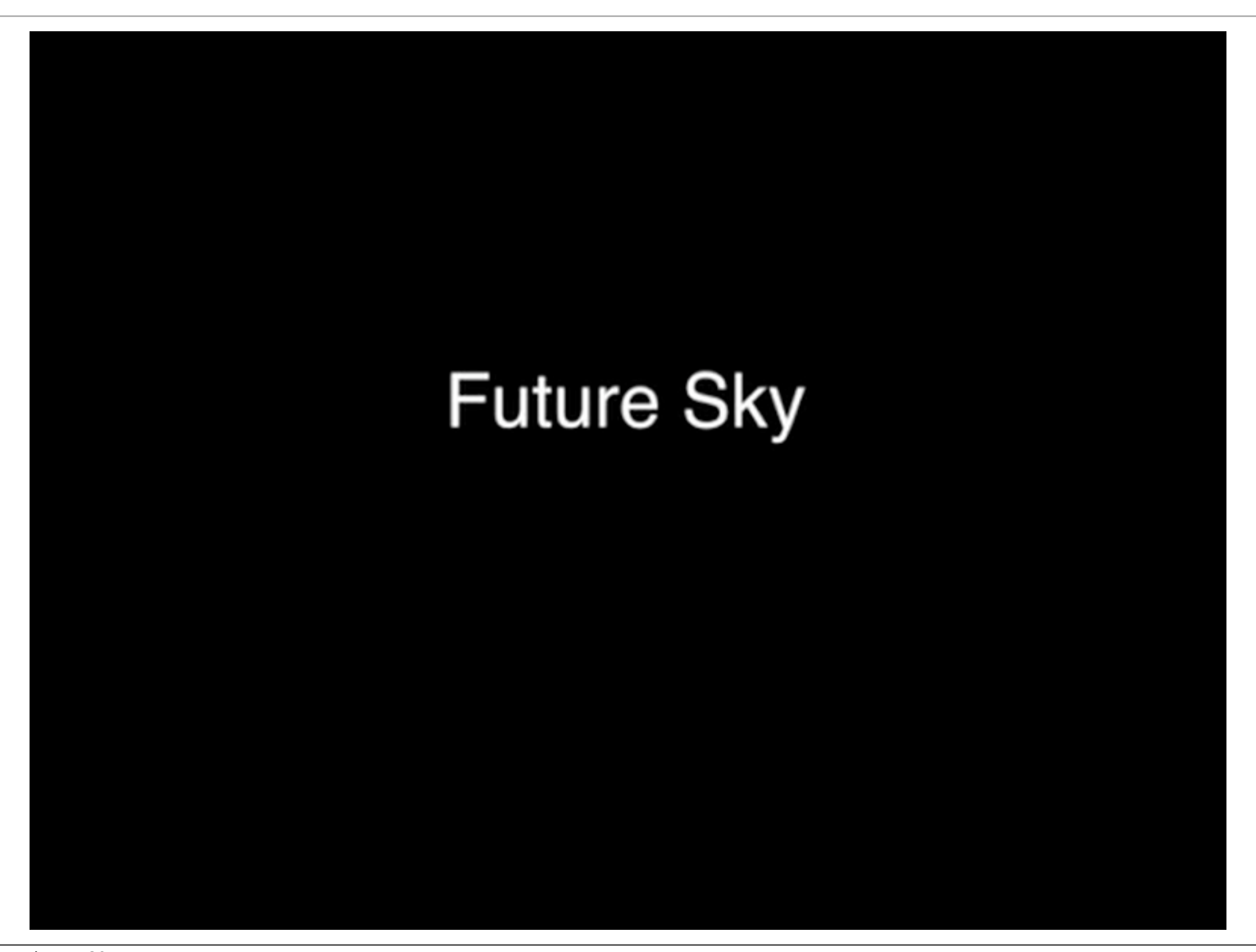




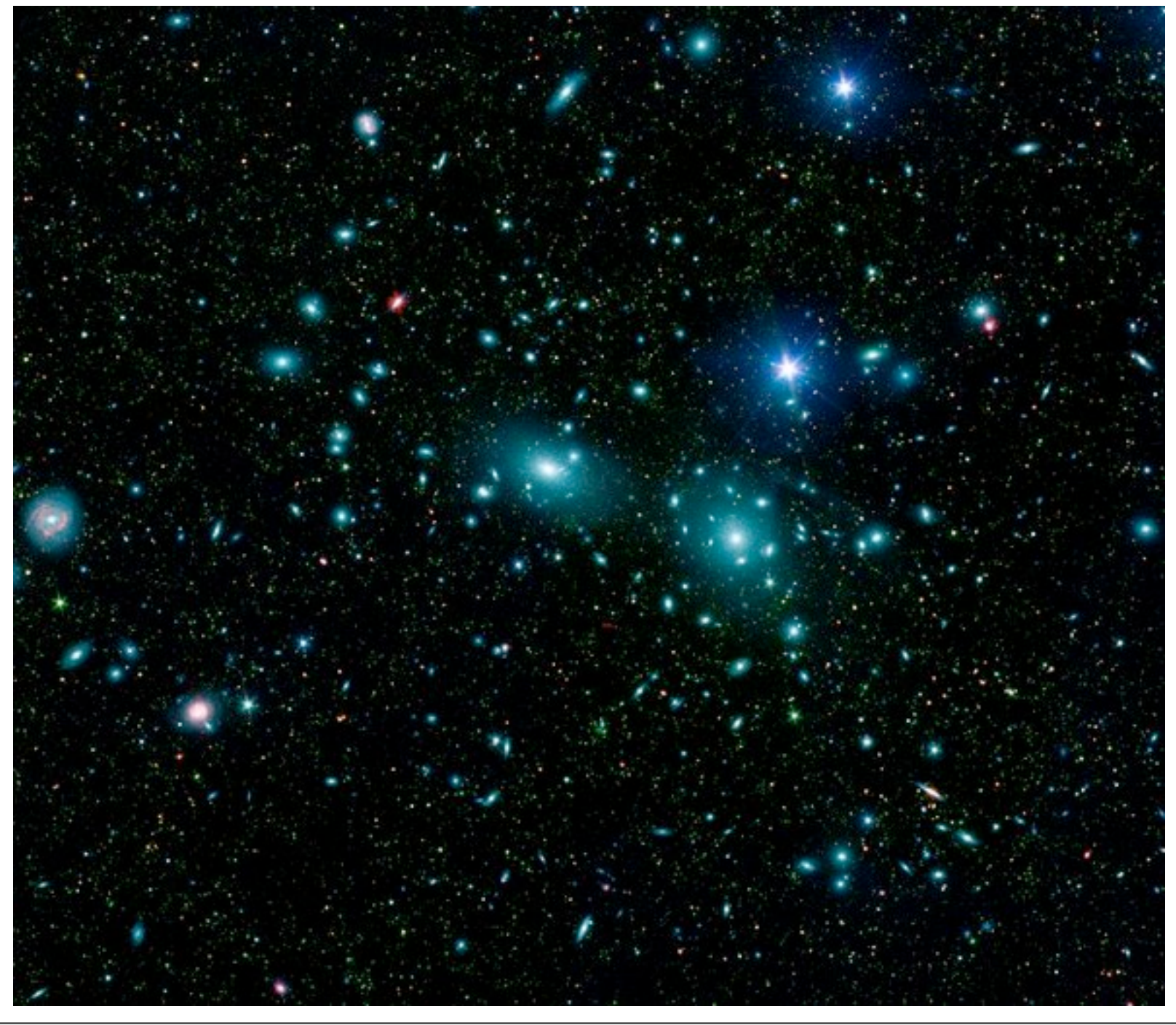
# Collisione della Via Lattea con Andromeda



### Collisione della Via Lattea con Andromeda

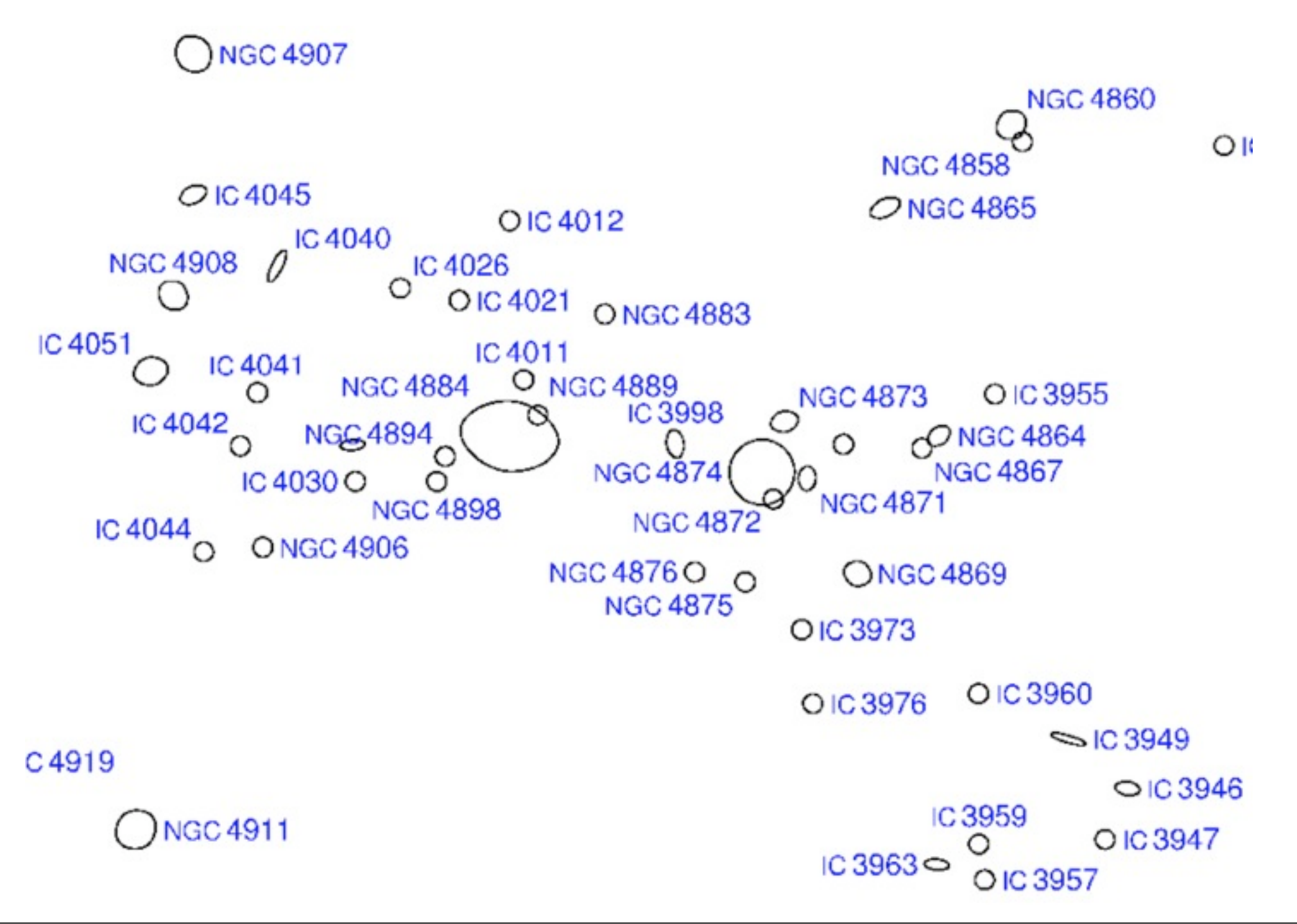


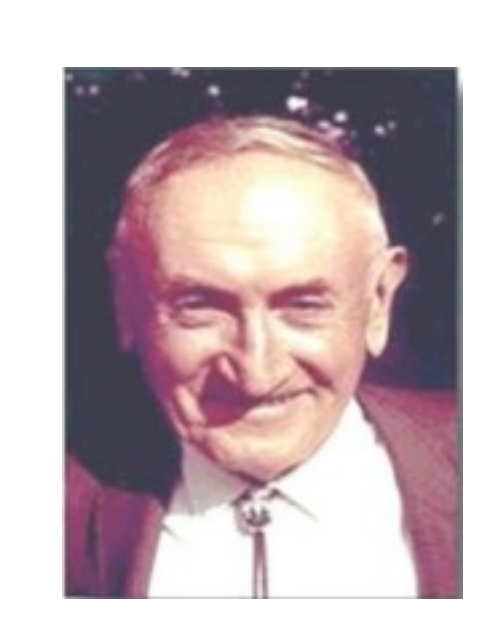
Zwicky (1933). Ammasso di galassie "Coma": 400 più massa che visibile



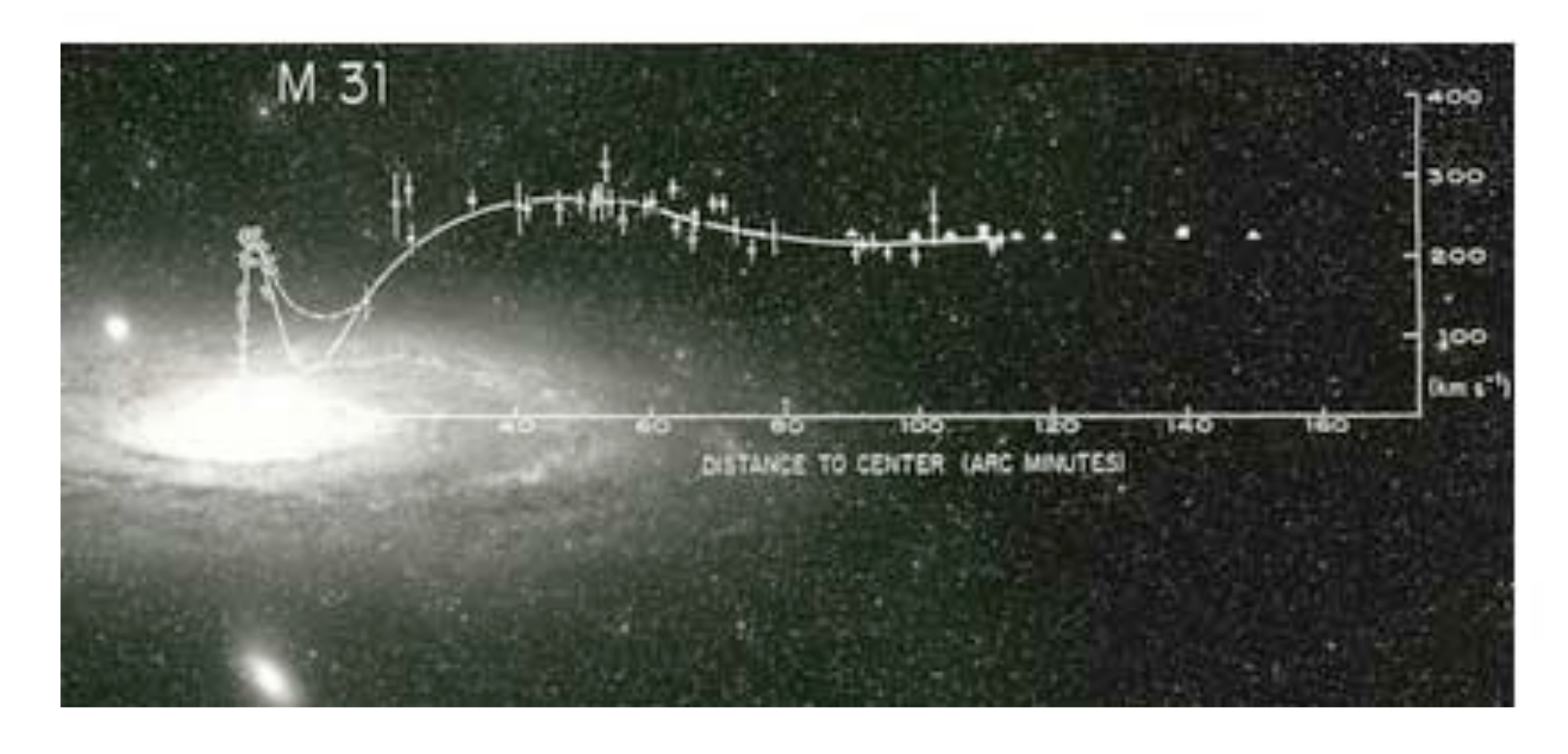


Zwicky (1933). Ammasso di galassie "Coma": 400 più massa che visibile



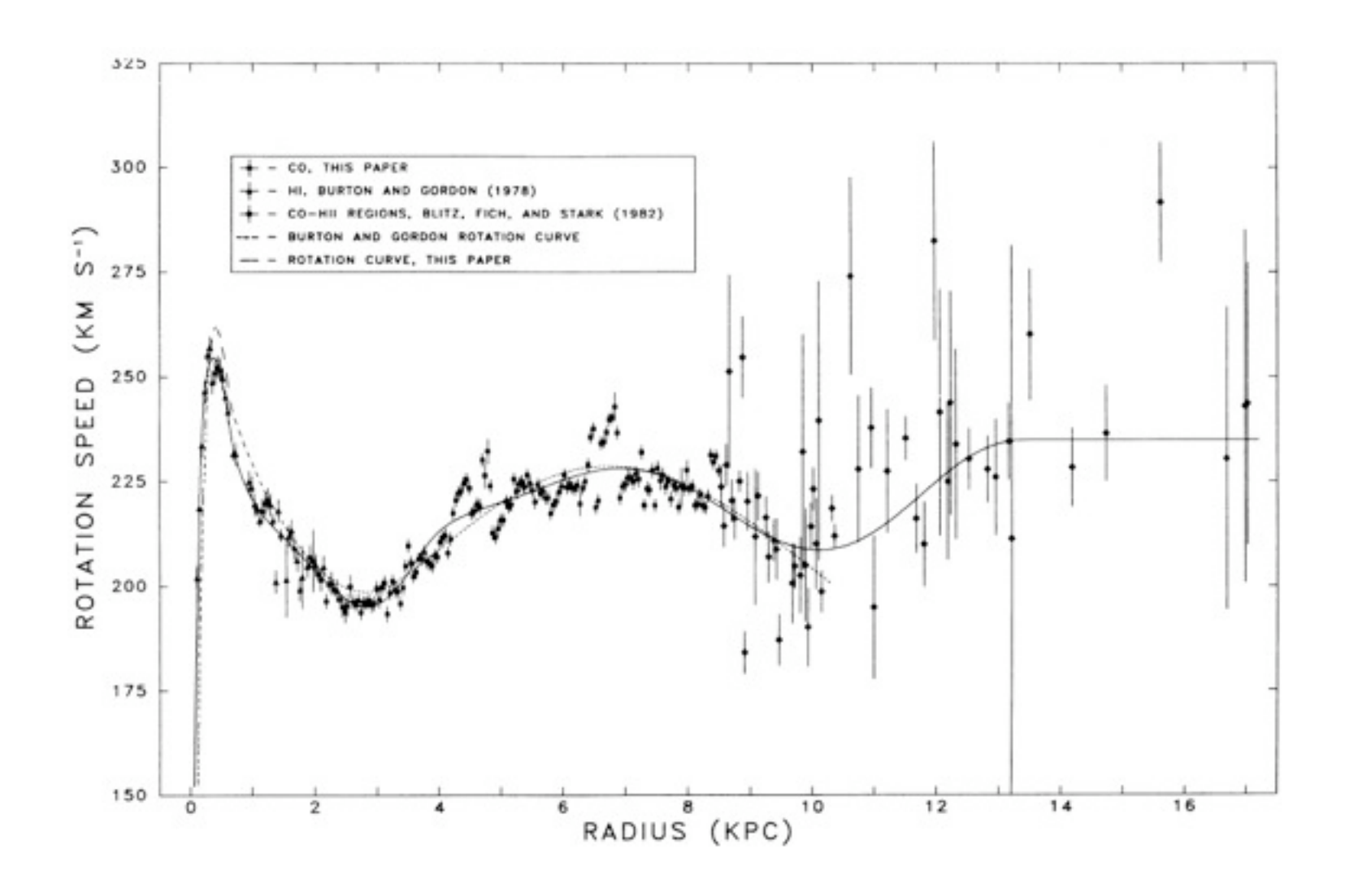


Rubin (1960). Rotazione di galassie spirale



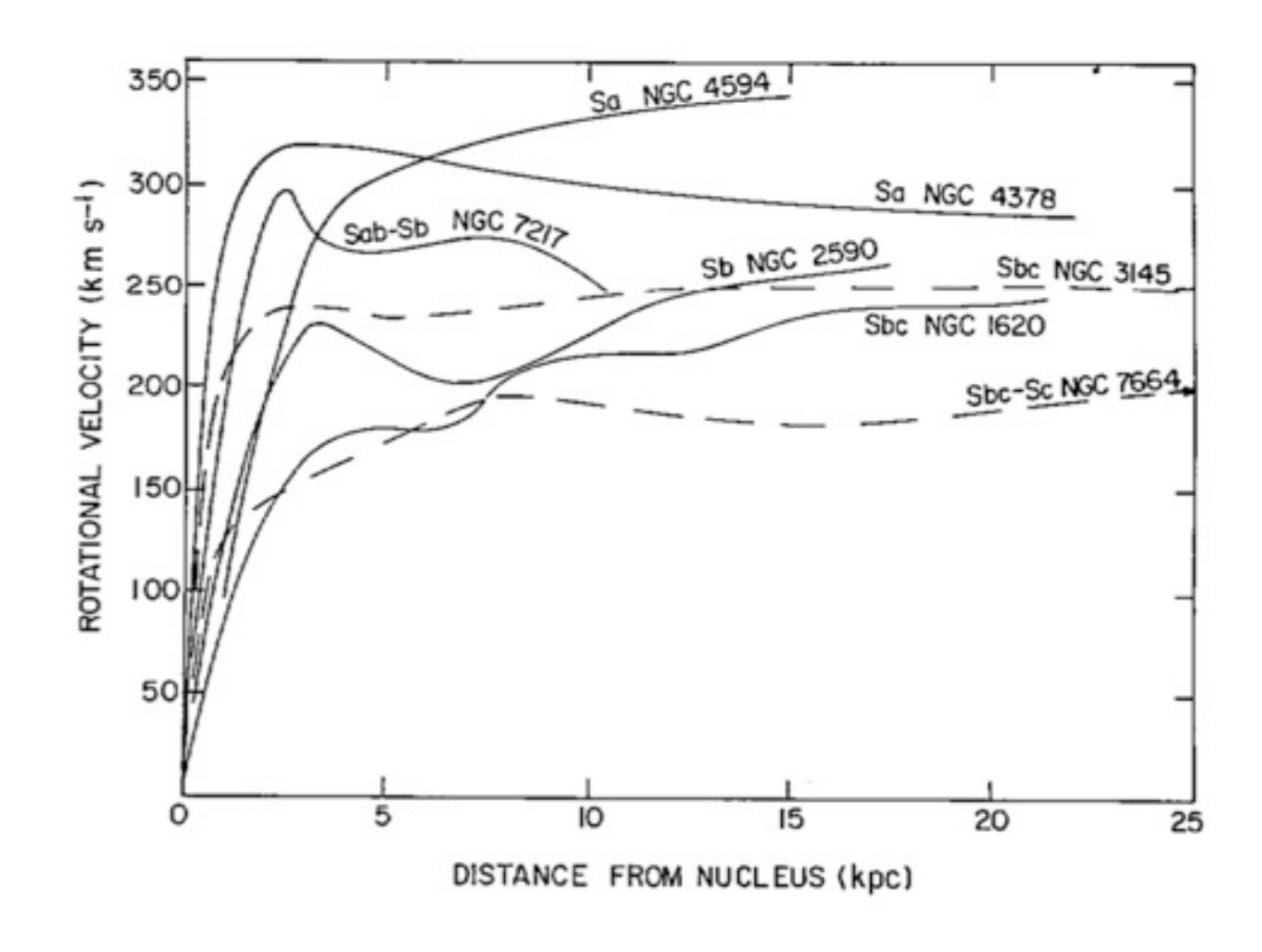


Rubin (1960). Rotazione di galassie spirale

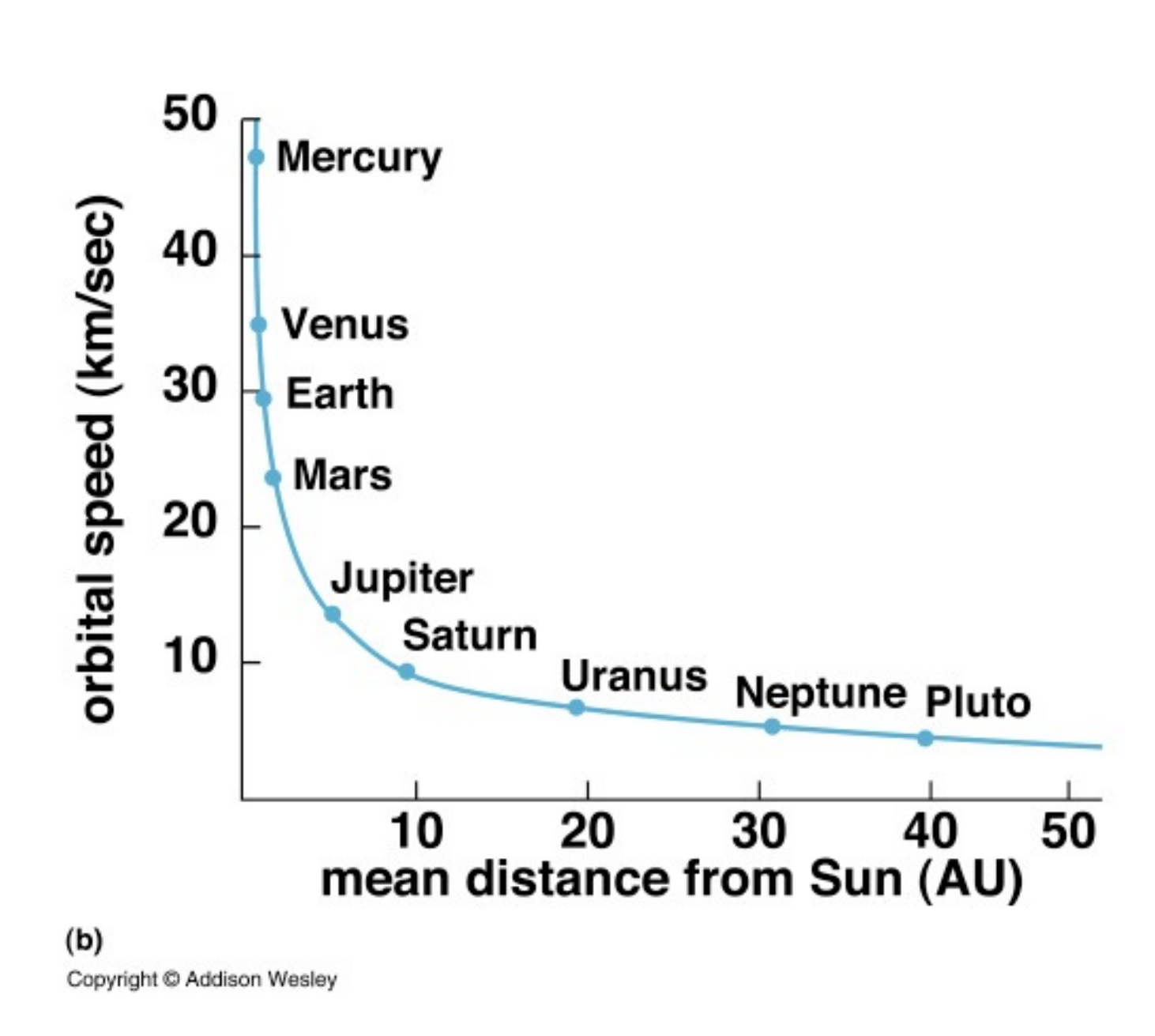




Rubin (1960). Rotazione di galassie spirale







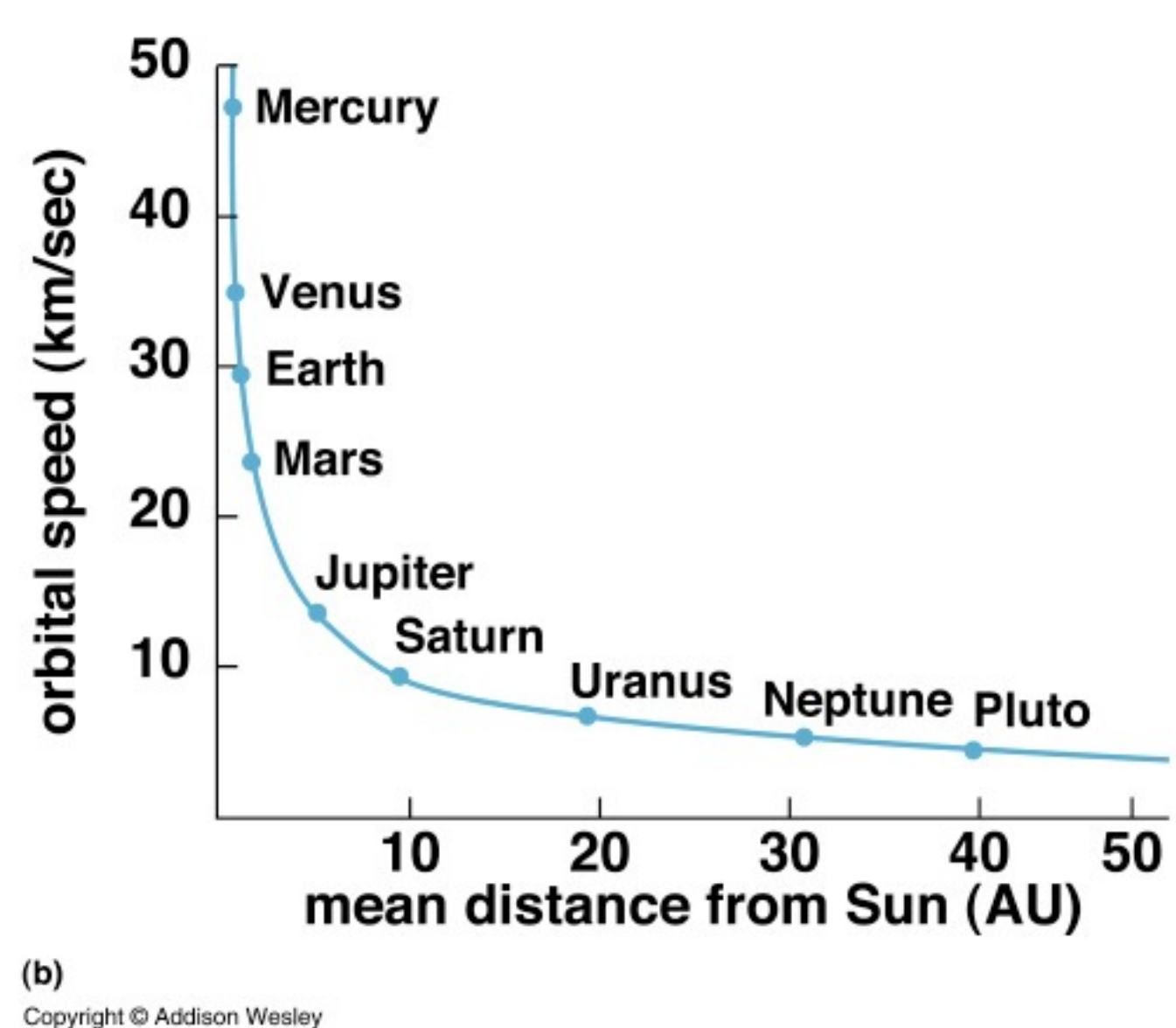
 Per una massa M tutta concentrata al centro del sistema e una massa m di un corpo orbitando attorno:

 Per una massa M tutta concentrata al centro del sistema e una massa m di un corpo orbitando attorno:

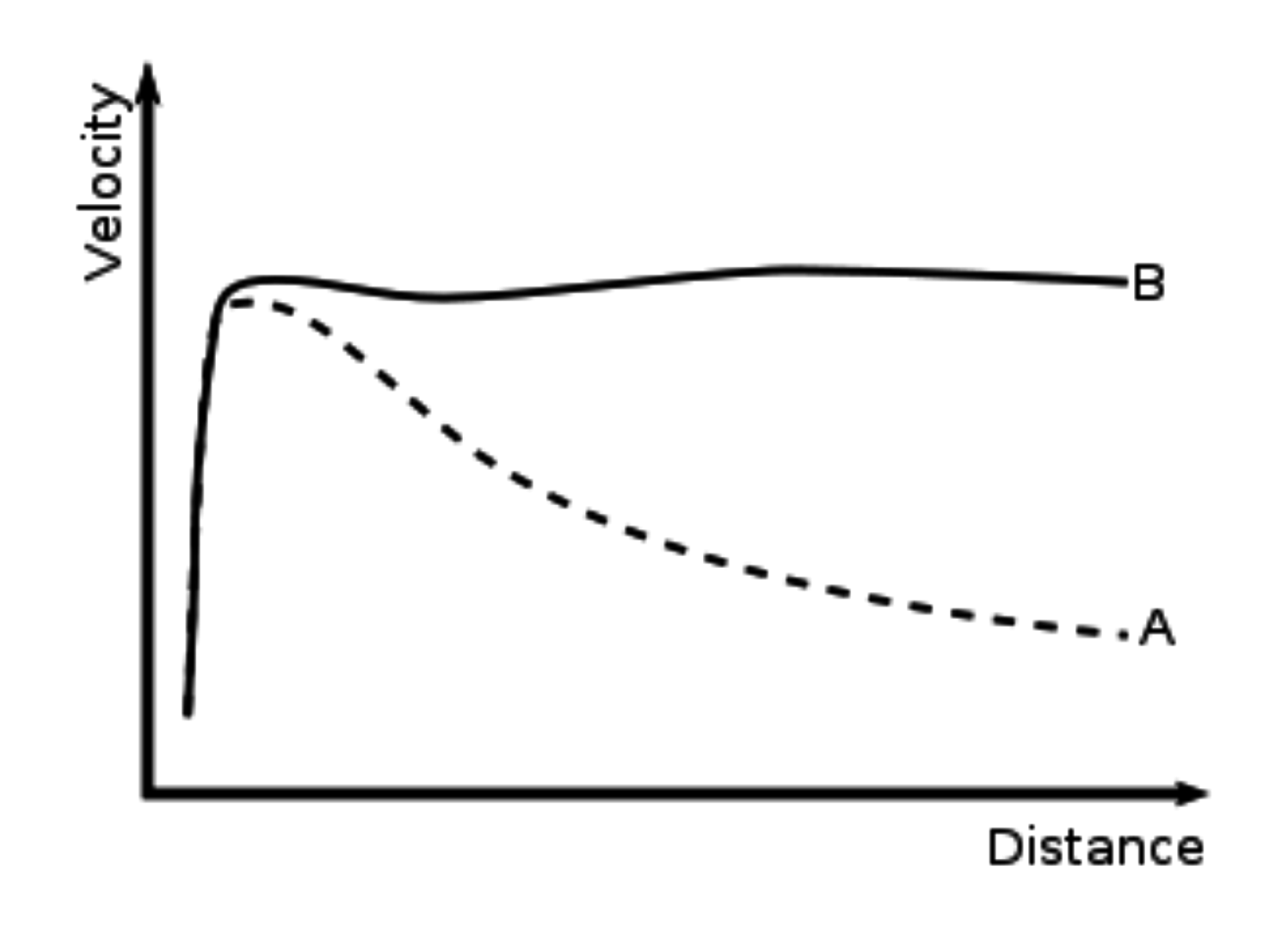
• F<sub>centripeta</sub> = F<sub>gravità</sub>

- Per una massa M tutta concentrata al centro del sistema e una massa m di un corpo orbitando attorno:
- F<sub>centripeta</sub> = F<sub>gravità</sub>
- $mv^2 / R = G M m / R^2 \Rightarrow$  $v = \sqrt{(GM/R)} \sim 1 / \sqrt{R}$

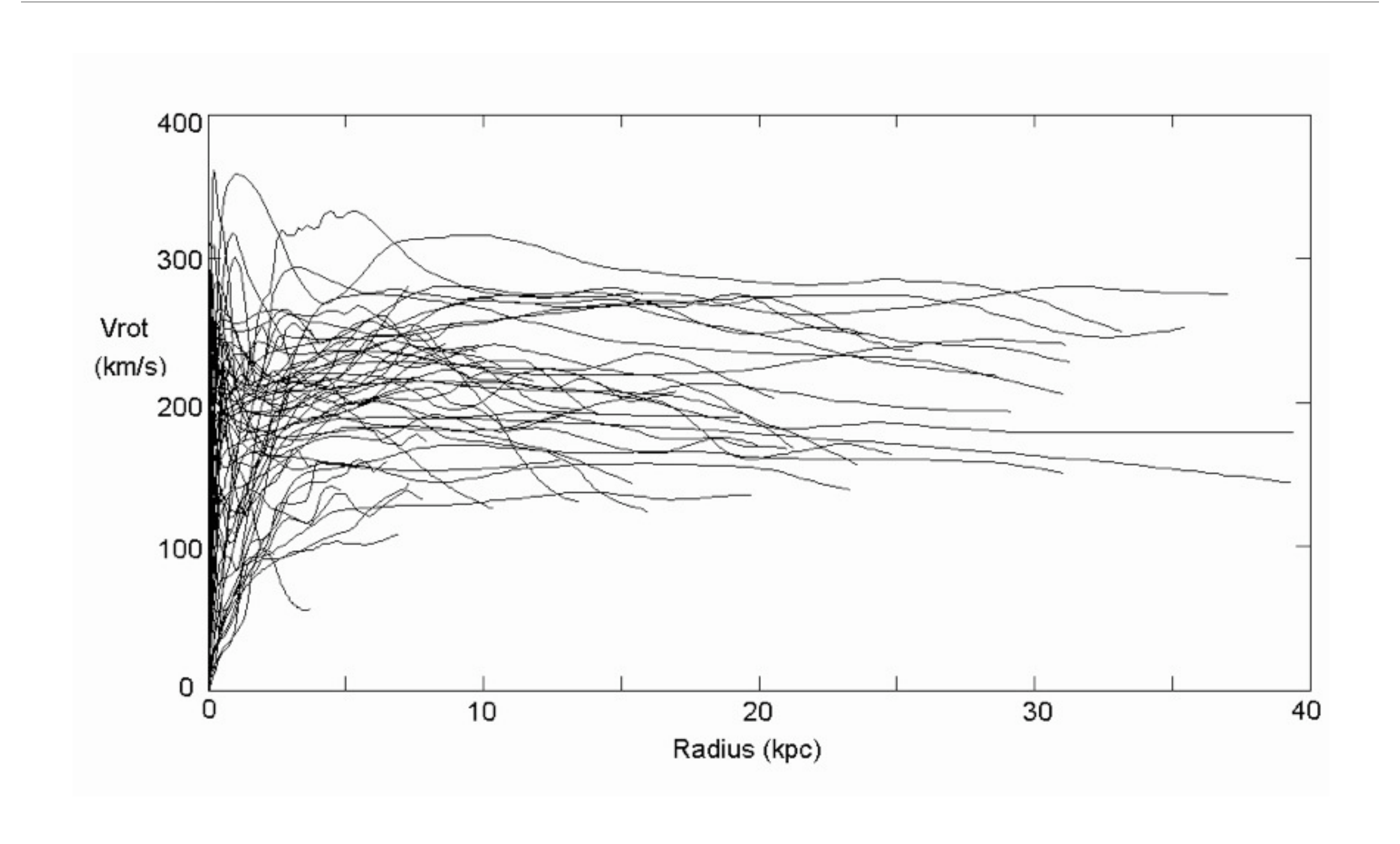
- Per una massa M tutta concentrata al centro del sistema e una massa m di un corpo orbitando attorno:
- Fcentripeta = Fgravità
- $mv^2 / R = G M m / R^2 \Rightarrow$  $V = \sqrt{(GM/R)} \sim 1 / \sqrt{R}$



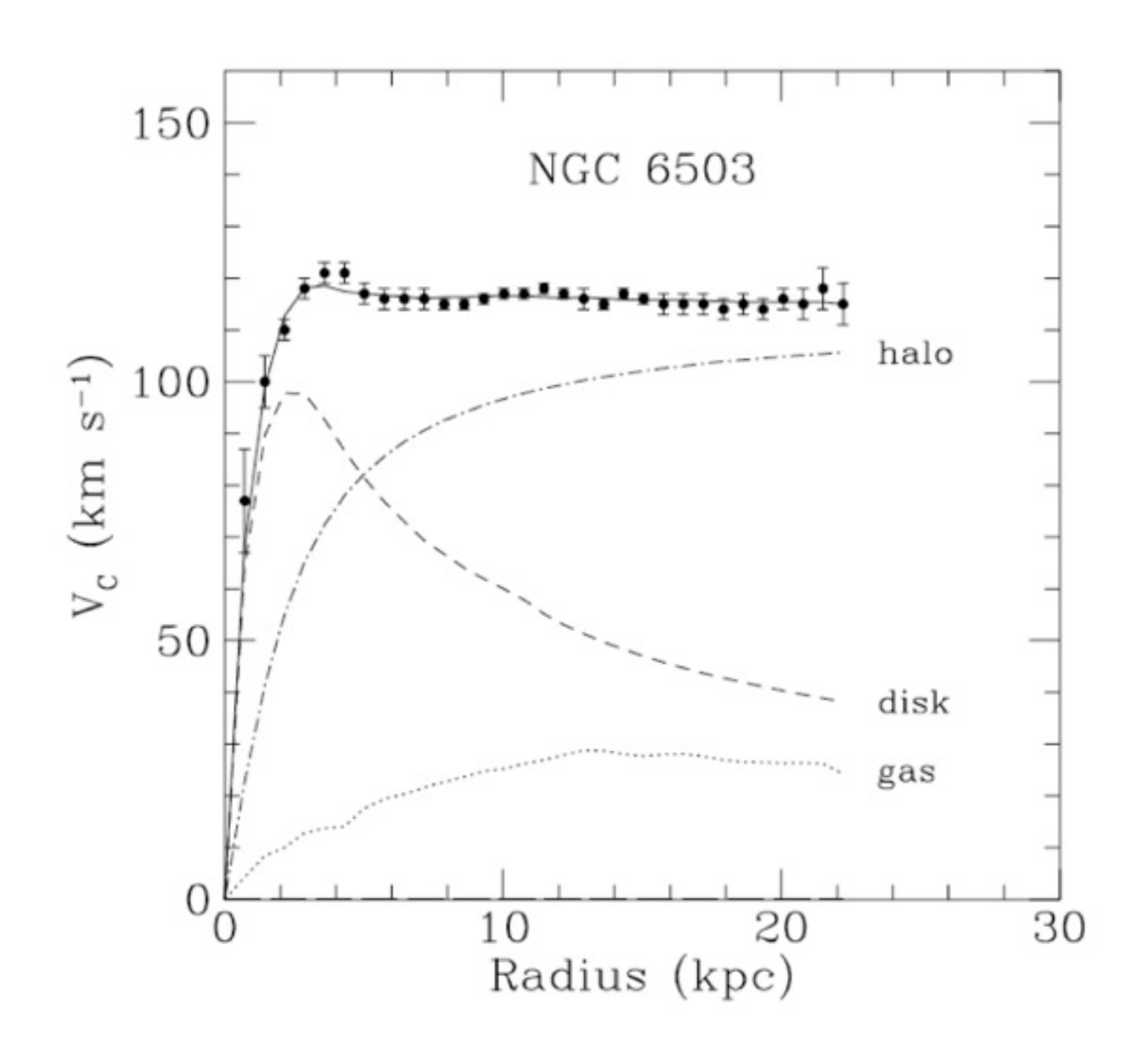
- Per una massa M tutta concentrata al centro del sistema e una massa m di un corpo orbitando attorno:
- Fcentripeta = Fgravità
- $mv^2 / R = G M m / R^2 \Rightarrow$  $v = \sqrt{(GM/R)} \sim 1 / \sqrt{R}$



# Materia scura: misurare la velocità del gas

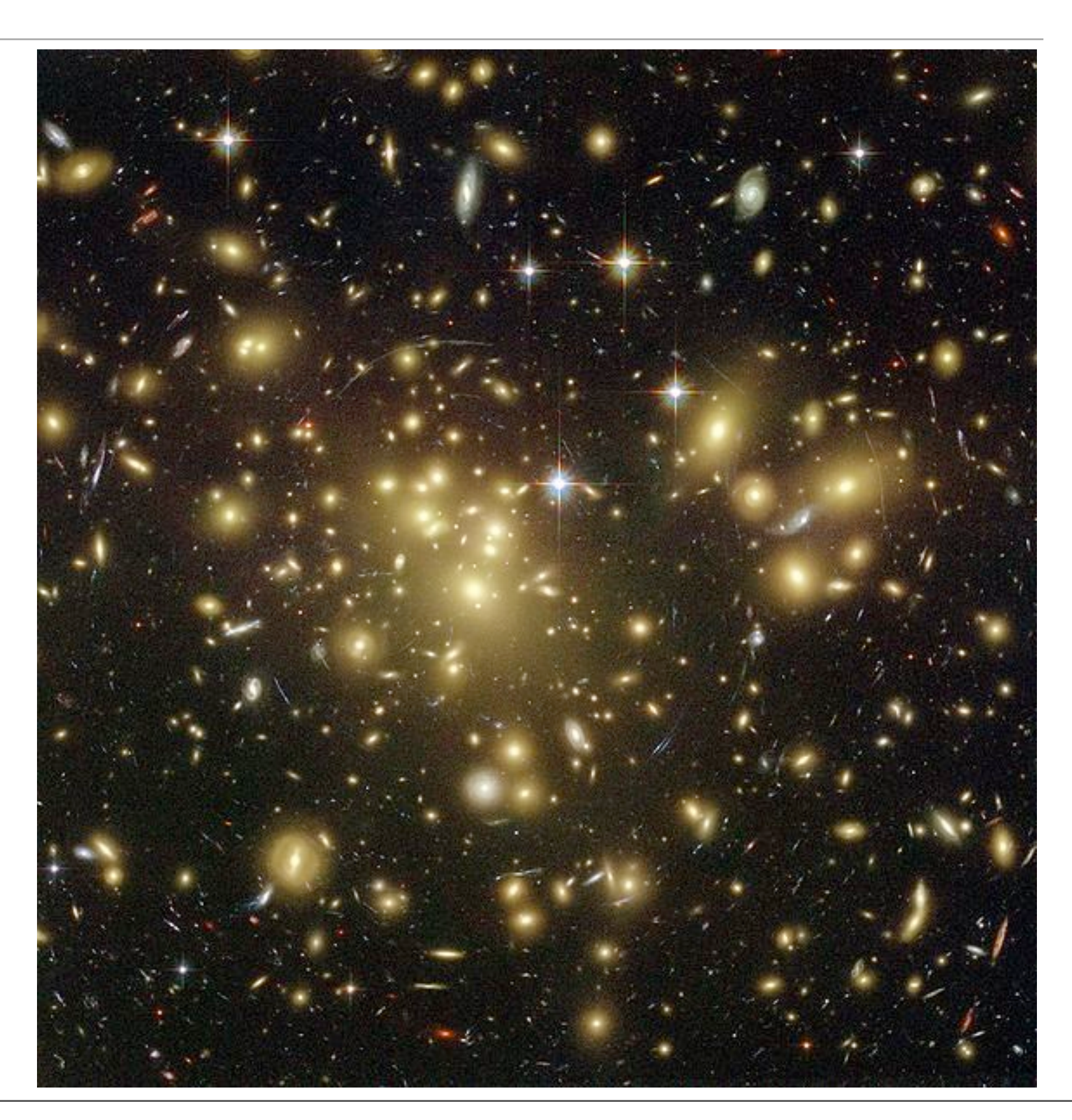


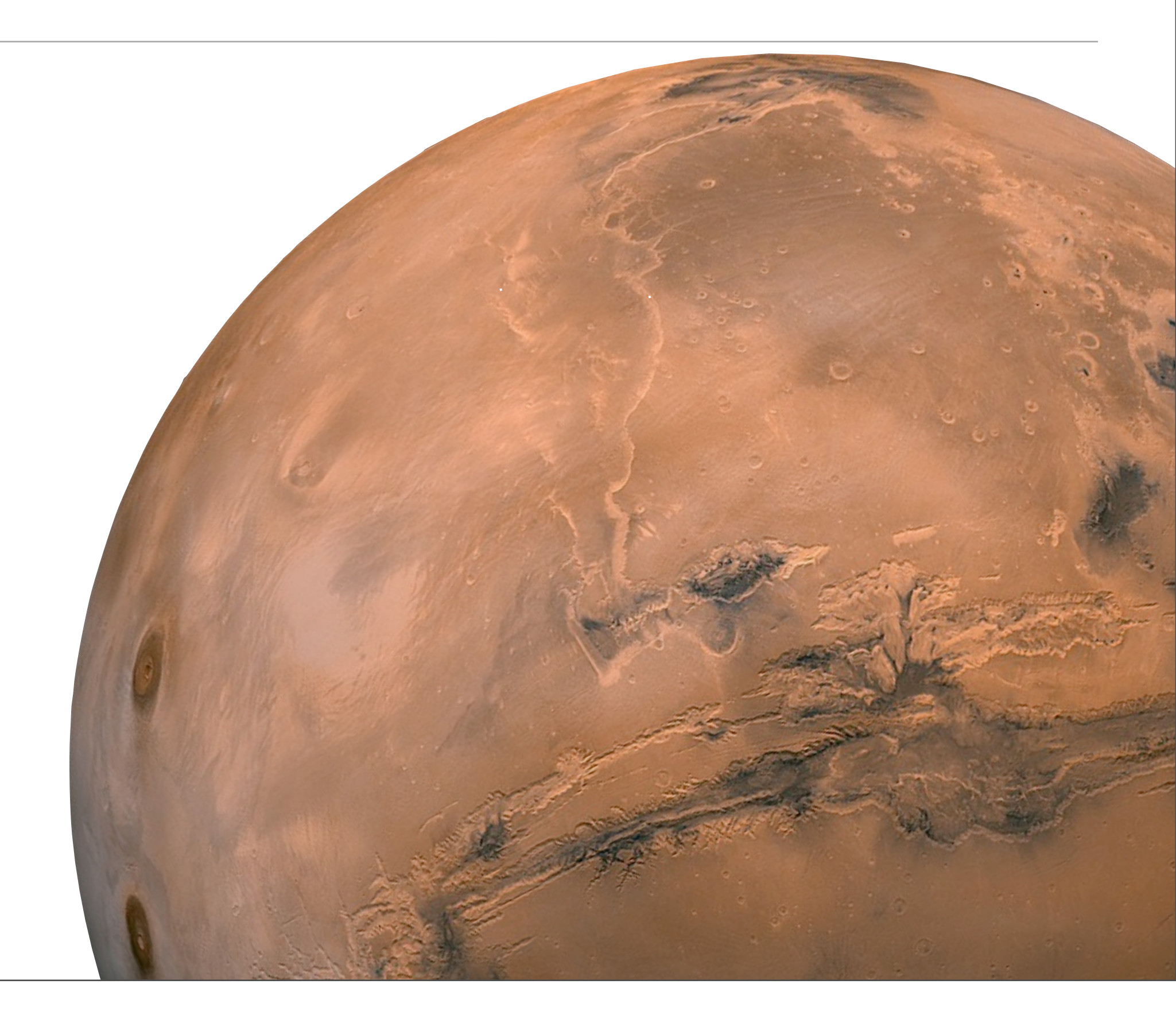
# Materia scura: misurare la velocità del gas



# Materia scura: <u>lente gravitazionale</u>

Amasso di galassie Abell 1689

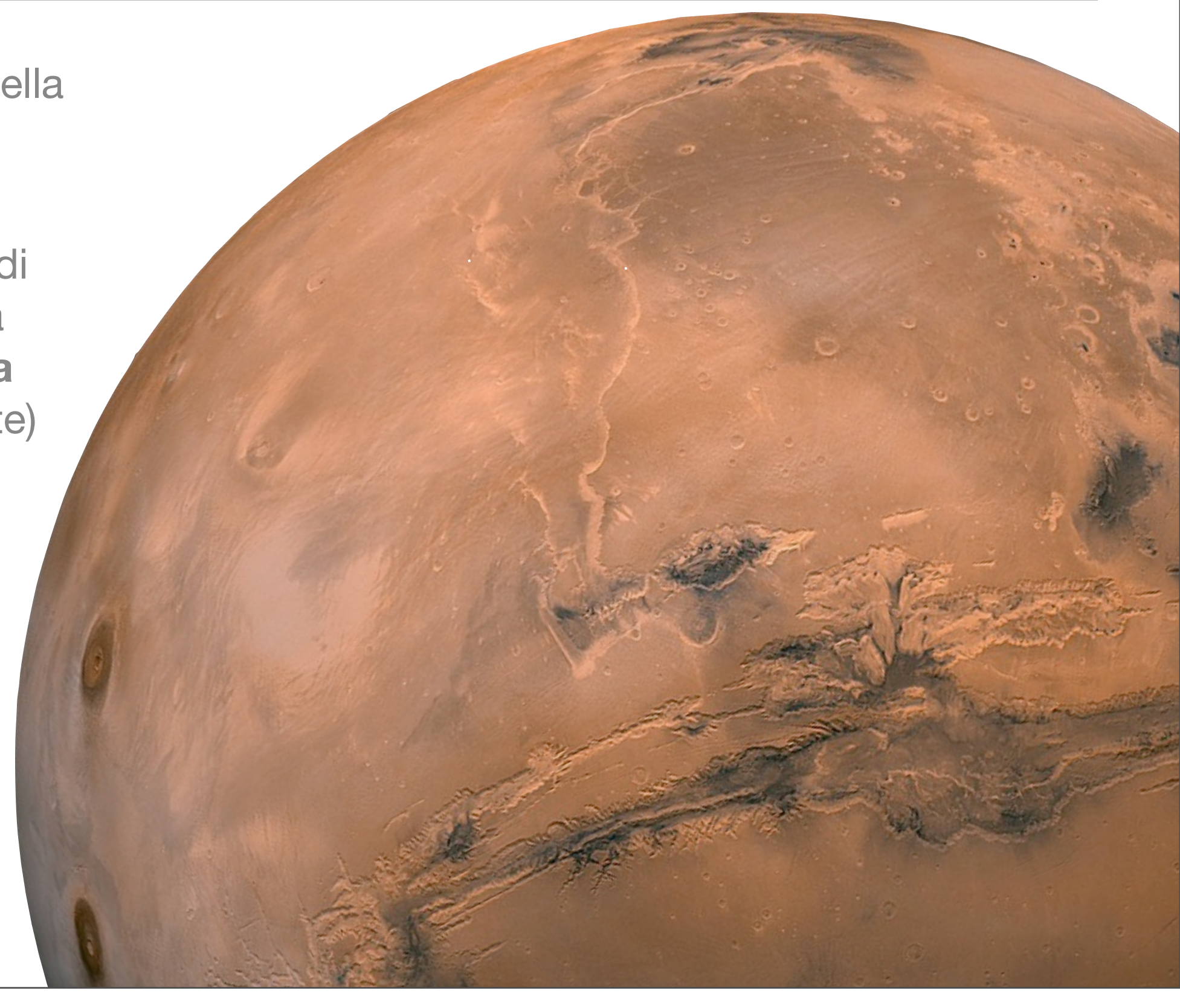




• Recenti missioni della NASA

 Recenti missioni della NASA

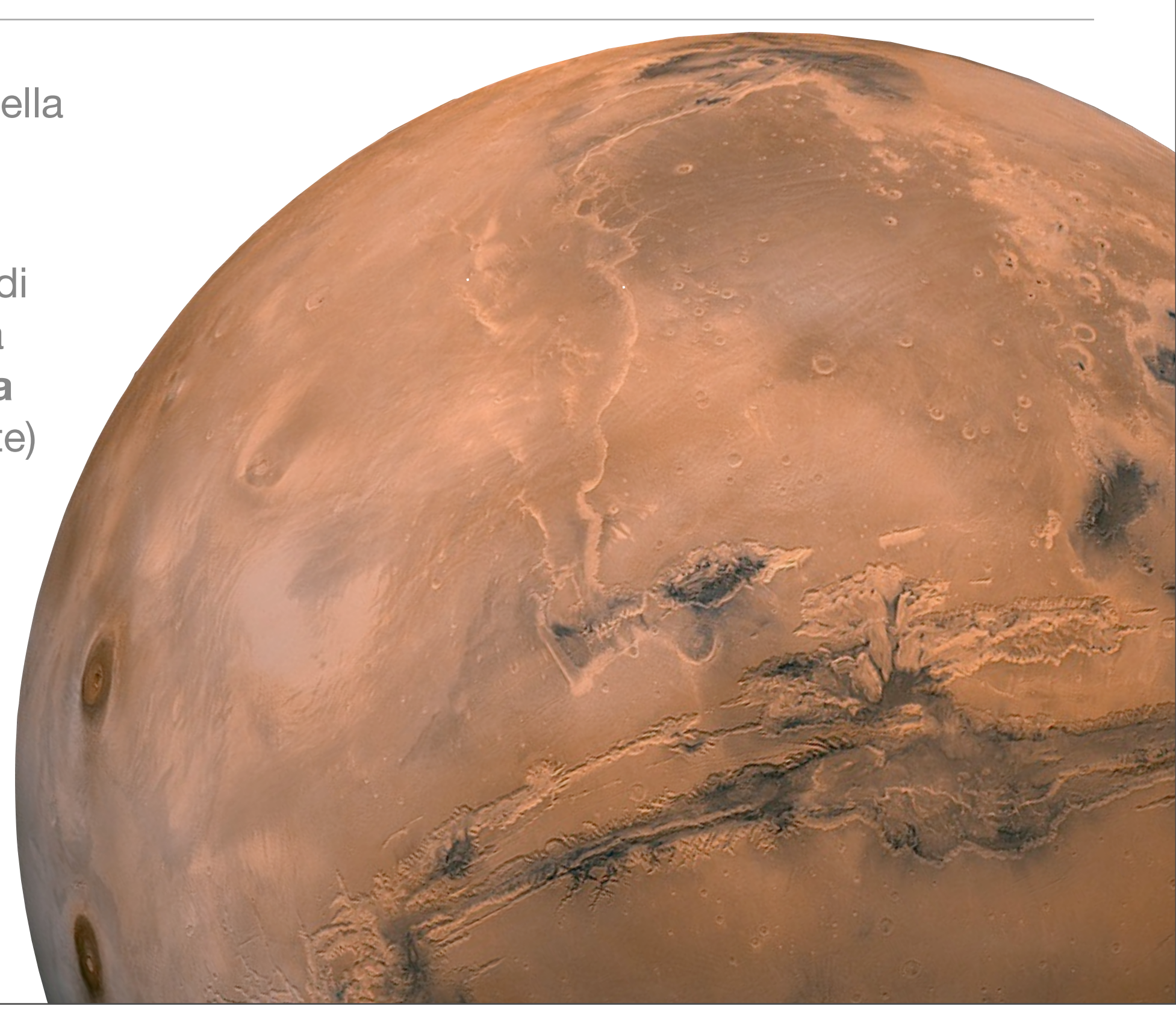
 Linea conduttrice di queste missioni: la ricerca dell'acqua (passata o presente)



 Recenti missioni della NASA

 Linea conduttrice di queste missioni: la ricerca dell'acqua (passata o presente)

 Similitudine con la Terra



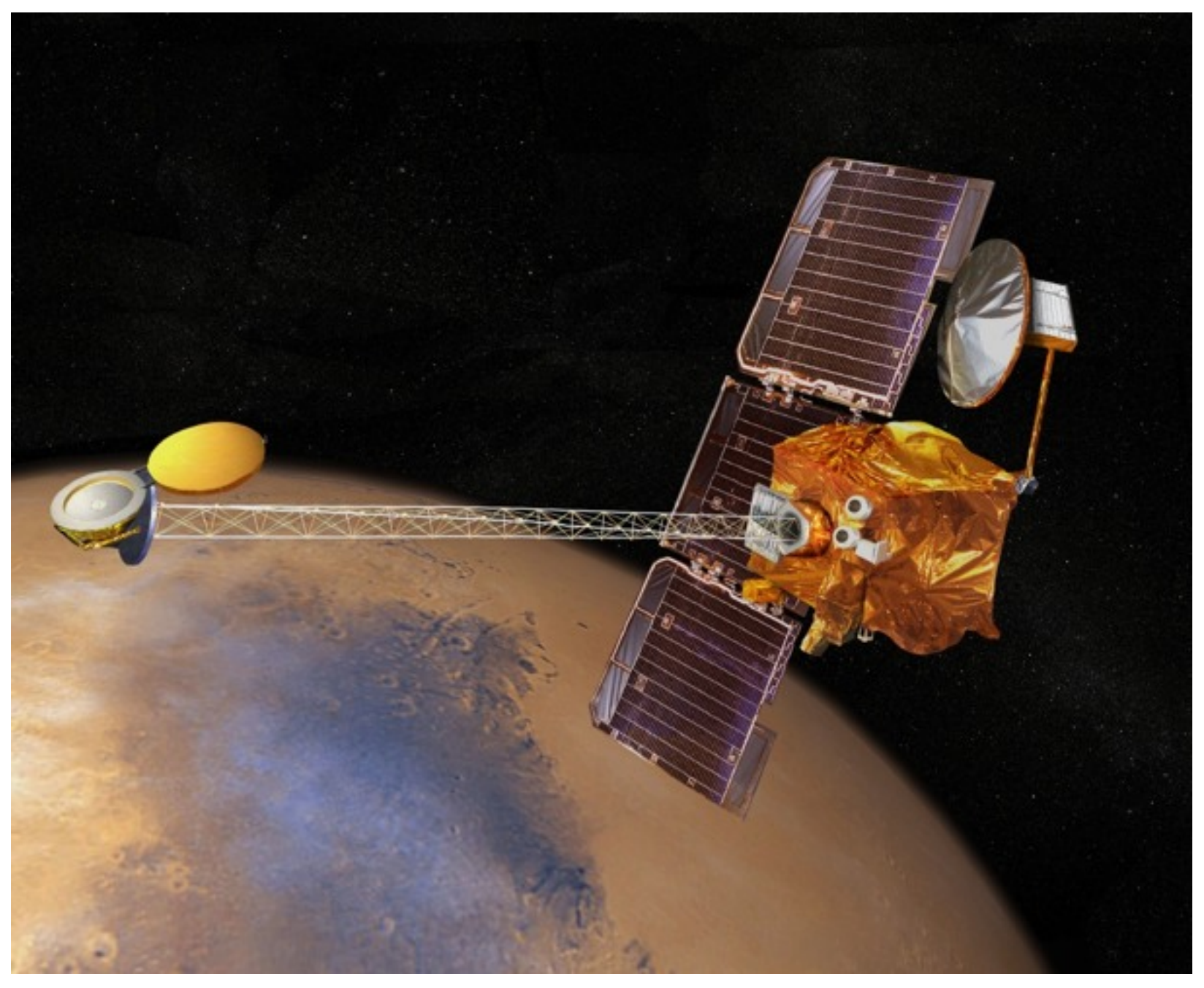
#### Recenti missioni della NASA:

1. Mars Global Surveyor (novembre 1996)



#### Recenti missioni della NASA:

2. 2001 Mars Odyssey (aprile 2001)



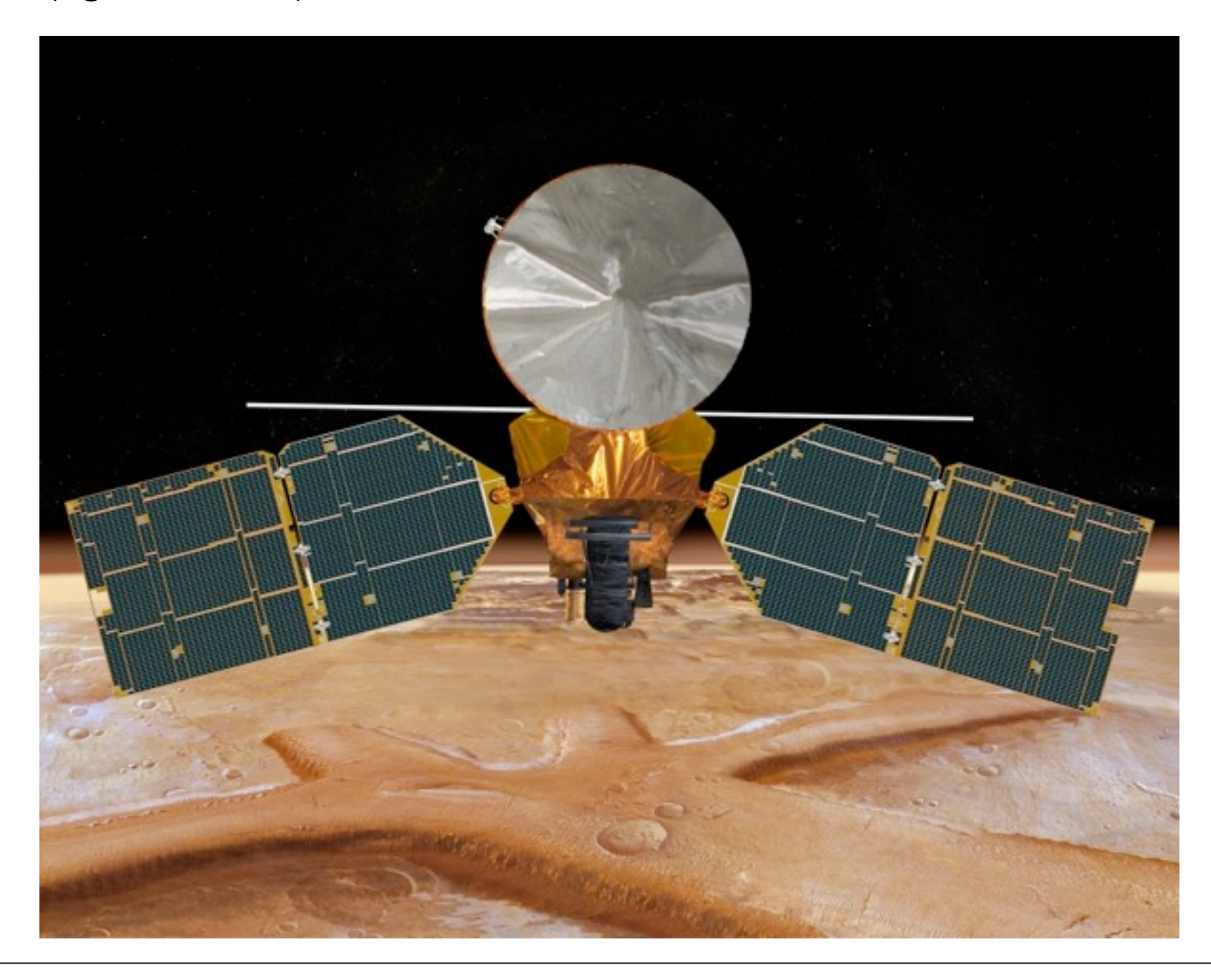
#### Recenti missioni della NASA:

3. Mars Exploration Rovers (giugno e luglio 2003)



#### Recenti missioni della NASA:

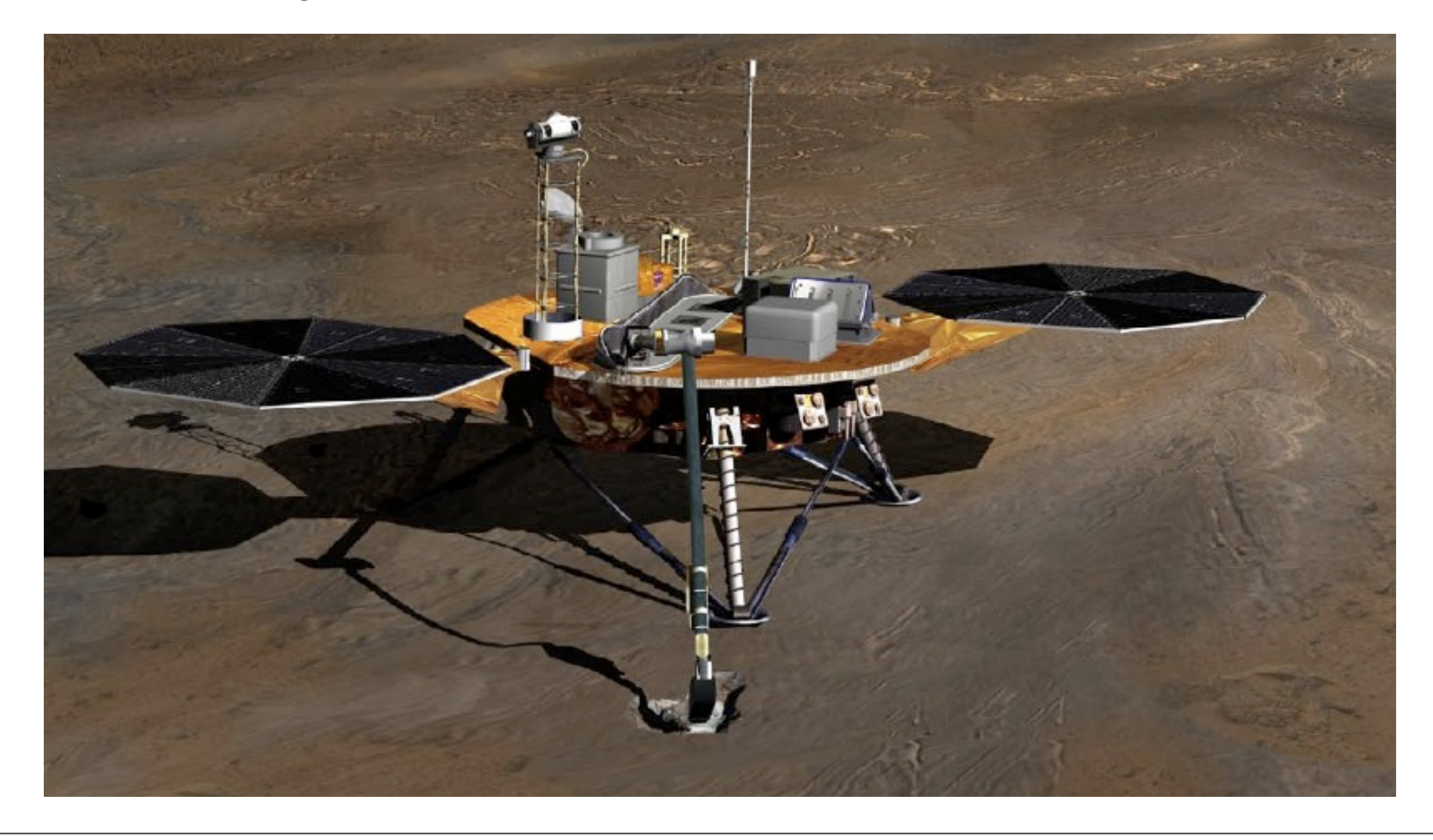
4. Mars Reconnaissance Orbiter (agosto 2005)



#### La ricerca della vita su Marte

#### Recenti missioni della NASA:

5. Phoenix Mars Lander (agosto 2007)





• 1/2 del diametro terrestre e 1.5 più distante.



• 1/2 del diametro terrestre e 1.5 più distante.

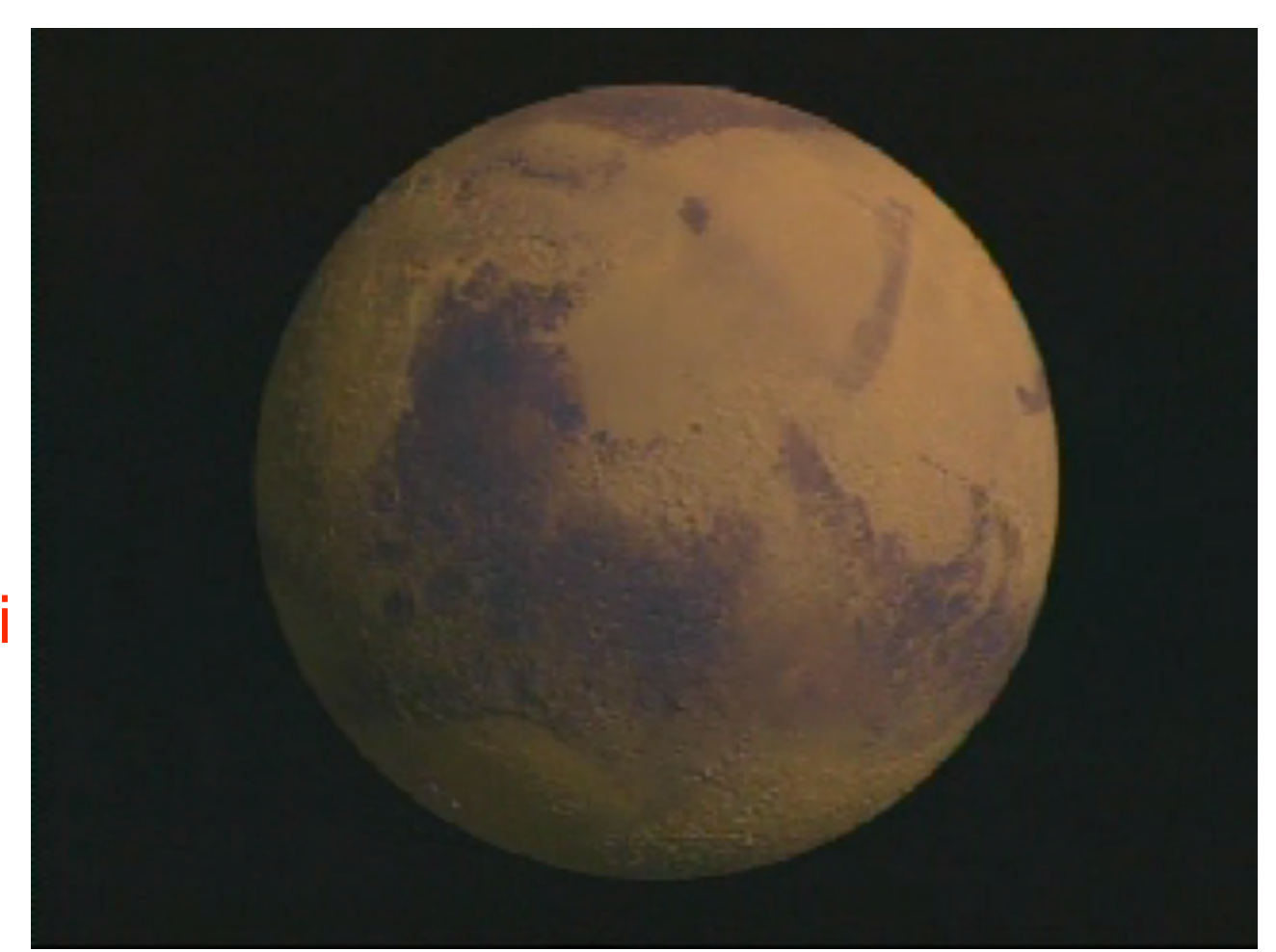
• Pressione atmosferica: 1 - 14 mbar.



- 1/2 del diametro terrestre e 1.5 più distante.
- Pressione atmosferica: 1 14 mbar.
- Atmosfera composta al 99% di CO<sub>2</sub>



- 1/2 del diametro terrestre e 1.5 più distante.
- Pressione atmosferica: 1 14 mbar.
- Atmosfera composta al 99% di CO<sub>2</sub>
- Stesso periodo di rotazione ⇒ giorno di 24 ore e 40 min.



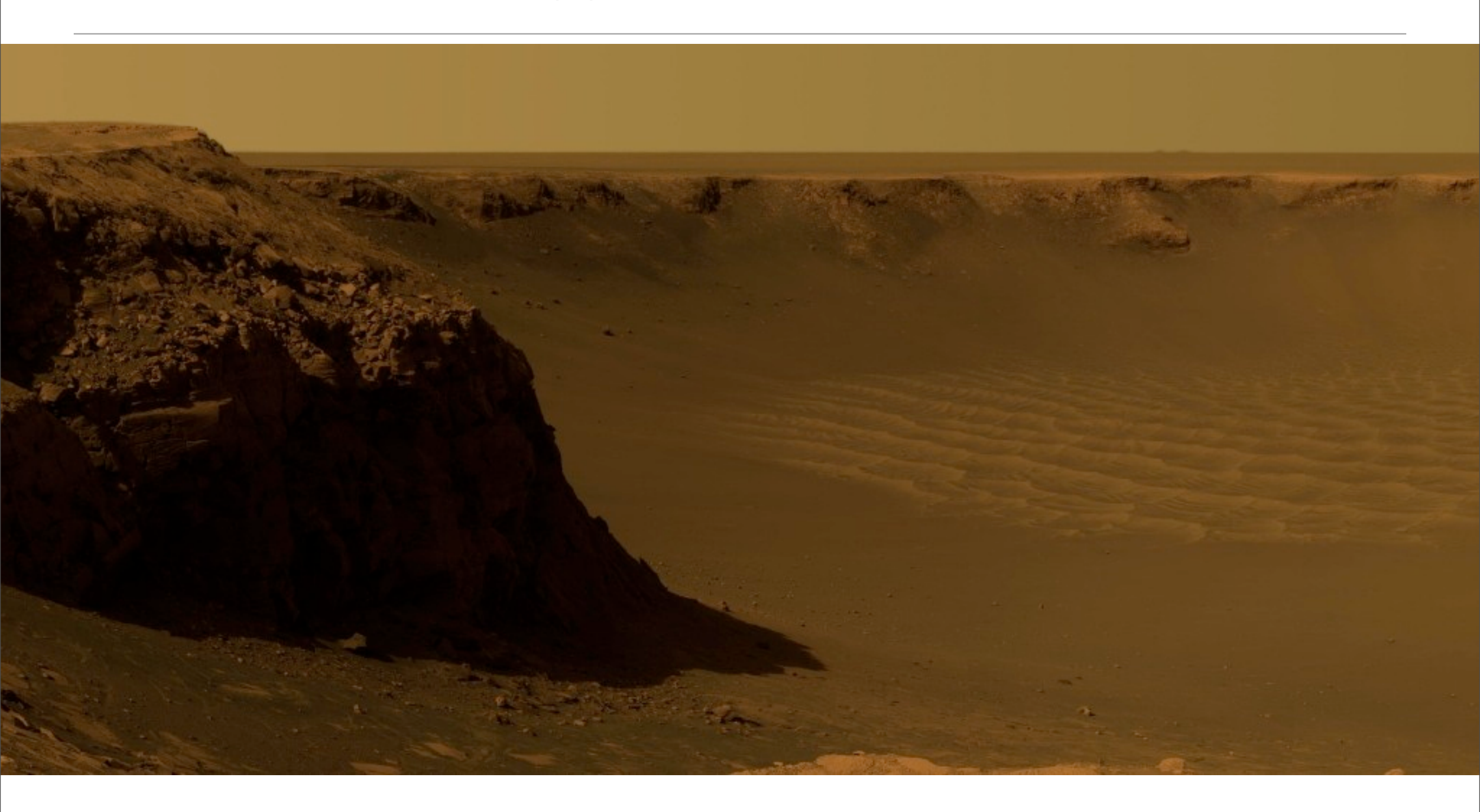
- 1/2 del diametro terrestre e 1.5 più distante.
- Pressione atmosferica: 1 14 mbar.
- Atmosfera composta al 99% di CO<sub>2</sub>

- Stesso periodo di rotazione ⇒ giorno di 24 ore e 40 min.
- Stessa obliquità ⇒ ciclo delle stagioni paragonabile.



# Il paesaggio su Marte

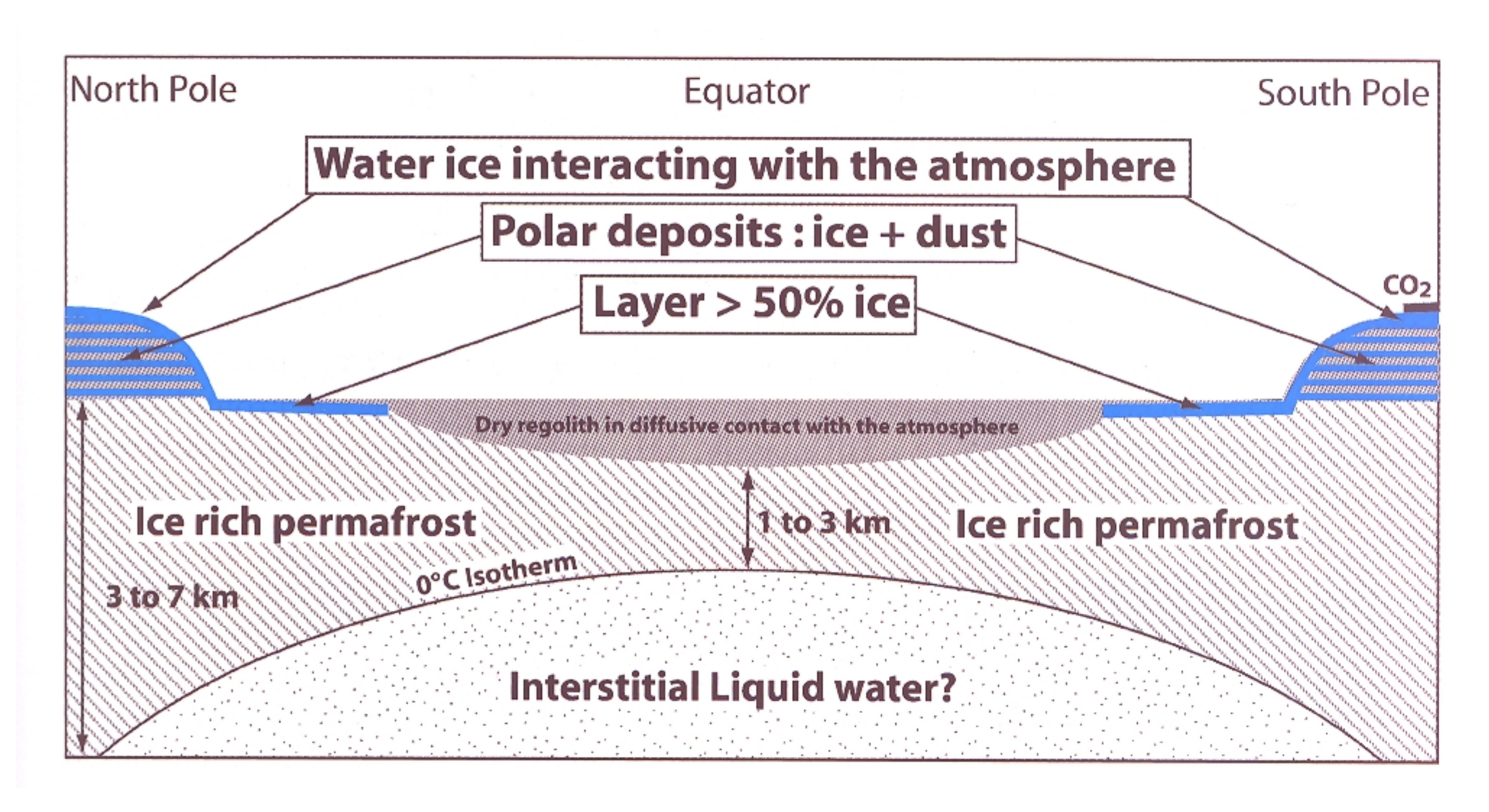






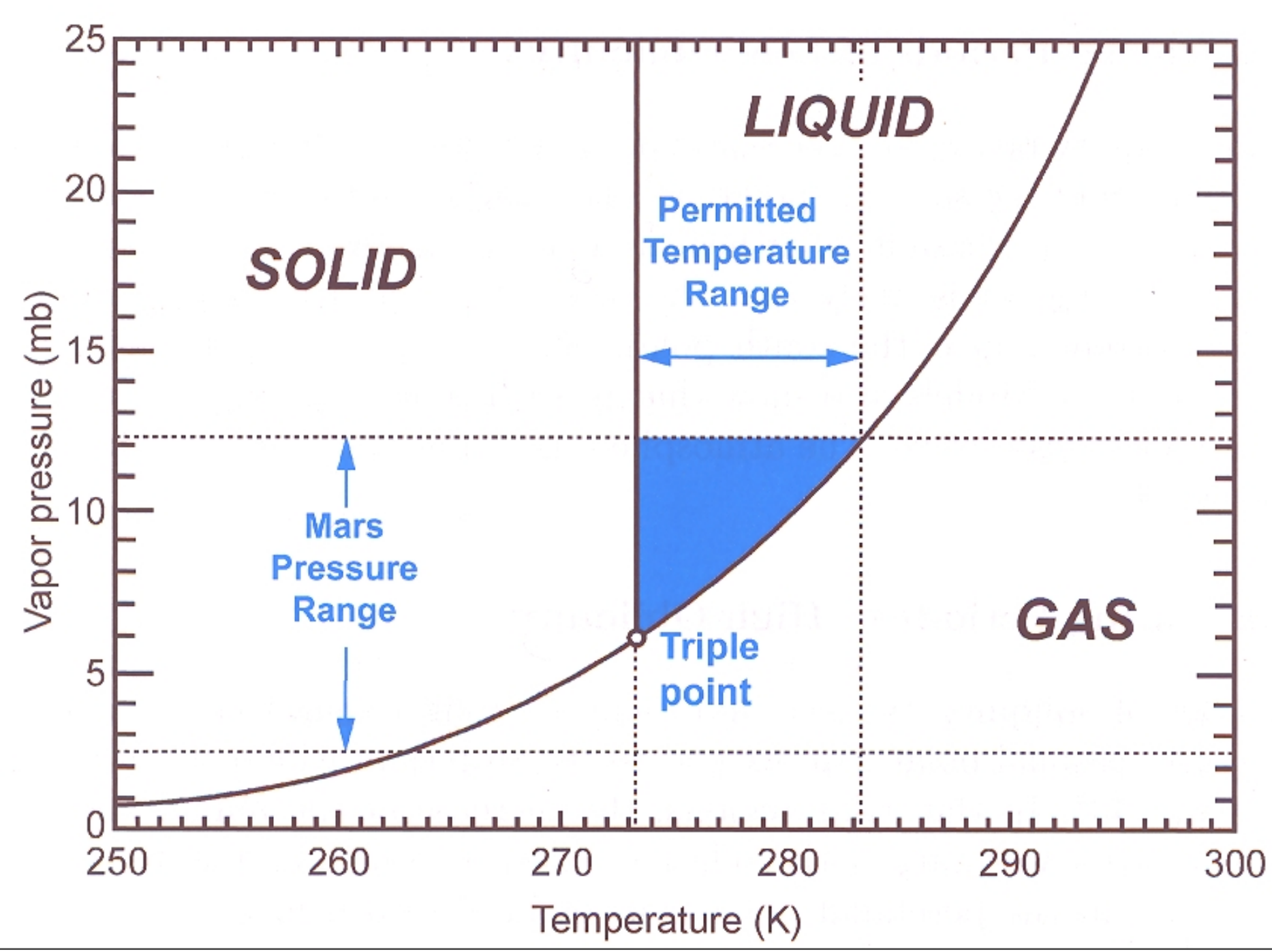
## L'acqua su Marte oggi

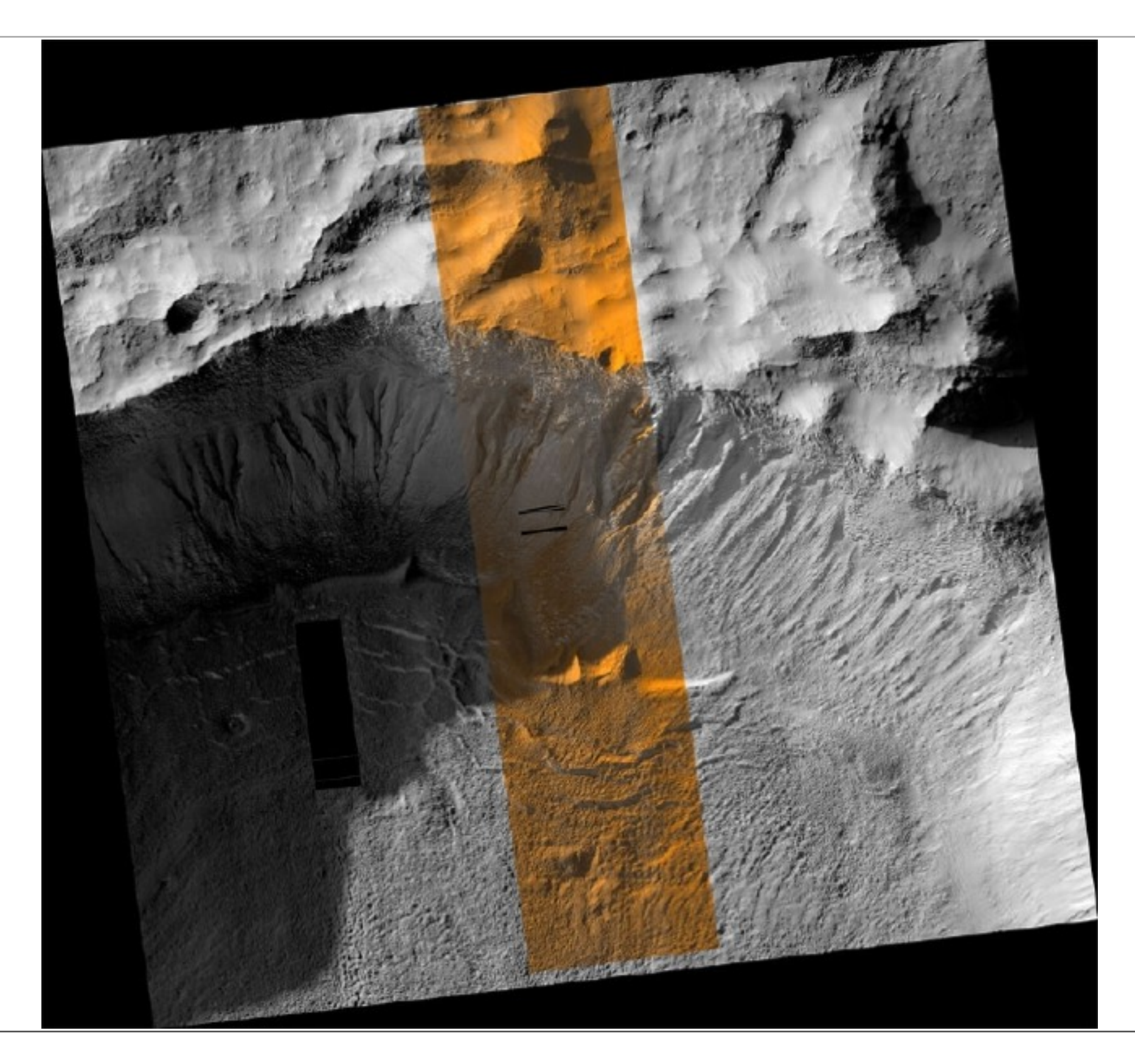
Sotto forma solida o gassosa, acqua dappertutto su Marte



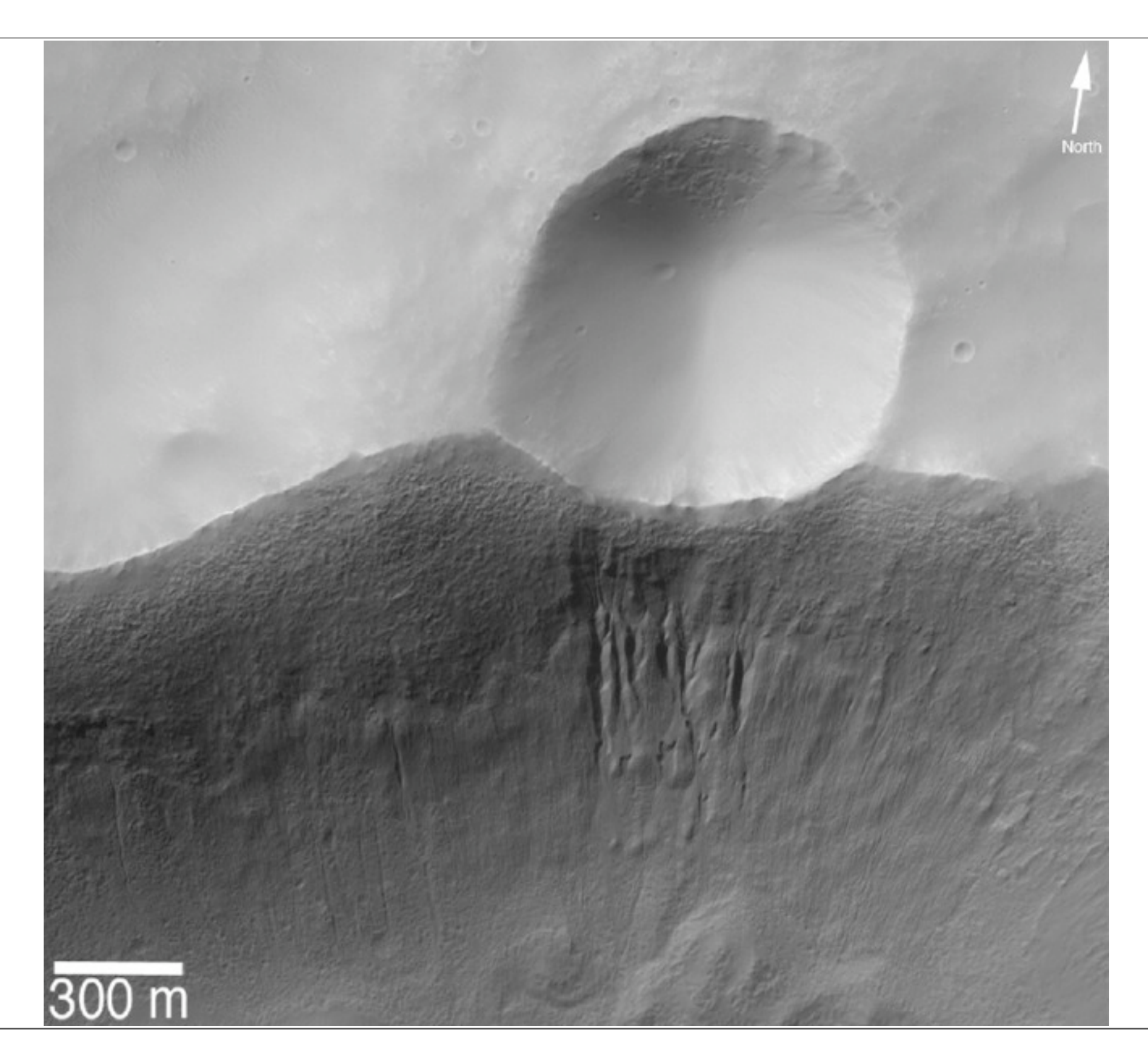
## L'acqua su Marte oggi

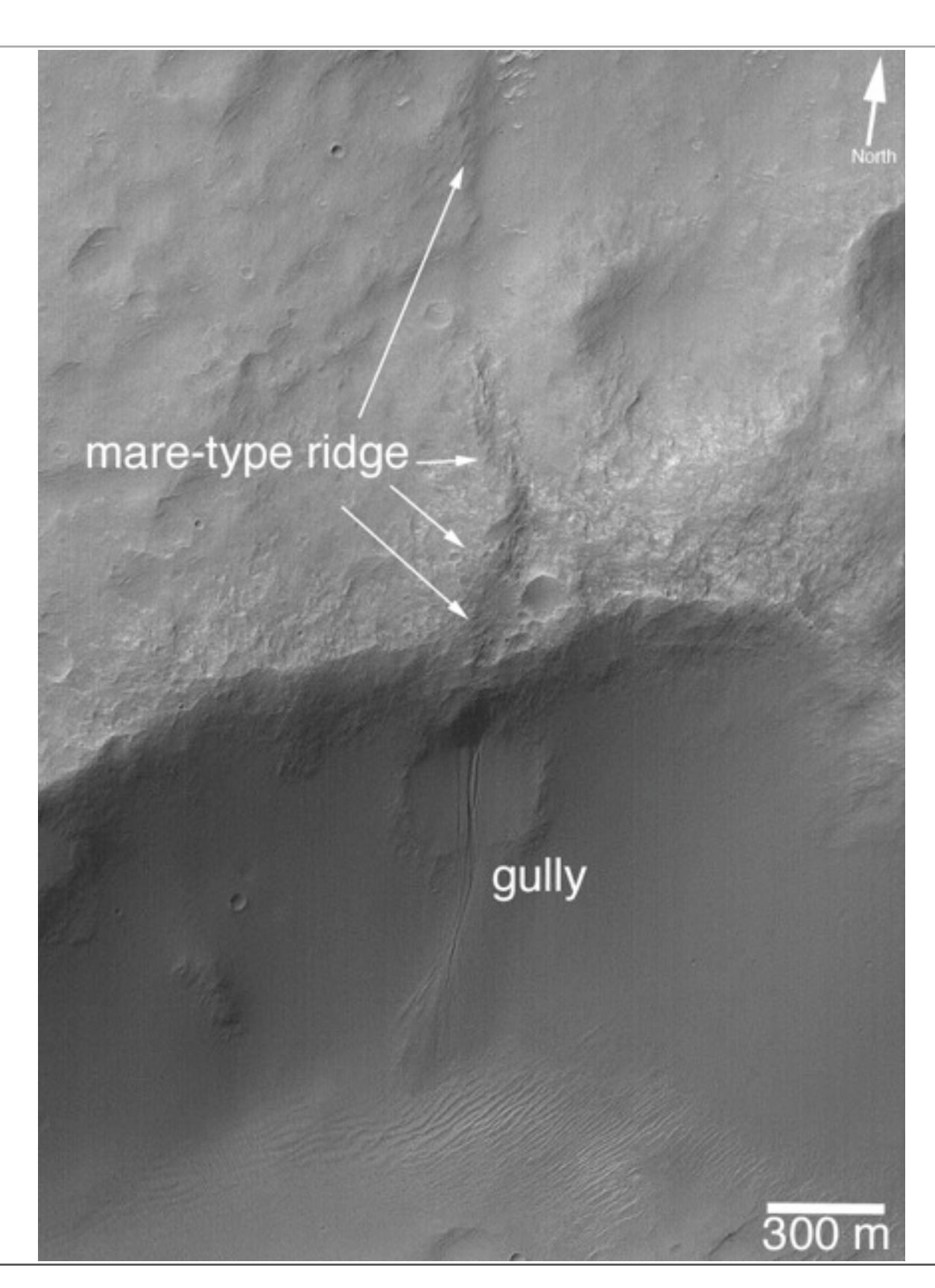
Sotto forma solida o gassosa, acqua dappertutto su Marte



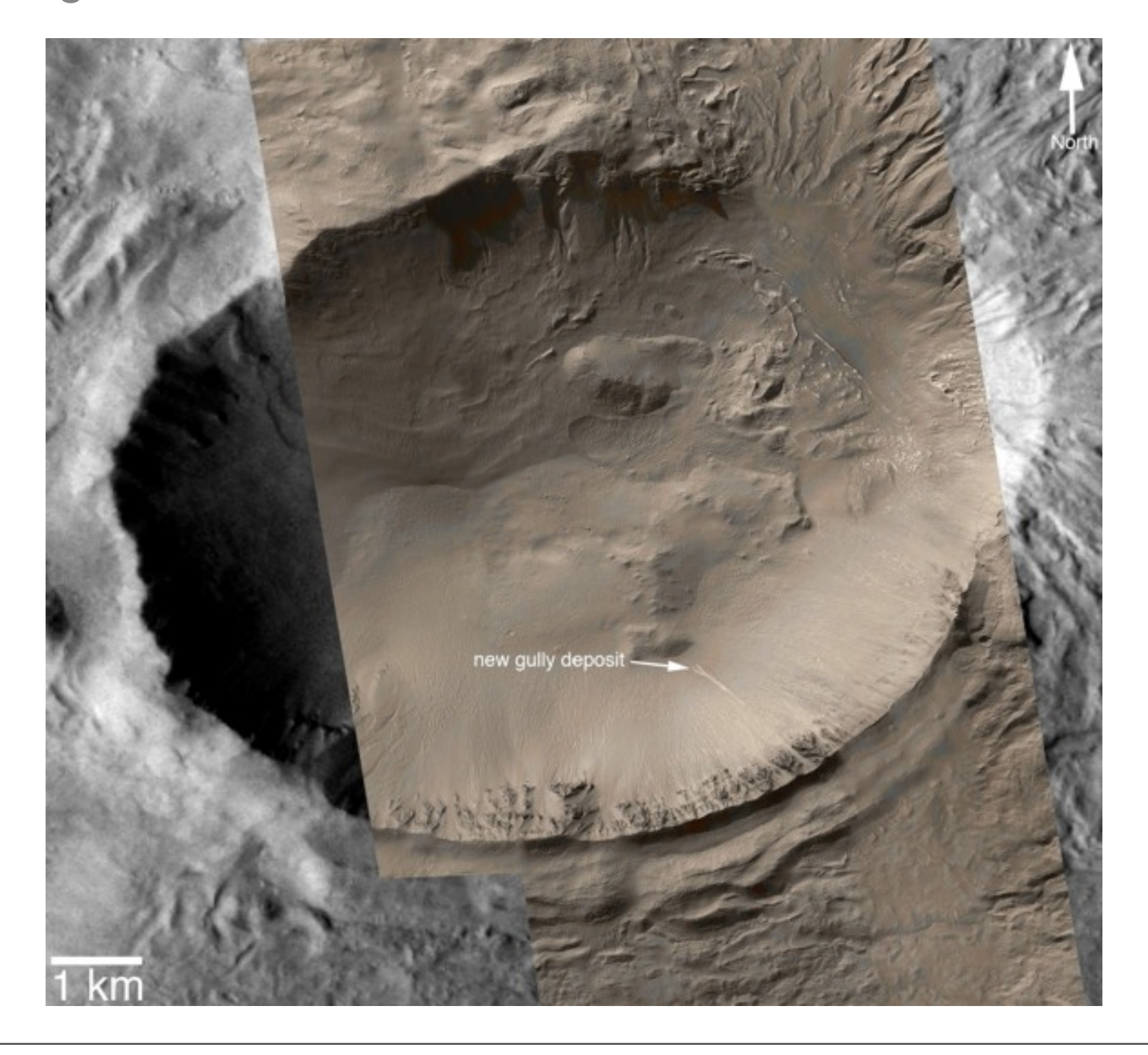




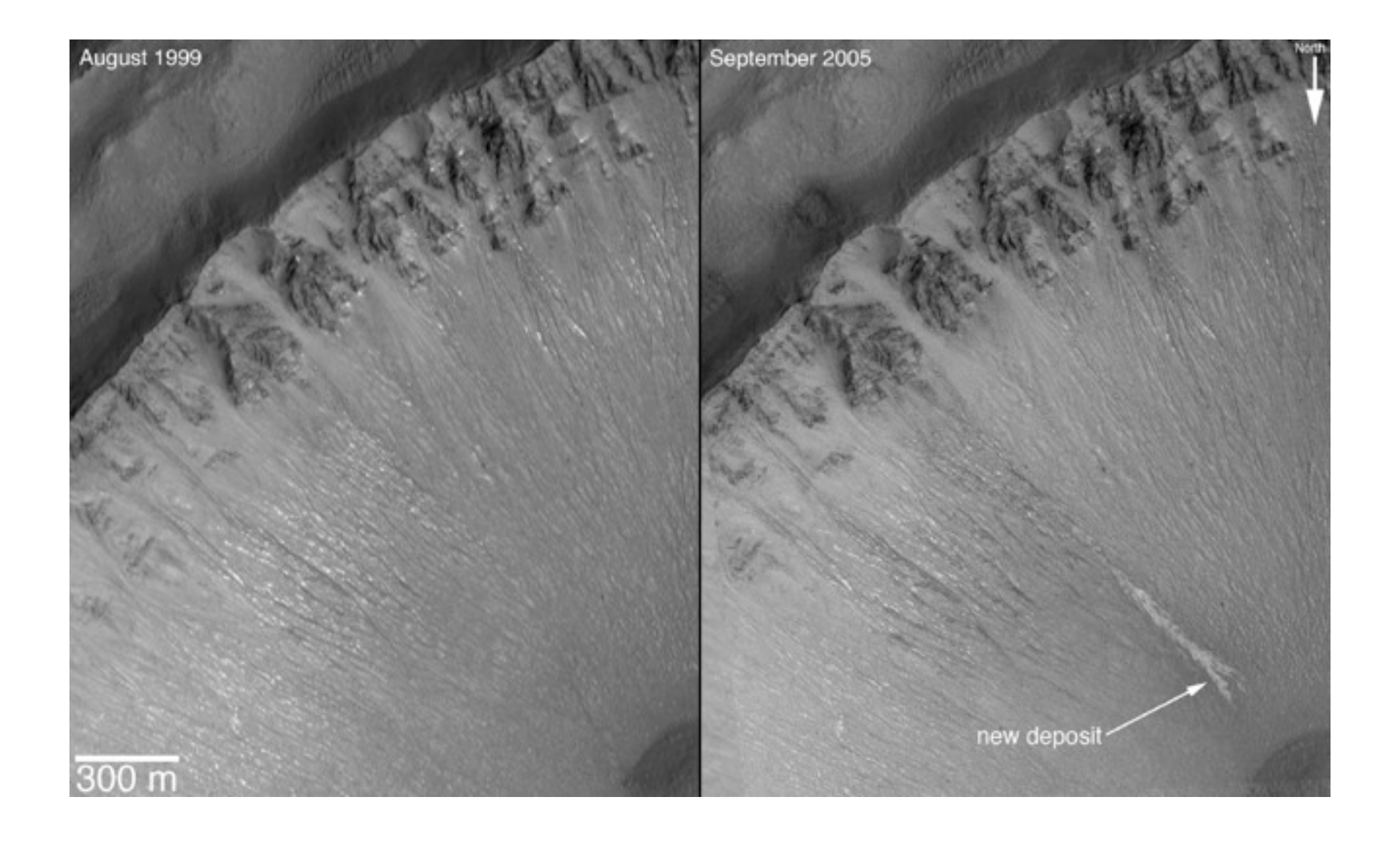




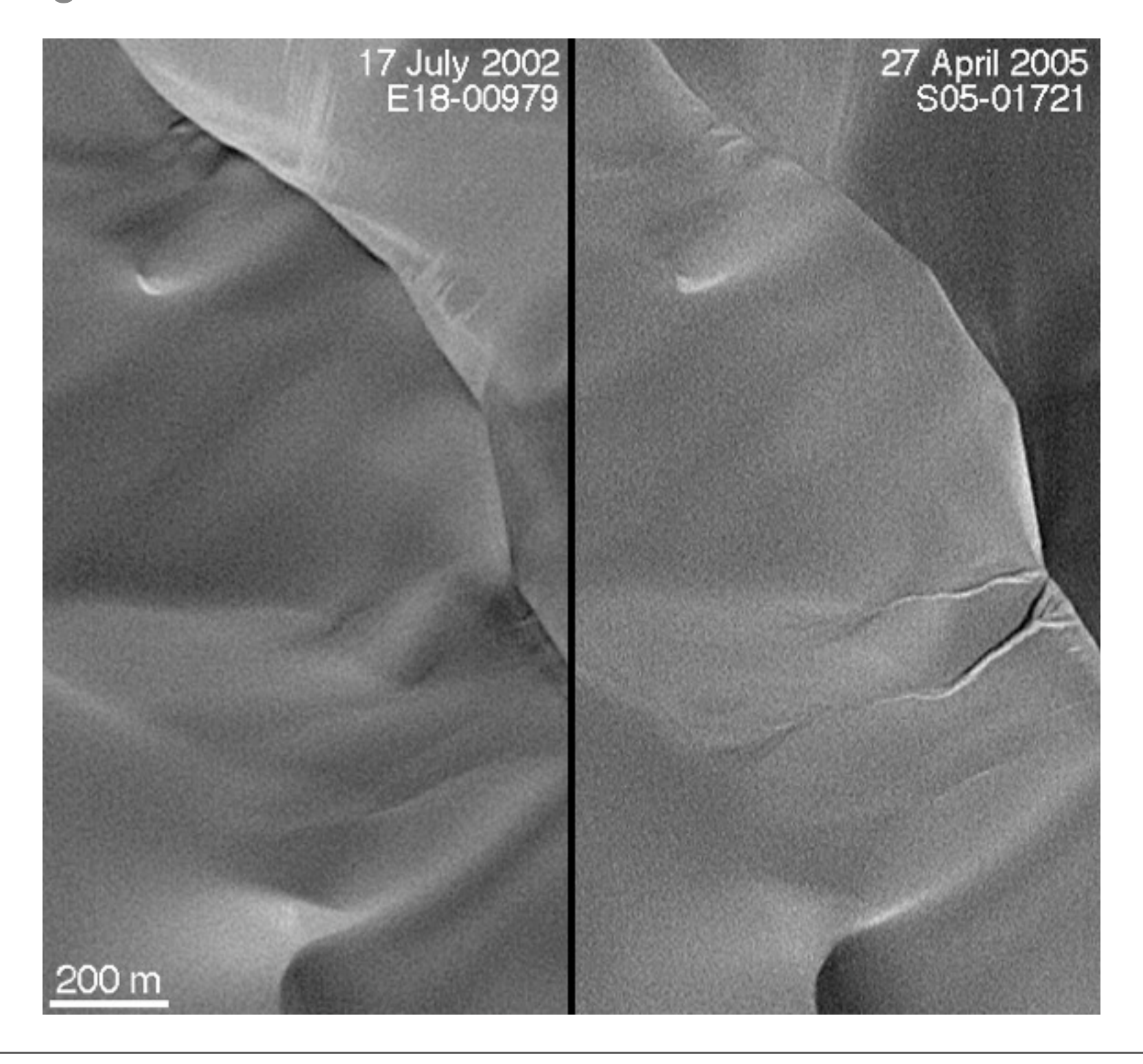
Quando queste gole si sono formate?



Quando queste gole si sono formate?



Quando queste gole si sono formate?

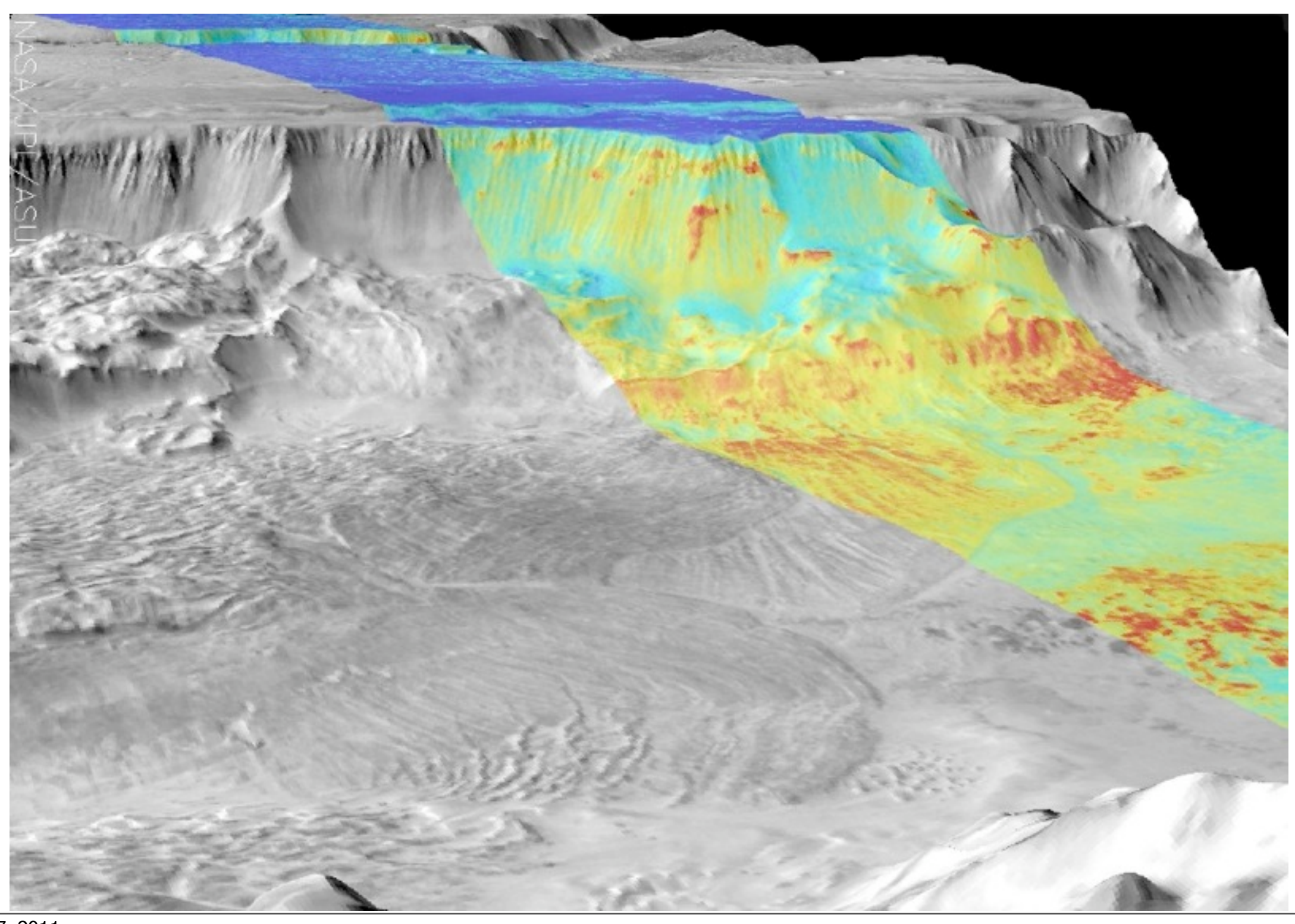




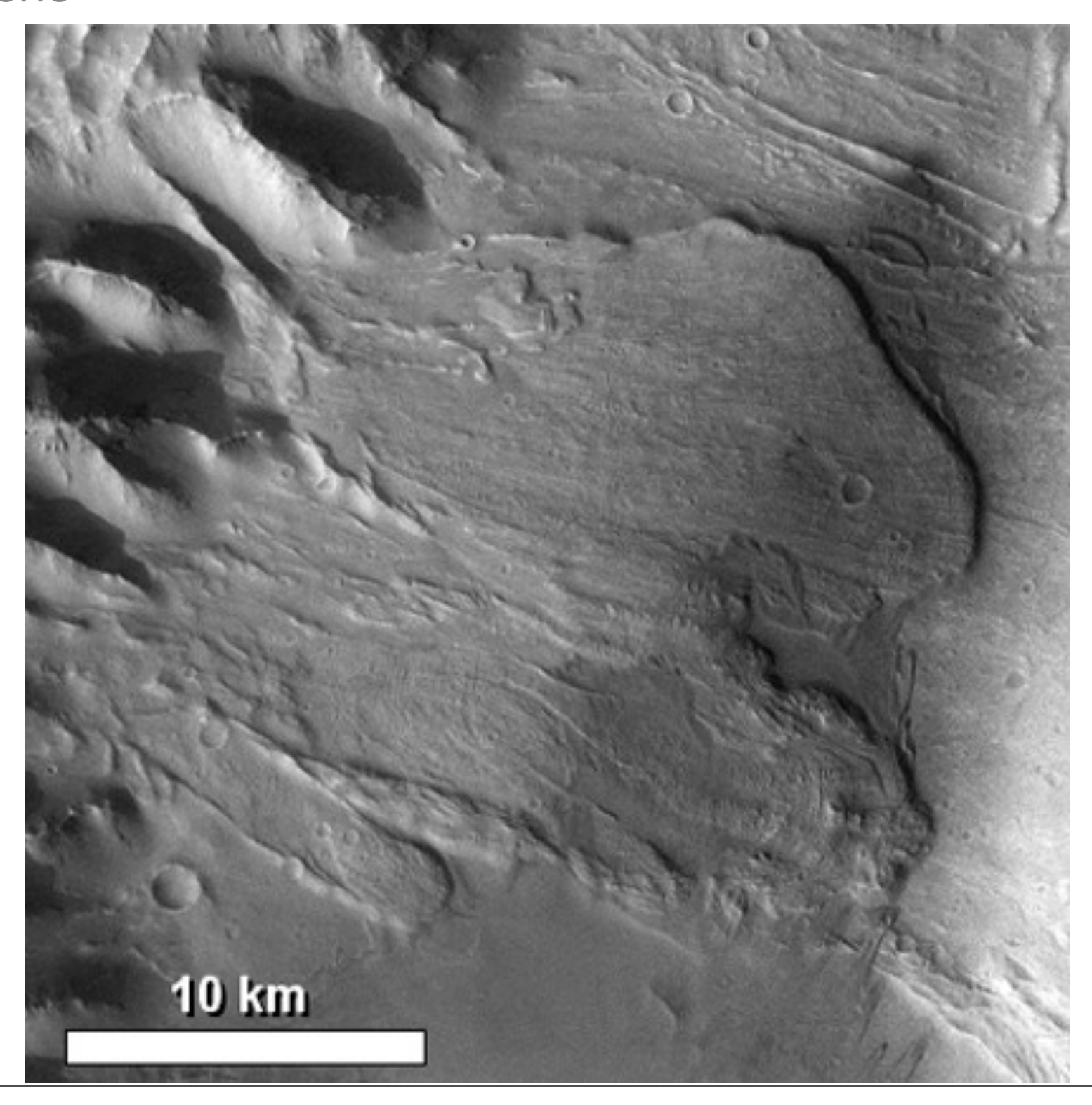
Eruzioni catastrofiche



#### Eruzioni catastrofiche



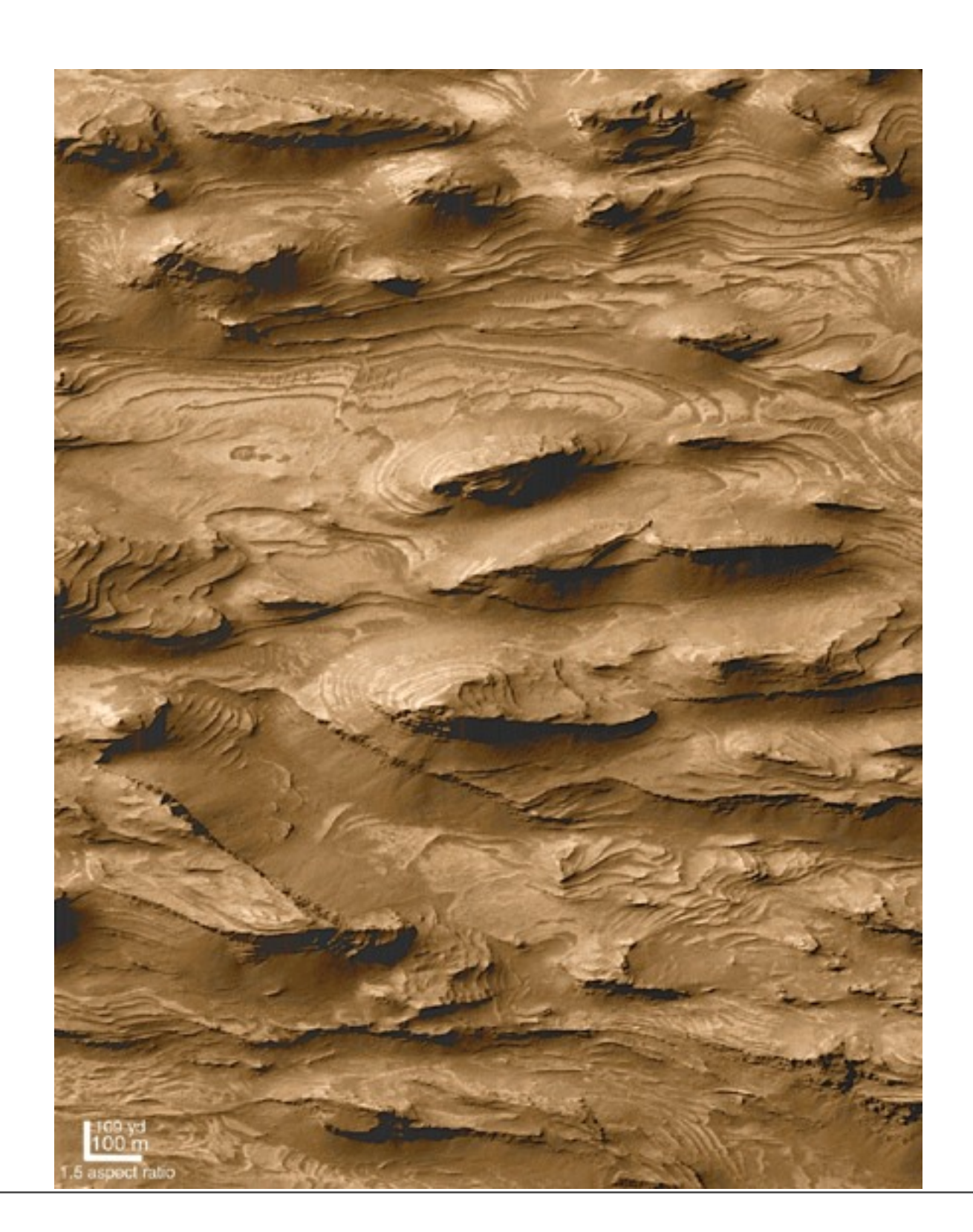
#### Eruzioni catastrofiche

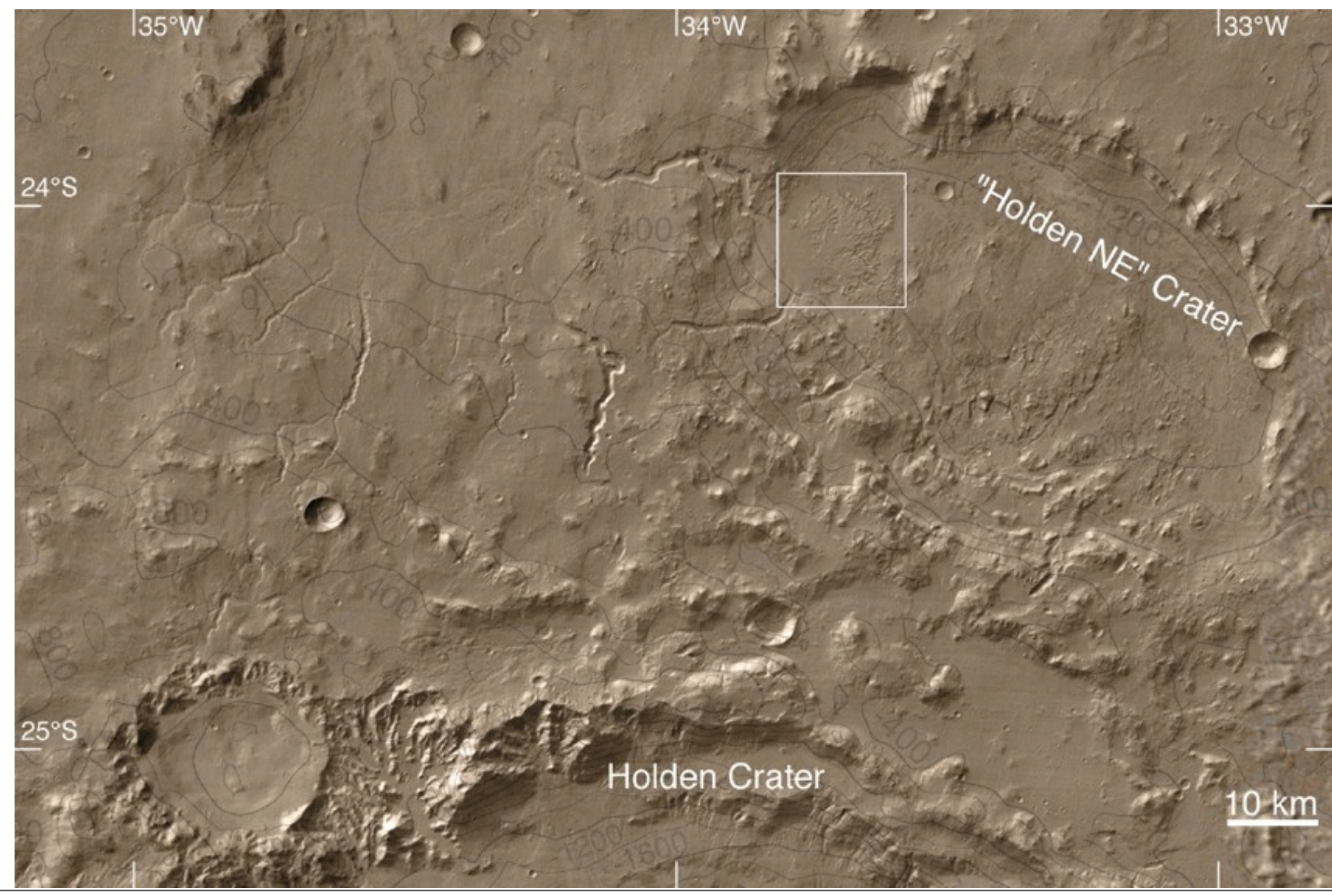


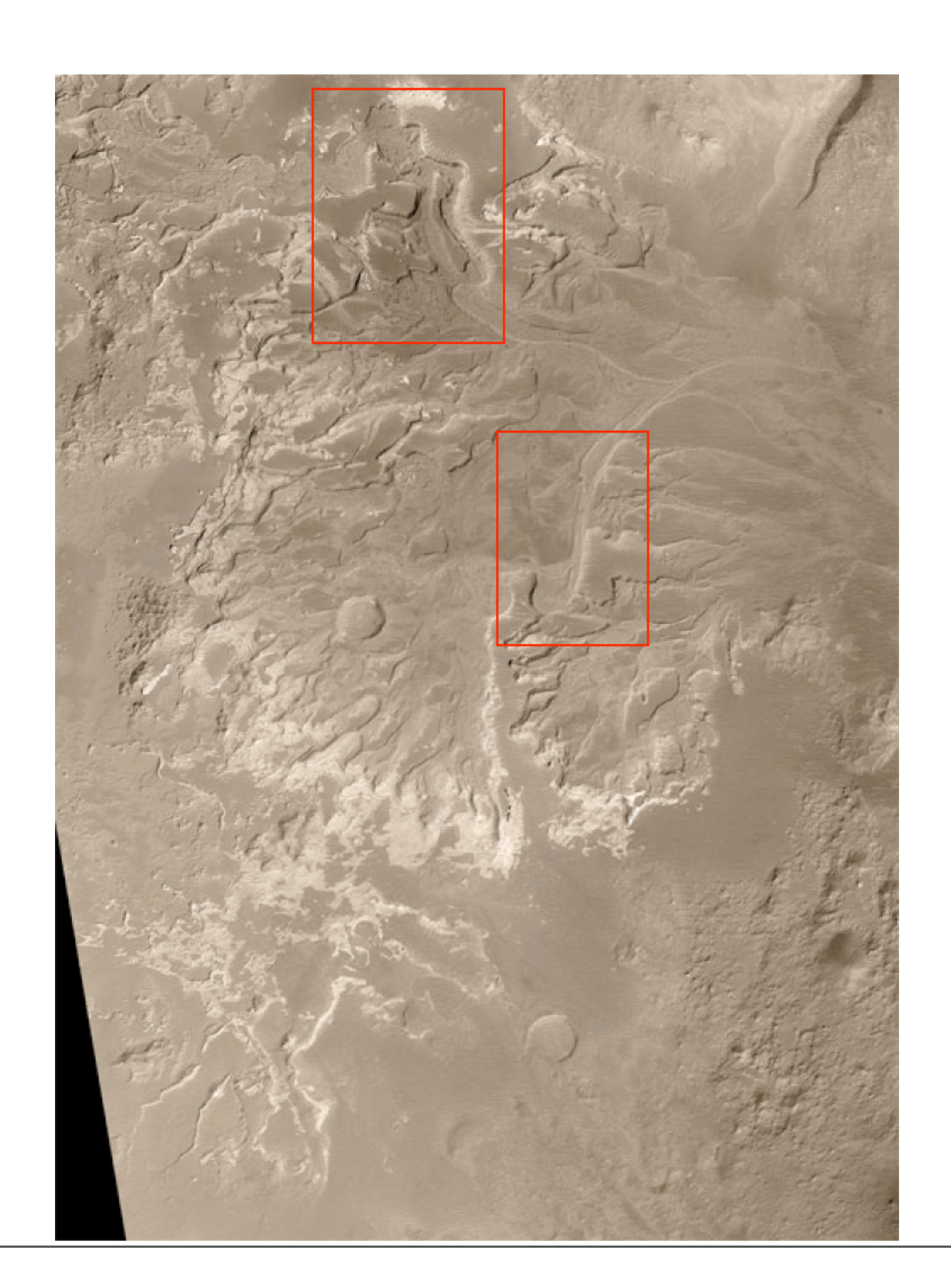
Sedimenti

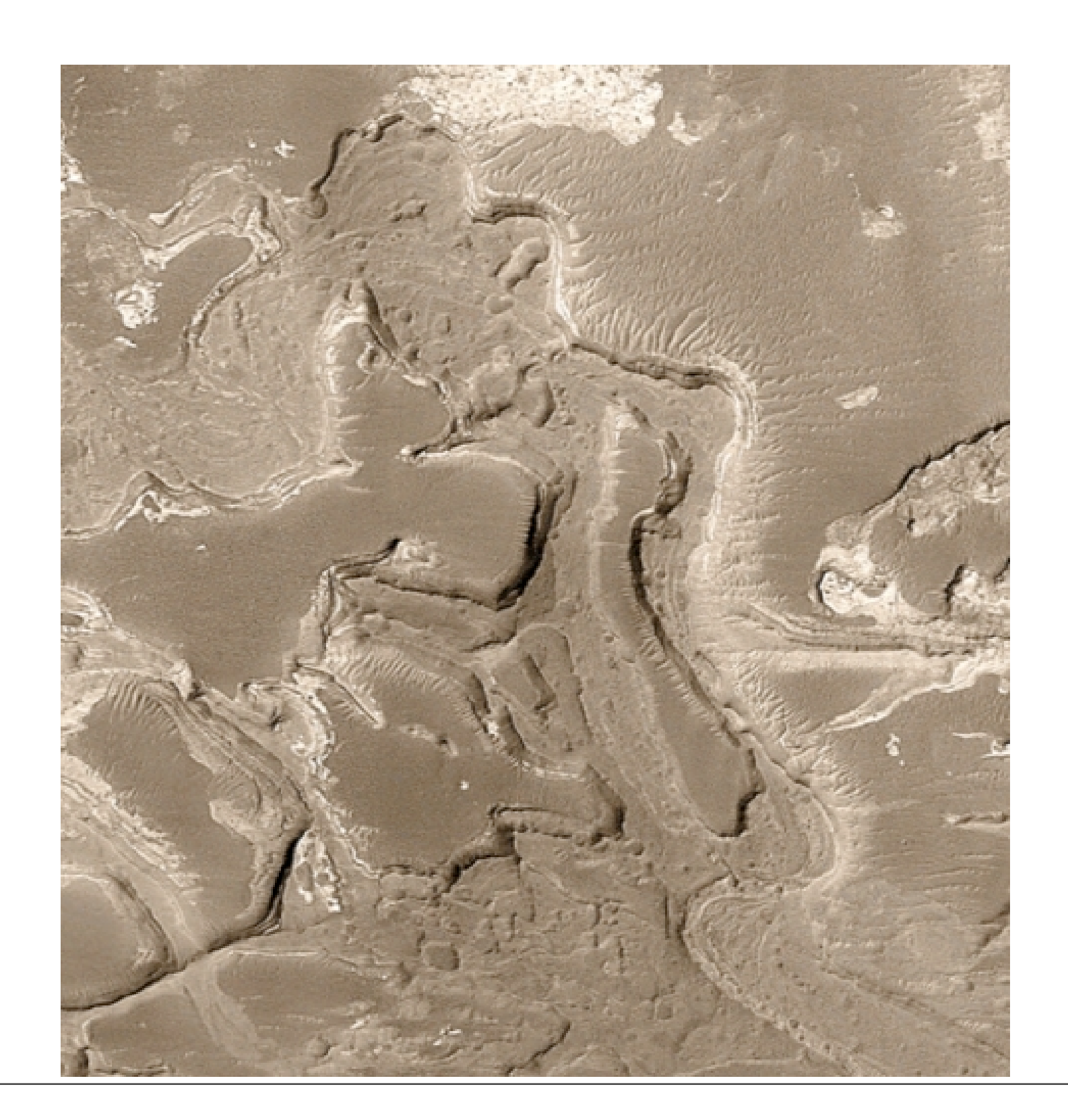


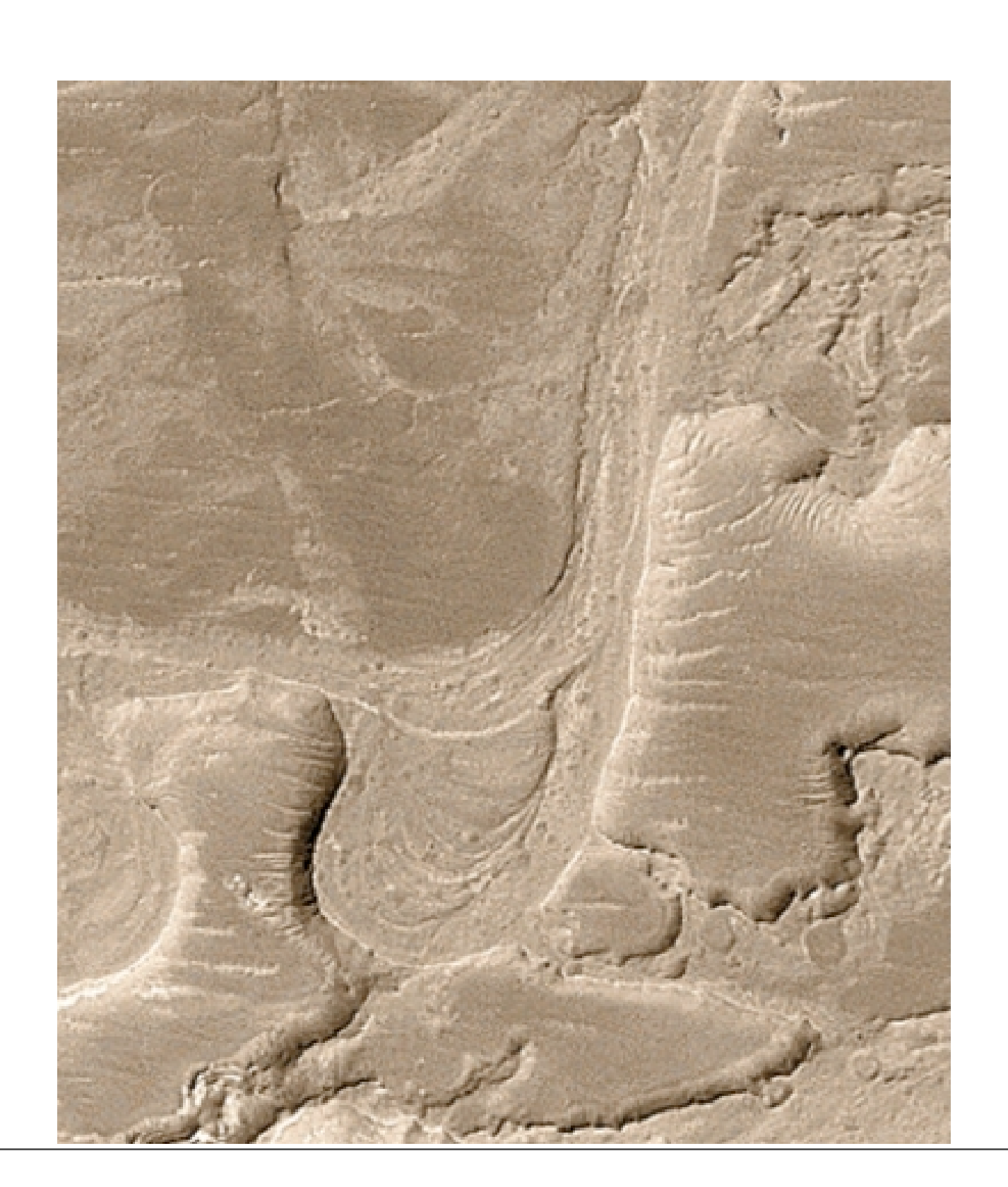
Sedimenti

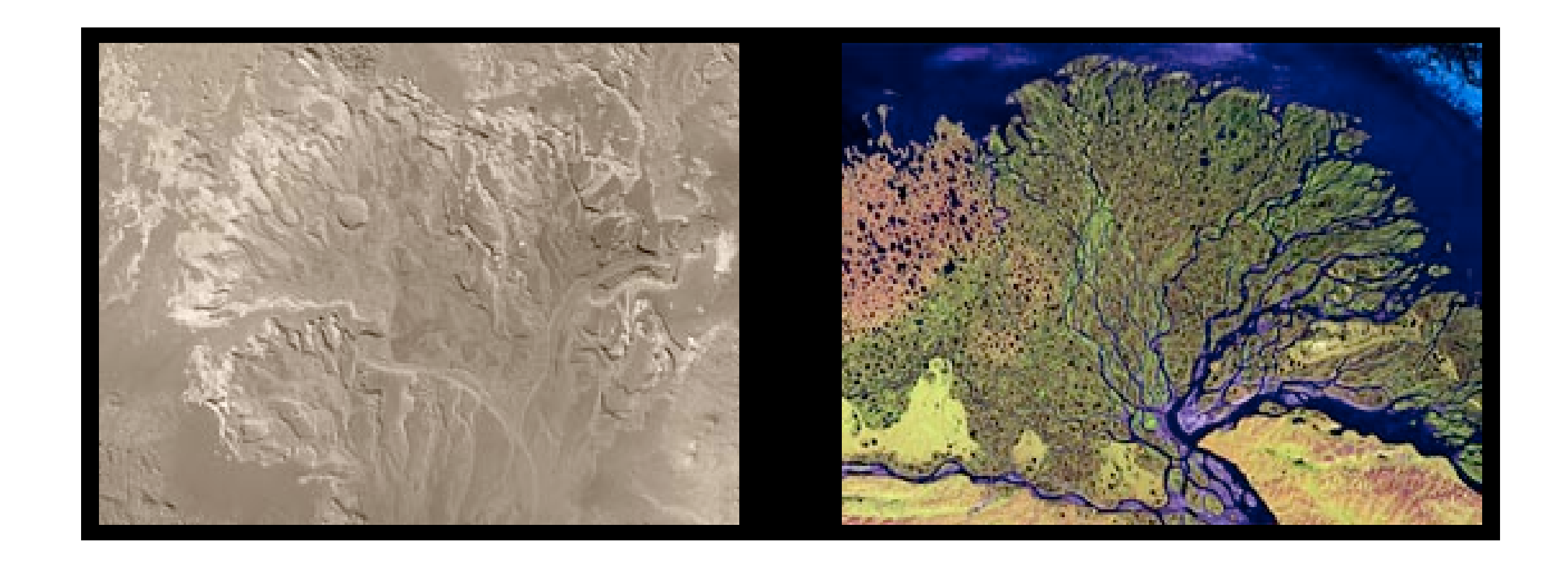


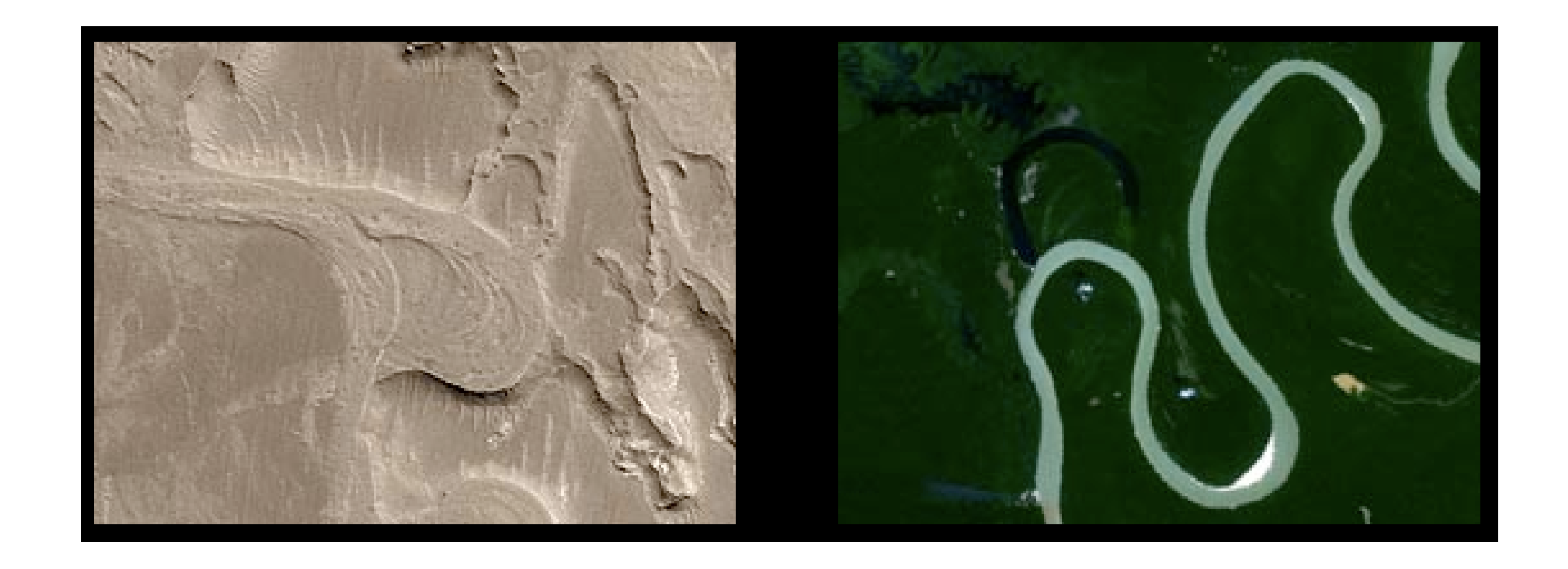




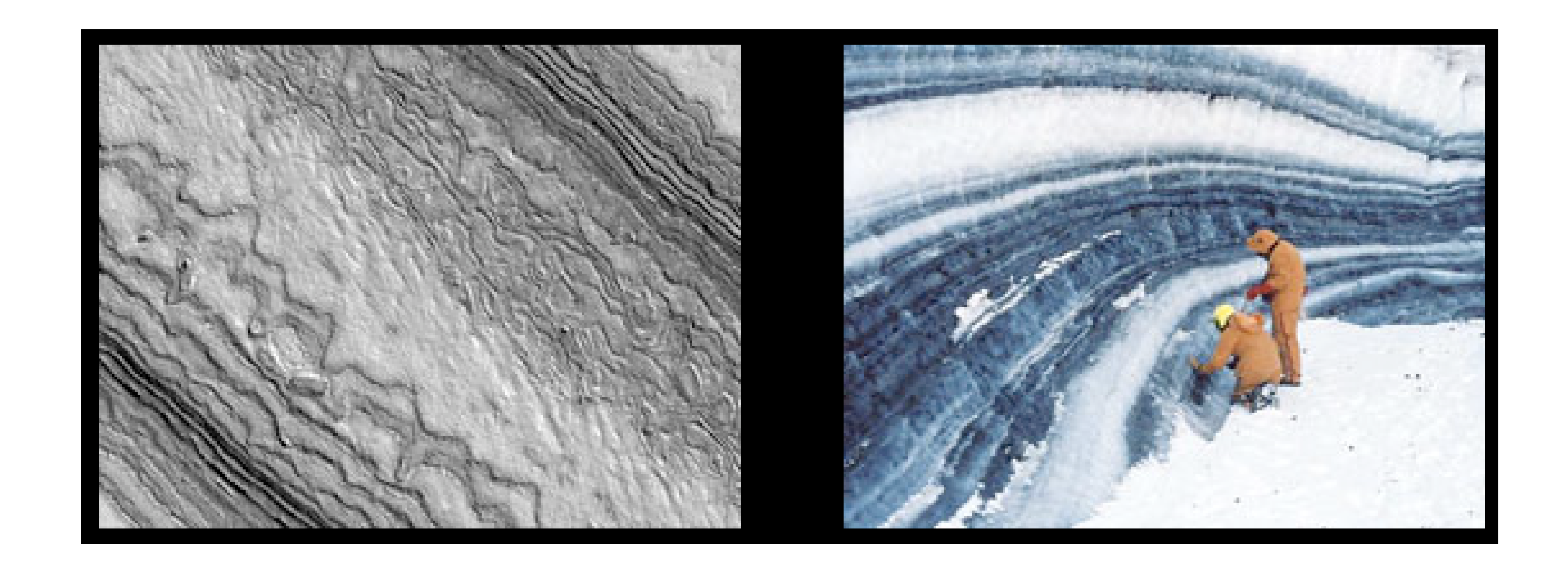


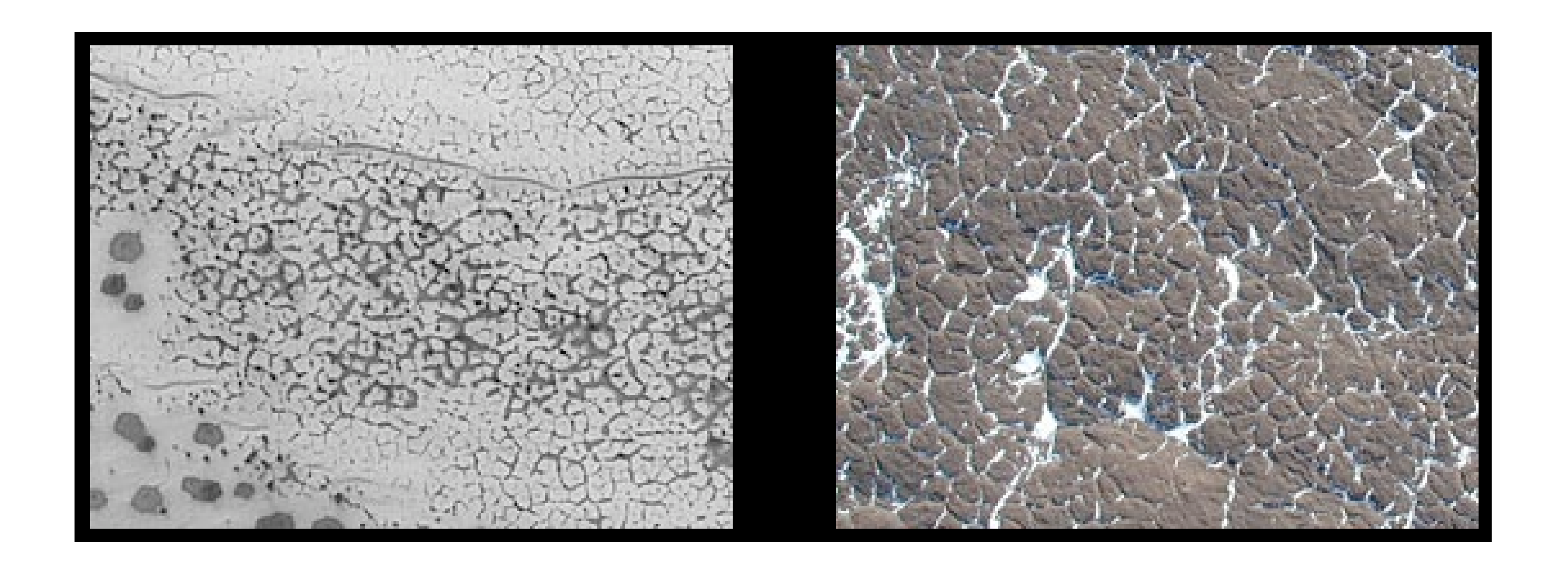


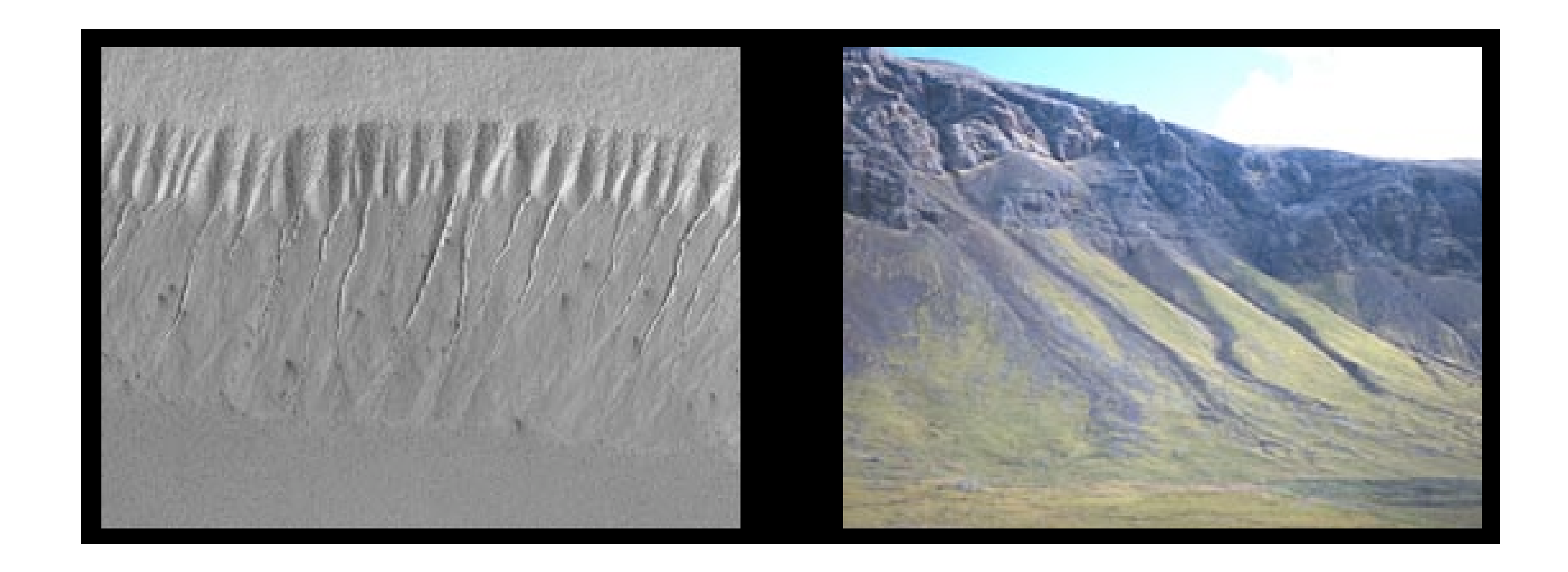














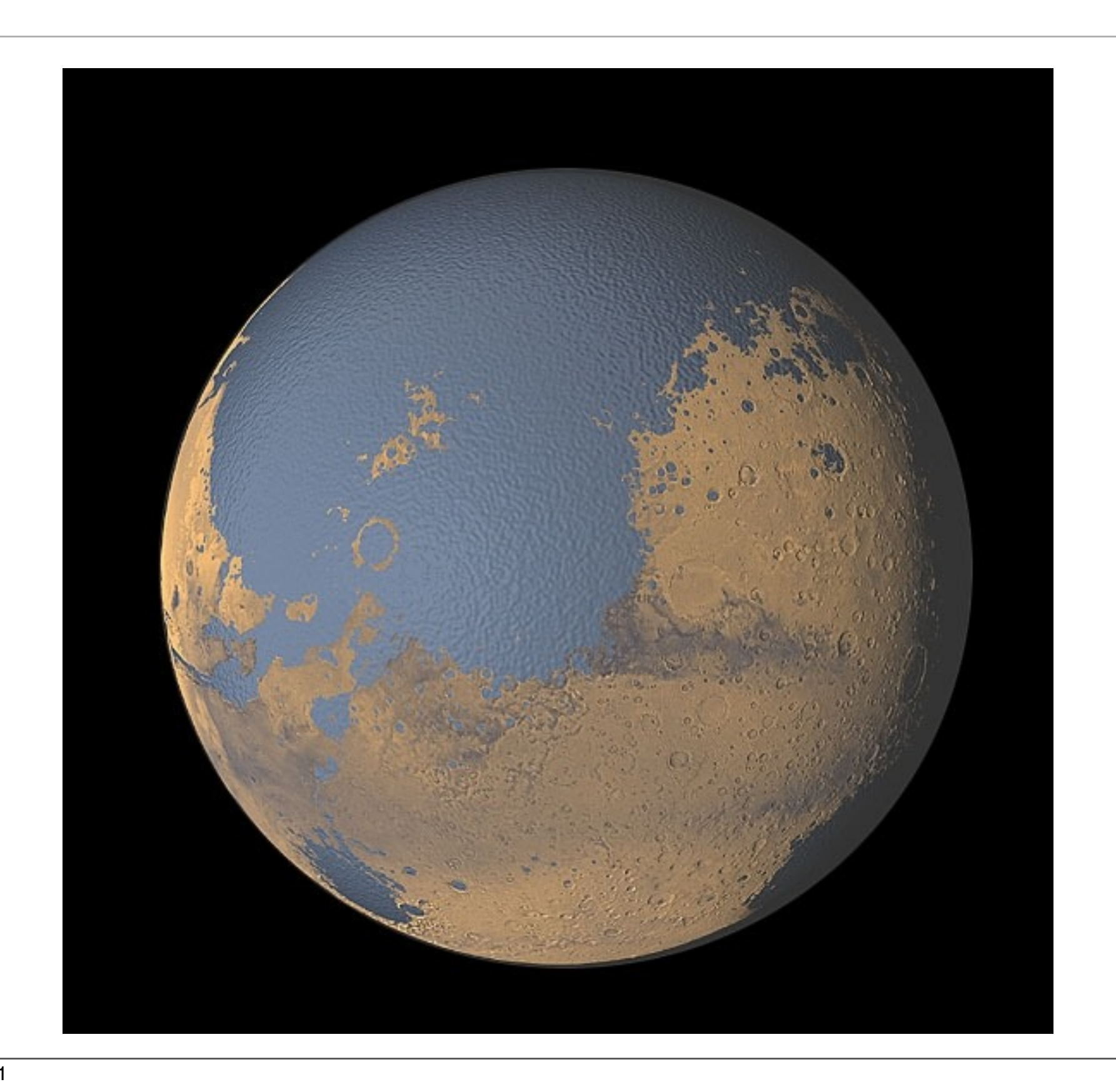
# Paragoni con l'azione dell'acqua sulla Terra



# Paragoni con l'azione dell'acqua sulla Terra

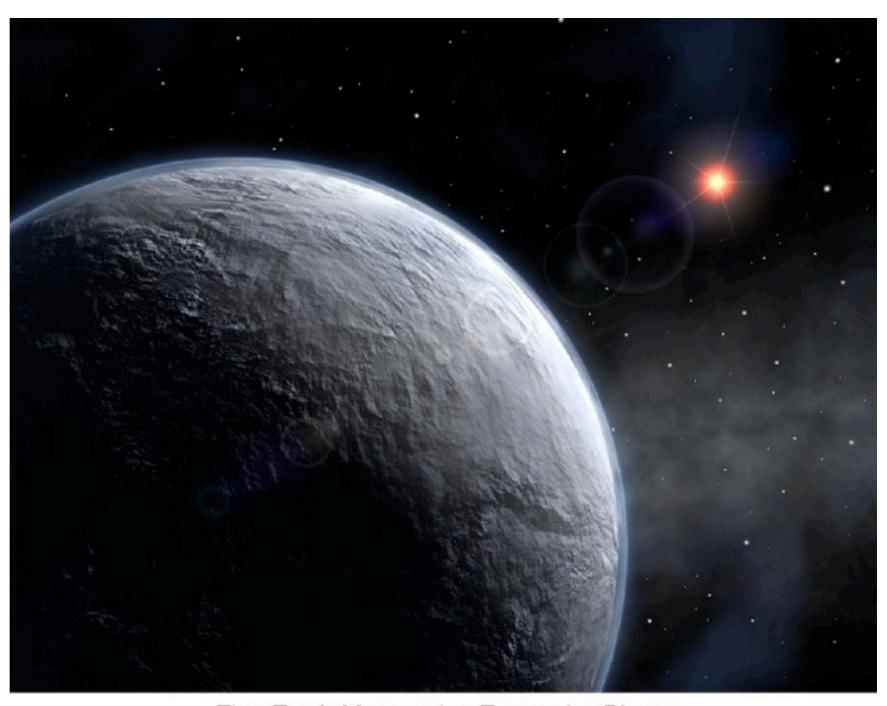


# L'enigma del clima antico di Marte



# L'enigma del clima antico di Marte

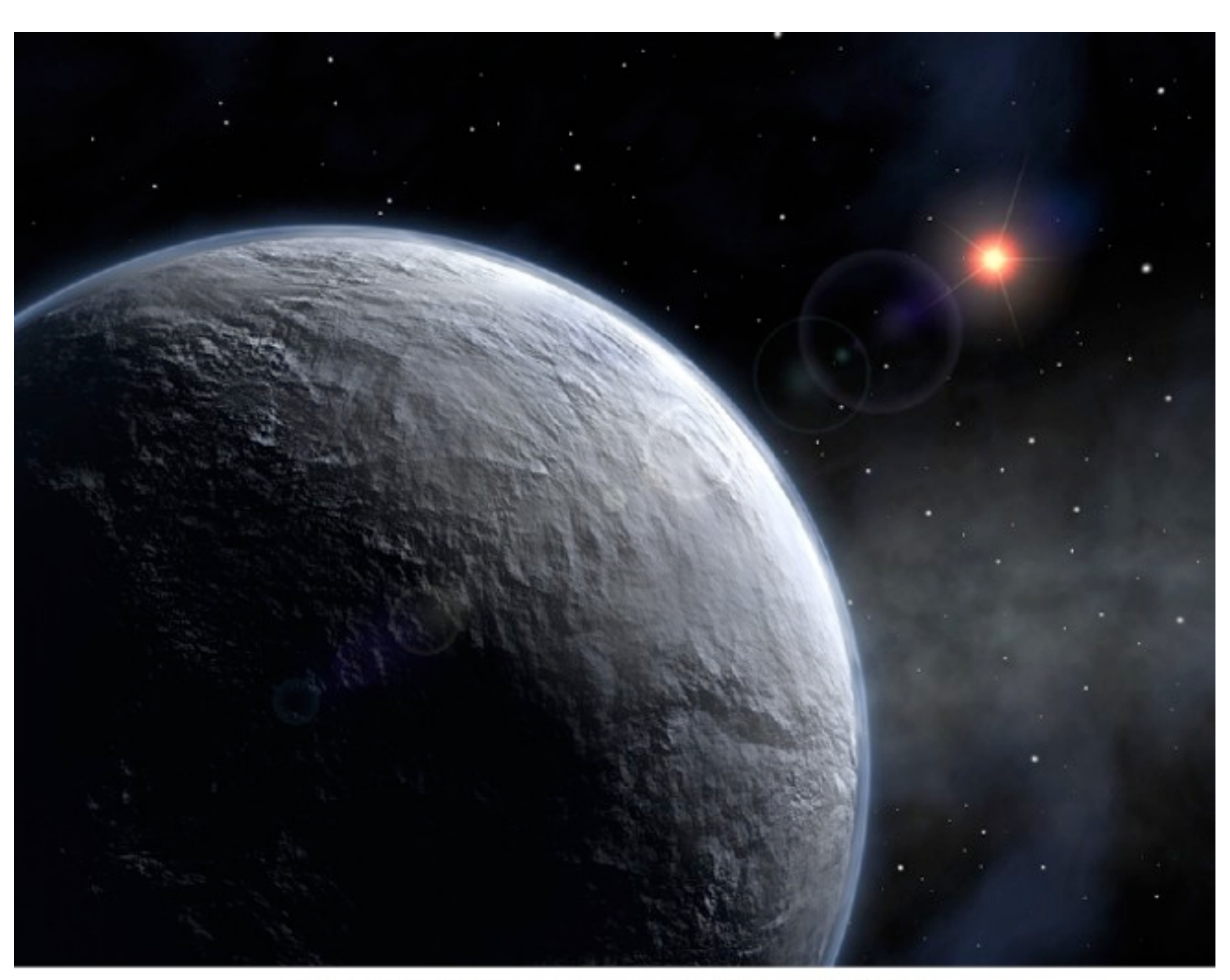




Five Earth Masses Icy Extrasolar Planet (Artist's Impression)



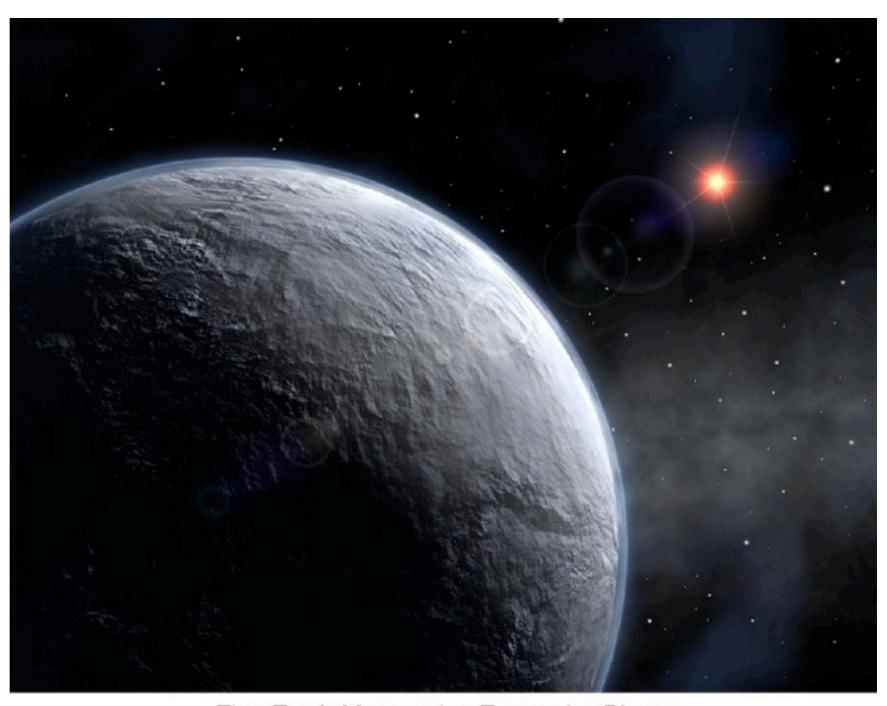
Un pianeta non emette luce.



Five Earth Masses Icy Extrasolar Planet (Artist's Impression)



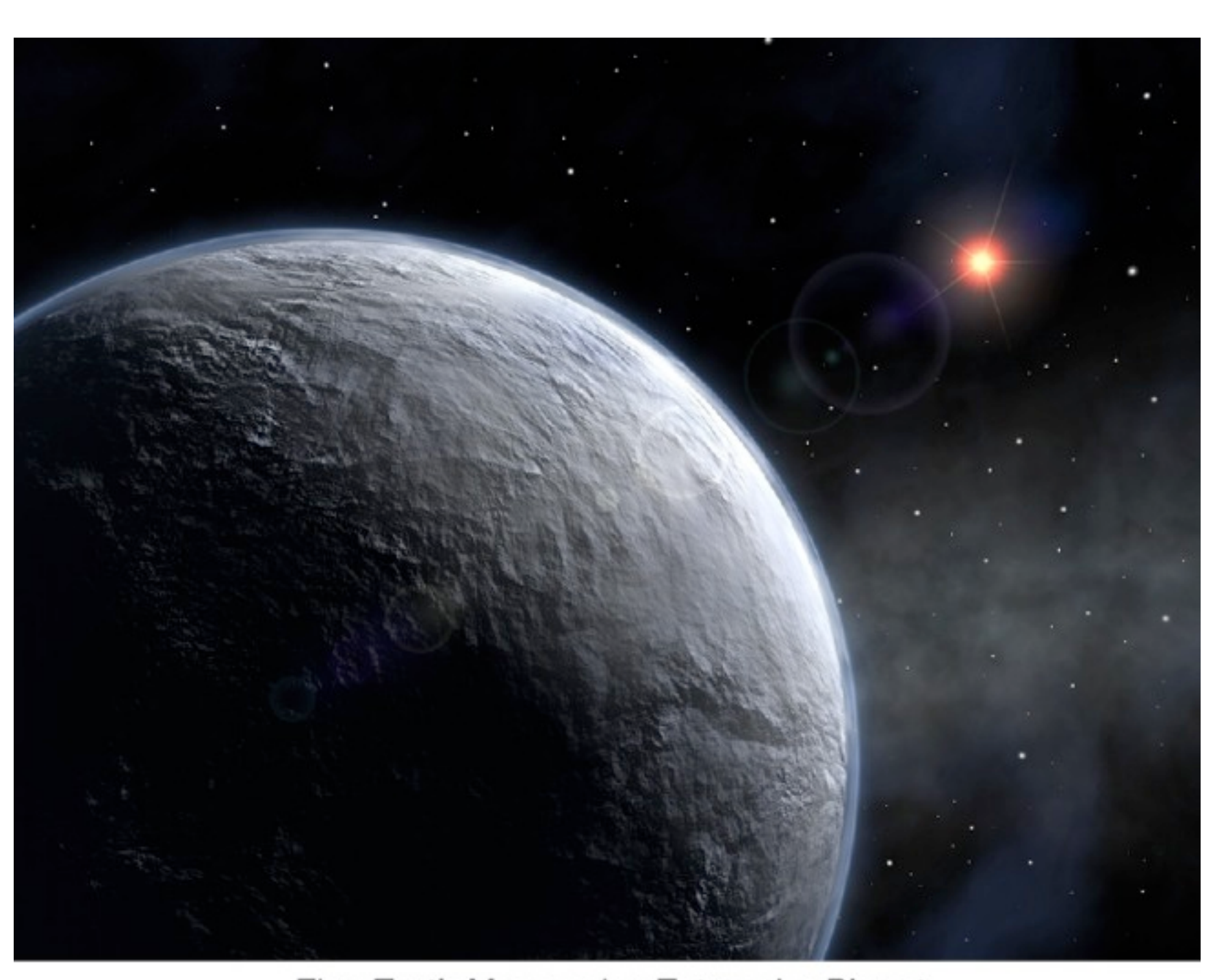
- Un pianeta non emette luce.
- Problema del contrasto con la stella.



Five Earth Masses Icy Extrasolar Planet (Artist's Impression)



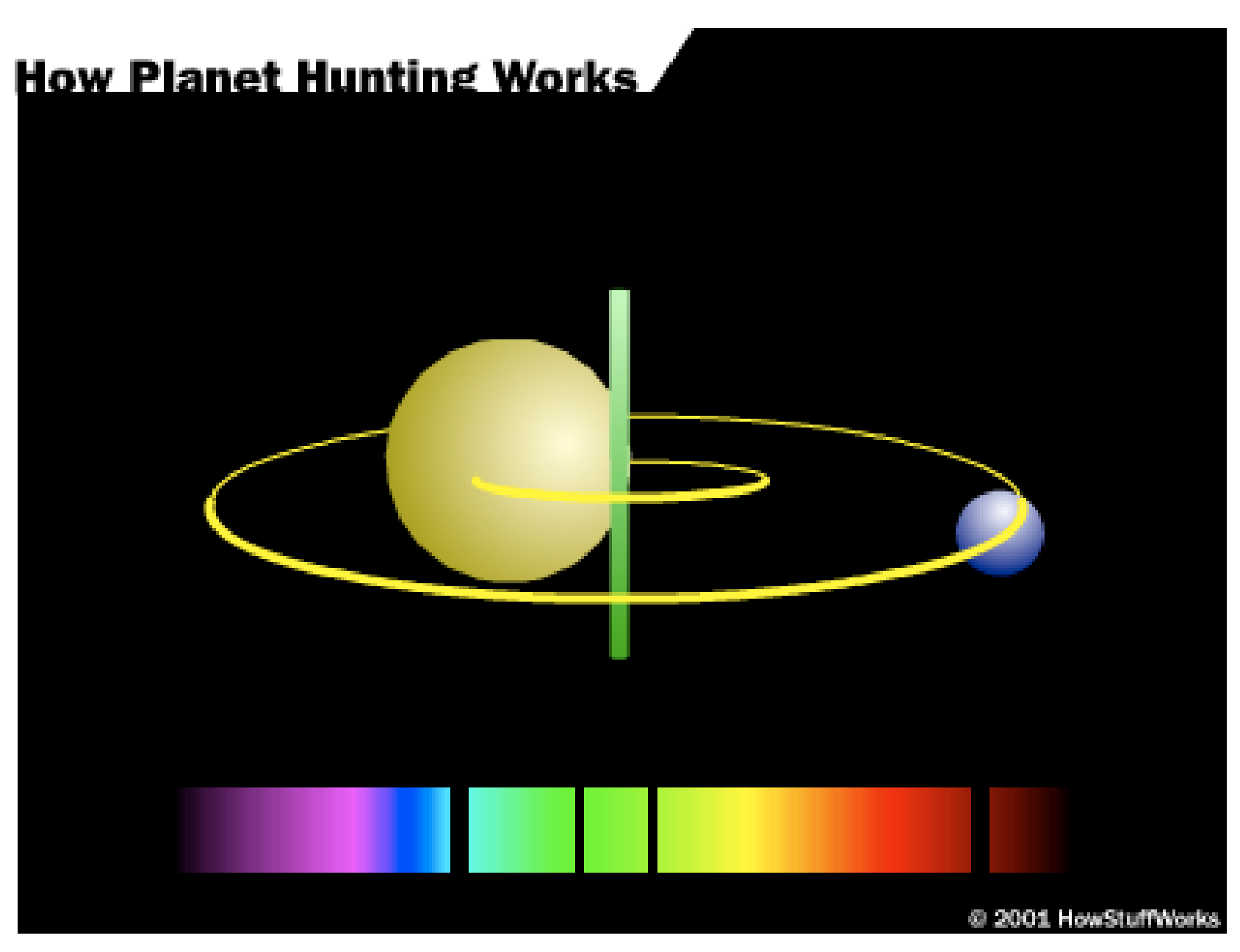
- Un pianeta non emette luce.
- Problema del contrasto con la stella.
- Problema della separazione angolare pianeta-stella.



Five Earth Masses Icy Extrasolar Planet (Artist's Impression)

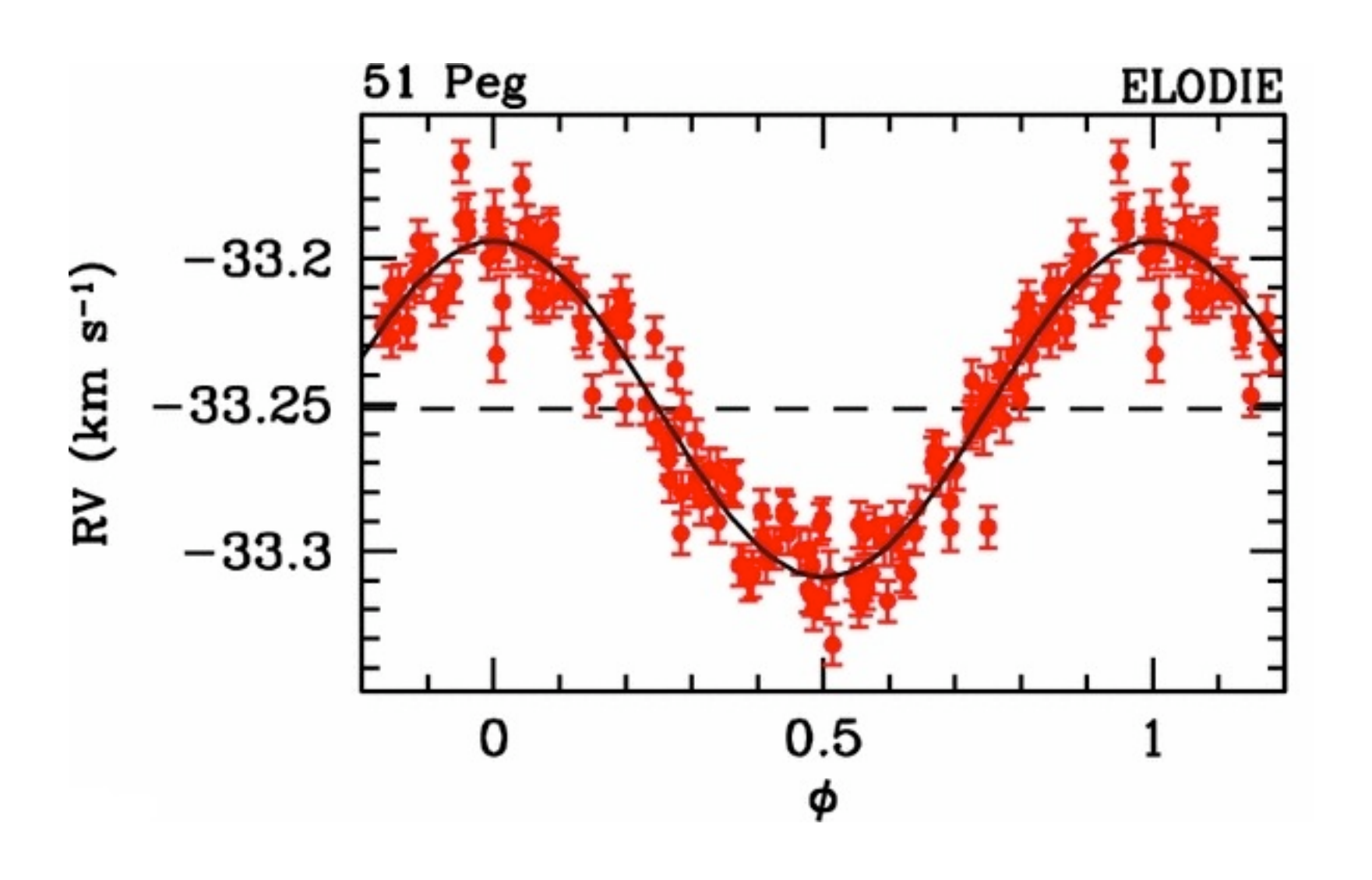


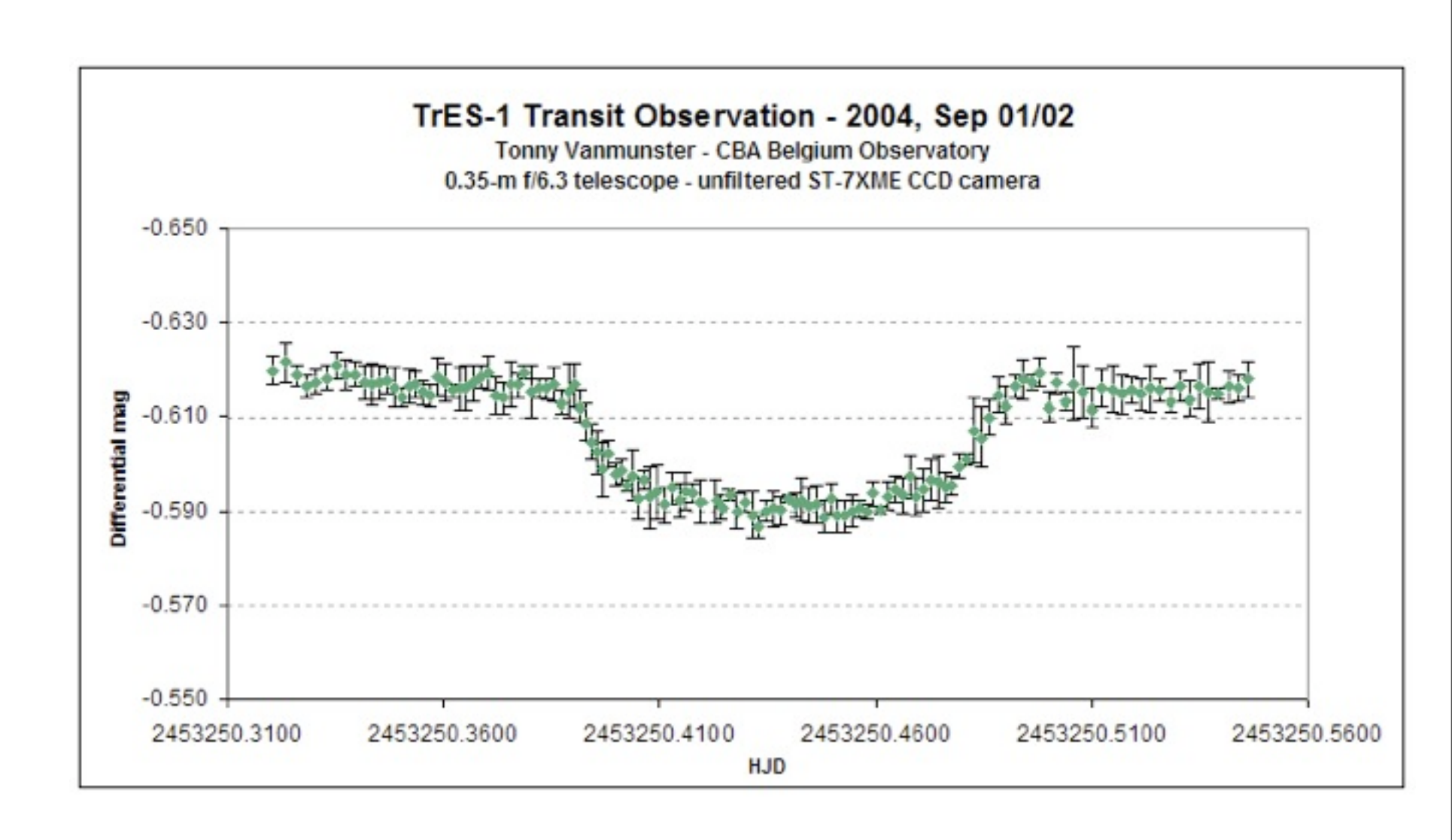
Spettroscopia Doppler: misurare la velocità radiale della stella



Spectroscopic technique of detecting an extrasolar planet

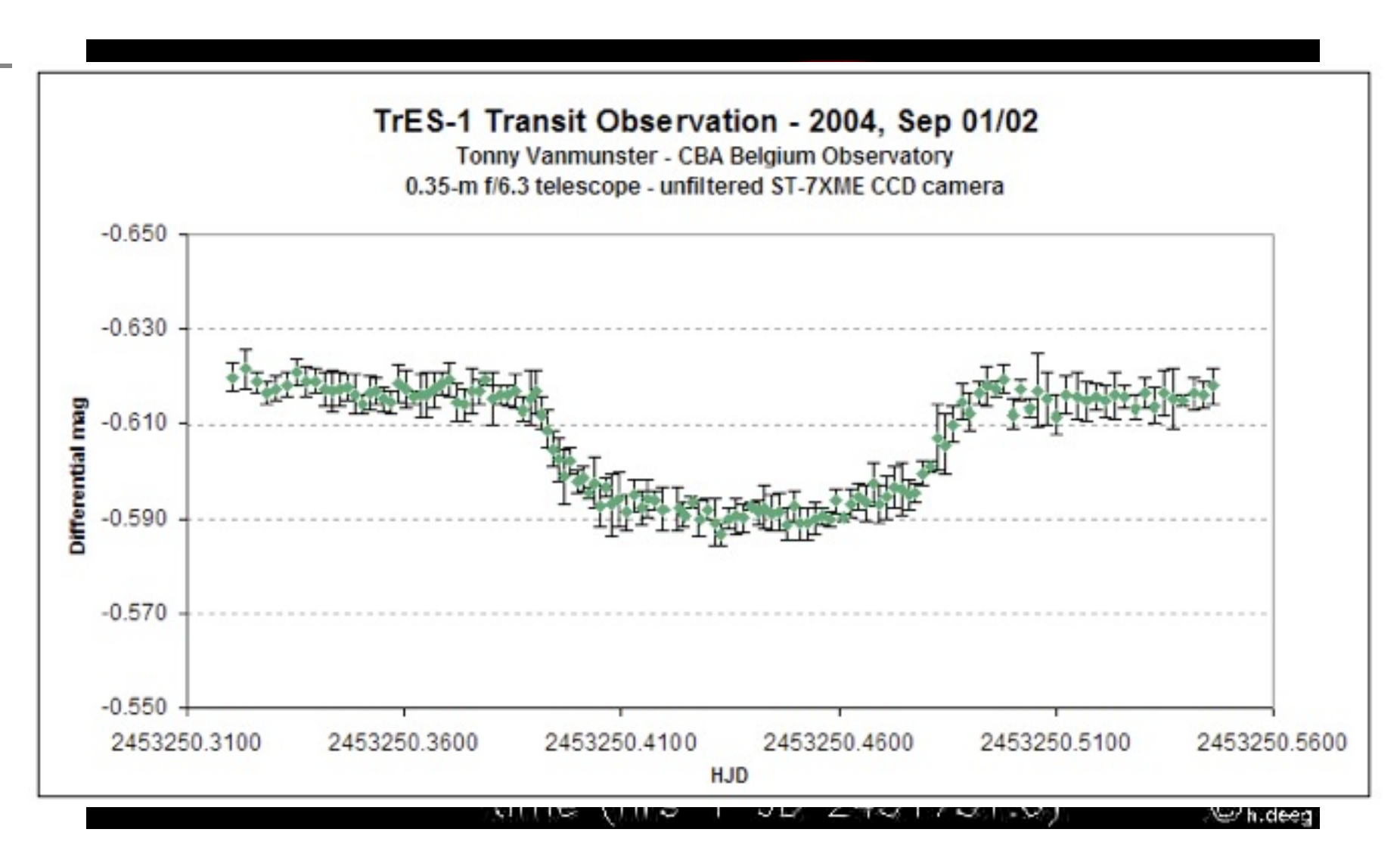
Spettroscopia Doppler: misurare la velocità radiale della stella





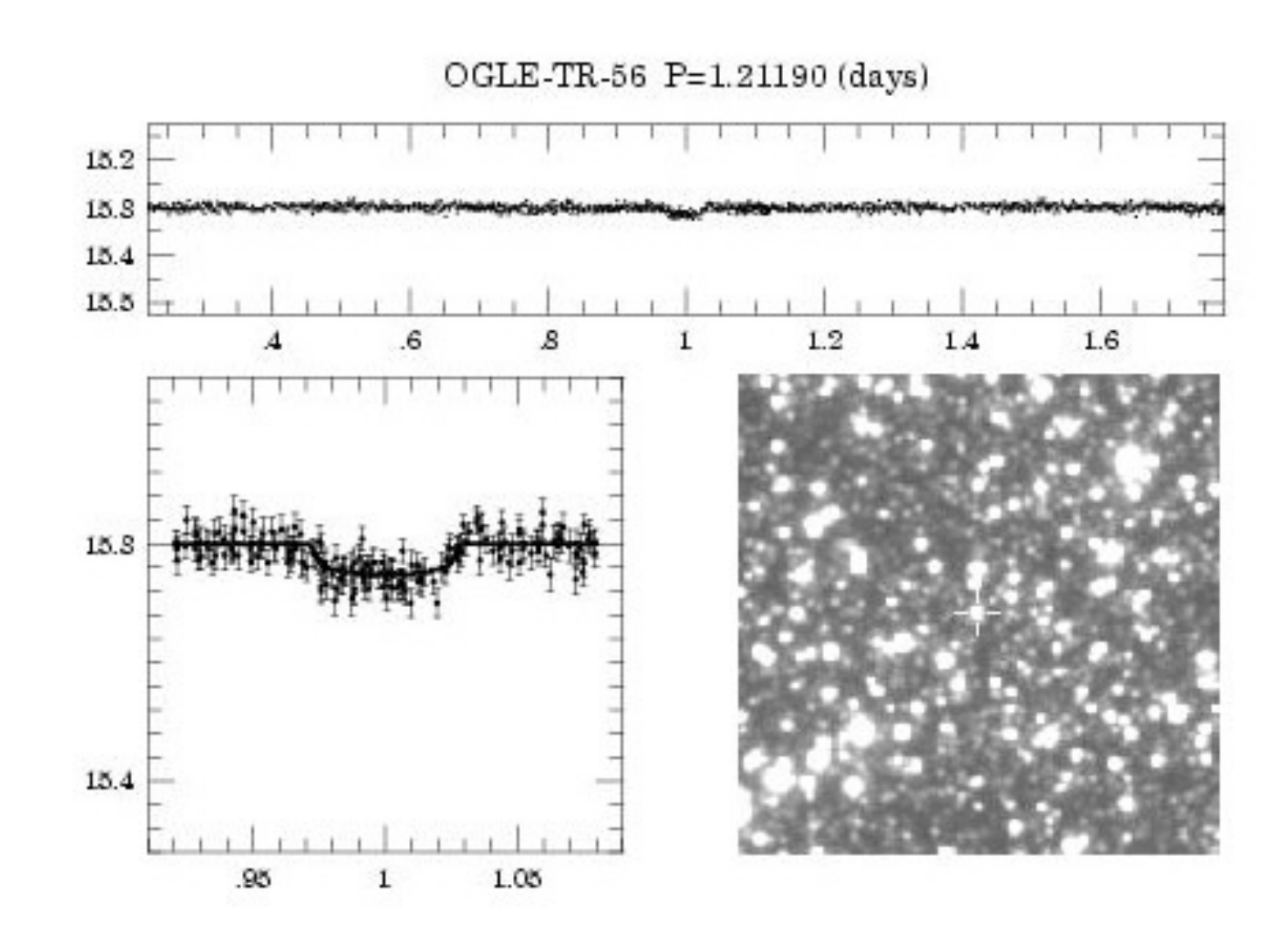
Diminuzione della luminosità stellare:

Transito planetario



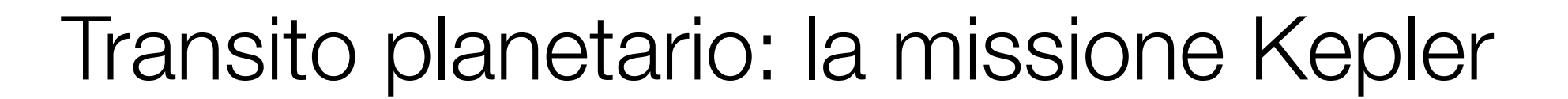
Diminuzione della luminosità stellare:

Transito planetario

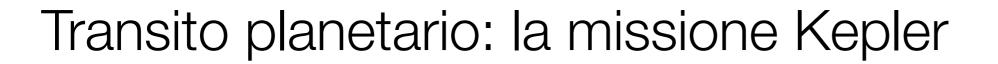


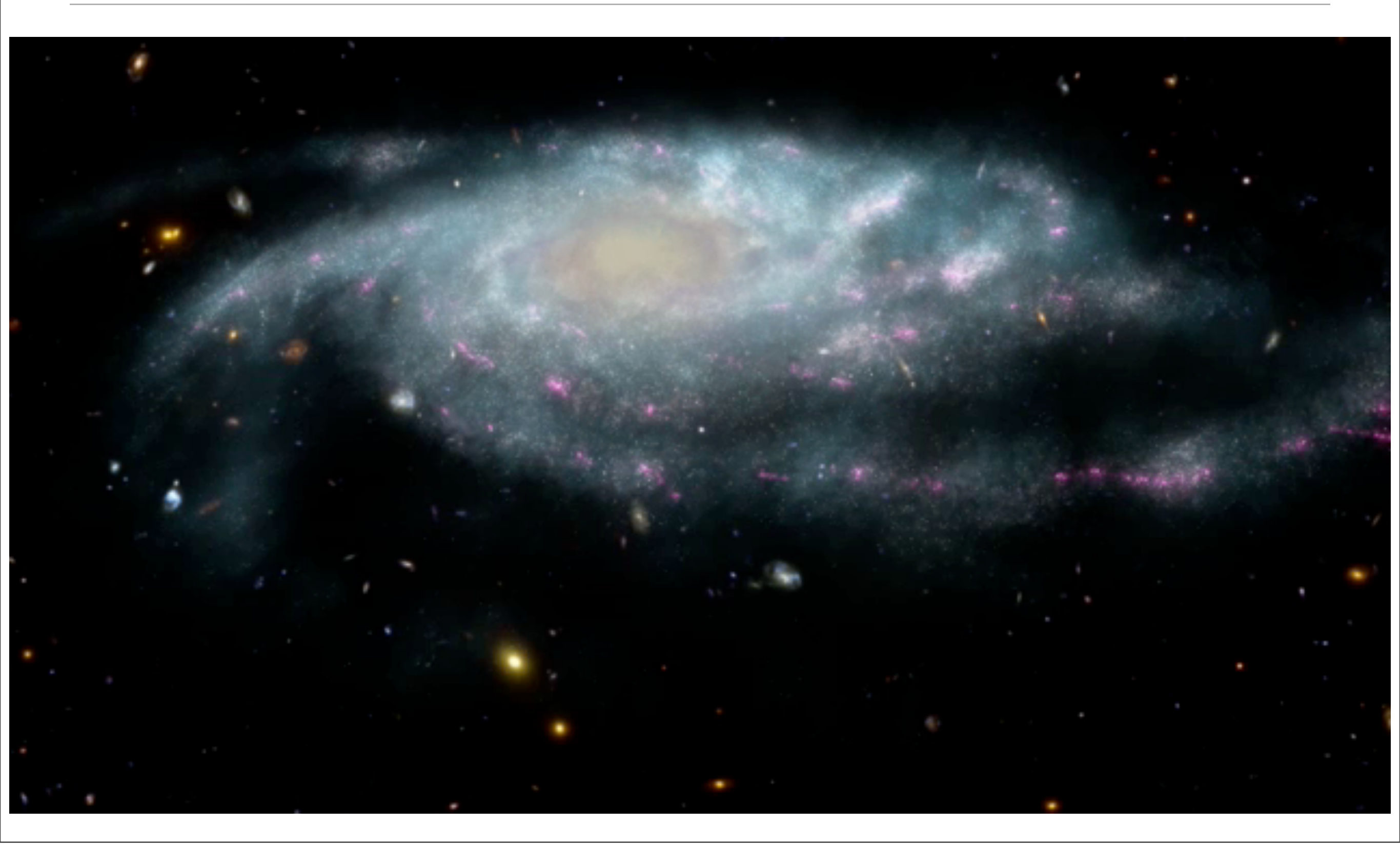
Diminuzione della luminosità stellare:

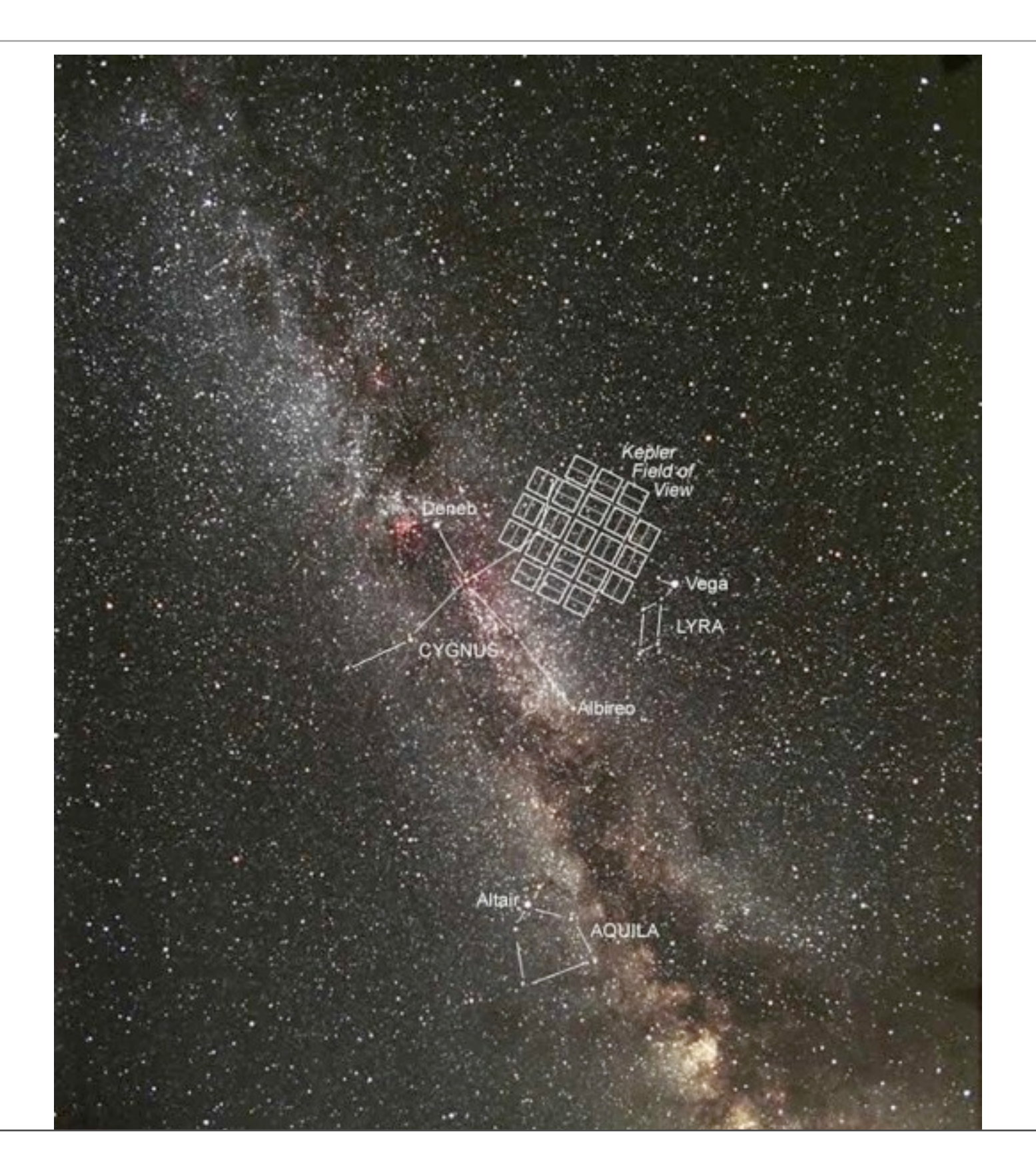
Transito planetario

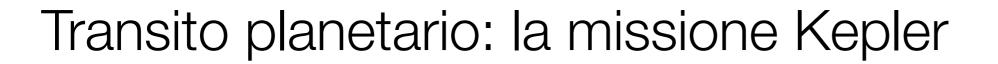


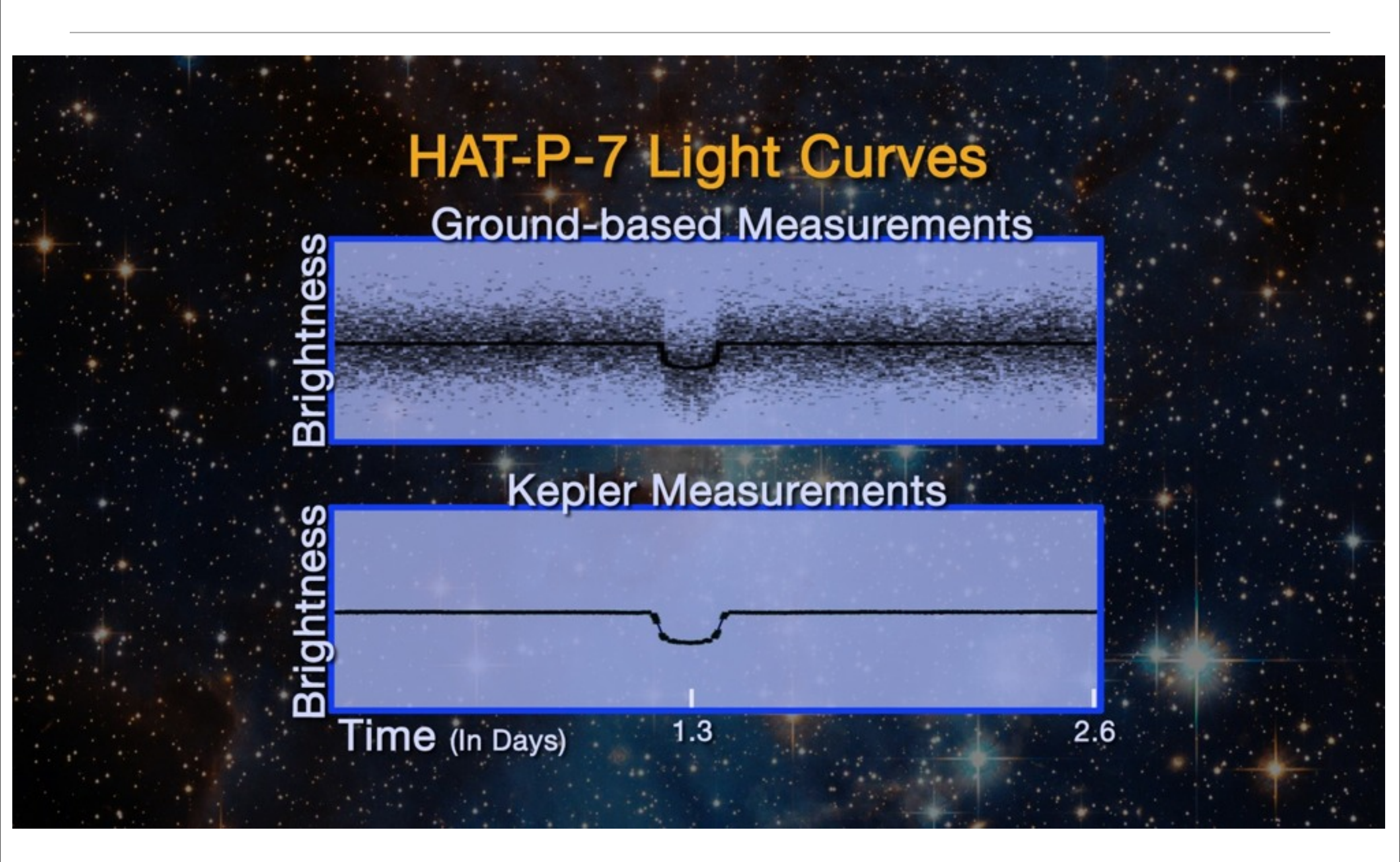


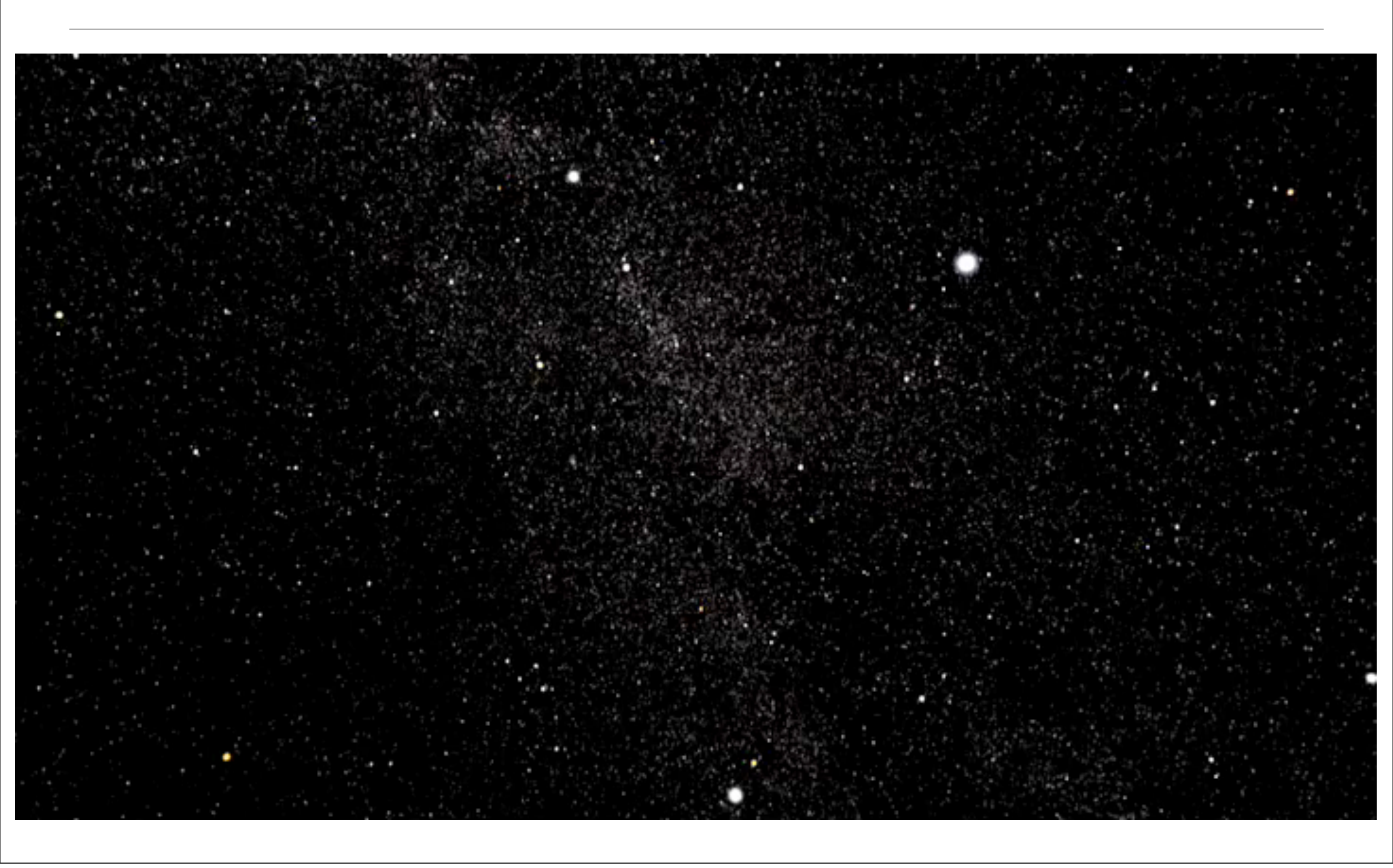


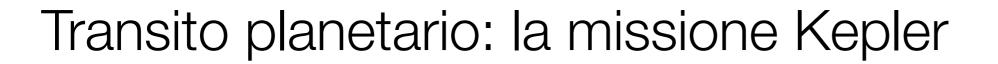


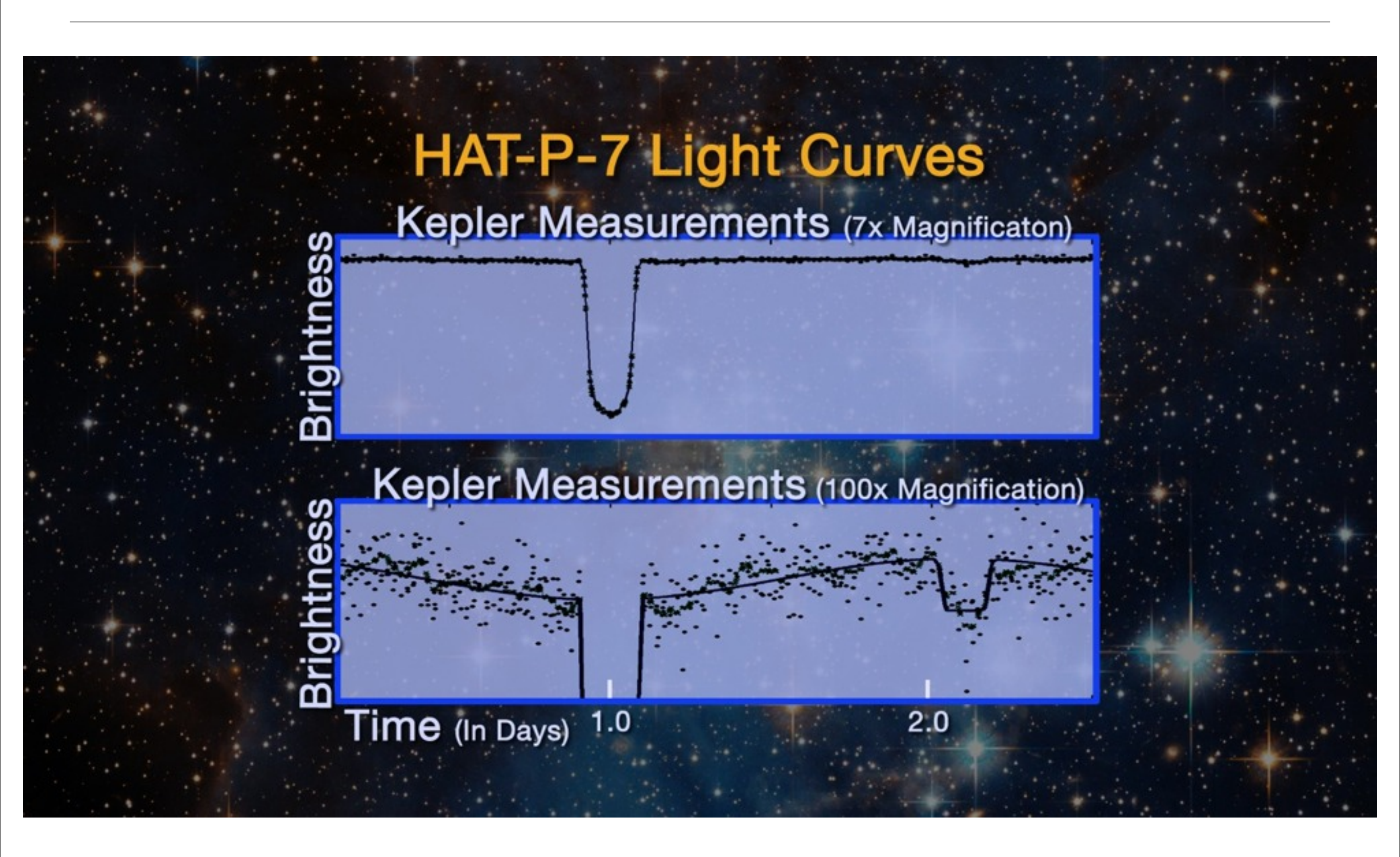


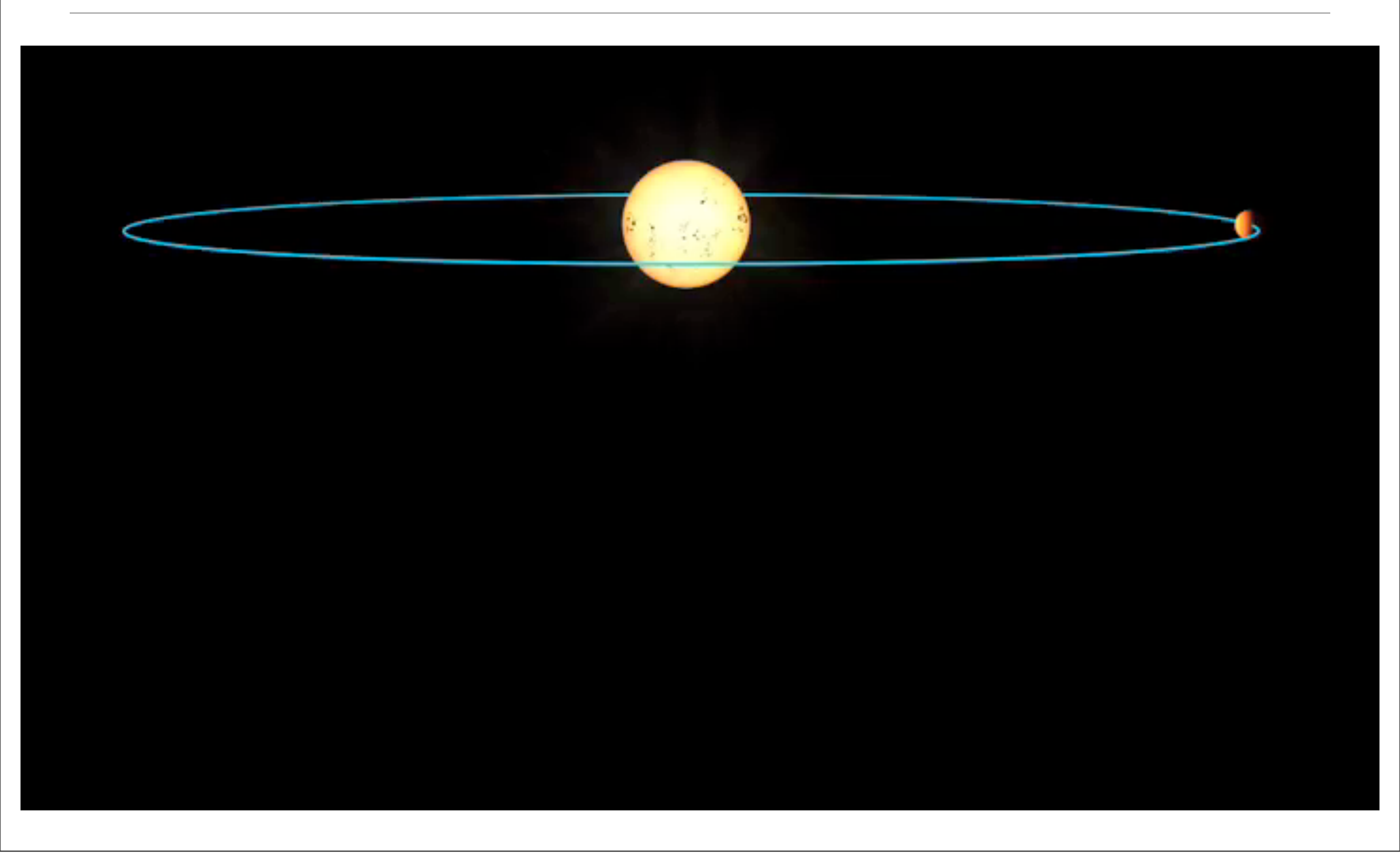








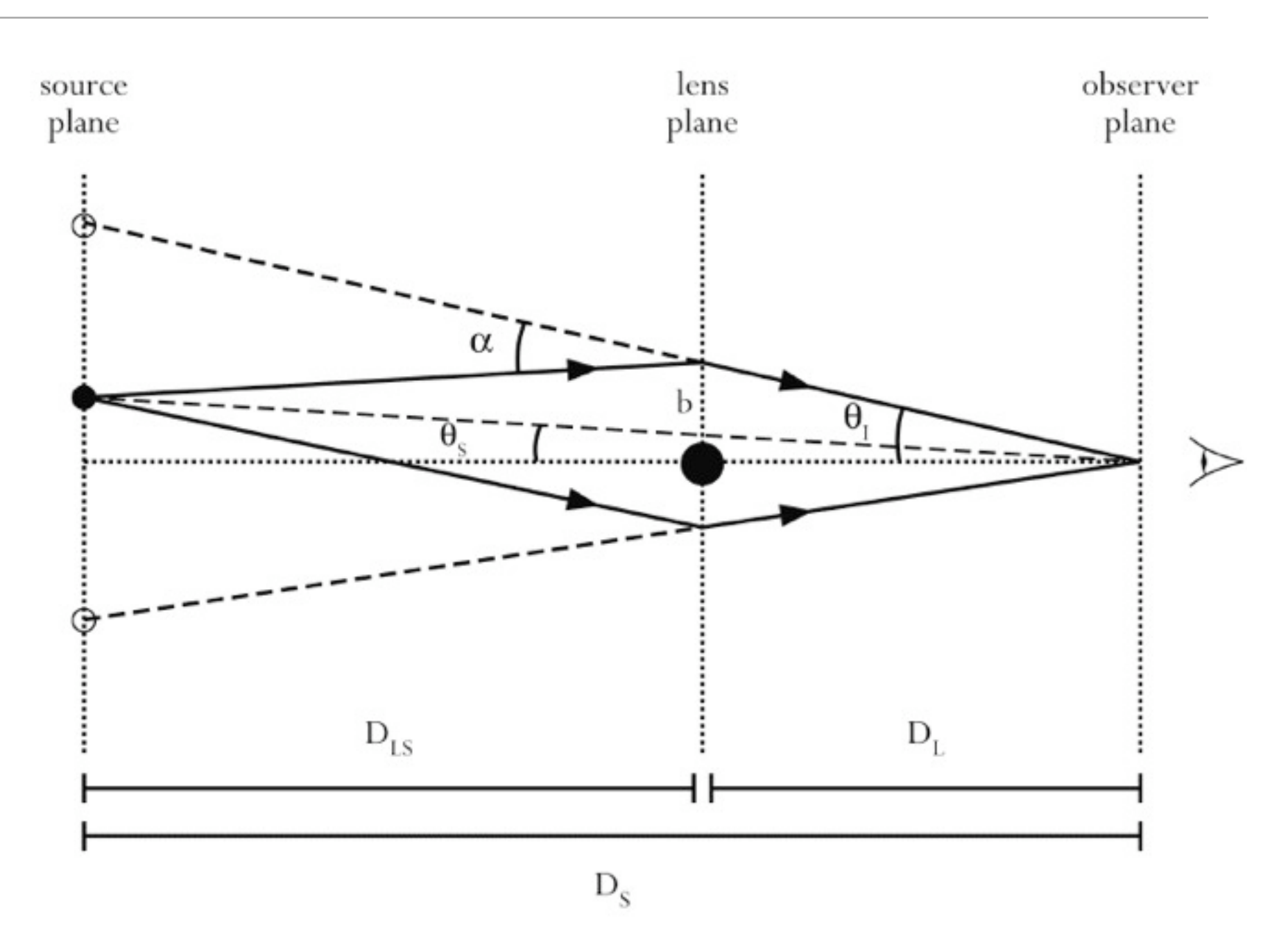






Fenomeno di lente gravitazionale:

Micro-lensing

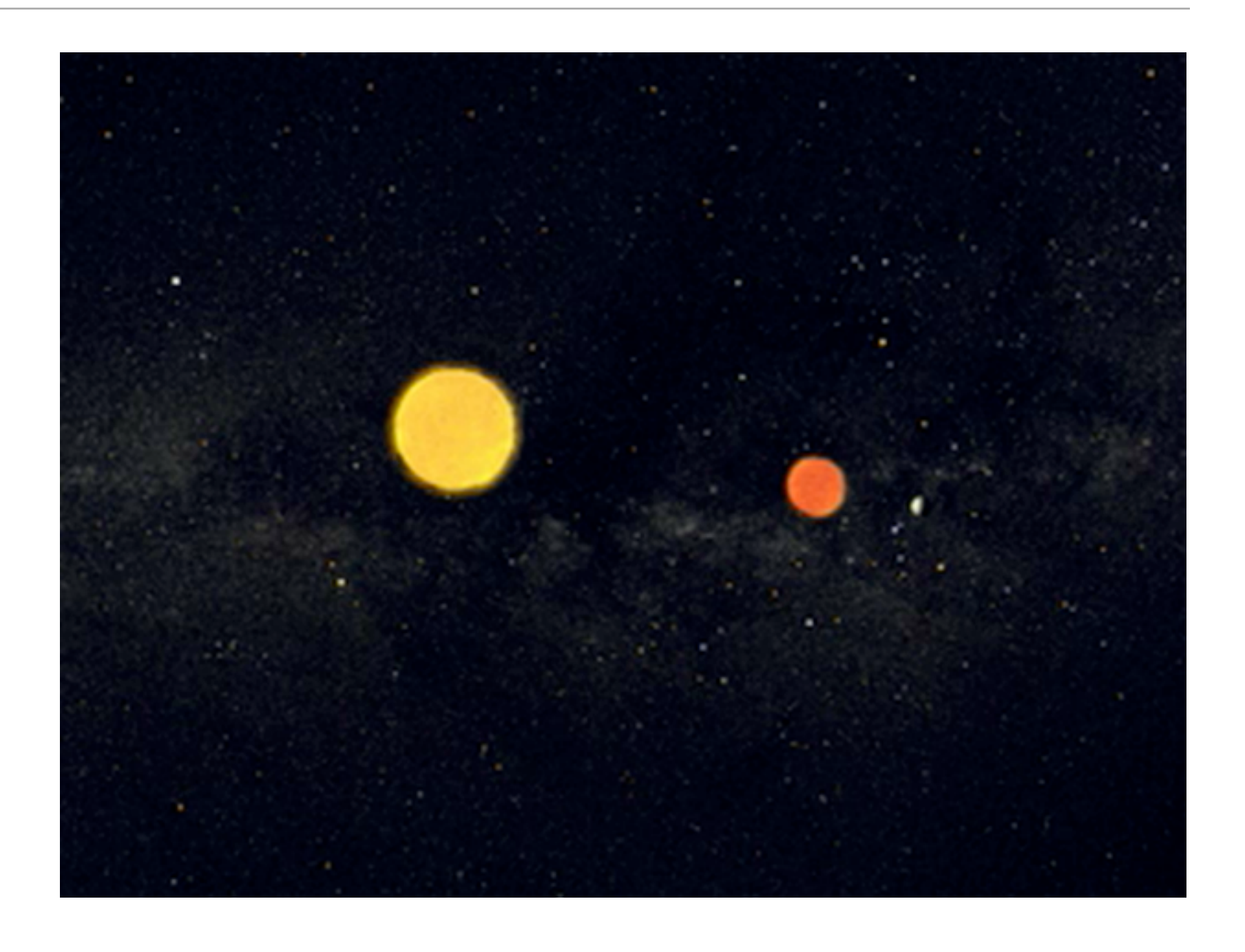


Fenomeno di lente gravitazionale:

Micro-lensing

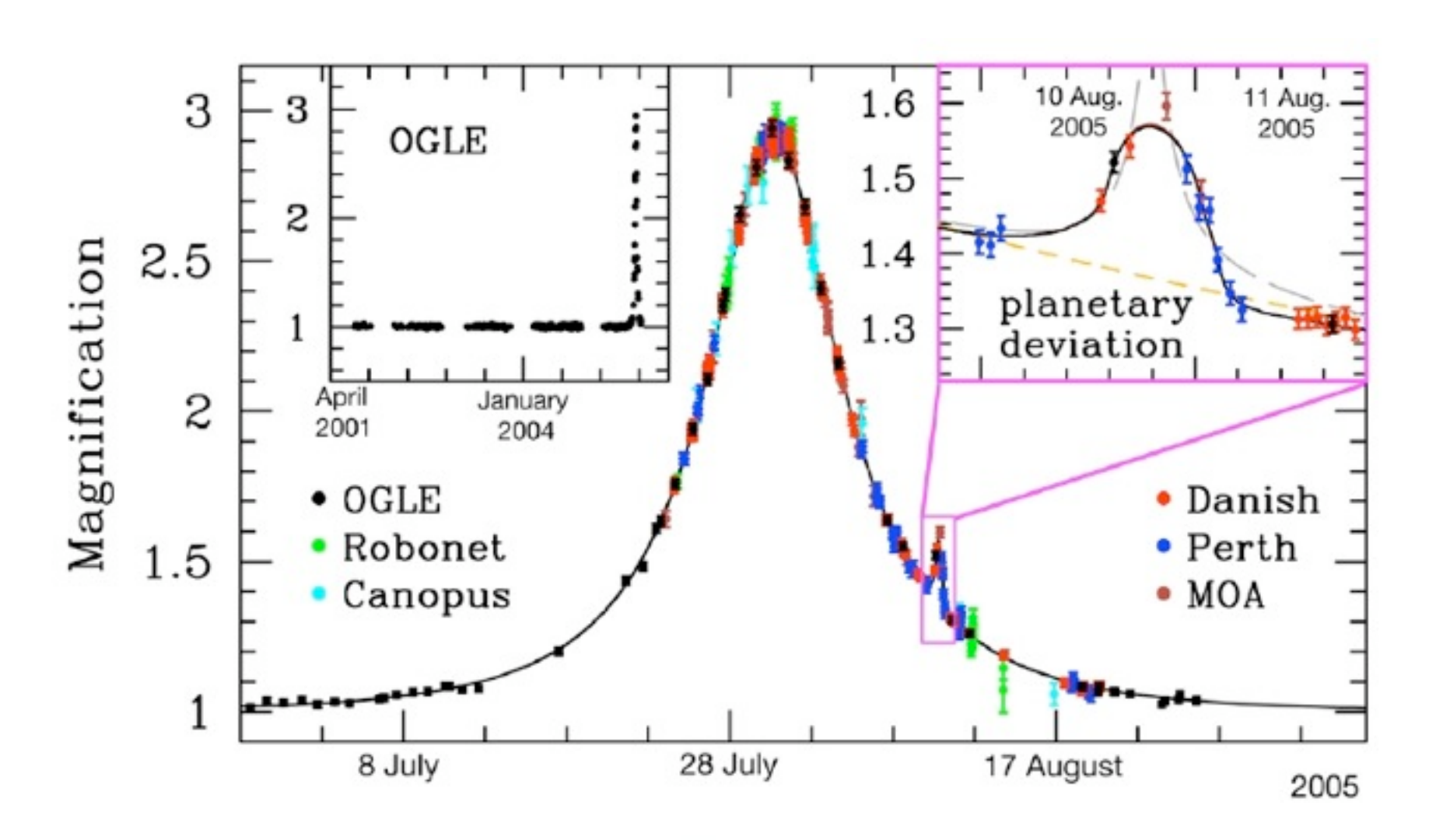
Fenomeno di lente gravitazionale:

Micro-lensing



Fenomeno di lente gravitazionale:

Micro-lensing

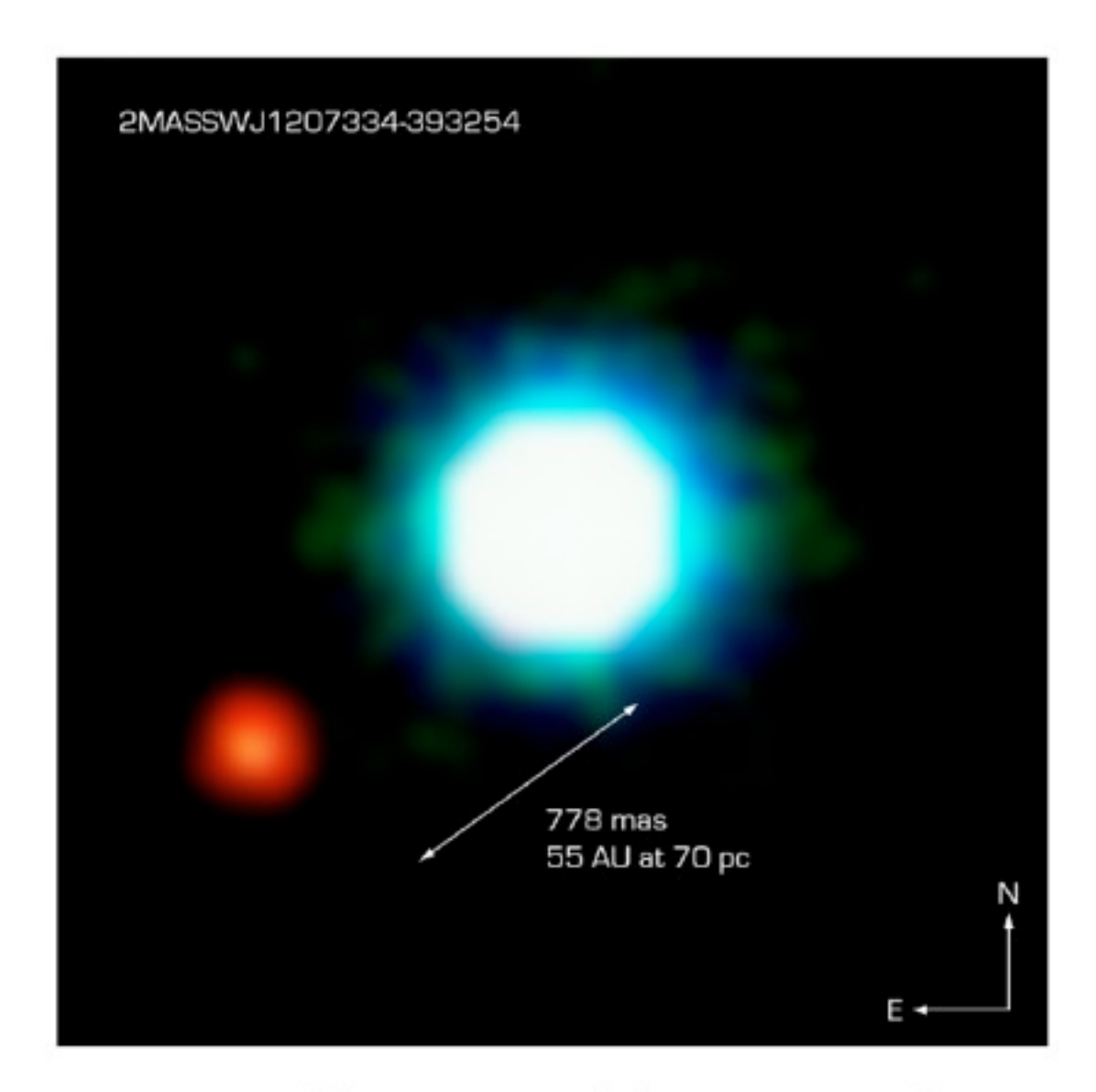


Light Curve of OGLE-2005-BLG-390



ESO PR Photo 03b/06 (January 25, 2006)

Vedere il pianeta direttamente: Casi eccezionali

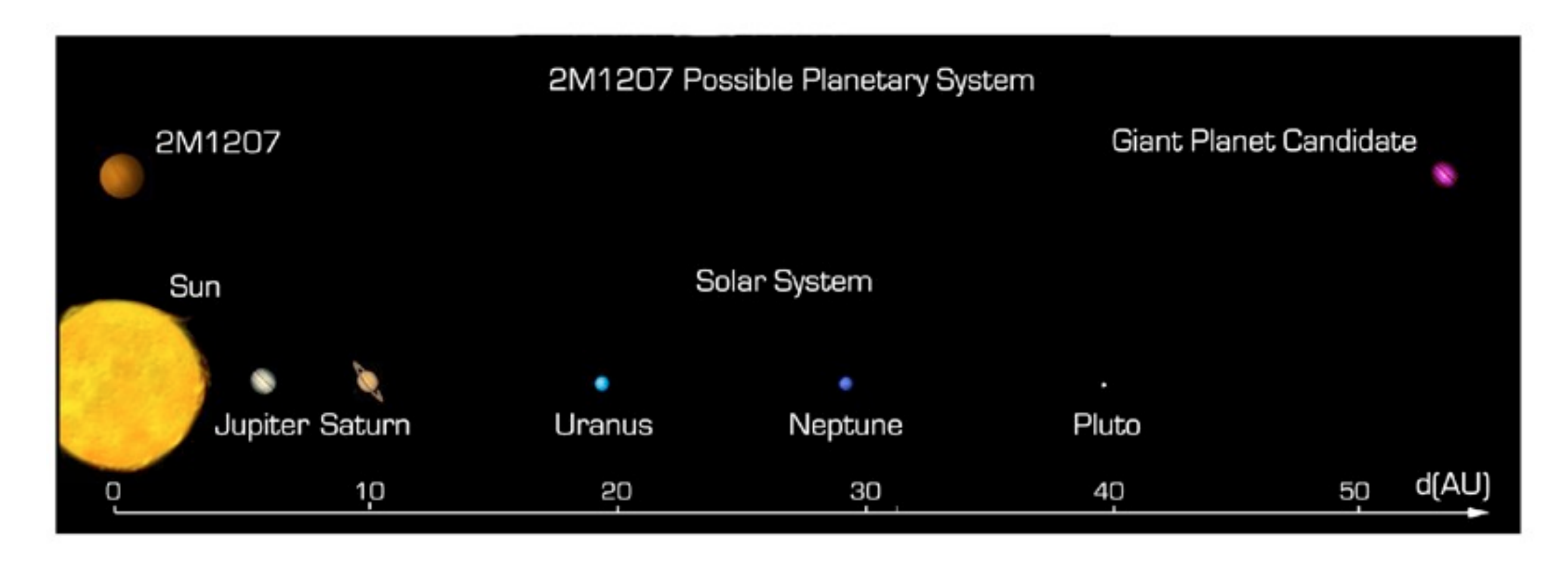


NACO Image of the Brown Dwarf Object 2M1207 and GPCC

ESO PR Photo 26a/04 (10 September 2004)



Vedere il pianeta direttamente: Casi eccezionali

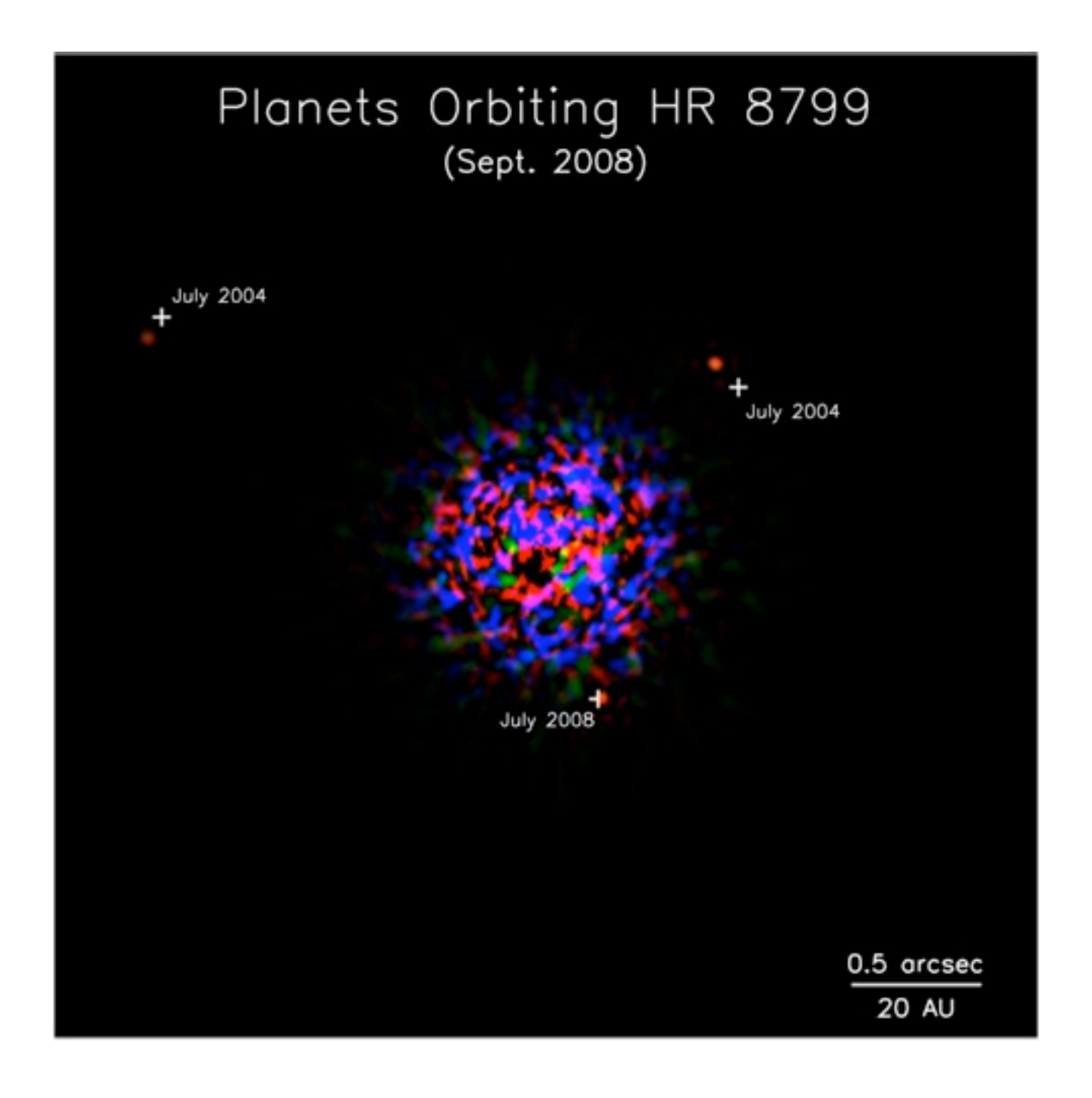


Comparison between the possible 2M1207 System and the Solar System

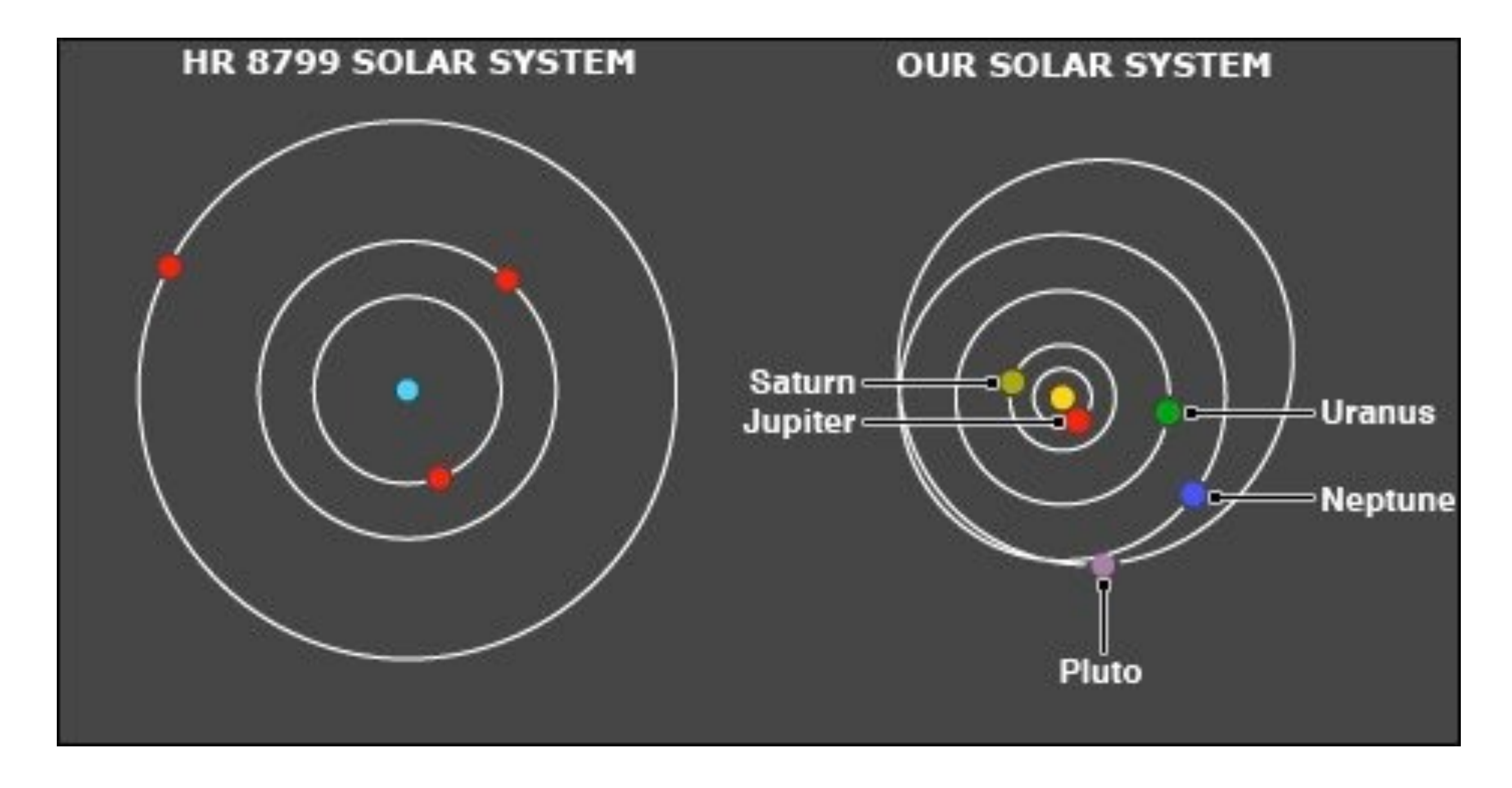
© European Southern Observatory

ESO PR Photo 26c/04 (10 September 2004)

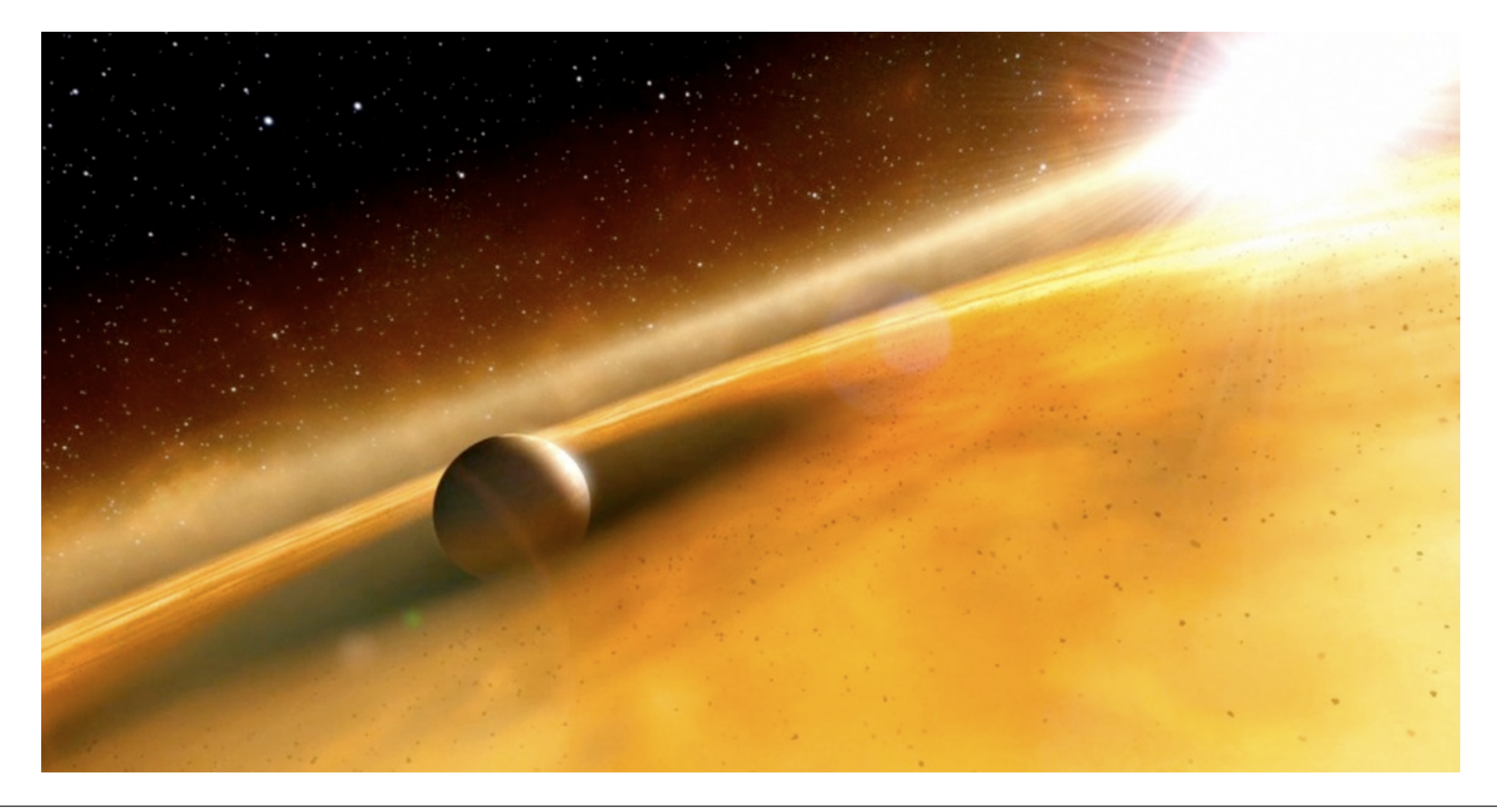
Vedere il pianeta direttamente: Casi eccezionali



Vedere il pianeta direttamente: Casi eccezionali

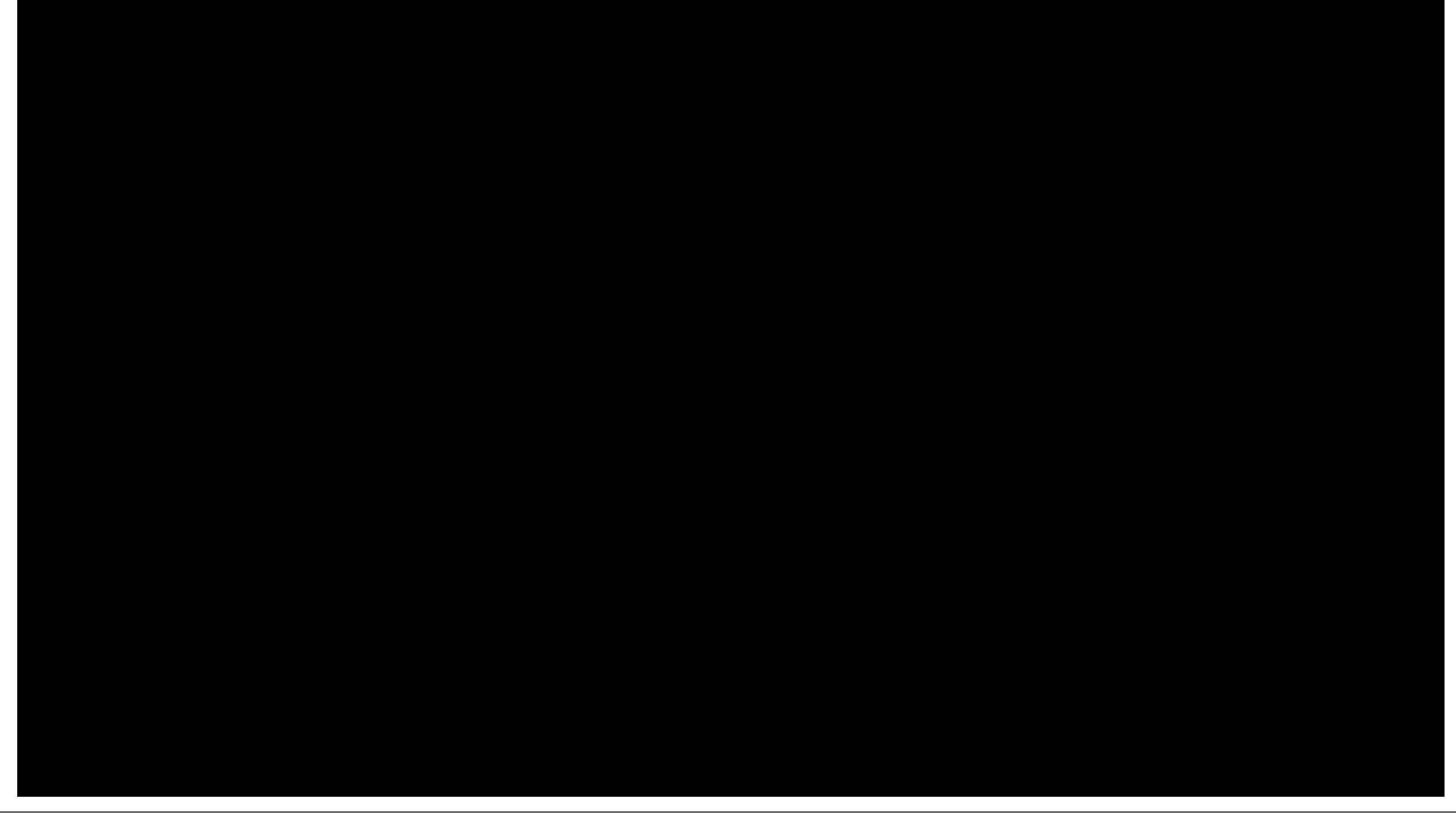


Vedere il pianeta direttamente: Casi eccezionali



# Come scoprire un pianeta extra-solare?

Vedere il pianeta direttamente: Casi eccezionali





OGLE: 100·10<sup>6</sup> stelle osservate



OGLE: 100·10<sup>6</sup> stelle osservate

PLANET: 200 eventi di microlensing

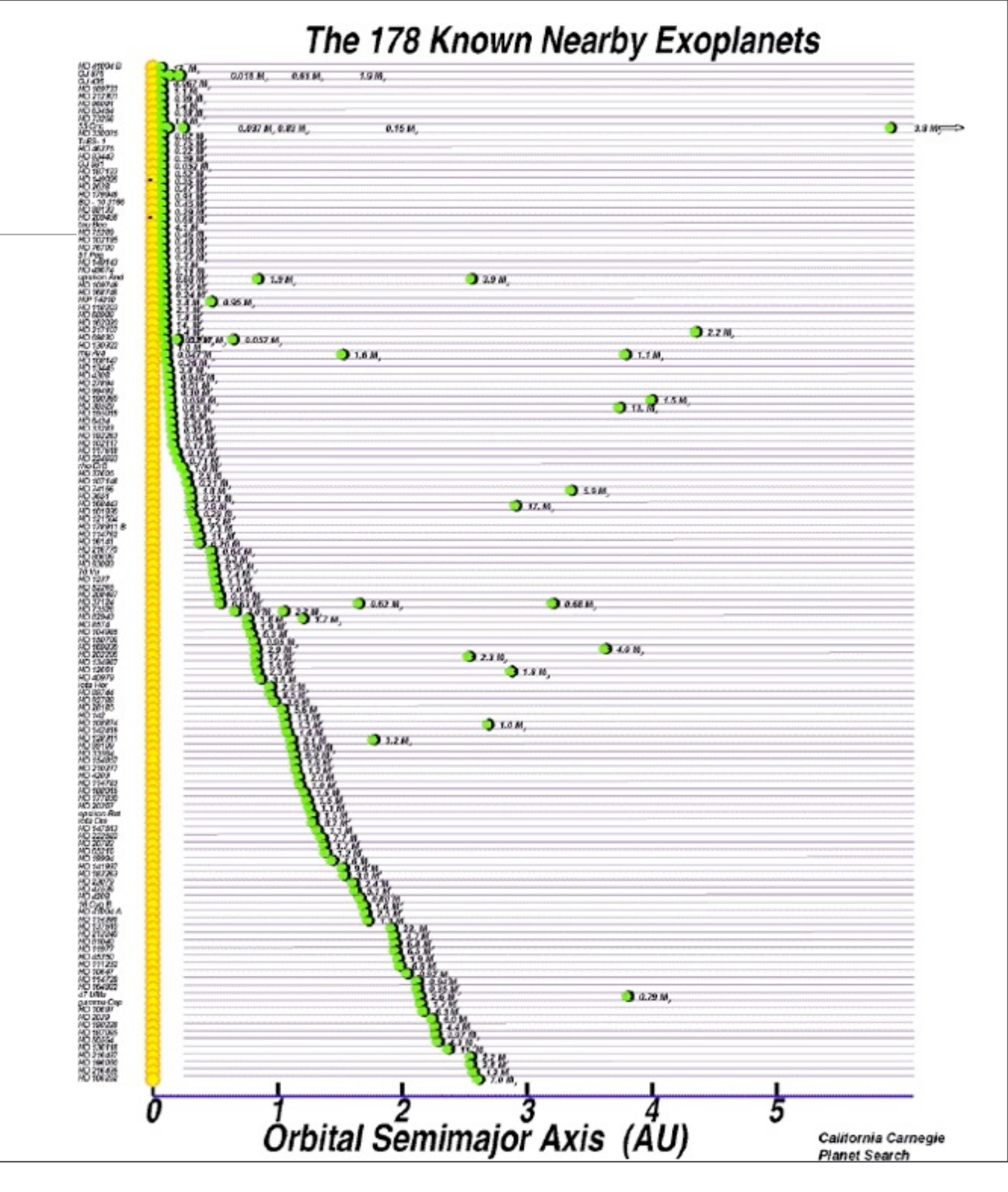


OGLE: 100·10<sup>6</sup> stelle osservate

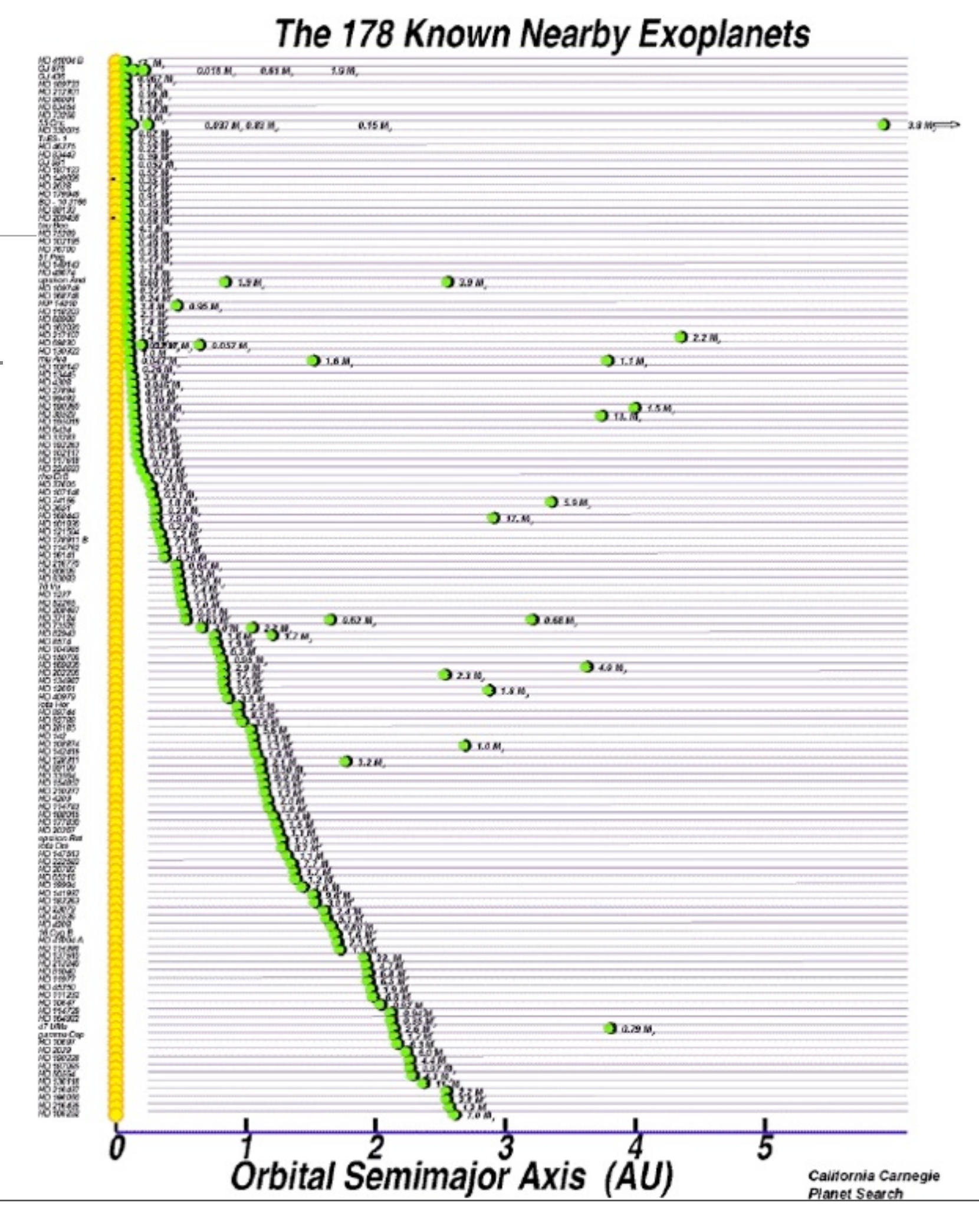
PLANET: 200 eventi di microlensing

CONCLUSIONE: <33% di stelle (nane M) hanno un compagno planetario (tipo Giove) tra 1.5 e 5 UA.



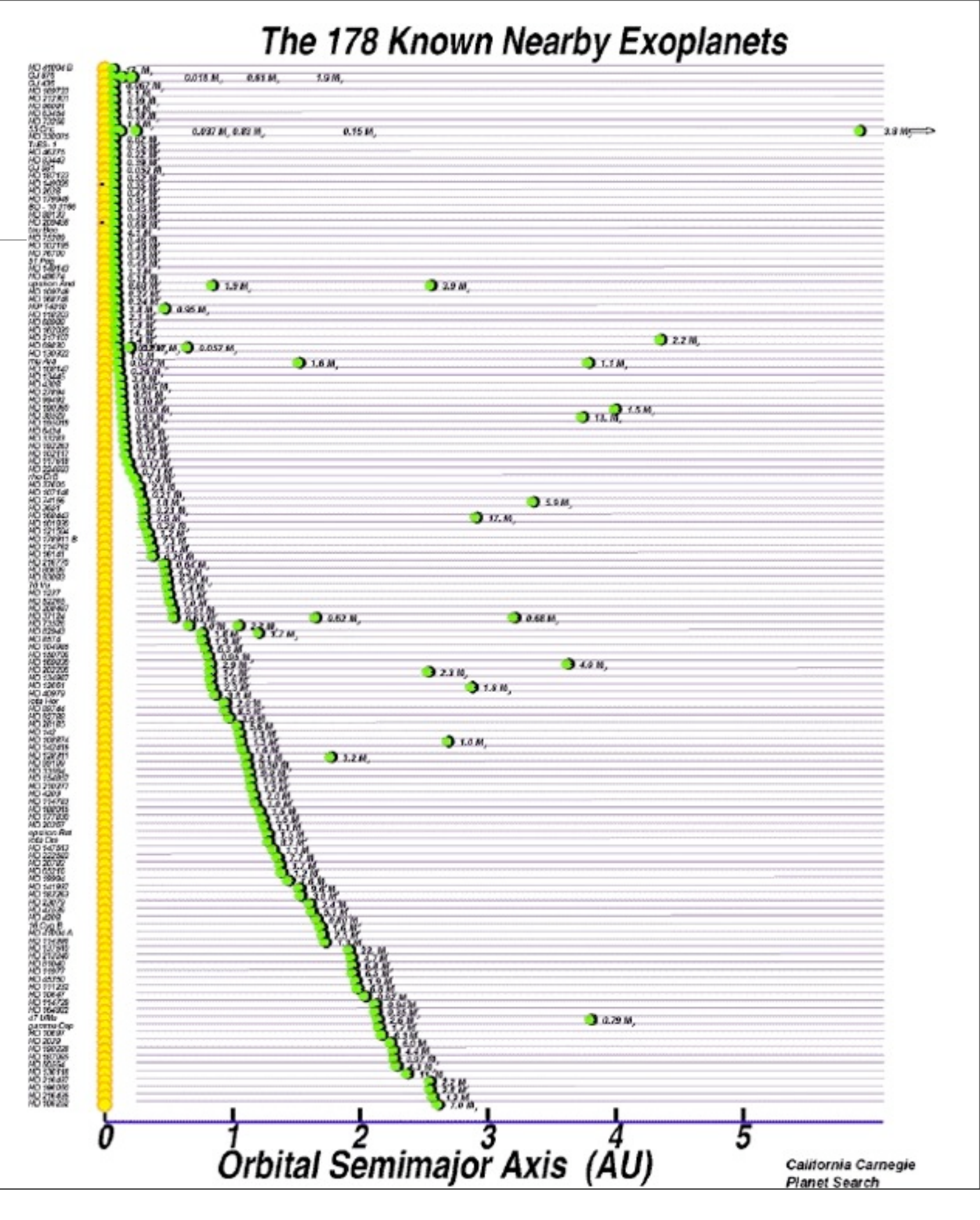


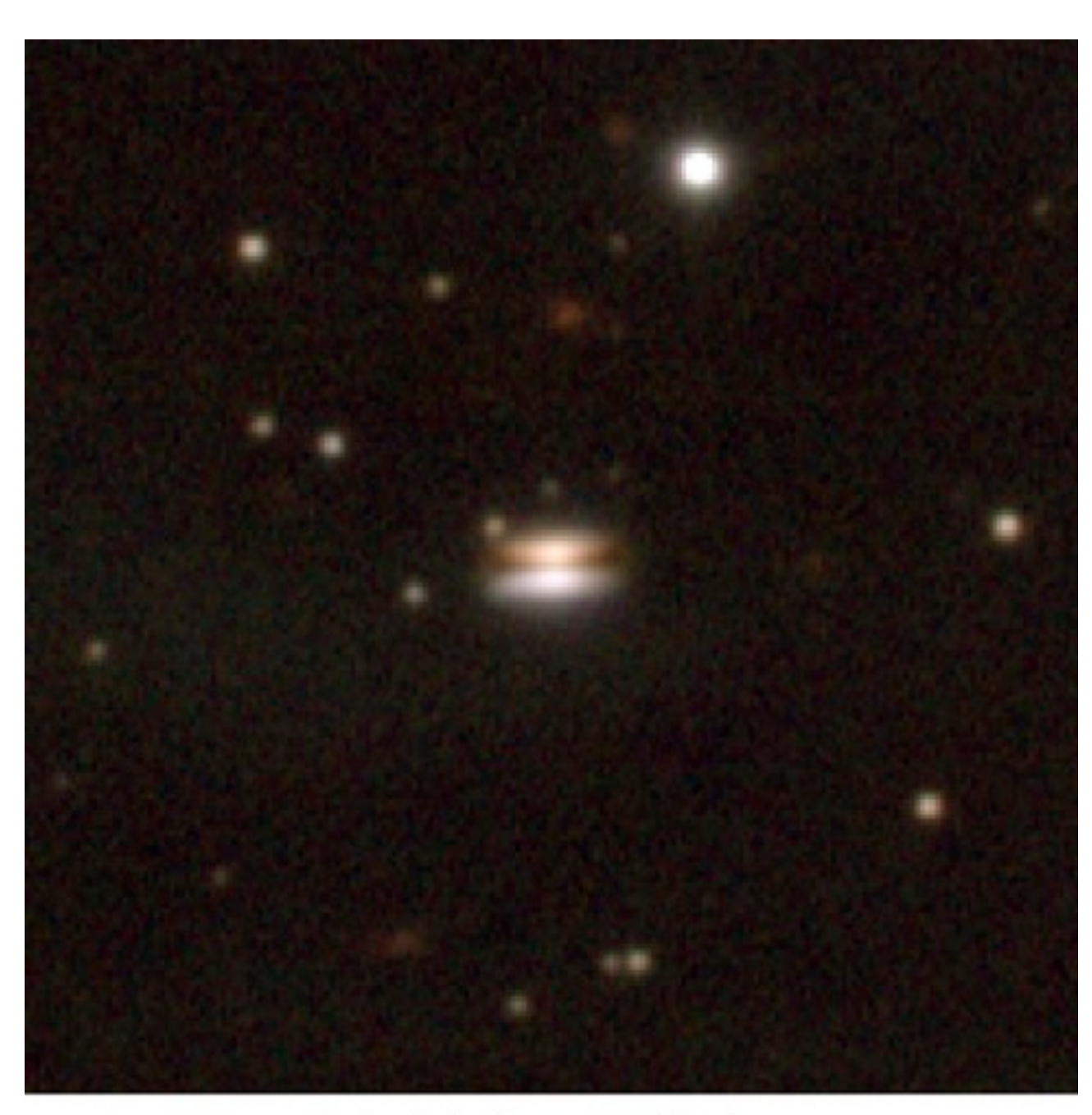
Oggi (agosto 2009): 373 exopianeti conosciuti.



Oggi (agosto 2009): 373 exopianeti conosciuti.

Anche sistemi multipli.



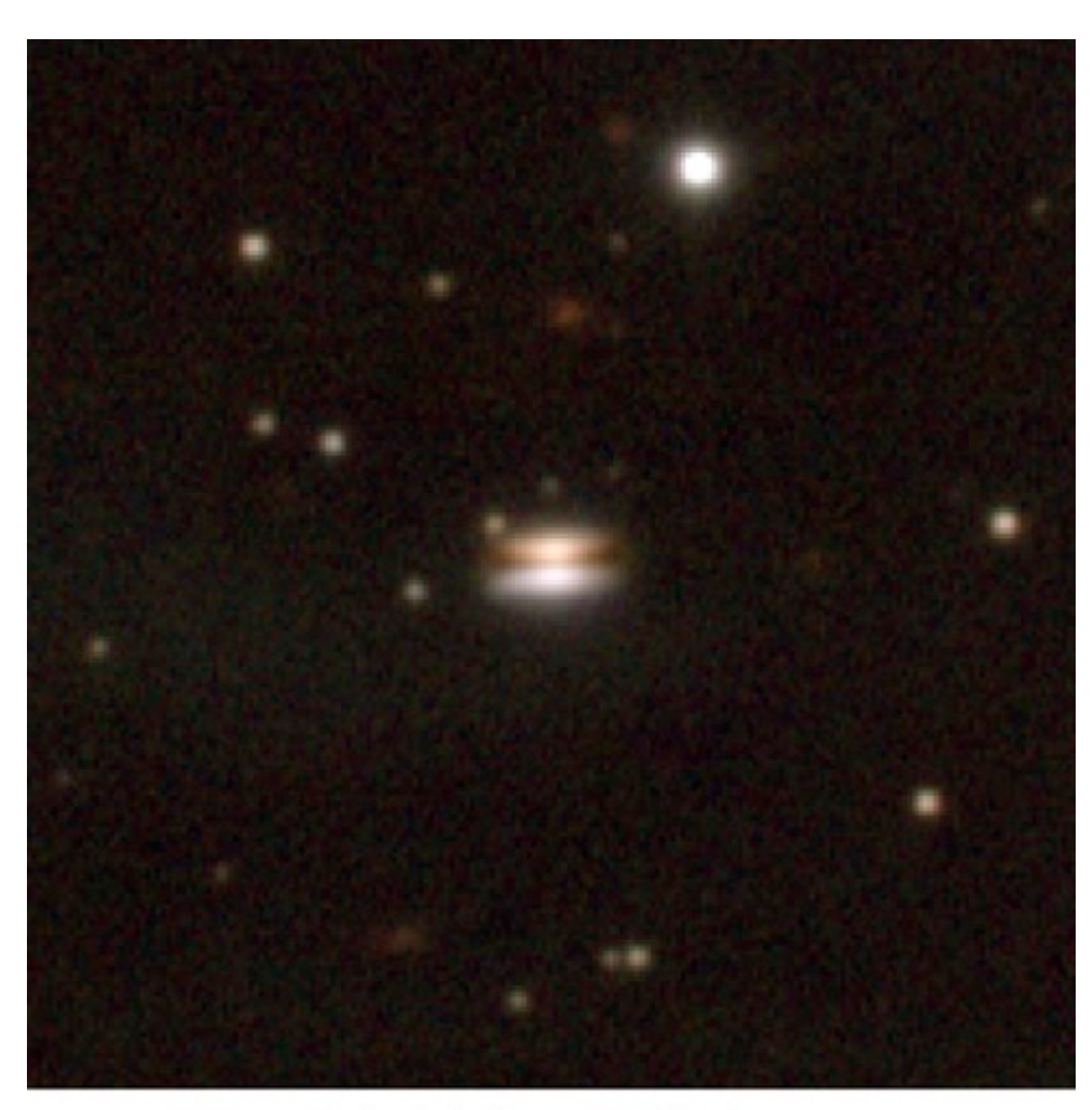


Infant Solar System in Ophiuchus (VLT ANTU + ISAAC)

ESO PR Photo 12c/02 (7 May 2002)



Ingredienti per la formazione di pianeti rocciose nei dischi proto-planetari.



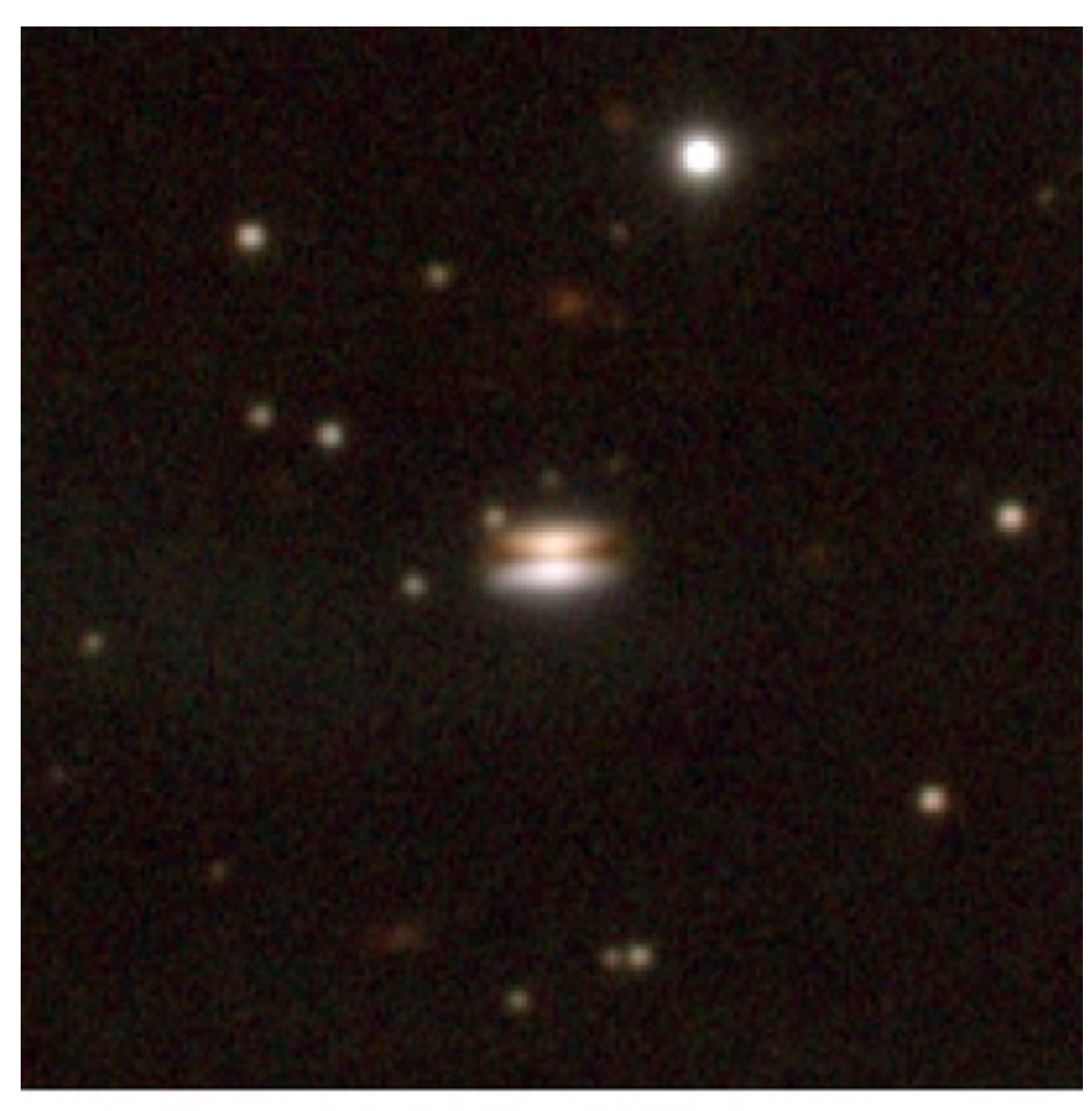
Infant Solar System in Ophiuchus (VLT ANTU + ISAAC)

© European Southern Observatory

ESO PR Photo 12c/02 (7 May 2002)

Ingredienti per la formazione di pianeti rocciose nei dischi proto-planetari.

Pianeti come la Terra forse non sono così rare!



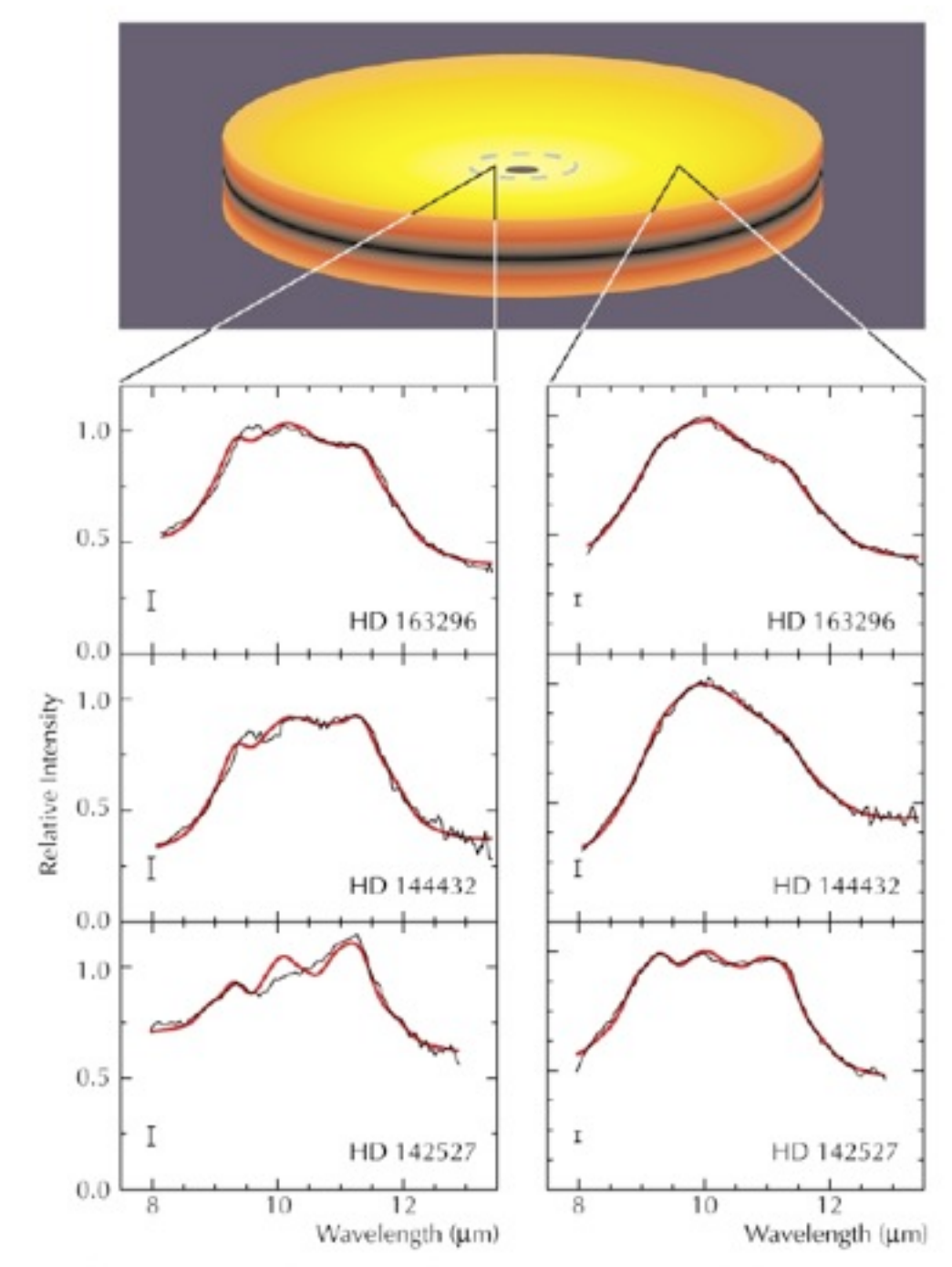
Infant Solar System in Ophiuchus (VLT ANTU + ISAAC)

© European Southern Observatory

ESO PR Photo 12c/02 (7 May 2002)

Ingredienti per la formazione di pianeti rocciose nei dischi proto-planetari.

Pianeti come la Terra forse non sono così rare!



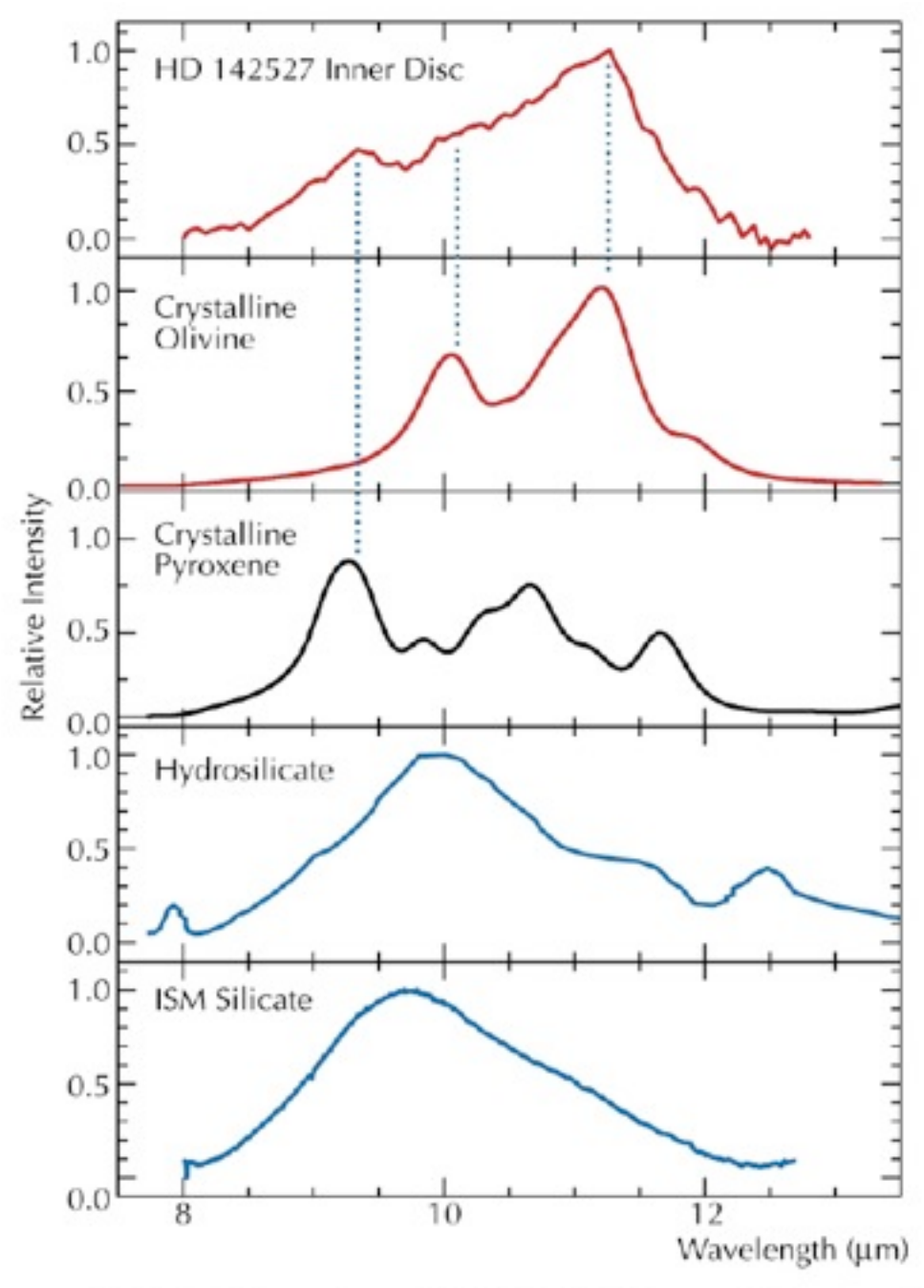
Mid-IR Spectra of Inner and Outer Discs Around Three Young Stars

© European Southern Observatory

ESO PR Photo 32b/04 (24 November 2004)

Ingredienti per la formazione di pianeti rocciose nei dischi proto-planetari.

Pianeti come la Terra forse non sono così rare!



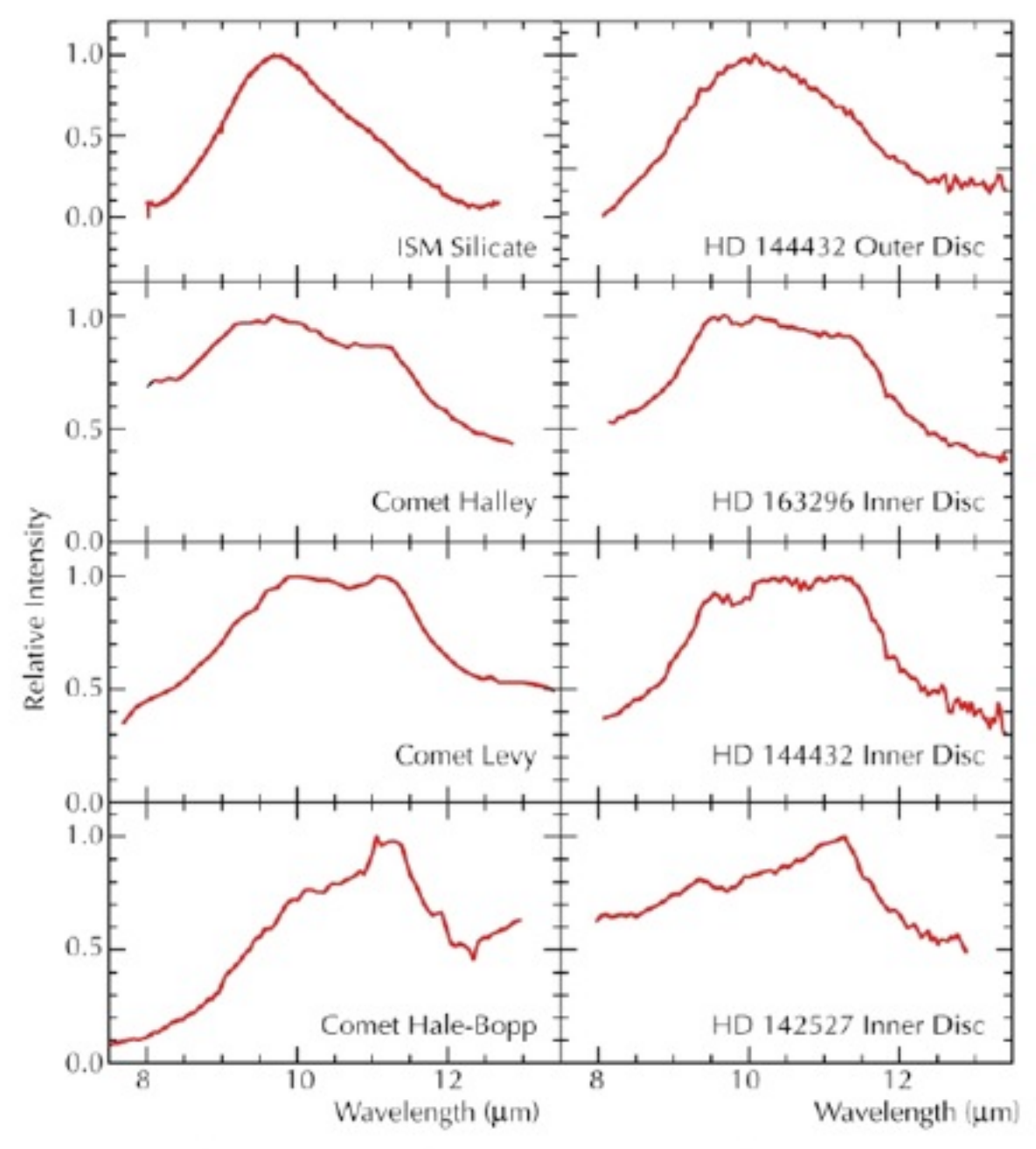
Mid-IR Spectra of HD142527 Inner Disc and Common Dust Types (VLTI + MIDI and others)

© European Southern Observatory

ESO PR Photo 32a/04 (24 November 2004)

Ingredienti per la formazione di pianeti rocciose nei dischi proto-planetari.

Pianeti come la Terra forse non sono così rare!



Mid-IR Spectra of Comets and Protoplanetary Discs (VLTI + MIDI and others)

ESO PR Photo 32c/04 (24 November 2004)

© European Southern Observatory

# Pianeti come la Terra? Gliese 581e

# Pianeti come la Terra? Gliese 581e



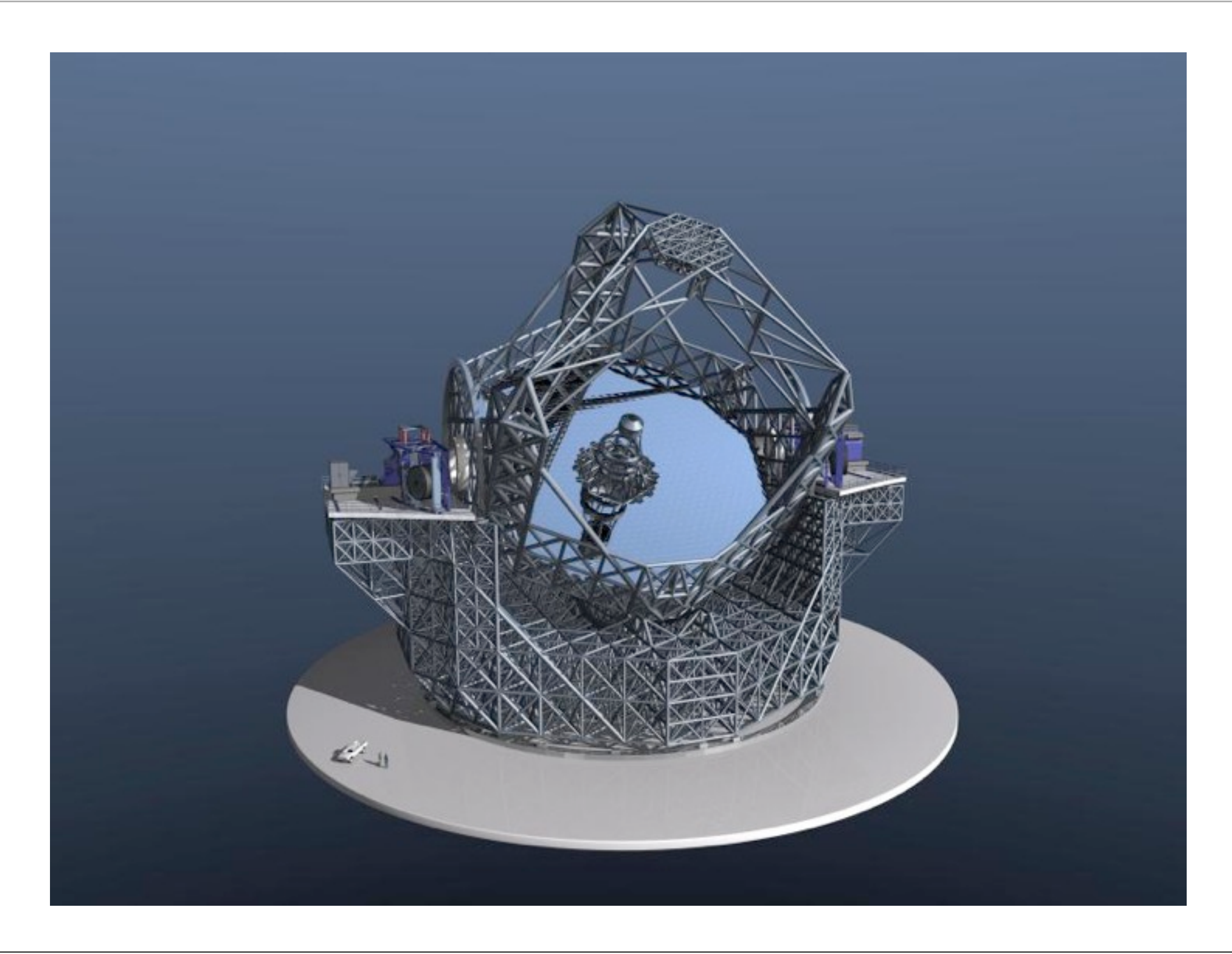
# Il sistema planetario di Gliese 581: 4 pianeti

	GI 581b	GI 581c	GI 581d	GI 581e
Periodo [giorni]	5.37	12.93	66.8	3.15
Massa [M <sub>Terra</sub> ]	15.7	5.4	7.1	1.9
Distanza [UA]	0.04	0.07	0.22	0.03
	"Hot Neptune"	bordo caldo della ZA	bordo freddo della ZA	

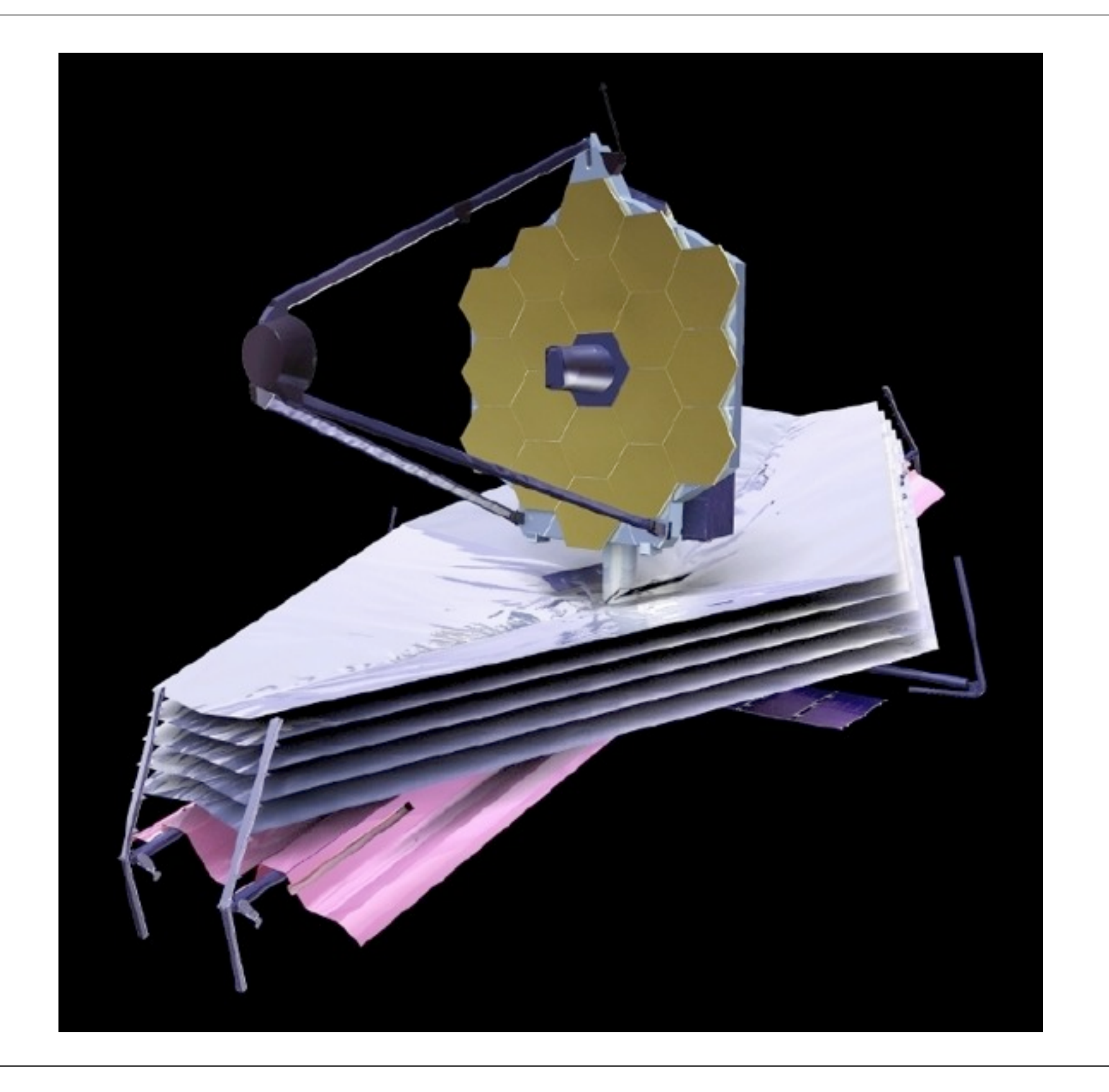




## Il futuro della scoperta dei pianeti extra-solari



## Il futuro della scoperta dei pianeti extra-solari



## Il futuro della scoperta dei pianeti extra-solari

